

**Académie impériale des sciences.  
Comptes rendus des séances  
de la  
Commission sismique permanente.  
Tome 5, 1912-1913, Saint-Pétersbourg.**

SOMMAIRE

*Livraison I, 1912*

Comptes-rendus des séances de la Commission Centrale Sismique Permanente :

*Séance du 8 janvier 1911.....	I
Rapport financier de l'Association Internationale Sismologique pour la période du 1-er avril 1909 jusqu'au 31 mars 1910 .....	XIII
Projet de Budget intérimaire de l'Association Sismologique pour la période du 1-er avril au 31 août 1911 .....	XVIII
*Séance du 25 février 1911 .....	XX
* » » 13 mai 1911 .....	XXXI
*Rapport concernant la station sismique de 2-me ordre à Ekaterinburg durant l'année 1910 .....	XLI
*Séance du 28 octobre 1911 .....	XLV
*Résumé du rapport de M. K. Bogdanovic : « Sur le tremblement de terre de Tien-Chan le 22 déc. 1910 (4 janv. 1911) .....	LII
*Rapport concernant la station sismique de 1-er ordre à l'Observatoire physique de Tiflis durant l'année 1910.....	LVII
*Rapport concernant la station sismique de 1-er ordre à l'Observatoire météorologique d'Irkutsk durant l'année 1010.....	LVIII
*Séance du 16 decembre 1911 .....	LX

Fr. Moldenhauer. Seismische Einwirkungen auf den Charakter der Lebenstätigkeit intermittierender Quellen.....	1
Fürst B. Galitzin (Golicyn). Zur Theorie der mechanischen Registrierung.....	35
*A. Gerasimov. Note concernante l'article: « Sur le tremblement de terre du 22 déc. 1910 et du 1 janv. 1911 dans la province de Semirecie » par M. S. Veleckij.....	85
*G. Levickij. La deuxième assamblée générale de l'Association Internationale de Sismologie et la quatrième réunion de la Commission Permanente de la dite Association à Manchester le 18-22 juillet 1911 .....	87

*Livraison II, 1912*

*A. Orlov. Sur l'élaboration des sismogrammes du pendule apériodique à l'enregistrement galvanométrique .....	95
*P. Nikiforov. Instruction pour l'installation des pendules horizontaux lourds, système du Prince B. Galitzine, et pour les observations à l'aide de ceux-ci.....	105
J. Wilip. Die Zentrale Seismische Station in Pulkovo.....	133
*Prince B. Galitzine (Golicyn). Sur les appareils pour les observations sur les sources intermittentes .....	171
*Prince B. Galitzine (Golicyn). Sur la longeur réduite du pendule horizontal à suspension Zöllner.....	195

*Livraison III, 1913*

*M. Rosental. Sur la détermination de la profondeur du foyer d'un tremblement de terre.....	237
Prince B. Galitzin (Golicyn). The principles of instrumental seismology .....	329
Fürst B. Galitzin (Golicyn). Zur Frage der Bestimmung der Herdtiefe eines Bebens und der Fortpflanzungsgeschwindigkeit der seismischen Wellen in den oberen Erdschichten. ....	359
*M. Büss. Une méthode graphique pour déterminer les quantités $x_m$ et $(\delta+\delta_1)$ dans le cas de l'enregistrement galvanométrique .....	431

Le titre désigné par un astérisque \* présente la traduction du titre original.

ИМПЕРАТОРСКАЯ АКАДЕМИЯ НАУКЪ.

---

ИЗВѢСТИЯ  
ПОСТОЯННОЙ ЦЕНТРАЛЬНОЙ СЕЙСМИЧЕСКОЙ  
КОМИССИИ.

---

Томъ 5.

*Выпускъ II.*

---

ACADEMIE IMPÉRIALE DES SCIENCES.

---

COMPTE RENDUS DES SÉANCES  
DE  
LA COMMISSION SISMIQUE PERMANENTE.

---

Tome 5.

*Livraison II.*

---

С.-ПЕТЕРБУРГЪ. 1912. ST.-PETERSBOURG.

Напечатано по распоряжению Императорской Академии Наукъ.

Октябрь 1912 г.

Непремѣнныи Секретарь, Академикъ *C. Ольденбургъ*.

ТИПОГРАФІЯ ИМПЕРАТОРСКОЙ АКАДЕМИИ НАУКЪ.

Бас. Остр., 9 лин., № 12.

## Оглавление. — Sommaire.

Стр.		Pag.	
А. Я. Орловъ. Объ обработкѣ сейсмограммиъ апериодического маятника съ гальванометрической регистраціей . . . . .	95	*A. Orlov. Sur l'élaboration des sismogrammes du pendule apériodique à l'enregistrement galvanométrique . . . . .	95
П. М. Никифоровъ. Инструкція для установки тяжелыхъ горизонтальныхъ маятниковъ системы князя Б. Б. Голицына и для производства наблюдений съ ними . . . . .	105	*P. Nikiforov. Instruction pour l'installation des pendules horizontaux lourds, système du Prince B. Galitzine, et pour les observations à l'aide de ceux-ci . . . . .	105
*И. И. Вилипъ. Центральная Сейсмическая станція въ Пулковѣ . . . . .	133	J. Wilip. Die Zentrale Seismische Station in Pulkovo . . . . .	133
Князь Б. Б. Голицынъ. Приборы для наблюдений надъ пульсирующими источниками . . . . .	171	*Prince B. Galitzine (Golicyn). Sur les appareils pour les observations sur les sources intermittentes . . . . .	171
Князь Б. Б. Голицынъ. О приведенной длинѣ горизонтального маятника съ Цельнеровскимъ подвѣсомъ . . . . .	195	*Prince B. Galitzine (Golicyn). Sur la longeur reduite du pendule horizontal à suspension Zöllner . . . . .	195

Заглавіе, отмѣченное звѣздочкой \*, является переводомъ заглавія оригинала.

Le titre désigné par un asterisque \* présente la traduction du titre original.



## Объ обработкѣ сейсмограммъ аперіодического маятника съ гальванометрической регистраціей.

А. Я. Орловъ.

§ 1. На русскихъ сейсмическихъ станціяхъ вводятся теперь маятники съ сильнымъ затуханіемъ и съ гальванометрической регистраціей по системѣ кн. Б. Б. Голицына. Эти приборы обладаютъ тѣмъ выгоднымъ свойствомъ, что, если на сейсмограммѣ появилась синусоидальная кривая съ періодомъ  $T_p$  и амплитудой  $y_m$ , то это значитъ, что почва совершила періодическое колебаніе съ тѣмъ же періодомъ  $T_p$  и амплитудой  $x_m$ . Фазы колебаній маятника и почвы не совпадаютъ; разность фазъ обозначимъ чрезъ  $\tau - \tau_1$ . Для вычислениія  $x_m$  и  $\tau - \tau_1$  кн. Б. Б. Голицынъ даетъ такія формулы:

$$x_m = C_1 (1 + u_1^2) (1 + u^2) \sqrt{1 - \mu^2} f(u) \frac{y_m}{T_p}$$

$$\tau = \frac{T_p}{2\pi} \operatorname{arctg} \left( h \frac{2u}{u^2 - 1} \right)$$

$$\tau_1 = T_p \left( \frac{\operatorname{arctg} \frac{2u_1}{u_1^2 - 1}}{2\pi} + \frac{1}{4} \right).$$

Здѣсь

$$u = \frac{T_p}{T} \quad \text{и} \quad u_1 = \frac{T_p}{T_1}$$

$$h = \sqrt{1 - \mu^2}, \quad f(u) = \left( \frac{2u}{1 + u^2} \right)^2.$$

Величины  $C_1$ ,  $\mu$ ,  $T$  и  $T_1$  суть постоянныя для данного прибора, при чемъ установка производится такъ, что  $\mu$  весьма мало, а  $T_1$  по возможности близко къ  $T$  (Кн. Б. Б. Голицынъ: «Ueber ein neues aperiodisches Horizontalpendel»). Этимъ обстоятельствомъ можно воспользоваться для упрощенія только что выписанныхъ формулъ.

§ 2. Пусть

$$T_0 = \frac{T + T_1}{2}, \quad u_0 = \frac{T_p}{T_0},$$

$$\sigma = \frac{T - T_1}{2}, \quad \alpha = \frac{\sigma}{T_0},$$

тогда

$$T = T_0 + \sigma = T_0(1 + \alpha),$$

$$T_1 = T_0 - \sigma = T_0(1 - \alpha);$$

$$u = \frac{T_p}{T_0}(1 - \alpha)^{-1} = u_0(1 - \alpha + \alpha^2 - \dots),$$

$$u_1 = \frac{T_p}{T_0}(1 - \alpha)^{-1} = u_0(1 - \alpha + \alpha^2 - \dots).$$

Отсюда

$$(1 - u^2)(1 - u_1^2) = (1 - u_0^2)^2 \left[ 1 + \frac{2\alpha^2 u_0^2 (3 - u_0^2)}{(1 - u_0^2)^2} - \dots \right].$$

Наибольшее значение члена съ  $\alpha^2$  будетъ при  $u_0^2 = 3$ ; въ этомъ случаѣ онъ равенъ

$$\frac{9}{4} \alpha^2,$$

послѣдней же величиной можно уже пренебречь по сравненію съ единицей. Дѣйствительно, для пулковскихъ, напримѣръ, приборовъ,  $\sigma < 0.2$ ; при наименьшемъ значеніи  $T_0$ , т. е. при  $T_0 = 13$ , мы имѣемъ

$$\alpha < \frac{2}{130} \quad \text{и} \quad \frac{9}{4} \alpha^2 < 0.001;$$

пренебрегая этой величиной по сравненію съ единицей, мы можемъ положить

$$(1 - u)(1 - u_1^2) = (1 - u_0^2)^2.$$

На основаніи этой формулы, мы имѣемъ:

$$x_m = C_1 (1 - u_0^2)^2 \sqrt{1 - \mu^2 f(u)} \frac{y_m}{T_p}.$$

Но

$$T_p = \frac{T_p}{T_0} T_0 = u_0 T_0.$$

Слѣдовательно,

$$x_m = C_1 \frac{(1 - u_0^2)^2}{u_0} \sqrt{1 - \mu^2 f(u)} \frac{y_m}{T_0}$$

или

$$x_m = \frac{4C_1}{T_0} \cdot \frac{u_0(1+u_0^2)^2}{4u_0^2} \sqrt{1-\mu^2 f(u)} y_m.$$

Полагая здесь

$$C = \frac{4C_1}{T_0}$$

мы находимъ

$$x_m = C \frac{u \sqrt{1-\mu^2 f(u)}}{f(u)} y_m = CV y_m \dots \dots \dots (A)$$

Для вычислениі  $x_m$  можно составить таблицу съ двумя входами, въ которой по аргументамъ  $u$  и  $\mu^2$  давалась бы величина

$$V = \frac{u}{f(u)} \sqrt{1-\mu^2 f(u)}.$$

§ 3. Вычисление суммы  $\tau + \tau_1$  еще проще. Мы имѣемъ:

$$h \frac{2u}{u^2 - 1} = \operatorname{tg} 2\pi \frac{\tau}{T_p}.$$

Пусть

$$u = \operatorname{tg} \frac{v}{2},$$

тогда

$$\frac{2u}{u^2 - 1} = \operatorname{tg}(\pi - v),$$

следовательно,

$$h \operatorname{tg}(\pi - v) = \operatorname{tg} 2\pi \frac{\tau}{T_p}.$$

Примѣня здѣсь известное разложеніе, мы имѣемъ

$$\frac{2\pi \tau}{T_p} = \pi - v + \frac{h-1}{h+1} \sin 2(\pi - v) + \dots$$

Пусть

$$\frac{h-1}{h+1} \sin 2(\pi - v) = \varepsilon,$$

тогда

$$\frac{2\pi \tau}{T_p} = \pi - v + \varepsilon \dots \dots \dots (1)$$

Съ другой стороны, полагая

$$u_1 = \operatorname{tg} \frac{v_1}{2},$$

мы находимъ, что

$$\frac{2u_1}{u_1^2 - 1} = \operatorname{tg}(\pi - v_1) = \operatorname{tg}\left(\frac{2\pi \tau_1}{T_p} - \frac{\pi}{2}\right),$$

откуда

Складывая (1) и (2), находимъ:

$$\frac{2\pi}{T_p}(\tau + \tau_1) = \frac{5\pi}{2} - (v + v_1) + \varepsilon$$

и, следовательно,

$$\tau + \tau_1 = T_p \left( \frac{5}{4} - \frac{v + v_1}{2\pi} \right) + \frac{\epsilon T_p}{2\pi}.$$

Величиной  $\frac{\epsilon T_p}{2\pi}$  здесь можно пренебречь; действительно:

$$\varepsilon < \frac{h-1}{h+1},$$

HO

$$h = \sqrt{1 - \mu^2} = 1 - \frac{\mu^2}{2} + \dots$$

следовательно,

$$\left| \frac{\epsilon}{2\pi} \right| \leq \frac{\mu^2}{8\pi}.$$

Если даже  $\mu^2 = 0.2$ , то и тогда

$$\frac{\epsilon}{2\pi} < 0.008.$$

Возьмемъ крайній случай, когда  $T_p = 40$ , тогда при  $\mu^2 = 0.2$

$$\frac{\epsilon T_p}{2\pi} < 0.32.$$

На самомъ дѣлѣ ошибка будетъ еще меньше, такъ что безъ чувствительной погрѣшности величиной  $\frac{\epsilon T_p}{2\pi}$  можно пренебречь. Покажемъ теперь, что, если положить

$$u_0 = \operatorname{tg} \frac{v_0}{2},$$

то можно будетъ принять

$$\frac{v - v_1}{2} = v_0.$$

Мы имѣемъ:

$$\frac{v}{2} - \frac{v_0}{2} = \operatorname{arctg} u - \operatorname{arctg} u_0 = \cos^2 \frac{v_0}{2} \Delta u - \cos^3 \frac{v_0}{2} \sin \frac{v_0}{2} \Delta u^2 + \dots$$

$$\frac{v_1}{2} - \frac{v_0}{2} = \operatorname{arctg} u_1 - \operatorname{arctg} u_0 = \cos^2 \frac{v_0}{2} \Delta u_1 - \cos^3 \frac{v_0}{2} \sin \frac{v_0}{2} \Delta u_1^2 + \dots$$

Здѣсь

$$\Delta u = u - u_0 = u_0(-\alpha + \alpha^2) = \operatorname{tg} \frac{v_0}{2} (-\alpha + \alpha^2)$$

$$\Delta u_1 = u_1 - u_0 = u_0(\alpha + \alpha^2) = \operatorname{tg} \frac{v_0}{2} (\alpha + \alpha^2).$$

Складывая, находимъ

$$\frac{v + v_1}{2} = v_0 + \alpha^2 \sin v_0 \cos^2 \frac{v_0}{2} + \dots$$

Наибольшее значеніе члена съ  $\alpha^2$  будетъ при  $v_0 = 60^\circ$ , когда онъ равенъ  $0.65 \alpha^2$ . Для пулковскихъ приборовъ

$$0.65 \alpha^2 < 0.0002;$$

этой величиной можно пренебречь.

Принимая во вниманіе все только что сказанное, мы можемъ положить:

$$\tau + \tau_1 = T_p \left( \frac{5}{4} - \frac{v_0}{\pi} \right)$$

или

$$\tau + \tau_1 = T_0 u_0 \left( \frac{5}{4} - \frac{v_0}{180} \right) = T_0 k, \dots \dots \dots \quad (B)$$

гдѣ

$$k = u_0 \left( \frac{5}{4} - \frac{v_0}{180} \right)$$

и  $v_0$  выражено въ градусахъ.

§ 4. Чтобы облегчить вычислениe  $x_m$  и  $\tau + \tau_1$  по формуламъ (A) и (B), мы прилагаемъ здѣсь три таблицы. Изъ нихъ первыя двѣ служать для вычисления  $x_m$  и составлены слѣдующимъ образомъ: мы имѣемъ

$$V = \frac{u}{f(u)} \sqrt{1 - \mu^2 f(u)}$$

$$\lg V = \lg \frac{u}{f(u)} + \lg \sqrt{1 - \mu^2 f(u)}.$$

Таблица I даетъ  $\lg \frac{u}{f(u)}$ ; таблица II даетъ  $\lg \sqrt{1 - \mu^2 f(u)}$ .

Таблица III по аргументу  $u$  даетъ  $\lg k$ . Такъ какъ  $T_0$  есть величина постоянная, то для каждого прибора можно составить маленькую таблицу, въ которой сразу бы давались значенія суммы  $\tau + \tau_1$  по аргументу  $u$ . Что касается послѣдней величины ( $k$ ), то она дается въ таблицахъ кн. Б. Б. Голицына.

Пояснимъ сказанное на примѣрѣ.

Положимъ, что мы желаемъ обработать длинный рядъ наблюдений, полученныхъ съ маятникомъ, постоянныя котораго имѣютъ слѣдующія значенія (ки. Б. Б. Голицынъ, I. с., стр. 110):

$$\begin{array}{ll} T = 22.1 & T_1 = 23.7 \\ \mu^2 = 0.17 & \lg C_1 = 7.996 \\ T_0 = 22.9 & \lg C = 0.238. \end{array}$$

Мы умножили здѣсь  $C$  на 1000, чтобы получить  $x_m$  въ микронахъ.

Пользуясь таблицами II и III мы составляемъ прежде всего табличку, въ которой для данного маятника по аргументу  $u$  даются  $\lg C \sqrt{1 - \mu^2 f(u)}$  и сумма  $\tau + \tau_1$ .

Для краткости письма пусть

$$m = C \sqrt{1 - \mu^2 f(u)},$$

тогда

$$x_m = \frac{m u}{f(u)} y_m$$

и

$$\lg x_m = \lg m + \lg \frac{u}{f(u)} + \lg y_m.$$

Для  $\lg m$  и  $\tau + \tau_1 = T_0 k$  мы получили такую таблицу:

$u$	$\lg m$	$\tau + \tau_1$
0.2	0.232	5 <sup>s</sup>
0.3	.226	7
0.4	.220	9
0.5	.213	11
0.6	.207	12
0.7	.203	14
0.8	.200	15
0.9	.198	16
1.0	.198	17
1.1	.198	18
1.2	.199	19
1.3	.200	20
1.4	.202	21
1.5	.204	21
1.6	.206	22
1.7	.208	23
1.8	.210	24
1.9	.211	24
2.0	.213	25

Такъ какъ  $\lg m$  и  $\tau + \tau_1$  мѣняются медленно, то пользованіе этой таблицей очень удобно.

Далѣе мы располагаемъ вычисленія слѣдующимъ образомъ:

	$M_1$	$M_2$	$M_3$	$M_4$
$t_m$	11° 38 4	11 38 48	11 40 9	11 40 52
$T_p$	18.3	16.4	12.2	13.1
$y_m$	44.6	— 44.3	25.2	— 24.6
$u_0$	0.799	0.716	0.533	0.572
Таблица I	9.924	9.902	9.889	9.886
$\lg m$	.200	.203	.211	.209
Сумма	0.124	0.105	0.100	0.095
$\lg y_m$	1.649	1.646	1.401	1.391
$\tau + \tau_1$	15	14	11	12
$x_m$	59	— 56	32	— 31
$t_x$	11 37 49	11 38 34	11 39 58	11 40 40

Таблица I.

(арг.  $u$ )

$$\lg \frac{u}{f(u)}$$

$u$	0	1	2	3	4	5	6	7	8	9	
0.2	0.131	0.113	0.097	0.081	0.066	0.053	0.040	0.028	0.016	0.006	0.2
0.3	9.996	9.986	9.977	9.969	9.962	9.954	9.948	9.941	9.935	9.930	0.3
0.4	9.925	9.920	9.916	9.912	9.908	9.905	9.902	9.899	9.897	9.895	0.4
0.5	9.893	9.891	9.890	9.889	9.888	9.887	9.887	9.886	9.886	9.887	0.5
0.6	9.887	9.887	9.888	9.889	9.890	9.891	9.892	9.894	9.896	9.897	0.6
0.7	9.899	9.901	9.903	9.906	9.908	9.911	9.913	9.916	9.919	9.922	0.7
0.8	9.924	9.928	9.931	9.934	9.937	9.941	9.944	9.948	9.952	9.955	0.8
0.9	9.959	9.963	9.967	9.971	9.975	9.979	9.983	9.987	9.991	9.996	0.9
1.0	0.000	0.004	0.009	0.013	0.018	0.022	0.027	0.031	0.036	0.041	1.0
1.1	0.045	0.050	0.055	0.060	0.064	0.069	0.074	0.079	0.084	0.089	1.1
1.2	0.094	0.098	0.104	0.108	0.113	0.118	0.123	0.128	0.133	0.138	1.2
1.3	0.144	0.149	0.154	0.159	0.164	0.169	0.174	0.179	0.184	0.189	1.3
1.4	0.194	0.199	0.205	0.210	0.215	0.220	0.225	0.230	0.235	0.240	1.4
1.5	0.246	0.251	0.256	0.261	0.266	0.271	0.276	0.281	0.287	0.292	1.5
1.6	0.297	0.302	0.307	0.312	0.317	0.322	0.327	0.332	0.337	0.342	1.6
1.7	0.347	0.352	0.357	0.362	0.367	0.373	0.377	0.383	0.387	0.392	1.7
1.8	0.397	0.402	0.407	0.412	0.417	0.422	0.427	0.432	0.437	0.442	1.8
1.9	0.447	0.451	0.456	0.461	0.466	0.471	0.476	0.480	0.485	0.490	1.9
2.0	0.495	0.500	0.504	0.509	0.514	0.519	0.523	0.528	0.533	0.537	2.0
	0	1	2	3	4	5	6	7	8	9	

Таблица II.

$$\lg \sqrt{1 - \mu^2 f(u)} \text{ (въ 0.001).}$$

$\mu^2$	-0.10	-0.09	-0.08	-0.07	-0.06	-0.05	-0.04	-0.03	-0.02	-0.01
$u$	+ 3	+ 3	+ 3	+ 2	+ 2	+ 2	+ 1	+ 1	+ 1	+ 0
0.2	+ 3	+ 3	+ 3	+ 2	+ 2	+ 2	+ 1	+ 1	+ 1	+ 0
0.3	6	6	5	5	4	3	3	2	1	1
0.4	10	9	8	7	6	5	4	3	2	1
0.5	14	12	11	10	8	7	6	4	3	1
0.6	16	15	13	12	10	8	7	5	3	2
0.7	18	17	15	13	11	9	8	6	4	2
0.8	20	18	16	14	12	10	8	6	4	2
0.9	20	18	16	14	12	10	8	6	4	2
1.0	21	19	17	15	13	11	8	6	4	2
1.1	20	18	17	15	12	10	8	6	4	2
1.2	20	18	16	14	12	10	8	6	4	2
1.3	19	18	16	14	12	10	8	6	4	2
1.4	19	17	15	13	11	10	8	6	4	2
1.5	18	16	14	13	11	9	7	6	4	2
1.6	17	15	14	12	10	9	7	5	4	2
1.7	16	14	13	11	10	8	7	5	3	2
1.8	15	14	12	11	9	8	6	5	3	2
1.9	14	13	12	10	9	7	6	4	3	2
2.0	+ 13	+ 12	+ 11	+ 10	+ 8	+ 7	+ 6	+ 4	+ 3	+ 1

Таблица II (продолжение).

$\mu^2$	-0.01	-0.02	-0.03	-0.04	-0.05	-0.06	-0.07	-0.08	-0.09	-0.10
$u$										
0.2	— 0	— 1	— 1	— 1	— 2	— 2	— 2	— 3	— 3	— 3
0.3	1	1	2	3	3	4	5	5	6	7
0.4	1	2	3	4	5	6	7	8	10	11
0.5	1	3	4	6	7	8	10	11	13	14
0.6	2	3	5	7	9	10	12	14	16	17
0.7	2	4	6	8	10	12	14	16	18	20
0.8	2	4	6	8	11	13	15	17	19	22
0.9	2	4	7	9	11	13	16	18	20	23
1.0	2	4	7	9	11	13	16	18	20	23
1.1	2	4	7	9	11	13	16	18	20	23
1.2	2	4	6	9	11	13	15	18	20	22
1.3	2	4	6	8	10	13	15	17	19	21
1.4	2	4	6	8	10	12	14	16	18	20
1.5	2	4	6	8	10	11	13	15	17	19
1.6	2	4	5	7	9	11	13	14	16	18
1.7	2	3	5	7	8	10	12	14	15	17
1.8	2	3	5	6	8	10	11	13	15	16
1.9	2	3	4	6	8	9	11	12	14	15
2.0	— 1	— 3	— 4	— 6	— 7	— 8	— 10	— 11	— 13	— 14

$\mu^2$	-0.11	-0.12	-0.13	-0.14	-0.15	-0.16	-0.17	-0.18	-0.19	-0.20
$u$										
0.2	— 3	— 4	— 4	— 4	— 5	— 5	— 6	— 6	— 6	— 6
0.3	7	8	9	9	10	11	12	12	13	14
0.4	12	13	14	15	16	17	18	20	21	22
0.5	16	17	19	20	22	23	25	27	28	30
0.6	19	21	23	25	27	29	31	33	35	37
0.7	22	24	26	29	31	33	35	38	40	42
0.8	24	26	28	31	33	36	38	41	43	46
0.9	25	28	30	32	35	37	40	42	45	48
1.0	25	28	30	33	35	38	40	43	46	48
1.1	25	28	30	32	35	38	40	43	45	48
1.2	24	27	29	31	34	36	39	42	44	47
1.3	23	26	28	30	33	35	38	40	42	45
1.4	22	25	27	29	31	34	36	38	40	43
1.5	21	24	26	28	30	32	34	36	38	41
1.6	20	22	24	26	28	30	32	34	36	38
1.7	19	21	23	24	26	28	30	32	34	36
1.8	18	20	21	23	25	27	28	30	32	34
1.9	17	18	20	22	23	25	27	28	30	32
2.0	— 16	— 18	— 19	— 20	— 22	— 24	— 25	— 27	— 28	— 30

(Числа таблицы II выражены въ 0.001).

Таблица III.

$\lg k$ .

$u$	$\lg k$
0.2	9.352
0.3	9.504
0.4	9.605
0.5	9.679
0.6	9.735
0.7	9.780
0.8	9.817
0.9	9.848
1.0	9.875
1.1	9.899
1.2	9.920
1.3	9.938
1.4	9.956
1.5	9.971
1.6	9.986
1.7	0.000
1.8	0.013
1.9	0.026
2.0	0.038



# ИНСТРУКЦІЯ

## для установки тяжелыхъ горизонтальныхъ маятниковъ системы князя Б. Б. Голицына и для производства наблюденийъ съ ними.

Составлена Секретаремъ Сейсмической Комиссии П. М. Никифоровымъ.

### Предисловіе.

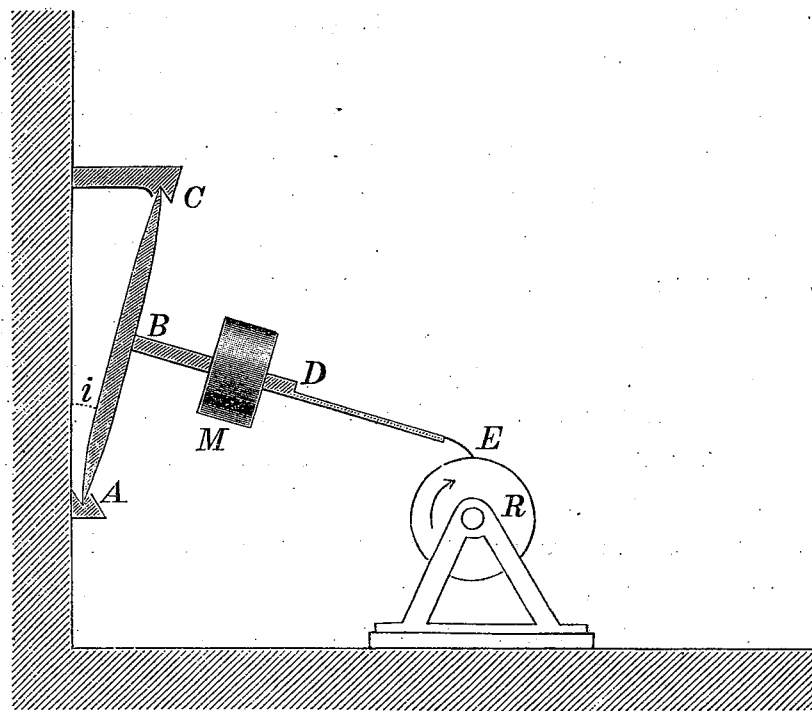
Въ настоящей инструкції излагаются въ краткомъ видѣ всѣ необходи-  
мѣйшія свѣдѣнія относительно конструкції и установки тяжелыхъ гори-  
зонтальныхъ маятниковъ князя Голицына, принятыхъ Сейсмическою Ко-  
миссіей при Императорской Академіи Наукъ для русскихъ сейсмическихъ  
станцій 2-го разряда. Описываются также тѣ операции, изъ которыхъ слы-  
гается такъ называемый «пускъ» и «остановка» приборовъ, и, въ заключе-  
ніе, изложенъ телеграфный способъ повѣрки часовъ. Теорія инструмента,  
а, равнымъ образомъ, и способы вычисленія ряда физическихъ величинъ,  
характеризующихъ индивидуальныя особенности каждого сейсмографа, со-  
вершенно опущены въ настоящемъ очеркѣ; лишь въ первыхъ двухъ §§-ахъ,  
для разъясненія встрѣчающихся въ дальнѣйшемъ терминовъ, дается элемен-  
тарное понятіе о горизонтальномъ маятникѣ и о примѣненіи его въ сейсмо-  
метріи. Опущены также всѣ вопросы, связанные съ обработкой сейсмо-  
граммъ и съ тѣми научными заключеніями, которыя дѣлается по сейсмо-  
граммамъ современная сейсмометрія.

Лицъ, интересующихся теоретическими вопросами сейсмологіи и же-  
лающихъ самостоятельно использовать добытый наблюдательный матеріалъ,  
составитель отсылаетъ къ сочиненію князя Б. Б. Голицына: «Лекціи  
по сейсмометрії» (изданіе Сейсмической Комиссіи при Императорской Ака-  
деміи Наукъ. СПБ. 1912 г.), являющемуся настольной книгой для каж-  
даго сейсмолога.

**§ 1. Понятіе о горизонтальномъ маятникѣ.** Непосредственная задача сейсмометрии состоитъ въ определеніи истиннаго перемѣщенія частицы земной поверхности, вызваннаго болѣе или менѣе удаленнымъ землетрясеніемъ, а также въ точномъ определеніи момента времени, соответствующаго этому перемѣщенію.

Перемѣщенія, совершающіяся въ горизонтальной плоскости, обнаруживаются при помощи такъ называемаго *горизонтальнаго маятника*, схематичскій чертежъ котораго изображенъ на рис. 1.

Рис. 1.



Ось  $ABC$  входитъ своимъ концами въ два углубленія, находящіяся въ одной вертикальной плоскости; стержень  $BD$  поддерживаетъ грузъ  $M$ .

Маятникъ находится въ состояніи равновѣсія, если центръ тяжести маятника лежить въ одной вертикальной плоскости съ осью вращенія  $AC$ . Будучи выведенъ изъ положенія равновѣсія, маятникъ начинаетъ совершать собственныя колебанія.

Промежутокъ времени, потребный для совершения одного полнаго колебанія, или, иначе говоря, промежутокъ времени, отдѣляющій два послѣдовательныя прохожденія маятника черезъ положеніе равновѣсія въ одномъ и томъ-же направлениі, называется *періодомъ колебанія* и будетъ обозначаться въ дальнѣйшемъ буквою *T*.

Наибольшее удаление свободного конца маятника от положения равновесия в ту или другую сторону называется *амплитудою* и будет обозначаться буквой  $y$ .

Периодъ —  $T$  выражается обыкновенно въ секундахъ, амплитуда —  $y$  — въ миллиметрахъ.

При малыхъ углахъ отклоненія, періодъ  $T$  не зависитъ отъ амплитуды  $y$ , т.-е. при большихъ отклоненіяхъ свободный конецъ маятника перемѣщается съ большей линейной скоростью, при мѣньшихъ — съ мѣньшей, но время, потребное для совершенія полнаго колебанія, остается въ обоихъ случаяхъ одинаковымъ.

Если-бы не было никакихъ силъ сопротивленія движенію маятника напр. не было-бы тренія оси  $AC$  объ упорнаго пластиинки, сопротивленія воздуха, то послѣдовательныя амплитуды въ ту и другую сторону были-бы численно равны между собою и движение никогда бы не прекратилось.

При наличии же какихъ бы то ни было сопротивлений, послѣдовательные амплитуды становятся все меньше и меньше, движение затухаетъ и въ концѣ концовъ прекращается. За мѣру затуханія принимается отношеніе двухъ послѣдовательныхъ амплитудъ, независимо отъ знака. Это отношеніе называется коэффициентомъ затуханія и обозначается буквой  $v$ .

Называя черезъ  $y_1, y_2, \dots, y_k$  численныя значения послѣдовательныхъ амплитудъ, имѣемъ

Если все силы сопротивления пропорциональны скорости движения маятника, то  $v$  не зависит от амплитуды, т.-е.

$$\frac{y_1}{y_2} = \frac{y_2}{y_3} = \dots = \frac{y_k}{y_{k+1}} = v = \text{пост.}$$

При полномъ отсутствіи затуханія  $v = 1$ , если-же затуханіе имѣть мѣсто, то

$$v > 1.$$

Десятичный логарифмъ отъ коэффиціента затуханія называется логарифмическимъ декрементомъ и обозначается чрезъ  $\Lambda$ , т.-е.

Силы сопротивления, производя затухание, увеличивают также период маятника; при этомъ, чѣмъ сильнѣе затуханіе, тѣмъ длиннѣе periodъ.

Обозначая черезъ  $T$  периодъ абсолютно свободнаго маятника, черезъ  $T'$  — периодъ маятника при затуханіи, охарактеризованномъ опредѣленнымъ значеніемъ логарифмического декремента  $\Lambda$ , имѣемъ слѣдующее соотношеніе:

Формула показывает, что при отсутствии затухания, т.-е. когда

$$v=1 \quad \text{and} \quad \Lambda=0,$$

$$T' = T$$

Съ возрастаніемъ же  $v$  увеличивается  $\Lambda$ , а вмѣстѣ съ тѣмъ и  $T'$ .

Періодъ  $T$  маятника безъ затуханія является характернѣйшою величиною прибора и въ скрытомъ или явномъ видѣ входитъ во всѣ формулы сейсмометріи. Само собой разумѣется, что въ практикѣ нельзя устранить всѣхъ сопротивленій и наблюденію доступна лишь величина  $T'$ ; но опредѣливъ попутно, но отношенію амплитудъ, величину  $v$  или  $\Lambda$ , можно воспользоваться формулой (3) для вычислениія  $T$ :

$$T = \frac{T'}{\sqrt{1 + 0.53720\Lambda^2}} \dots \dots \dots \quad (3')$$

Периодъ  $T$  горизонтального маятника зависитъ отъ взаимныхъ расположенийъ между его отдельными частями, а также отъ угла  $i$ , образованнаго осью вращенія съ вертикальной линіей (рис. 1). Чѣмъ меныше уголъ  $i$ , тѣмъ длиннѣе периодъ  $T$ . Въ сейсмометрической практикѣ уголъ  $i$  подбираютъ такъ, чтобы  $T$  равнялось 20 — 25 сек.

§ 2. Обратимся къ вопросу о томъ, какимъ образомъ горизонтальный маятникъ можетъ быть использованъ для цѣлей сейсмометріи.

При внезапномъ толчкѣ, почва со всѣми находящимися на ней предметами совершаеть перемѣщеніе, но это перемѣщеніе мы можемъ обнаружить только въ томъ случаѣ, если будемъ имѣть какую-либо неподвижную точку, относительно которой и станетъ замѣтно перемѣщеніе. Такой непо-

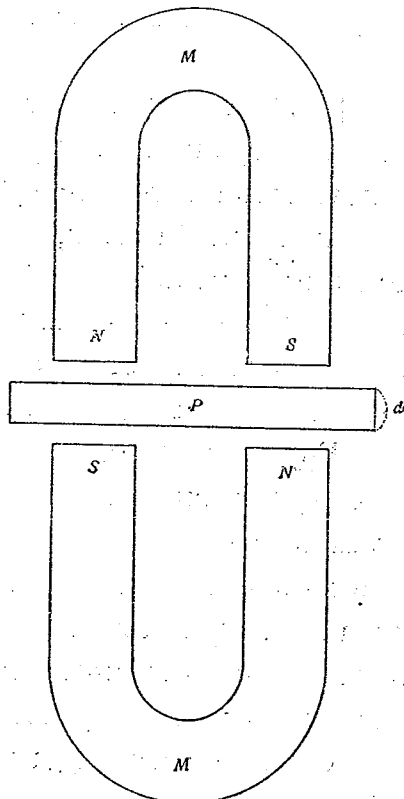
движной точкой является центр качания маятника. Въ первый моментъ, когда земная поверхность только что начинаетъ свое движение, грузъ маятника, вслѣдствіе инерціи, дѣйствительно, остается неподвижнымъ; штативъ же, а вмѣстѣ съ нимъ и ось вращенія, увлекаются въ движение вмѣстѣ съ земной поверхностью. Стержень маятника поворачивается вокругъ груза на иѣкоторый уголъ, пропорціональный смыщенію почвы, и по величинѣ этого угла можно вычислить и самое перемѣщеніе. Но это только въ первый моментъ. Далѣе маятникъ начинаетъ совершать собственныя колебанія, такъ какъ онъ выведенъ изъ положенія равновѣсія, и эти колебанія, слагаясь съ движениемъ земной поверхности, даютъ сложную запись, въ которой весьма трудно отдеѣлить собственное движение маятника отъ движенія земной поверхности, которое одно и представляетъ интересъ.

Чтобы собственное движение маятника возможно менѣе искажало запись землетрясенія, въ современной сейсмометріи прибегаютъ къ искусственному затуханію. Наиболѣе совершеннымъ способомъ уничтоженія собственного движенія маятника признано магнитное затуханіе, предложенное кн. Б. Б. Голицынымъ. Способъ кн. Б. Б. Голицына состоить въ слѣдующемъ.

Къ стержню маятника прикрѣпляется мѣдная пластинка  $P$  (рис. 2), помѣщенная между полюсами двухъ постоянныхъ подковообразныхъ магнитовъ  $M$ ,  $M$ . При движении пластиинки  $P$  въ магнитномъ полѣ, въ ней возбуждаются электрические токи, противодѣйствующіе движению. Чѣмъ больше будетъ напряженіе магнитного поля, тѣмъ сильнѣе будутъ возбужденные токи и вызванное ими торможеніе маятника, т.-е. тѣмъ быстрѣе прекратятся собственныя колебанія маятника, искажающія запись. Напряженіе же поля можно регулировать, менѣя разстояніе между полюсами магнитовъ.

Сблизивъ въ достаточной мѣрѣ магниты, можно совершенно уничтожить собственное періодическое движение маятника; т.-е. маятникъ, будучи выведенъ изъ положенія равновѣсія, медленно къ нему возвратится, но не перейдетъ на другую сторону отъ него. Такое движеніе называется аперіодическимъ. Однако затуханіе, будучи въ сущности тормозомъ, значительно понижаетъ чувствительность

Рис. 2.



прибора и потому на маятникахъ, назначенныхъ для станцій 2-го разряда и не обладающихъ высокой чувствительностью, затуханіе не слѣдуетъ дѣлать слишкомъ сильнымъ. Достаточно сблизить магниты лишь настолько, чтобы *коэффициентъ затуханія въ равнѣлся 4 — 5.*

Горизонтальный маятникъ отзыается въ полной мѣрѣ лишь на тѣ горизонтальныя перемѣщенія почвы, которыя совершаются перпендикулярно къ стержню маятника. Если же направлениe перемѣщенія составляетъ острый уголъ съ направлениемъ стержня маятника, то приборъ реагируетъ лишь на ту составляющую перемѣщенія, которая перпендикулярна къ его стержню. Отсюда ясно, что для оцѣнки движеній почвы, происходящихъ въ любомъ горизонтальномъ направлениі, необходимо располагать двумя маятниками, установленными во взаимно перпендикулярныхъ плоскостяхъ.

Колебанія маятника записываются автоматически при помощи пишущаго пера *DE* (рис. 1), придѣланнаго къ стержню *BD*, на такъ называемъ *регистрирующемъ аппаратѣ R*, цилиндръ котораго обтягивается закопченной бумагой. Цилиндръ имѣетъ непрерывное вращательное и поступательное движение вокругъ и вдоль своей оси и, такимъ образомъ, перо всегда пишетъ на свѣжей поверхности бумаги.

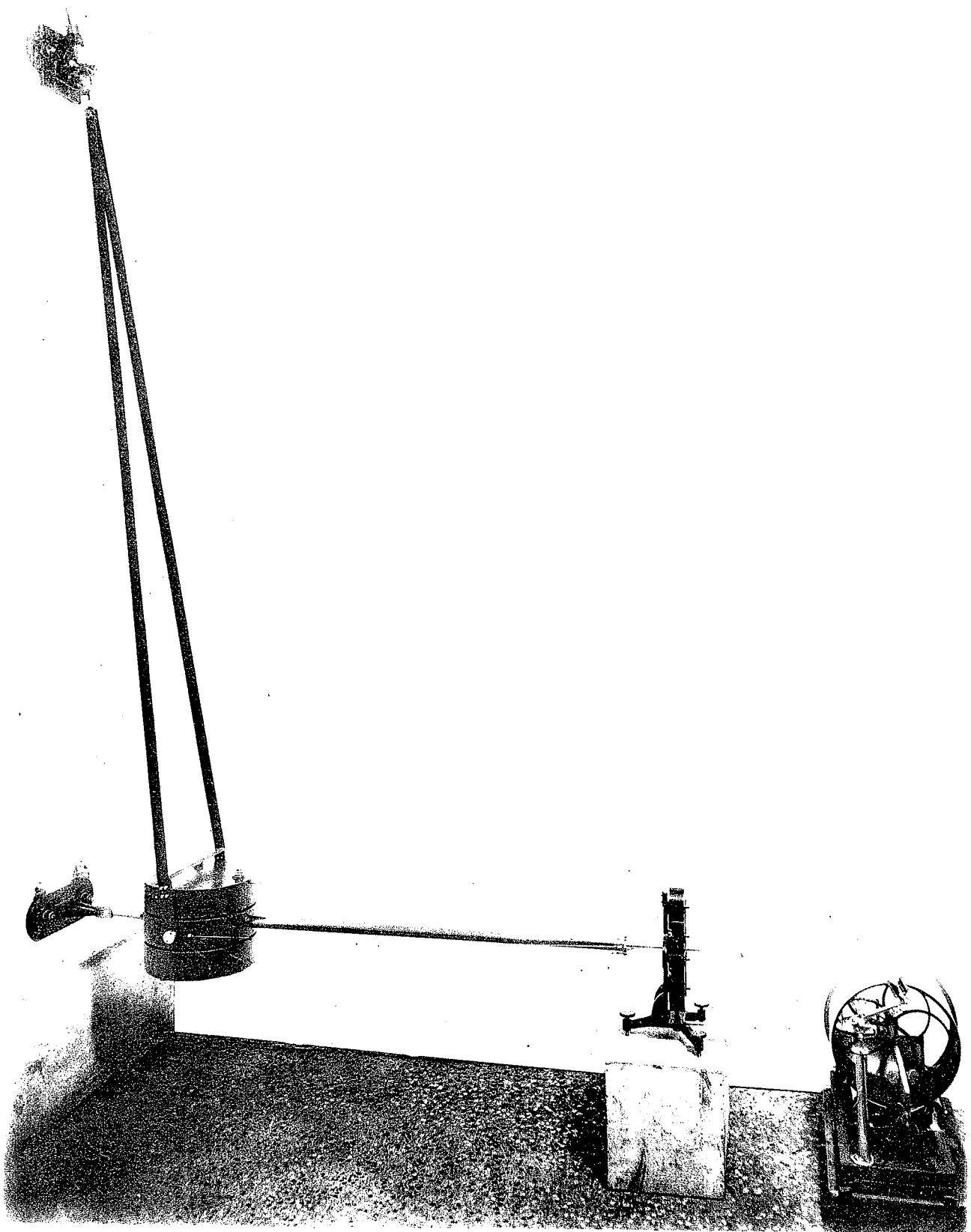
Запись движенія маятника, вызваннаго какимъ-либо сейсмическимъ возмущеніемъ, называется *сейсмограммою*.

**§ 3. Описаніе инструмента.** На рис. 3 воспроизведенъ общій видъ маятника. Приборъ прикрѣпляется къ стѣнѣ или массивному столбу при помощи 2 чугунныхъ пластинокъ; при этомъ, однако, необходимо обращать вниманіе на то, чтобы стѣна, къ которой подвѣшивается маятникъ, не подвергалась замѣтнымъ колебаніямъ температуры, такъ какъ при неравномѣрномъ расширеніи стѣны или столба будетъ измѣняться положеніе равновѣсія маятника. По этимъ соображеніямъ, нельзя рекомендовать укрѣпленіе прибора на наружной стѣнѣ зданія.

Грузъ маятника, вѣсящій около 110 килограммовъ, состоитъ изъ трехъ чугунныхъ дисковъ (діаметръ 14,85 снт., толщина 7,4 снт.), скрѣпленныхъ тремя вертикальными болтами, и, въ собранномъ видѣ, представлять собою вертикальный цилиндръ. Грузъ поддерживается двумя стальными лентами, присоединенными къ среднему диску при помощи двухъ винтовъ, расположенныхъ на концахъ діаметра, проходящаго черезъ центръ тяжести груза, чѣмъ достигается уравновѣшенность всей системы.

Обѣ ленты наверху сходятся вмѣстѣ и при посредствѣ тонкой стальной пластинки сочленяются съ удлиненнымъ брускомъ, имѣющимъ на верхнемъ концѣ винтовую нарѣзку; мѣсто сочлененія стальной пластинки съ брускомъ образуетъ верхнюю точку подвѣса маятника. Упомянутый бру-

Рис. 3.



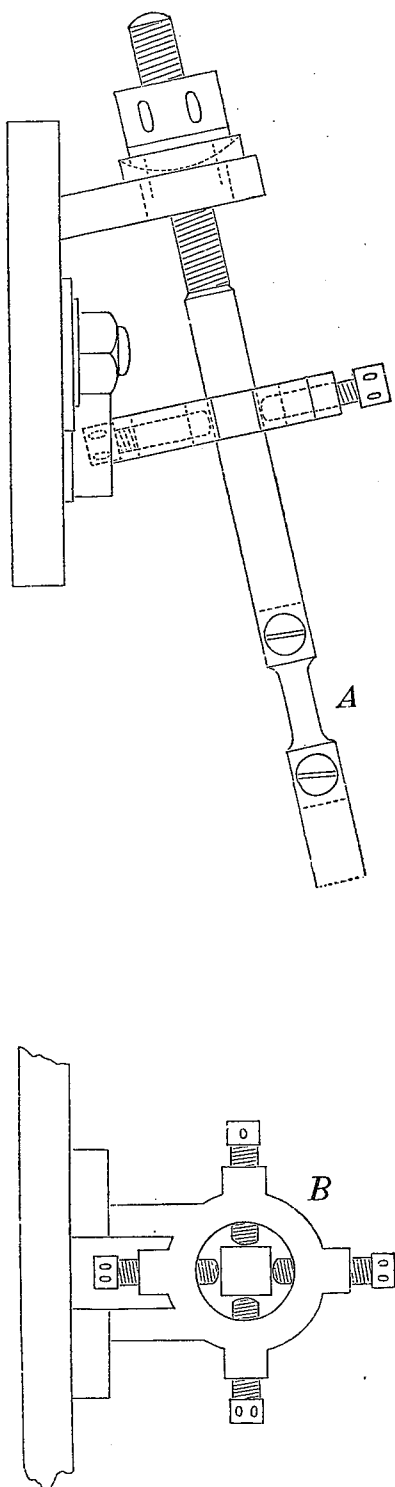
сокъ проходитъ черезъ кольцо и можетъ передвигаться вверхъ и внизъ при помощи гайки, навернутой на его верхній конецъ. Въ кольцѣ же брускъ закрѣпляется четырьмя винтами; 2 боковыхъ винта позволяютъ передвигать всю систему вправо или влѣво съ тѣмъ, чтобы стержень маятника, служащій для регистраціи, принялъ надлежащее направленіе. Два другихъ винта служатъ для того, чтобы верхнюю точку опоры перемѣщать впередъ или назадъ и, такимъ образомъ, измѣнять періодъ. На рис. 4 изображена описанная система верхняго подвѣса.

Устройство нижней точки опоры усматривается изъ рис. 5 и 6, на которыхъ представленъ видъ системы сбоку и сверху, причемъ для ясности всѣ части изображены также отдельно.

Какъ видно изъ чертежей, часть *b*, которая собственно и служить центромъ вращенія, можетъ быть вынута, въ случаѣ надобности, изъ гнѣзда. Эта часть состоить изъ тонкой стальной пластинки (толщина = 0,13 мм.), зажатой въ желѣзные тисочки; на одномъ концѣ пластинки тисочки снабжены горизонтальнымъ штифтомъ, на другомъ — тисочки удлинены и выступающія части имѣютъ острыя ребра, которыя при сборкѣ прибора должны быть обращены къ грузу маятника. Выступъ *a* образуетъ ту часть, которая прочно привинчивается къ стѣнѣ. Передняя часть выступа имѣть форму вилки съ горизонтальнымъ желобомъ спереди, который служить для сочлененія съ частью *b* при помощи упомянутаго горизонтального штифта.

Къ грузу маятника привинчена вилка *c*, придатки которой расположены въ вертикальной плоскости и имѣютъ вертикальный желобъ на обращенной къ стѣнѣ поверхности. Этотъ желобъ покоится на острыхъ ребрахъ части *b*.

Рис. 4.



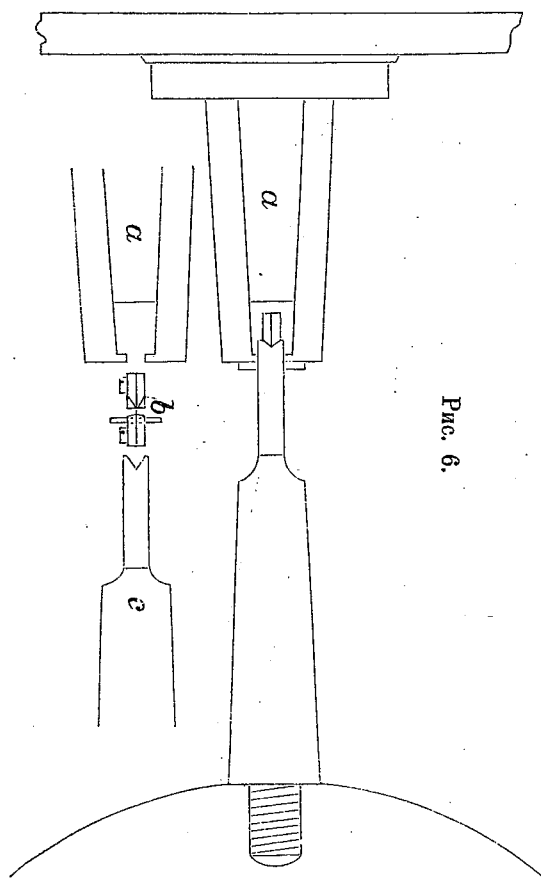


Рис. 6.

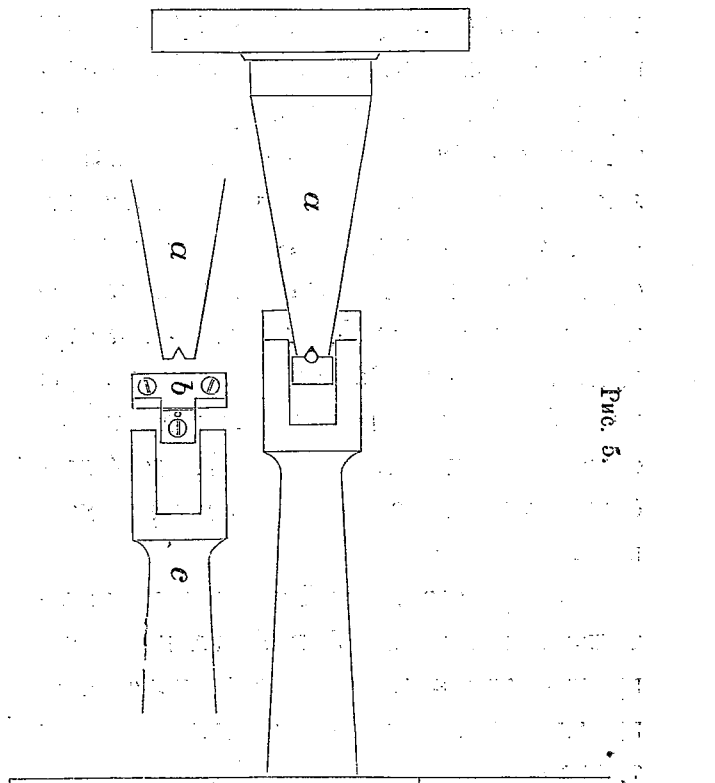
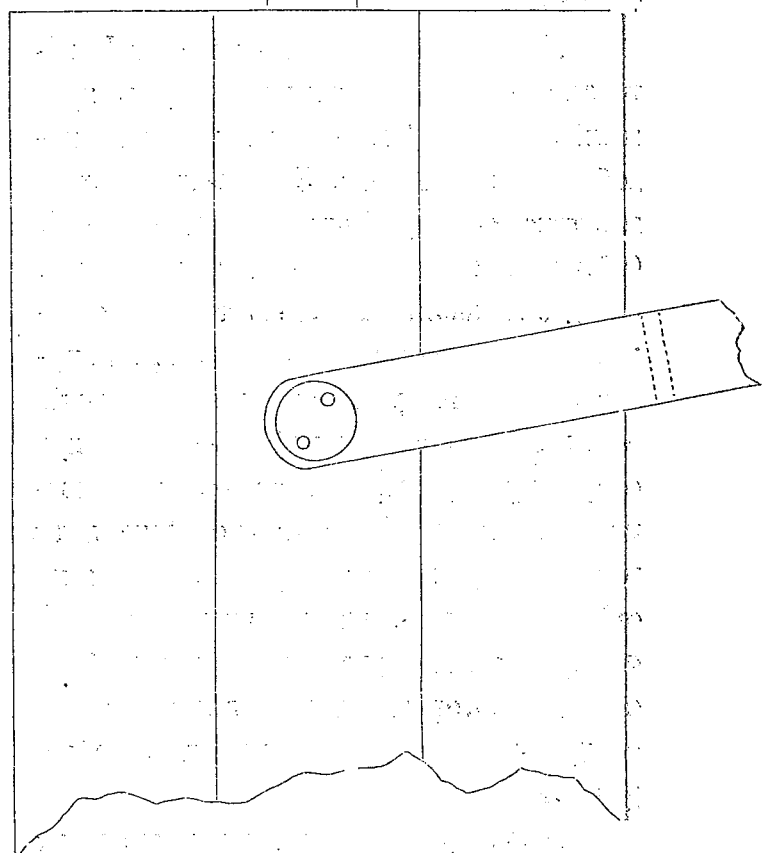
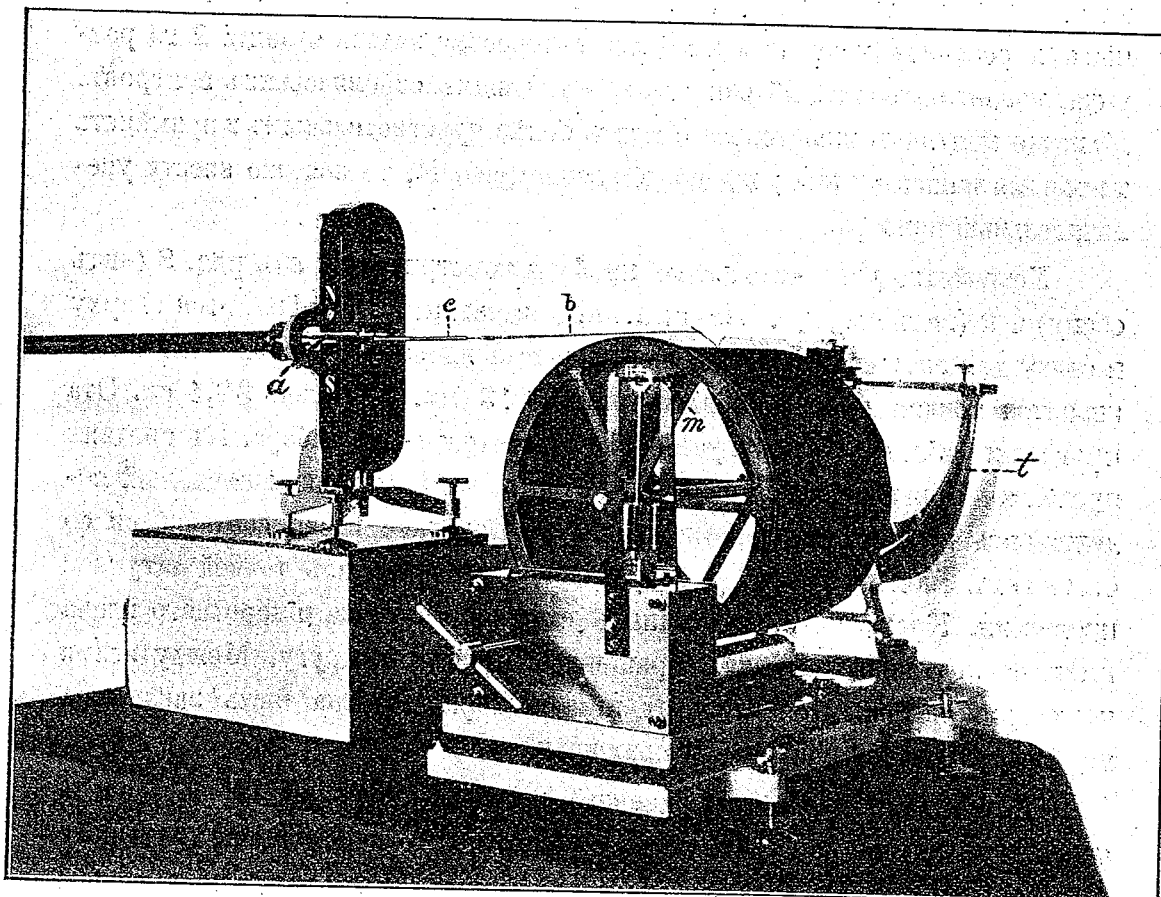


Рис. 5.



Обратимся теперь къ описанію пишущаго приспособленія. На передней сторонѣ груза ввинчивается латунная трубка, длиною 1 метръ, внутр. диаметра 31,0 мм. и толщиною стѣнокъ 0,7 мм. Внѣшній конецъ трубки заканчивается коническимъ прикаткомъ, переходящимъ въ сравнительно тонкій стерженекъ, къ которому привинчивается аллюминіевое пишущее перо. Для большей прочности трубка скрѣпляется съ грузомъ еще при посредствѣ 4 натянутыхъ стальныхъ струнъ, идущихъ отъ груза къ коническому выступу.

Рис. 7.



Колебанія маятника записываются на закопченной бумагѣ при помощи аллюминіеваго пишущаго пера *b*, привинченнаго къ стержню маятника (рис. 7). На свободномъ концѣ перо раздаивается въ видѣ вилки, въ которую вкладывается горизонтальная стальная ось съ надѣтымъ на ней роговымъ штифтикомъ; заостренный конецъ штифтика касается бумаги.

Затуханіе осуществляется при помощи двухъ подковообразныхъ четырехслойныхъ постоянныхъ магнитовъ. Магниты устанавливаются другъ противъ друга разноименными полюсами на особомъ штативѣ, не находящемся въ соединеніи съ маятникомъ, и удерживаются въ неизмѣнномъ по-

ложеніи посредствомъ мѣдныхъ полосокъ привинчивающихся къ штативу при помощи винтовъ. Отдавъ немного полоски, можно перемѣщать магниты въ вертикальной плоскости, дѣйствуя вертикальными винтами, и тѣмъ измѣнять разстояніе между полюсами, причемъ будетъ мѣняться также и сила затуханія. Между полюсами магнитовъ помѣщается пластинка *a* изъ чистой мѣди, прикрепленная къ стержню маятника (см. стр. 109).

Нормальное увеличеніе маятника кн. Б. Б. Голицына обыкновенно равно 4,5, т.-е. при внезапномъ смѣщеніи почвы конецъ пишущаго пера совершилъ перемѣщеніе въ 4,5 раза болѣе чѣмъ сама почва. Увеличеніе такого порядка вполнѣ достаточно для записи близкихъ землетрясеній, въ чѣмъ и состоитъ главная и наиболѣе интересная задача станцій 2-го разряда, располагаемыхъ вблизи самостоятельныхъ сейсмическихъ центровъ. Если же маятникъ желательно сдѣлать болѣе чувствительнымъ и примѣнить также для записи весьма удаленныхъ землетрясеній, то полезно ввести увеличительный приборъ.

Устройство увеличительного прибора усматривается изъ рис. 8 (видъ сбоку) и 9 (видъ сверху). На штативѣ для магнитовъ укрѣпляются сверху и снизу двѣ латунныя полоски, выступающія впередъ, и между ними натягивается тонкая проволока диаметромъ 0,13 мм. и длиною 32,4 см. Эта проволока образуетъ ось вращенія увеличительного прибора. Къ срединѣ проволоки привинчивается неравноплечій рычагъ, уравновѣшиваемый подвижнымъ грузомъ на короткомъ плечѣ. Короткое плечо соединяется со стержнемъ маятника легко спиральною пружиною изъ тонкой латунной проволоки. Кроме того, на концахъ стержня маятника и короткаго плеча имѣются агатовые чашечки, обращенные другъ къ другу. Между этими чашечками помѣщается стальная игла, которая должна быть заключена внутри упомянутой спиральной пружинки.

Если длину плеча, снабженаго роговымъ перышкомъ, обозначить черезъ *b*, длину же короткаго плеча — черезъ *a*, то перемѣщеніе пишущаго пера увеличительного прибора будетъ въ  $\frac{b}{a}$  разъ больше перемѣщенія конца стержня маятника. Въ приборахъ кн. Б. Б. Голицына отношеніе  $\frac{b}{a}$  дѣлается обычно равнымъ 10 и, такимъ образомъ, увеличеніе маятника, снабженаго увеличительнымъ приборомъ, достигаетъ 45.

Введеніе увеличительного прибора можно рекомендовать для тѣхъ сейсмическихъ станцій, которыя удалены отъ самостоятельныхъ сейсмическихъ центровъ и назначены для записи дальнихъ землетрясеній. Большинство же русскихъ станцій 2-го разряда располагается именно въ тѣхъ областяхъ, где наблюдается самостоятельная сейсмическая дѣятельность, какъ напр., въ Туркестанѣ, на Кавказѣ, Камчаткѣ и Сахалинѣ; нашлавнѣй-

Рис. 8.

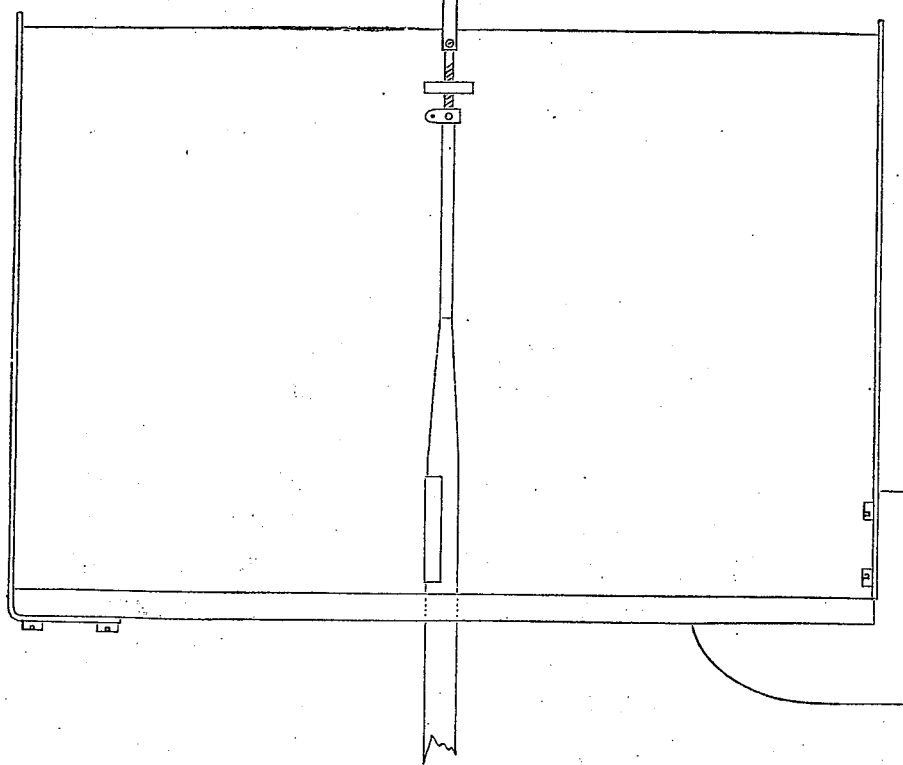
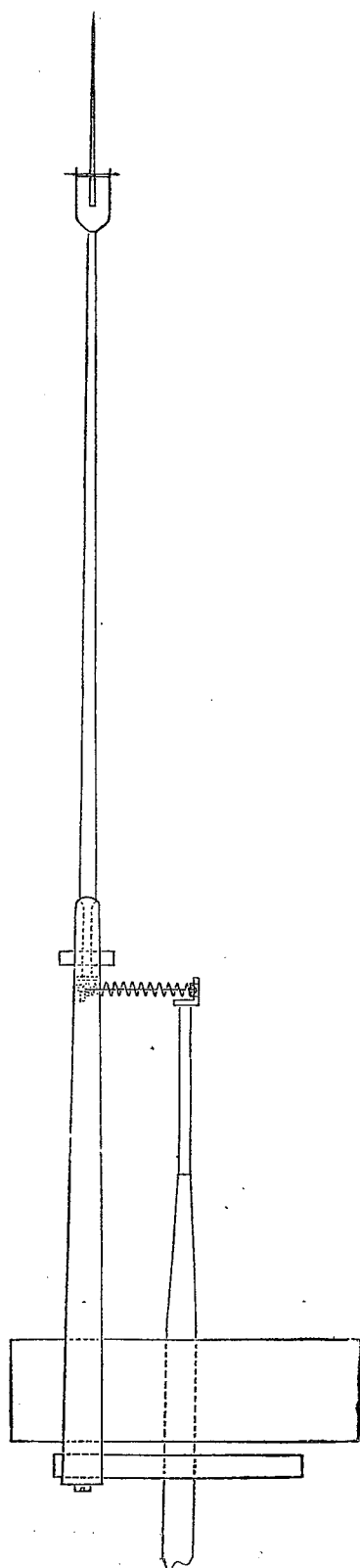


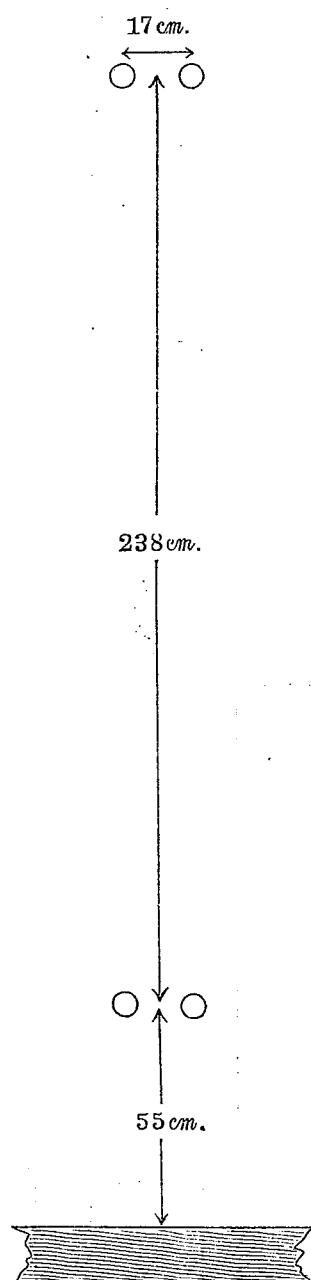
Рис. 9.



шай задача такихъ станцій состоять въ записи близкихъ землетрясений, удаленныхъ не болѣе чѣмъ на 500 километровъ отъ станціи. Для столь близкихъ землетрясений, маятникъ, снабженный увеличительнымъ прибо-

ромъ, можетъ оказаться слишкомъ чувствительнымъ; запись выйдетъ изъ предѣловъ регистрирующаго аппарата и можетъ, кроме того, выпасть игла, сочленяющая увеличительный приборъ со стержнемъ маятника. По этимъ соображеніямъ, не рекомендуется пользоваться увеличительнымъ приборомъ въ тѣхъ мѣстностяхъ, где есть вѣроятіе, что можетъ случиться хотя бы и весьма слабое мѣстное колебаніе почвы.

Рис. 10.



§ 4. Сборка и навѣшиваніе маятника. Для навѣшиванія маятника выбираютъ прочную каменную стѣну толщиною не менѣе 50 см., которая должна быть предохранена, какъ уже упомянуто въ предыдущемъ §'ѣ, отъ суточныхъ колебаній температуры. Желательно также, чтобы плоскость стѣны совпадала съ плоскостью меридіана или съ плоскостью первого вертикала; въ противномъ случаѣ, должно опредѣлить съ точностью до  $1^{\circ}$  отклоненіе стѣнъ отъ желательного направлениія; но во всякомъ случаѣ обязательно, чтобы обѣ плоскости, на которыхъ навѣшиваются маятники, были взаимно перпендикулярны.

Прежде всего, слѣдуетъ укрѣпить на стѣнѣ тѣ двѣ чугунныя пластины, которыя служать для удержанія маятника. Съ этой цѣлью выдалбливается двѣ пары углубленій (рис. 10) на разстояніи 238 см. другъ отъ друга, причемъ одна пара должна быть вертикально надъ другой. Разстояніе же между отверстіями въ каждой парѣ — 17 см. Нижняя пара отверстій возвышается надъ поломъ на 55 см. Въ отверстія вкладываются желѣзные болты, винтовой нарѣзкой наружу, такъ чтобы выступало около 5 см. послѣ чего отверстія закрываются прямоугольнымъ кускомъ жести съ двумя вырѣзами для болтовъ; углубленія должны имѣть въ наружной половинѣ клинообразную форму, какъ показано въ разрѣзѣ на рис. 11 такъ, чтобы верхній край отверстія вы-

ступаль нѣсколько надъ жестью. Прибивъ гвоздями жестянную пластинку къ стѣнѣ, вливаютъ, черезъ выступающіе верхніе края отверстій, расплавленный металлическій цементъ, причемъ слѣдять, чтобы оба болта были параллельны между собою и лежали въ одной горизонтальной плоскости, и, кроме того, чтобы соответственные болты изъ каждой пары были вертикально одинъ надъ другимъ.

По прошествіи 2—3 часовъ, цементъ затвердѣаетъ; тогда можно наложить на стѣну чугунныя пластины и прижать ихъ плотно при помощи гаекъ, навинчивающихся на болты.

Если стѣна не вполнѣ вертикальна, то подъ чугунныя пластины помѣщаются металлическія подкладки надлежащей толщины, съ тѣмъ, чтобы обѣ пластины лежали въ одной вертикальной плоскости, въ чемъ убѣждаются по отвѣсу.

Если позволяютъ размѣры помѣщенія, то можно рекомендовать для навѣшиванія маятниковъ устройство специальныхъ кирпичныхъ или бетонныхъ столбовъ на солидномъ фундаментѣ. Такой столбъ представляетъ въ сущности двѣ вертикальныя стѣнки, сложенные подъ прямымъ угломъ другъ къ другу, и служитъ для укрѣпленія обоихъ маятниковъ. Устройство столба понятно изъ рис. 12 (планъ) и 13 (разрѣзъ).

Въ исключительныхъ случаяхъ, когда стѣны зданія не могутъ быть использованы и возведеніе столба невозможно по условіямъ помѣщенія или другимъ причинамъ, маятники могутъ быть навѣшены на специальные желѣзные штативы, которые изготавляются по особому заказу механикомъ Физической Лабораторіи Императорской Академіи Наукъ. Общий видъ штатива усматривается изъ рис. 14 и сборка его настолько проста, что необходиности подробно ее описывать.

Далѣе приступаютъ къ сборкѣ самого маятника.

Прежде всего слѣдуетъ составить грузъ изъ трехъ чугунныхъ дисковъ, расположивъ ихъ по №№ (№ 1 — спизу), причемъ въ нижній дискъ предварительно вставляютъ болты и завинчиваютъ ихъ съ нижней стороны гайками. Наложивъ диски, завинчиваютъ верхнія гайки. Въ средній дискъ, до его наложенія, должно ввинтить вилку (рис. 5), обративъ ее къ нижней пластинкѣ, укрѣпленной на стѣнѣ; оба зубца вилки должны лежать точно въ одной вертикальной плоскости. Для сборки груза полезно сложить кир-

Рис. 11.

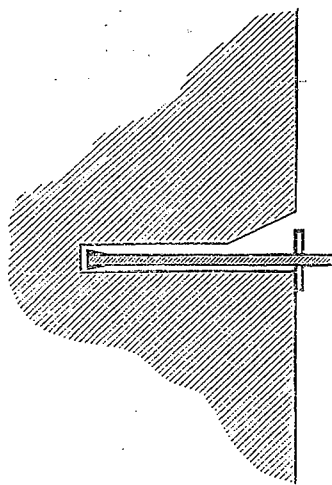


Рис. 12.

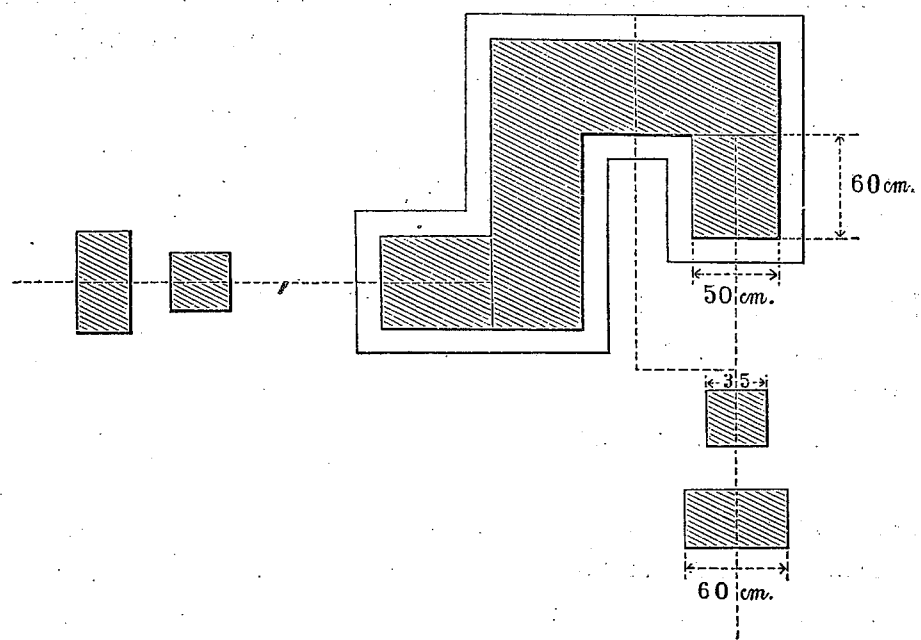


Рис. 13.

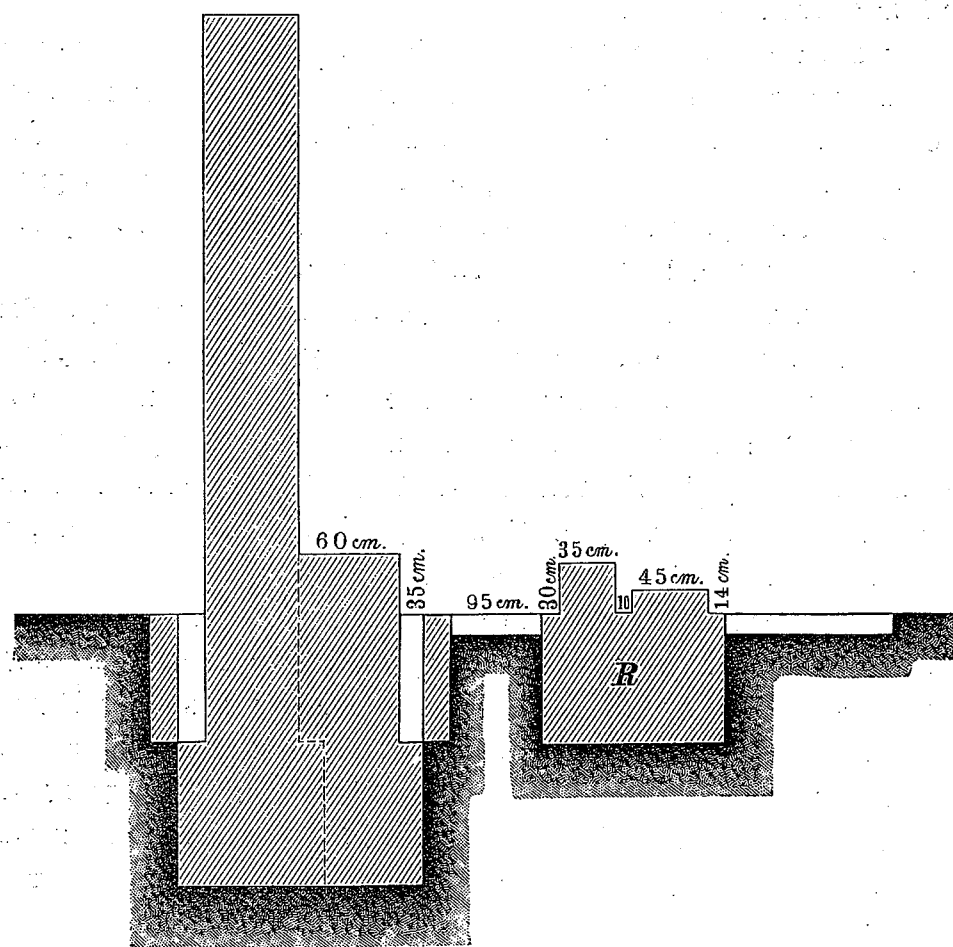
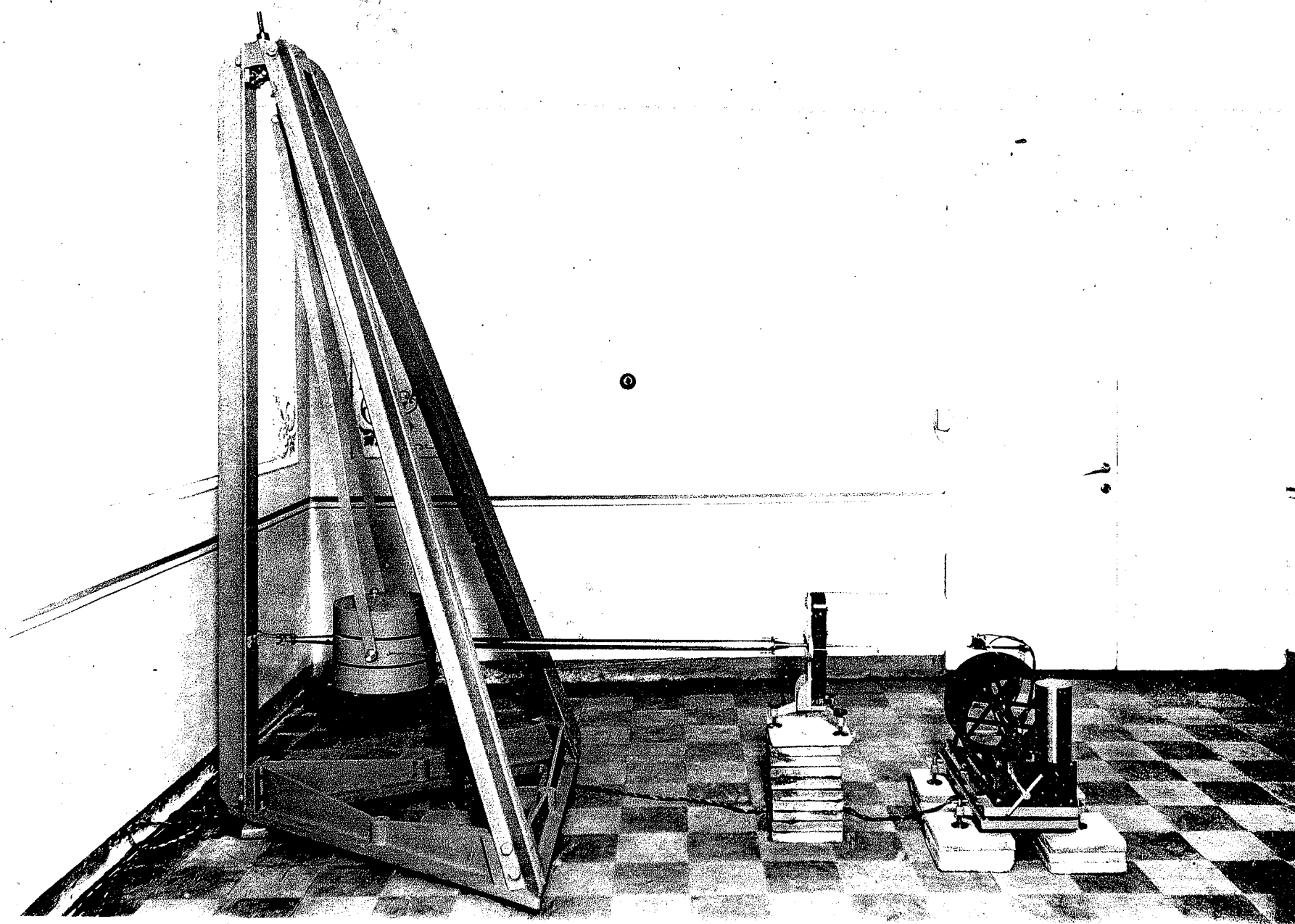


Рис. 14.



личный столбикъ у стѣны, высотою 35 см. и площадью  $60 \times 50$  кв. см., какъ указано на чертежъ столба (рис. 12 и 13); можно также воспользоваться для этой цѣли и деревянной скамейкой указанной высоты, придвигнувъ ее плотно къ стѣнѣ.

Послѣ сборки груза, привинчиваются къ среднему диску стальныя ленты; верхніе концы лентъ соединяются со стальною оправою для верхней пружины, причемъ щель оправы должна быть перпендикулярна къ стѣнѣ.

Затѣмъ ввинчивается латунный стержень маятника, слѣдя за тѣмъ, чтобы медная пластинка на концѣ стержня была горизонтальна послѣ за-винчиванія, и присоединяютъ 4 стальныя струны, равномѣрно натянувъ ихъ.

Въ верхнюю пластинку на стѣнѣ вставляется стальной брускъ съ пружиной (рис. 4) и укрѣпляется гайкой навинчаемой поверхъ кругового выступа пластины, причемъ подъ гайку надо подложить предварительно шайбу, сферическимъ основаніемъ книзу. Пружина должна быть обращена внизъ и перпендикулярно къ стѣнѣ. Поверхность соприкосновенія между гайкой и шайбой, а также и весь верхній винтъ должны быть обильно смазаны вазелиномъ.

Пружина верхняго бруска вставляется въ щель стальной оправы на верхнемъ концѣ стальныхъ полосъ, послѣ чего щель крѣпко зажимается винтомъ.

Теперь можно уже приступить къ самому навинчиванію маятника. Въ выступъ нижней пластины, привинченной къ стѣнѣ, вставляется пружинка *b* (рис. 5 и 6), причемъ штифтъ короткихъ стальныхъ тисочковъ вкладывается въ горизонтальный желобъ выступа. Вилка же, ввинченная въ средній дискъ груза, устанавливается противъ остраго ребра удлиненныхъ тисочковъ такъ, чтобы это ребро вошло въ соотвѣтственное углубленіе вилки, при этомъ второе лицо должно поднять одновременно грузъ маятника на надлежащую высоту, завинчивая гайку на верхнемъ подвѣсѣ.

Остается только привести стержень маятника въ горизонтальное положеніе при помощи гайки верхняго подвѣса; дѣйствуя затѣмъ боковыми винтами во второмъ выступѣ верхней пластины, приводятъ стержень въ положеніе, перпендикулярное къ стѣнѣ. При помощи же переднято и заднаго винтовъ того же выступа можно менять периодъ маятника; если ось вращенія приближается къ стѣнѣ, периодъ увеличивается и наоборотъ. Периодъ слѣдуетъ доводить до 20 — 25 сек., опредѣливая его по карманнымъ часамъ съ секундной стрѣлкой.

По исполненіи всѣхъ описанныхъ операций, въ числѣ ихъ и установки маятника на надлежащій периодъ, можно обратиться къ сборкѣ магнитовъ. Предварительно долженъ быть возведенъ маленький каменный столбикъ на

фундаментъ, отмѣченный на рис. 13 буквою *R*; всѣ размѣры указаны на рисункѣ. На ближайшей къ стѣнѣ тумбочки устанавливается штативъ съ парою магнитовъ, такимъ образомъ, чтобы мѣдная пластинка на стержнѣ маятника расположилась симметрично между магнитами. Съ этой цѣлью можно смѣщать магниты въ вертикальномъ направленіи при помощи особыхъ винтовъ. Магниты одѣваются на штативъ такъ, чтобы противоположные полюса были другъ противъ друга; для руководства слѣдуетъ обращать вниманіе на цифры, поставленныя на магнитахъ и на штативѣ. Передняя сторона штатива, на которую одѣваются магниты, должна быть обращена отъ стѣны. Подъ ножки штатива подкладываются предварительно круглые подставки, и, само собою разумѣется, что штативъ надо установить вертикально, управляя тремя винтами на ножкахъ его. Разстояніе между полюсами магнитовъ надо подобрать такъ, чтобы каждый размахъ былъ меньше предыдущаго въ 4 или 5 разъ; этотъ результатъ будетъ достигнутъ, когда магниты раздвинуты на разстояніе 8—15 милл. другъ отъ друга, въ зависимости отъ силы магнитовъ.

Послѣдняя операція при сборкѣ маятника заключается въ установкѣ пишущаго пера. На конецъ стержня маятника навинчивается полуконическая латунная часть *c* (рис. 7), въ свободный конецъ которой ввинчивается аллюминіевое перо *b* съ роговымъ остріемъ, удаливъ предварительно съ позолоченной части загнутую подъ прямымъ угломъ пластинку. Роговое остріе должно по возможности легко касаться бумаги, съ каковою цѣлью короткій конецъ рогового штифта уравновѣшивается наклеиваніемъ маленькихъ кусочковъ воска.

Въ случаѣ необходимости ввести увеличительный приборъ, къ части *c*, а также и къ обращенному къ ней концу аллюминіеваго пера *b* привинчиваются согнутыя подъ прямымъ угломъ пластинки съ агатовыми чашечками, такъ чтобы крючки на пластинкахъ были обращены кверху. Далѣе, въ маленькихъ тисочкахъ, которыми снабжена позолоченная часть аллюминіеваго пера, зажимается средина тонкой бронзовой проволоки (рис. 8), имѣющей діаметръ около 0,13 мм. и длину около 35 см.; концы же этой проволоки также укрѣпляются въ особые тисочки. Проволока вставляется въ прорѣзы на пластинкахъ, привинченныхъ къ штативу для магнитовъ, натягивается и укрѣпляется въ вертикальномъ положеніи, съ каковою цѣлью слѣдуетъ, отдавъ тисочки на верхнемъ концѣ проволоки, перемѣстить ихъ вдоль нея до касанія съ верхней пластинкой и вновь закрѣпить въ этомъ положеніи. Затѣмъ оба плеча увеличительного прибора уравновѣшиваются передвиженіемъ шайбы на позолоченномъ короткомъ плечѣ. Само собою разумѣется, что стержень увеличительного прибора долженъ находиться въ одной горизонтальной плоскости со стержнемъ маятника, въ противномъ

случаѣ аллюминіевое перо слѣдуетъ перемѣстить вдоль проволоки, освободивъ для этого тисочки, при помощи которыхъ перо удерживается на проволокѣ. Остается только надѣть латунную спираль на крючки у привинченныхъ къ с и б пластинокъ, вставивъ внутрь спирали стальную иглу, которая своими остріями должна опираться въ агатовыя чашечки.

§ 5. Сборка и установка регистрирующаго аппарата. Съ обѣихъ сторонъ часоваго механизма привинчиваются двѣ длинныя и узкія пластиинки *A*, слѣдя за поставленными цифрами (рис. 7).

Черезъ кольцо стержня съ грузомъ, служащаго регуляторомъ, продѣвается пластиинка *t*, которая затѣмъ навинчивается на упомянутыя длинныя боковыя полосы, такъ, чтобы штифтъ кольца находился въ агатовой чашечкѣ пластиинки. Нижній же кончикъ стержня съ грузомъ вставляется въ прорѣзь на подвижной пластиинкѣ часоваго механизма.

На противоположномъ концѣ салазокъ привинчивается стойка *t*, такъ, чтобы электромагнитъ былъ обращенъ внутрь.

Затѣмъ накладывается валъ, причемъ барабанъ долженъ быть на стѣронѣ часоваго механизма и, по возможности, ближе къ нему; къ электромагниту же привинчивается особый аллюминіевый ударникъ.

На салазкахъ регистрирующаго аппарата имѣется уровень, по которому слѣдятъ за горизонтальнымъ положеніемъ всего аппарата, что имѣетъ большое значеніе для равномѣрности вращенія. Регистрирующій аппаратъ устанавливается на второй тумбочкѣ малаго столба *R* (рис. 13), такимъ образомъ, чтобы кончикъ рогового пера маятника лежалъ на самой высокой точкѣ вала, непосредственно позади ударника электромагнита, отступивъ отъ наружнаго края барабана на 4 сант. Часовой механизмъ долженъ находиться слѣва отъ пера, если смотрѣть на маятникъ спереди. Заводится часоваго механизма одинъ разъ въ сутки, во время смыны бумажныхъ лентъ; въ теченіе одной минуты точка, лежащая на поверхности вала, описываетъ дугу длиною 30 мм.

§ 6. Установка контактныхъ часовъ. Отмѣтки времени на закопченной бумагой лентѣ, обтягивающей валъ регистрирующаго аппарата, производятся при помощи ударника электромагнита, черезъ который ежеминутно пропускаются кратковременные электрическіе токи. Замыканіе гальванической цѣпи производится автоматически, посредствомъ такъ называемыхъ контактныхъ часовъ. Часы слѣдуетъ вѣшать на совершенно вертикальной стѣнѣ (въ противномъ случаѣ не обходимо сдѣлать подкладки), въ сухомъ помѣщеніи; въ ящики часовъ слѣдуетъ поставить чашку съ хлористымъ кальціемъ для осушки воздуха. Циферблать должны находиться на уровнѣ

глазъ. На русской сейсмической сѣти приняты часы Strasser и Rohde, установка которыхъ излагается въ настоящемъ §'ѣ.

Рис. 15.

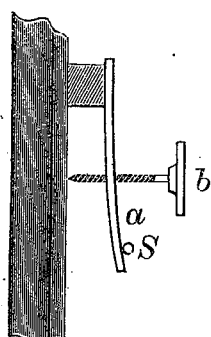
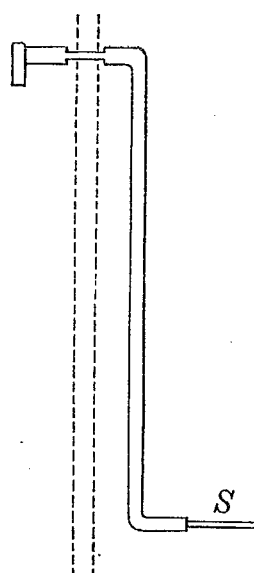


Рис. 16.



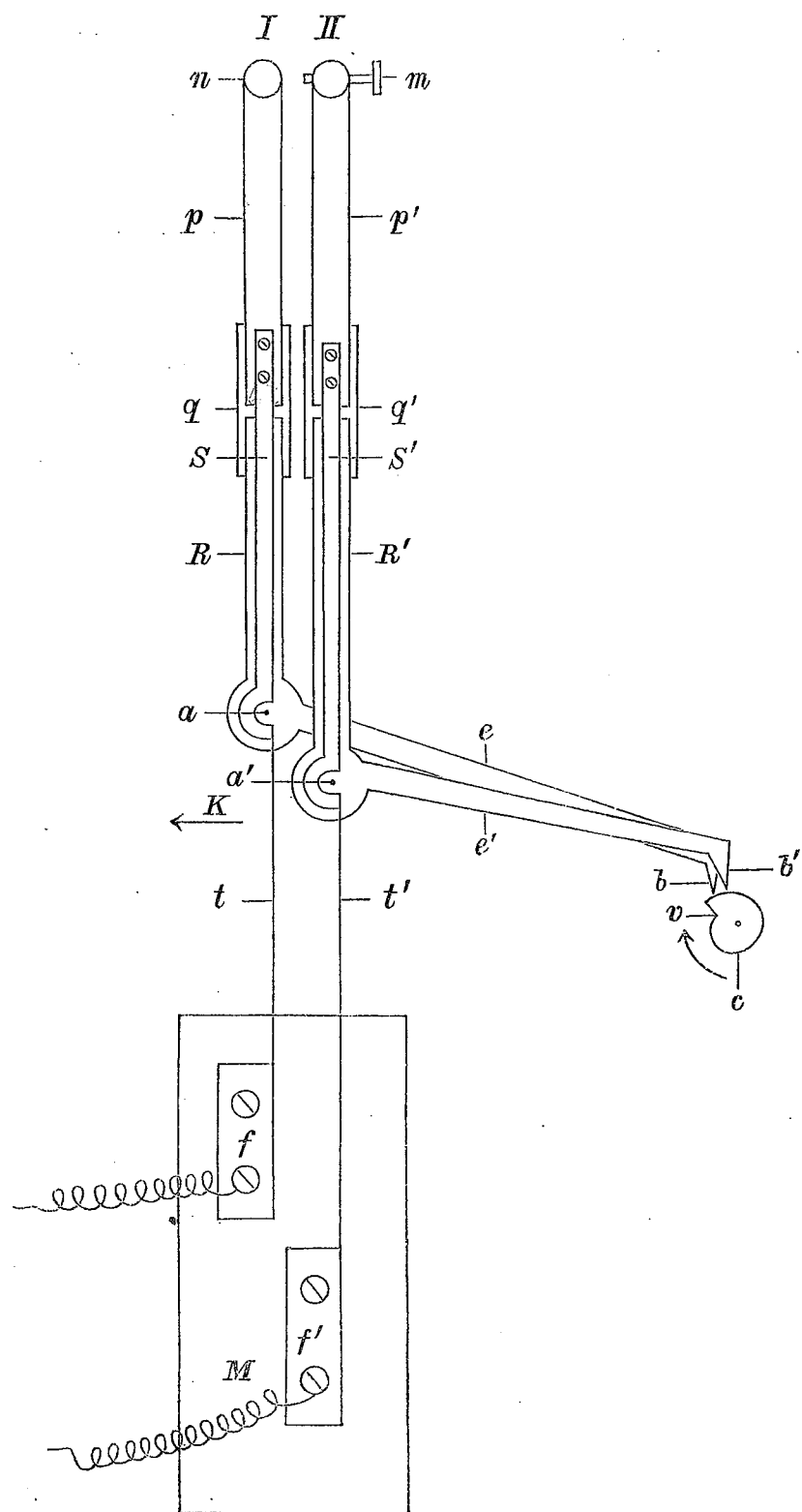
На верхней части стержня часоваго маятника имѣется упругая пластинка *a* (рис. 15) съ винтомъ *b*. Вынувъ часовыи механизмы изъ ящика, навѣшиваютъ маятникъ и затѣмъ вкладываютъ обратно часовыи механизмы такимъ образомъ, чтобы приводъ *s*, идущій отъ секунднаго колеса и имѣющій видъ, изображенныи на рис. 16, расположился справа отъ упругой пластинки *a*. Послѣ того, какъ часовыи механизмы закрѣплены и часы пущены въ ходъ, при помощи винта *b* передвигаютъ пластинку *a* до того ея положенія, при которомъ секундные удары при обоихъ отклоненіяхъ маятника сдѣлаются равными по силѣ и отчетливости.

Для регулировки хода часовъ служатъ двѣ гайки въ нижней части маятника, изъ которыхъ верхняя, болѣе широкая раздѣлена на 50 дѣленій по окружности; передвиженіе этой гайки на 1 дѣленіе въ ту или другую сторону соотвѣтствуетъ измѣненію хода часовъ на 1 секунду въ сутки. Регулировка производится такимъ образомъ: опускаютъ нижнюю гайку на нѣсколько оборотовъ винта, поворачиваютъ верхнюю гайку на нужное число дѣленій и затѣмъ снова подвинчиваютъ къ ней нижнюю гайку. Болѣе тонкая регулировка производится накладываніемъ легкихъ пластинокъ различнаго вѣса на полочку, которой снабженъ посрединѣ стержень маятника. Пользуясь обоими пріемами, необходимо добиться, чтобы часы отставали или уходили впередъ не болѣе чѣмъ на 1 сек. въ сутки.

Контактное приспособленіе имѣетъ слѣдующее устройство (рис. 17).

Два ломанныхъ рычага I и II, состоящіе изъ частей *n*, *m*, *p*, *p'*, *q*, *q'*, *s*, *s'*, *R*, *R'*, *e*, *e'*, *b* и *b'*, вращаются около осей *a* и *a'*. Конецъ *e* рычага I на  $\frac{1}{4}$  миллиметра, приблизительно, не доходитъ до конца *e'* рычага II, вслѣдствіе чего зубецъ *b'* на ту же долю миллиметра выступаетъ передъ зубцомъ *b*. Оба зубца *b* и *b'* лежать на улиткѣ *C*, надѣтой на ось секунднаго колеса. Концы рычаговъ *n* и *m* (винты) выходятъ наружу изъ-за циферблата.

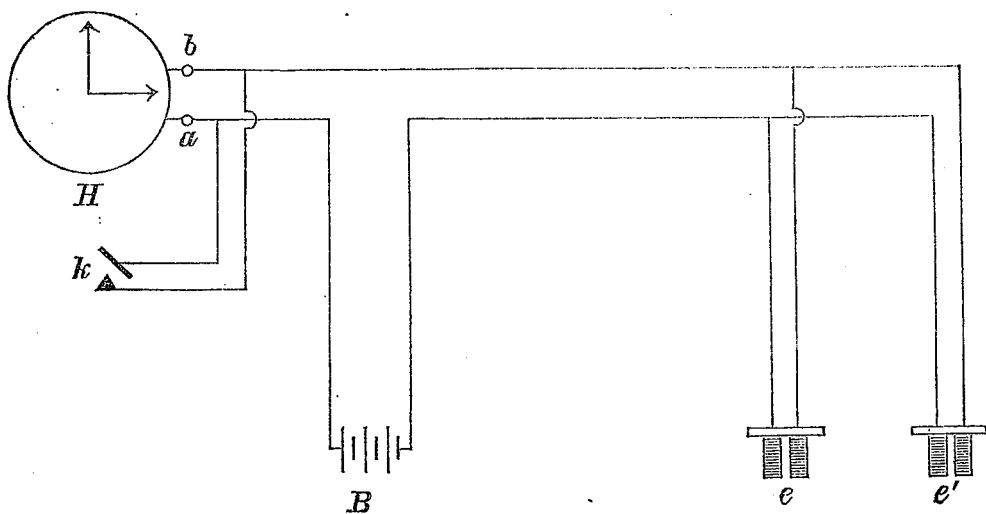
Plac. 17.



Пластиинки  $p$  и  $p'$  съ частями  $n$  и  $m$  соединены съ рычагами при помоши изоляторовъ  $q$  и  $q'$ ; къ пластиинкамъ  $p$  и  $p'$  присоединены полоски  $s$  и  $s'$ , которые проходятъ поверхъ пластиинокъ  $R$  и  $R'$  рычаговъ, не касаюсь ихъ. Около осей  $a$  и  $a'$  на пластиинки  $s$  и  $s'$  нажимаютъ въ направлениі, указанномъ стрѣлкой  $K$ , пружины  $t$  и  $t'$ , отчего оба рычага зубцами  $b$  и  $b'$  прижимаются къ улиткѣ  $C$ . Пружины  $t$  и  $t'$  соединены съ пластиинками  $f$  и  $f'$ , расположеными на изоляторѣ  $M$ . Отъ пластиинъ  $f$  и  $f'$  идутъ провода къ зажимамъ на ящикѣ часовъ, служащимъ для включения часовъ въ гальваническую цѣпь.

Замыканіе тока происходитъ при прикосновеніи  $n$  къ винту  $m$  (токъ идетъ черезъ  $f$ ,  $t$ ,  $s$ ,  $p$ ,  $n$ ,  $m$ ,  $p'$ ,  $s'$ ,  $t'$  и  $f'$ ). Когда зубцы  $b$  и  $b'$  находятся на одномъ уровнѣ, то  $n$  и  $m$  разъединены и тока нѣтъ. Замыканіе тока

Рис. 18.



происходитъ въ тотъ моментъ, когда улитка  $C$ , передвигаясь вмѣстѣ съ секунднымъ колесомъ въ направлениі указанномъ стрѣлкой, подходитъ къ зубцамъ  $b$  и  $b'$  своей впадиной  $v$ . Въ эту впадину первымъ входитъ зубецъ  $b$  рычага I. Въ этотъ моментъ конецъ  $e$  этого рычага наклоняется внизъ, вслѣдствіе чего часть его  $n$  нажимаетъ на винтъ  $m$  рычага II и цѣпь замыкается. Вслѣдъ за зубцомъ  $b$  (приблизительно черезъ секунду) во впадину  $v$  улитки  $C$  попадаетъ зубецъ  $b'$ ; зубцы снова располагаются на одномъ уровнѣ,  $m$  снова отходитъ отъ  $n$  и токъ прекращается.

Схема гальваническаго соединенія часовъ съ электромагнитомъ регулирующаго аппарата указана на рис. 18. Для соединенія пользуются обыкновенной звонковой проволокой, діаметромъ около 1 милл., для питанія же цѣпи достаточно батареи изъ трехъ элементовъ Лекланше, соединенныхъ послѣдовательно, т.-е. цинкъ одного съ углемъ другого.

Въ цѣнь, образованную батареей *B* и часами *H*, включаются параллельно или последовательно электромагниты *c* и *c'* регистрирующихъ аппаратовъ.

Кромѣ того, слѣдуетъ сдѣлать отвѣтвленіе съ ключемъ *k*, такимъ образомъ, чтобы одна точка отвѣтвленія была между часами и батареей, а другая — между часами и отвѣтвленіемъ къ электромагнитамъ. Замкнувъ ключъ *k*, можно пустить непрерывный токъ въ электромагниты *c* и *c'*, которые примкнутъ ударникъ къ валу регистрирующаго аппарата, причемъ на бумажной лентѣ вычертится непрерывная линія при длительномъ замыканіи тока, что имѣеть значеніе при пускѣ приборовъ (см. слѣдующій §).

Ключъ *k* полезно укрѣпить на стѣнѣ или на особомъ столикѣ возлѣ часовъ съ такимъ расчетомъ, чтобы можно было держать ключъ рукою и видѣть въ то же время вполнѣ отчетливо секундную стрѣлку часовъ.

Ударникъ электромагнита оставляетъ на бумажной лентѣ регистрирующаго аппарата ежеминутныя мѣтки, отстоящія другъ отъ друга приблизительно на 30 милл. Признакомъ того, что регистрирующій аппаратъ работаетъ исправно, служить равенство разстояній между минутными мѣтками по всей длине ленты. Въ этомъ случаѣ мѣтки времени располагаются поперекъ ленты по прямой линіи; если же поперечный ряда мѣтокъ изломанъ, то это служить указаніемъ на неравномѣрность вращенія регистрацирующаго аппарата, что можетъ произойти, если салазки аппарата не горизонтальны, или отъ засоренія механизма. За исправнымъ дѣйствіемъ регистрацирующаго аппарата необходимо ежедневно слѣдить.

**§ 7. Пускъ и остановка приборовъ.** Въ настоящемъ §'ѣ излагаются ежедневныя обязанности наблюдателя и ихъ неукоснительное исполненіе является необходимымъ условіемъ пригодности добытыхъ матеріаловъ для научныхъ цѣлей.

Пускъ приборовъ производится слѣдующимъ образомъ. Снявъ барабанъ съ регистрирующаго аппарата, для чего необходимо предварительно откинуть назадъ роговое остріе пишущаго пера маятника и отвести въ сторону электромагнитъ съ ударникомъ, обтягиваются плотно барабанъ бумажною лентою, глянцевой стороною наружу, и заклеиваются ленту гуммиарбикомъ. Затѣмъ бумажную ленту покрываютъ тонкимъ и по возможности равномѣрнымъ слоемъ сажи, вращая барабанъ надъ какимъ-либо контящимъ пламенемъ, напр., керосиновой горѣлки съ широкой и плоской свѣтильней. Барабанъ вставляется на мѣсто, вплотную къ заведенному передъ тѣмъ часовому механизму; пишущее перо и ударникъ опускаются, причемъ слѣдятъ, чтобы перо маятника слѣдовало непосредственно позади за ударникомъ электромагнита и на разстояніи около 4 см. отъ края ленты. При

этомъ надо убѣдиться, оставлять ли ударникъ электромагнита слѣдь на бумагѣ въ моментъ замыканія тока; въ противномъ случаѣ слѣдуетъ весь электромагнитъ опустить, но не слишкомъ, такъ какъ иначе перо будетъ царапать ленту и при разомкнутой цѣпи. То же самое продѣлываются и у второго маятника.

Для того, чтобы можно было разобраться въ дальнѣйшемъ, какой минутѣ времени соотвѣтствуетъ каждая отдельная мѣтка на сейсмограммѣ, слѣдуетъ подать сигналъ времени при пускѣ прибора. Съ этой цѣлью, установивъ регистрирующіе аппараты у обоихъ маятниковъ, подходятъ къ контактнымъ часамъ, кладутъ руку на ключъ *k* (рис. 18) и закрываютъ его на 45-ой секундѣ, держа закрытымъ 5 секундъ; на 50-ой секундѣ ключъ открывается. На 60-ой секундѣ той-же минуты ключъ вновь закрываютъ на пять секундъ, т.-е. открываютъ его на 5-ой секундѣ начавшейся минуты и ждутъ до 15-ой секунды, чтобы вновь замкнуть ключъ на пять секундъ. Затѣмъ ключъ открываютъ и заносятъ въ журналъ въ графѣ «пускъ» *тотъ часъ и ту минуту, которая закончилась во время сигнализациіи*. На сейсмограммѣ получаются три царалины длиною  $2\frac{1}{2}$  милл. каждая на разстоянії 5 милл. другъ отъ друга.

Сверхъ того, слѣдуетъ опредѣлить разстояніе между кончиками пишущаго пера маятника и ударника электромагнита, такъ называемый *параллаксъ* перьевъ. Эѣ этой цѣлью выжидаютъ, когда ударникъ электромагнита коснется бумаги въ концѣ минуты, и въ этотъ моментъ даютъ легкій и не рѣзкій толчекъ по мѣдной пластинкѣ маятника, отъ чего остается на сейсмограммѣ поперечная линія. Разстояніе этой линіи отъ ближайшей минутной мѣтки и даетъ искомый параллаксъ. Описанную операцию слѣдуетъ повторить три раза у каждого аппарата.

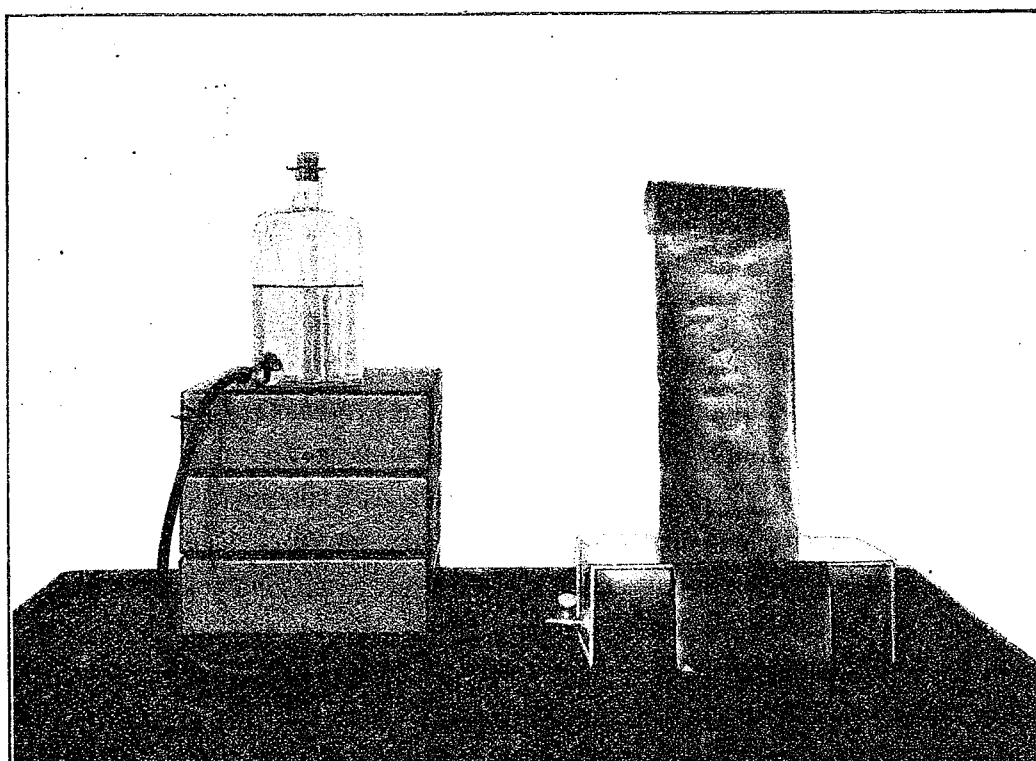
Въ заключеніе необходимо ежедневно записывать *кривую собственнаго движенія маятника*, чтобы имѣть возможность опредѣлить по ней *коэффициентъ затуханія*. Маятникъ отводится рукою за мѣдную пластинку (между магнитами) въ сторону отъ положенія равновѣсія, возможно дальше, и отпускается, послѣ чего онъ совершилъ нѣсколько колебаній съ убывающими амплитудами. Желательно получить по двѣ записи собственного движенія отъ каждого маятника.

Этимъ и заканчивается пускъ приборовъ. Само собой разумѣется, что всѣ описанныя операциіи желательно совершить въ возможно короткій промежутокъ времени, чтобы не терять своего личнаго времени, но главнымъ образомъ для того, чтобы скрѣпѣ предоставить приборы самимъ себѣ и не потерять землетрясенія, которое можетъ произойти во время работы наблюдателя у приборовъ.

На слѣдующій день, въ тотъ же часъ (съ точностью до 15 мин.) слѣ-

дуетъ явиться къ приборамъ для смыны бумаги. Но, прежде чѣмъ поднять перья у регистрирующаго аппарата, слѣдуетъ дать для контроля второй сигналъ времени на старую сейсмограмму. Для отличія, однако, конца сейсмограммы отъ ея начала, этотъ второй, заключительный сигналъ долженъ отличаться отъ перваго. Поступить надо такъ: выждавъ при часахъ конца минуты, замыкаютъ сигнальный ключъ въ 60-ую секунду и держать его закрытымъ 30 секундъ, послѣ чего открываютъ. Въ журналѣ *въ графѣ «остановка» заносится тогъ часъ и та минута, по истеченіи которой былъ замкнутъ ключъ.*

Рис. 19.



Послѣ этого вынимаютъ барабанъ, пишутъ на лентѣ число по новому стилю, мѣсяцъ и годъ, № сейсмограммы а также название составляющей (*N-S* или *E-W*), т.-е. плоскости, *перпендикулярной къ стержню маятника*; разрѣзаютъ ленту острѣмъ ножомъ и снимаютъ. Отложивъ въ сторону снятая съ обоихъ барабановъ ленты, приступаютъ, не теряя времени, къ пуску приборовъ, какъ было описано въ началѣ этого §'а.

По окончаніи же пуска, снятая ленты фиксируютъ насыщенными растворомъ бѣлаго шеллака въ 95% спиртѣ. Удобно пользоваться для этой цѣли полуцилиндрической кюветкой, соединенной при помощи каучуковой трубки съ сосудомъ для фиксажа (рис. 19).

Треніе пера маятника о закопченную бумагу уменьшаетъ размахи. Чтобы ввести надлежащую поправку, надо определить силу тренія. Съ этой цѣлью, одинъ разъ въ недѣлю, послѣ снятія сейсмограммъ, удаляютъ верхній магнитъ у маятника, надѣваютъ на барабанъ новый листъ бумаги и записываются собственное движение маятника, отведя его, по возможности, дальше въ сторону и предоставивъ самому себѣ на 25—30 минутъ. На это время полезно вовсе удалиться изъ комнаты, гдѣ установлены приборы. Желательно помѣстить барабанъ такъ, чтобы запись расположилась симметрично относительно краевъ ленты. Минутные мѣтки должны наноситься все время.

Снявъ затѣмъ ленту и нанеся на ней число по новому стилю, мѣсяцъ, годъ и название составляющей, устанавливаютъ удаленный магнитъ на мѣсто и приступаютъ къ обычному пуску приборовъ. Лента съ кривой собственного движения фиксируется и приобщается къ сейсмограммамъ.

**§ 8. Определение поправокъ часовъ.** Научная цѣнность сейсмограммъ обусловливается той степенью точности, съ какою можетъ быть определено по сейсмограммѣ время наступленія отдѣльныхъ фазъ землетрясенія. По этимъ соображеніямъ необходимо знать съ точностью до 1 сек. поправку контактныхъ часовъ, подающихъ время на сейсмограмму.

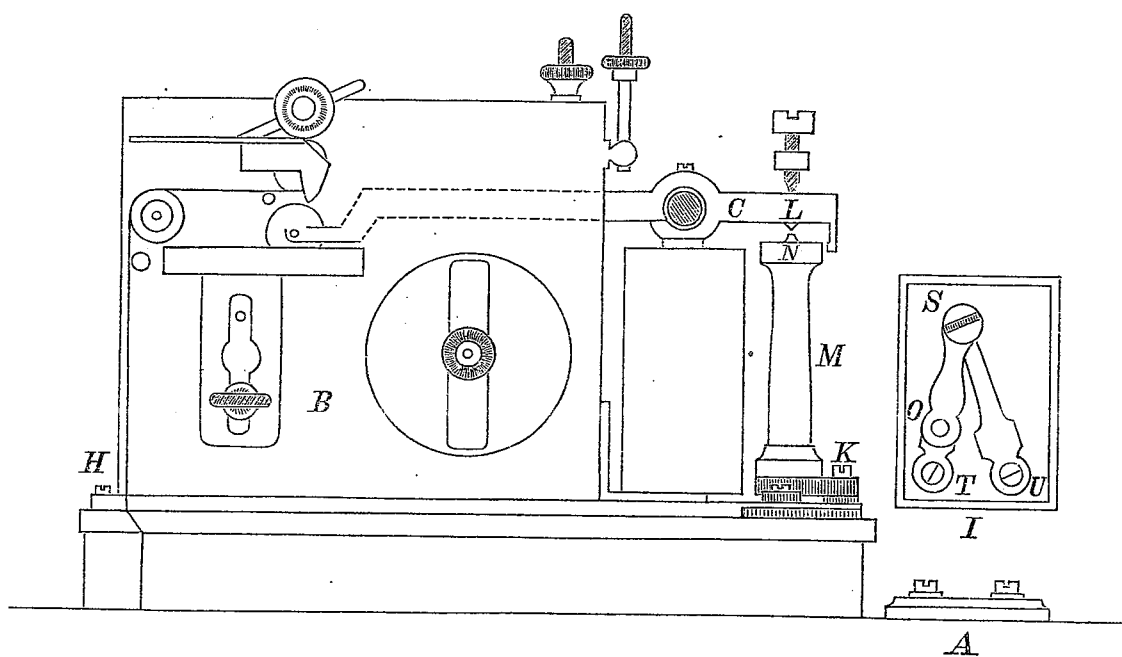
Определение поправки часовъ можетъ быть произведено путемъ астрономическихъ наблюдений, напр. съ пассажирскимъ инструментомъ, или же принятиемъ времени по телеграфу съ ближайшей Астрономической Обсерваторіи. Первый, астрономический способъ, кстати сказать весьма простой и доступный лицамъ знакомымъ лишь съ элементами низшей математики, изложенъ весьма обстоятельно въ статьѣ кн. Б. Б. Голицына «Къ вопросу объ определеніи времени на сейсмическихъ станціяхъ второго разряда»<sup>1)</sup>. Въ настоящемъ §'ѣ мы остановимся поэтому лишь на телеграфномъ способѣ.

На астрономической обсерваторіи устанавливается телеграфный аппаратъ Морзе, соединенный особымъ проводомъ съ телеграфной конторой. Посредствомъ телеграфного ключа *A* (рис. 20 и 21) обсерваторія вызываетъ контору и просить дать необходимую обсерваторіи линію; получивъ отъ конторы по аппарату *B* (рис. 20 и 21) отвѣтъ, что линія включается и предоставляется въ распоряженіе обсерваторіи, послѣдняя вызываетъ конечную телеграфную станцію и просить дать линію на сейсмическую станцію; затѣмъ уже по полученіи отвѣта, что требование обсерваторіи исполнено, ею дается самый сигналъ времени.

<sup>1)</sup> Извѣстія Пост. Центр. Сейсм. Комиссіи. Т. 4, вып. II, стр. 48—77.

Для полученія подаваемаго обсерваторіей сигнала, сейсмическая станція снабжается такимъ же апаратомъ Морзе, какъ и сама обсерваторія, соединеннымъ особымъ проводомъ съ мѣстной почтово-телеграфной конторой, такъ что, по представлениі въ распоряженіе обсерваторіи всей линіи до сейсмической станціи, якоремъ С аппарата послѣдней громко отбивается всякий сигналъ, подаваемый въ обсерваторіи посредствомъ короткаго нажатія на рукоятку А ключа. Самая сигнализациія состоить въ томъ, что, приблизительно за 1 минуту до сигнала, обсерваторія дѣлаетъ въ продолженіи 10 — 15 секундъ рядъ очень частыхъ ударовъ ключемъ, такъ что лицо, принимающее на сейсмической станціи сигналъ, слышитъ на свое мѣсто

Рис. 20.



аппаратъ короткое постукиваніе въ видѣ дроби, чѣмъ обращается его вниманіе на то, что вскорѣ послѣдуетъ сигналъ времени. Послѣ этого, въ точно установленный моментъ (обычно, для практическаго удобства наблюдателя сейсмической станціи, въ полную минуту по соотвѣтственному, мѣстному времени) ключемъ въ обсерваторіи дается четыре короткихъ удара, соотвѣтствующихъ послѣдовательнымъ четыремъ секундамъ, 0-й, 1-й, 2-й и 3-й установленного времени, которые и отбиваются якоремъ телеграфнаго аппарата принимающей сигналъ сейсмической станціи. Наблюдатель сейсмической станціи обязанъ замѣтить точно часы, минуту и секунду, указываемые контактными часами въ моментѣ первого изъ четырехъ сигнальныхъ ударовъ, и занести это показаніе въ особый журналъ. На случай, если бы

наблюдатель пропустилъ сигналъ, или ошибся при сличеніи съ нимъ контактныхъ часовъ, подобный же сигналъ повторяется ровно черезъ 30 сек.

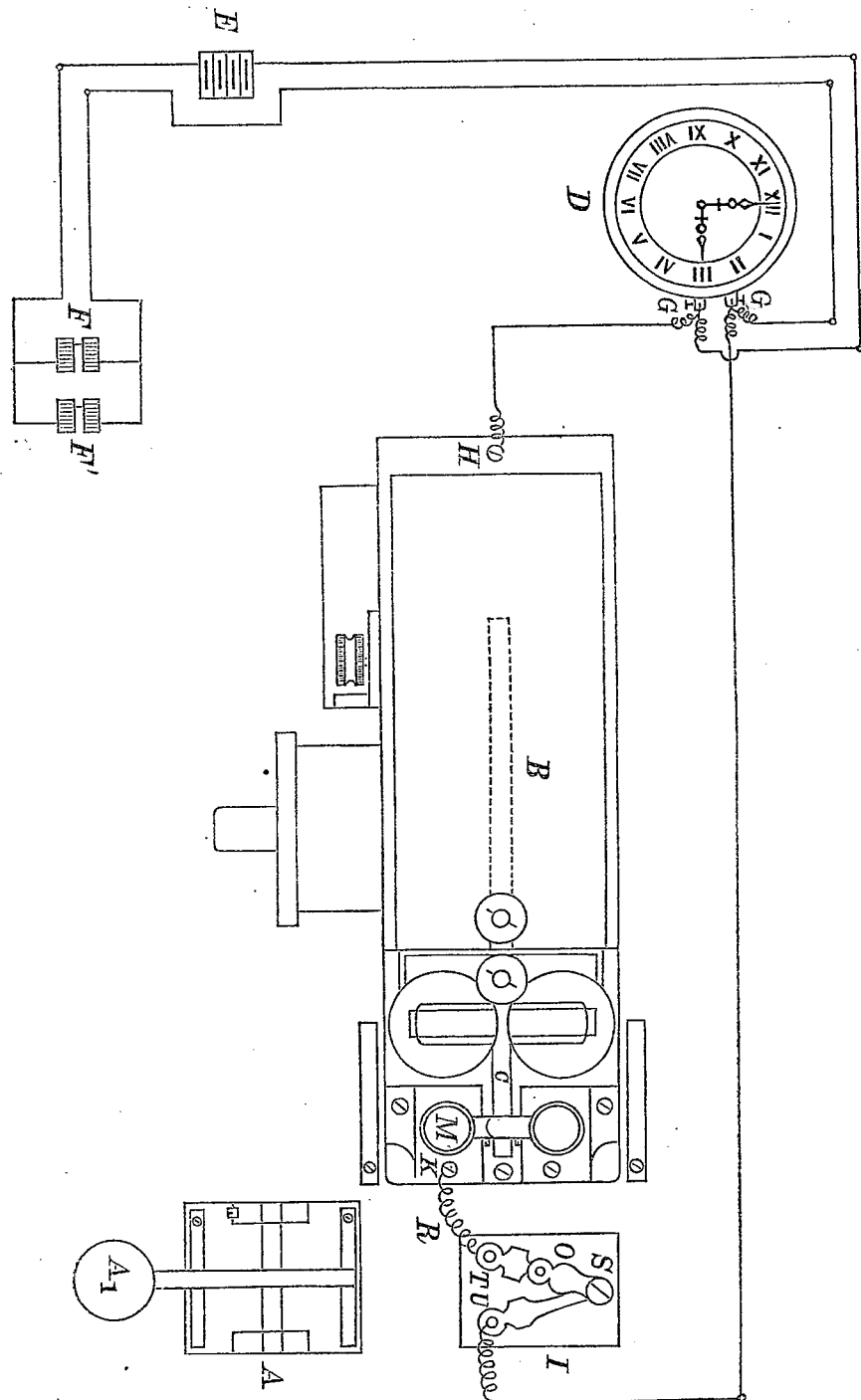


Рис. 21.

Кромѣ того, устанавливается на сейсмической станції приспособленіе, которое автоматически передаетъ сигналы на регистрирующіе аппараты въ видѣ мѣтокъ, подобныхъ ежеминутнымъ мѣткамъ, производимымъ коя-

тактыми часами. Схема проводовъ видна изъ рис. 21; а именно, отъ проводовъ, идущихъ къ контактнымъ часамъ  $D$  отъ батареи  $E$  и отъ электромагнитовъ  $F$  и  $F'$ , дѣлаютъ, для простоты, узажимовъ  $G$ ,  $G'$  часовъ (можно было бы для этой цѣли воспользоваться и особыми зажимами, прикрепленными къ любому мѣсту проводовъ станціи) отвѣтвленіе къ телеграфному аппарату (самые часы, такимъ образомъ, выключены изъ линіи), который помошью ихъ и включается въ станціонную цѣль слѣдующимъ образомъ. Одинъ изъ проводовъ вѣтви соединяется со всѣмъ корпусомъ, а слѣдовательно, и якоремъ телеграфнаго аппарата помошью винта  $H$ ; другой проводъ, черезъ посредство коммутатора  $I$  (на рисункѣ онъ представленъ замкнутымъ) и короткой проволочки  $R$ , соединяется помошью винта  $k$  съ изолированнымъ отъ всего остальнаго телеграфнаго аппарата столбикомъ  $M$  (это устройство столбика имѣется у всѣхъ аппаратовъ Морзе). Въ верхней части этого столбика находится винтъ  $N$ , высота котораго должна быть урегулирована настолько, чтобы при работе аппарата пружинистый платиновый язычекъ  $L$  якоря ударялъ по платиновому же штифту, которымъ оканчивается этотъ винтъ; при замкнутомъ коммутаторѣ, замыкается токъ въ станціонной цѣли при всякомъ притяженіи якоря телеграфнаго аппарата и ударники регистрирующихъ аппаратовъ производятъ мѣтки на закопченыхъ лентахъ. Коммутаторъ вводится потому, что зачастую конечная телеграфная станція забываетъ по окончаніи сигнализациіи выключить сейсмическую станцію и потому ударники послѣдней долгое время, иногда цѣлые сутки, отмѣчаютъ на лентахъ всю работу аппарата мѣстной телеграфной станціи, чѣмъ, съ одной стороны, портится лента, съ другой — сильно истощается батарея сейсмической станціи. Во избѣжаніе этого, коммутаторъ замыкается наблюдателемъ лишь на время полученія сигналовъ, т.-е. тотчасъ же по полученіи имъ вышеописанного предупрежденія въ видѣ дроби, отбиваемой телеграфнымъ аппаратомъ втеченіе 10 — 15 сек. незадолго до самаго сигнала, а тотчасъ же по полученіи сигнала снова размыкается переводомъ ручки  $O$  коммутатора изъ положенія  $ST$  въ положеніе  $SU$ . На тѣхъ же станціяхъ, гдѣ наблюдатель не можетъ присутствовать при сигнализациіи, онъ замыкаетъ коммутаторъ утромъ, напримѣръ, передъ уходомъ по служебнымъ дѣламъ, и размыкаетъ его, какъ только освободится отъ прочихъ своихъ обязанностей.



# Die Zentrale Seismische Station in Pulkovo.

VON J. WILIP.

## Einleitung.

Kein Land in der Welt ist wohl zur Erforschung von Erdbeben so geeignet, wie das grosse Russische Reich. Das kolossale Gebiet erlaubt nicht allein Studien an Nahbeben vorzunehmen, sondern es liefert wegen seiner gewaltigen Ausdehnung die Möglichkeit, Beobachtungen an den von vielen Schüttergebieten ausgehenden und in fernen Gegenden sich als Fernbeben kundtuenden Bewegungen anzustellen.

Man denke nur an die Schüttergebiete, die meistenteils in den Grenzlanden, wie Kaukasus, Turkestan und im fernen Osten vorkommen und deren Beben oft auf allen Stationen der Welt registriert werden.

Derartige Studien im eigenen Lande sind sehr bequem auszuführen und von grossem Wert, wenn dieselben plangemäss und in systematischer Weise vorgenommen werden.

Daher ist es mit Genugtuung zu begrüssen, dass unsere Seismologische Kommission, an deren Spitze der Direktor der Pulkovoer Sternwarte und Mitglied der Kaiserlichen Akademie der Wissenschaften zu St.-Petersburg O. Backlund steht, eine Reorganisation des seismischen Dienstes in Russland vorgenommen hat<sup>1)</sup>.

Dazu kommt noch als wichtiges Moment hinzu, dass im eigenen Lande ganz neue Apparate konstruiert und neue Beobachtungsmethoden ausgearbeitet worden sind, die für die seismologische Wissenschaft von enormem Wert sind und welche wir der Energie und dem zielbewussten Streben des

---

<sup>1)</sup> Siehe: Fürst B. Galitzin (Golicyn). Die neue Organisation des seismischen Dienstes in Russland. 1911. Comptes rendus des séances de la Commission sismique permanente. T. IV, Livr. 3.

Mitgliedes der Kaiserlichen Akademie der Wissenschaften und der Permanenten Seismologischen Kommission zu St.-Petersburg, des Fürsten B. Golicyn, verdanken.

Man versetze sich z. B. in die Zeit vor ca. 10 Jahren und lese in der seismologischen Litteratur, so wird man ersehen, wie wenig Hoffnung man damals auf die Angaben eines Horizontalpendelpaars setzte, inbezug darauf, was die Bestimmung des Azimuts des Epizentrums eines Bebens anbetrifft.

Ebenso wenig verstand man die Aufzeichnungen eines Vertikalseismometers zu schätzen und hoffte von ihnen vielfach nichts mehr, als von den der Horizontalpendel, d. h. nur die Möglichkeit der Bestimmung der Entfernung vom Epizentrum eines Bebens.

Ganz anders hat sich das Bild nach den Arbeiten und Versuchen des Fürsten B. Golicyn gestaltet.

Durch Anwendung einer starken magnetischen Dämpfung bei den Pendeln, wobei die Eigenbewegung dieser Apparate auf ein Minimum reduziert wird, durch seine galvanometrische Registriermethode, bei welcher man die Empfindlichkeit beliebig hoch treiben kann, und durch die Wahl einer grösseren Drehgeschwindigkeit der Registrierapparate ( $30^{\text{m}}/\text{m}$  pro Minute) ist erreicht, dass die Aufzeichnungen so klar und deutlich werden, dass man nach den Angaben einer einzigen seismischen Station nicht allein die Entfernung bis zum Epizentrum, sondern auch die Richtung, aus der die seismischen Strahlen zum Beobachtungsort gelangen, ganz leicht bestimmen kann.

Noch mehr! Ein einigermaassen geübter Beobachter, der mit ähnlichen Erdbebenaufzeichnungen einige Zeit zu tun gehabt hat, ist imstande, nach dem Charakter der ersten Vorphase die Herkunftsrichtung richtig zu schätzen, ohne irgend welche Rechnungen anzustellen.

Diese Errungenschaft ist von unermesslichem Wert, denn die Bestimmungen des Azimuts nach einer einzigen Station scheinen zur Zeit viel genauer zu sein, als die bis jetzt gewöhnlich nach Angaben von mehreren Stationen gemachten, ganz besonders aber, wenn das Epizentrum weit von den Beobachtungsorten entfernt ist und diese Stationen ihrerseits nahe bei einander liegen.

Ein grosses Interesse bietet ferner die Bestimmung der Austrittsrichtung des seismischen Strahles, des sogenannten scheinbaren Emergenzwinkels. Fürs erste ist in dieser Richtung nur der Anfang gemacht worden<sup>1)</sup>.

---

<sup>1)</sup> Siehe: Fürst B. Galitzin (Golicyn). Beobachtungen über die Vertikalkomponente der Bodenbewegung. Bulletin de l'Académie Impériale des sciences de St.-Pétersbourg. 1911. p. 983.

Zur Zeit gibt es nur wenige Stationen, die mit einem Vertikalseismographen ausgerüstet sind und es wäre zu wünschen, dass möglichst viele Stationen mit gleichartigen Seismographen ausgestattet werden.

Dann erst würde man ein anschauliches Bild über den Gang der longitudinalen Wellen durch die obersten Erdschichten erhalten.

Von grosser Bedeutung ist auch ein genaues Studium des Beginnes der zweiten Vorphase, von deren Charakter wir bis jetzt nur wenig wissen<sup>1)</sup>, und so viele andere Aufgaben der modernen Seismometrie, die uns den Mechanismus der Bewegungen in der Erdkugel während eines Bebens aufklären.

Zu allen derartigen Untersuchungen ist, wie dieses durch die Arbeiten Fürst Golicyn's genügend bewiesen worden ist, die galvanometrische Registriermethode sehr geeignet.

#### Die Geschichte der Entstehung der seismischen Station.

Bevor ich zur Beschreibung der neuen Zentralen Seismischen Station in Pulkovo übergehe, möge noch kurz die Geschichte ihrer Entstehung, sowie der mit ihr verknüpften galvanometrischen Registriermethode angegeben werden.

Nachdem Fürst B. Golicyn die theoretische Grundlage zur galvanometrischen Registriermethode gegeben hatte, die zunächst nur im Physikalischen Laboratorium der Kaiserlichen Akademie der Wissenschaften zu St.-Petersburg durch Versuche geprüft wurde, erschien es als notwendig, diese Methode auch in Wirklichkeit, beim Eintreffen von Erdbebenwellen, zu erproben.

Zu dem Zwecke stellte Prof. Dr. Levickij, der damalige Rektor der Universität in Jurjev (Dorpat) und Mitglied der Permanenten Seismologischen Kommission bei der Kaiserlichen Akademie der Wissenschaften zu St.-Petersburg, einen Kellerraum unter dem Domberge der Universität, wo die Jurjever seismische Station sich befindet, zur Verfügung.

Im Herbst des Jahres 1905 wurde dort ein Zöllner'sches Pendel alter Konstruktion mit elektromagnetischer Dämpfung und galvanometrischer Registrierung aufgestellt.

Die Methode, die damals noch teilweise in den Kinderschuhen steckte, erwies sich beim ersten Versuch beim Eintreffen von Erdbebenwellen als viel zu empfindlich.

---

<sup>1)</sup> Siehe: Fürst B. Galitzin (Golicyn). Ueber die Schwingungsrichtung eines Bodenteilchens in den transversalen Wellen der zweiten Vorphase eines Bebens. L. c. p. 1019.

Zudem war dieser Keller für derartige Versuche nicht sehr geeignet, da der Feuchtigkeitsgehalt sehr hoch war und zur Zeit starker Winde beträchtliche mikroseismische Bewegungen II Ordnung auftraten, die bekanntlich die Aufzeichnungen von Fernbeben sehr entstellen können. Auch die Erwerbung der elektrischen Energie für die Akkumulatoren machte einige Umstände, da zum Laden derselben durchaus Gleichstrom nötig ist.

Aus dem Grunde erschien es als angebracht, einen geeigneteren Ort für eine derartige Prüfung der Methode ausfindig zu machen.

Durch das liebenswürdige Entgegenkommen des Direktors der Pulkovoer Sternwarte O. Backlund war diesem Wunsch ein Ziel gesetzt, der einige Kellerräume unter dem Observatorium für diese Versuche zur Verfügung stellte.

Im Laufe des Sommers des Jahres 1906 wurden dort die nötigen Vorbereitungen getroffen und Anfang Dezember die Apparate aufgestellt.

Damit war in Pulkovo der Grund zu einer wissenschaftlichen Erdbebenstation gelegt, die zunächst nicht den Zweck verfolgte, laufende Beobachtungen zu führen, sondern sich zum Ziel gesetzt hatte, verschiedene Seismographen und Beobachtungsmethoden zu prüfen.

Zuerst wurden dort 2 Zöllner'sche Pendel alten Systems ganz genau ähnlich montiert, nur mit dem Unterschiede, dass das eine ungedämpft, das andere aber sehr stark bis zur Aperiodizitätsgrenze gedämpft war und zudem noch galvanometrisch registrierte. Die Bewegungen beider wurden optisch auf einem kleinen Zimmermann'schen Registrierapparat (Länge der Minute ca.  $28^m/m$ ) nebeneinander aufgeschrieben.

Ausserdem funktionierte dort noch ein Klinograph, dessen Bewegungen galvanometrisch mit dem anderen Zöllner'schen Pendel auf einem speziellen Registrierapparat (Länge einer Minute ca.  $31^m/m$ ), welchen der Mechaniker am Physikalischen Laboratorium der Kaiserlichen Akademie der Wissenschaften zu St.-Petersburg H. Masing gebaut hatte, aufgezeichnet wurden.

Bei dieser Beobachtungsserie wurden für Dämpfungszwecke und galvanometrische Registrierung, ähnlich wie in Jurjev (Dorpat), Elektromagnete benutzt, die von speziellen Akkumulatorengruppen magnetisiert wurden<sup>1)</sup>.

In dieser Weise funktionierte die Station vom 9. Dezember 1906 bis zum 27. Februar 1907, wobei die Pendel nur die NS-Komponente der Erdbewegung registrierten.

Durch diese Beobachtungsserie wurde die Zulassung einer elektromagnetischen Dämpfung bei Erdbebenapparaten nachgewiesen. Die Anwendung

---

<sup>1)</sup> Siehe: Fürst B. Galitzin (Golicyn). Seismometrische Beobachtungen in Pulkovo. 1907. L. c. T. III, Livr. 1.

einer galvanometrischen Registrierung wurde gleichfalls als sehr vorteilhaft erkannt, da alle Bebenphasen klar und deutlich hervortraten. Das Arbeiten mit ungedämpften Seismographen wurde als sehr kompliziert und das Erdbebenbild verwirrend gefunden. Der Klinograph zeigte keine Neigungen<sup>1)</sup>.

Vom 27. Februar bis zum 28. November 1907 wurden die Registrierungen unterbrochen und diese Zeit benutzte man dazu, um weitere Laboratoriumsversuche vorzunehmen, wobei es sich herausgestellt hat, dass die Beobachtungsmethode sich bedeutend vereinfachen liess, dadurch, dass anstelle der sehr umständlichen Elektromagnete einfach permanente Hufeisenmagnete genommen werden konnten.

Um diese Methode zu prüfen, dazu sollte die folgende Beobachtungsreihe dienen.

Von neuem wurde die Station angelassen am 28. November 1907 und funktionierte dann ununterbrochen bis zum 17. Mai 1908.

Es wurden diesmal drei verschiedene Pendel in der NS-Richtung montiert, ein schweres Zöllner'sches alten Systems, ein neues Fürst Golicyn'sches mit einer Stützspitze in der Nähe der Drehungsaxe und ein Rebeur-Paschwitz'sches auf zwei Spitzen. Alle drei waren bis zur Aperiodizitätsgrenze magnetisch gedämpft und registrierten galvanometrisch, das Rebeur-Paschwitz'sche auf dem Zimmermann'schen und die beiden anderen auf dem grossen Registrierapparat<sup>2)</sup>.

Das Ergebnis dieser Versuche war ein sehr günstiges. Es wurde klar dargetan, dass man unter Anwendung einer rein magnetischen Dämpfung bis zur Aperiodizitätsgrenze mit verschiedenen Pendeltypen für die Verschiebung eines Punktes der Erdoberfläche sehr übereinstimmende Werte bekommt.

Die Bestimmung der Entfernung zum Epizentrum liess sich gleichfalls sehr gut durchführen, wie eine Vergleichung mit den Göttinger Daten gezeigt hat<sup>3)</sup>.

Ebenso gut bewährte sich die Methode zur Untersuchung von mikroseismischen Bewegungen.

Es trat nach dieser Beobachtungsreihe wiederum eine Pause bis zum 8. August 1908 ein, wo im Sommer Vorbereitungen zu neuen Versuchen getroffen wurden. Vom 8. August 1908 ab registrierte die Station ohne Unterbrechung.

---

1) Siehe: L. c.

2) Siehe: Fürst B. Galitzin (Golicyn). Seismometrische Beobachtungen in Pulkovo. 2-te Mitteilung. 1909. L. c. T. III, Livr. 2.

3) Siehe: L. c.

In der ersten Zeit arbeiteten dort 2 Fürst Golicyn'sche Pendel mit magnetischer Dämpfung und galvanometrischer Registrierung. In diese Periode fallen die Versuche mit Pendeln im luftverdünnten Raum. Das eine von diesen Pendeln, welche beide in der NS-Richtung orientiert waren, befand sich unter einer speziellen Stahlglocke, aus der man die Luft aus-pumpen konnte<sup>1)</sup>. Unter dieser Glocke wurde auch ein neuer Klinograph plaziert, der Neigungswellen anzeigen sollte. Ausserdem registrierte das Rebeur-Paschwitz'sche Pendel, gleichfalls im luftverdünnten Raum, die NS-Komponente der Erdbewegung.

In der ersten Zeit wurden hier noch zwei mechanisch registrierende Pendel alten Zöllner'schen Systems, die für die seismische Station in Pjatigorsk bestimmt waren, geprüft. Das eine von ihnen war mit magnetischer Dämpfung versehen, das andere besass keine Dämpfung<sup>2)</sup>.

Ende Januar 1909 wurden dicse beiden an ihren Bestimmungsort befördert und es wurden zugleich einige andere Veränderungen an der Station vorgenommen. Es wurde am 27. Januar das eine Fürst Golicyn'sche Pendel, welches unter einer gewöhnlichen Blechkappe registrierte, in die EW-Richtung gedreht und von dieser Zeit ab beginnen die höchst wichtigen Versuche zur Bestimmung des Azimuts eines Bebens nach einer einzelnen Station<sup>3)</sup>.

Zudem fand auf dem Pfeiler, auf welchem die mechanisch registrierenden Pendel gestanden hatten, ein neues Horizontalpendel seinen Platz, welches nach Art der beiden anderen galvanometrisch registrierenden eingerichtet war, mit dem Unterschiede, dass es eine kleinere Pendellänge besass und etwas kompakter konstruiert war. Dieses Exemplar war das erste des Pendeltypus, wie dieselben jetzt vom Mechaniker H. Masing gebaut werden.

Als Seismoskop diente ein altes Zöllner'sches Pendel mit mechanischer Registrierung, welches im Korridor des Kellerraumes aufgestellt wurde.

Am 27. November wurde das Pendel aus der Stahlglocke herausgenommen und diese entfernt. Die beiden Horizontalpendel für die beiden Horizontalkomponenten werden an diesem Tage auf einem und demselben

<sup>1)</sup> Siehe: Fürst B. Galitzin (Golicyn). Über mikroseismische Bewegungen. Gerland und Rudolphi's Beiträge zur Geophysik. Bd. X, Heft 2. und J. Wilip. Ueber die Einwirkung von Luftströmungen auf empfindliche Horizontalpendel. Comptes rendus des séances de la Commission sismique permanente. T. IV, Livr. 2.

<sup>2)</sup> Siehe: Fürst B. Galitzin (Golicyn). Das Sizilianische Erdbeben am 28. Dezember 1908. Bulletin de l'Académie Impériale des Sciences de St. Pétersbourg. 1909. p. 279.

<sup>3)</sup> Siehe: Fürst B. Galitzin (Golicyn). Zur Frage der Bestimmung des Azimuts des Epizentrums eines Bebens. L. c. 1909. p. 999. Bestimmung der Lage des Epizentrums eines Bebens aus den Angaben einer einzelnen seismischen Station. L. c. 1911. p. 941.

Pfeiler montiert und bleiben in dieser Stellung bis zum Schluss der Registrierungen auf dieser alten Station. Von hier ab arbeiten alle Apparate an der Luft.

Im März des Jahres 1910 wurden noch einige Erneuerungen vorgenommen.

Anstelle des Rebeur-Paschwitz'schen Pendels, welches jetzt ganz entfernt wurde, fand wiederum ein Fürst Golicyn'sches auf einem anderen Pfeiler seinen Platz. Ausserdem wurde ein Fürst Golicyn'sches 100-Kilogramm-Pendel<sup>1)</sup> mit mechanischer Registrierung und magnetischer Dämpfung im Korridor aufgehängt, welches jetzt die Rolle eines Seismoskops übernehmen sollte.

Am 18. Juni wurden die Registrierungen mit dem neuen Vertikal-seismographen<sup>2)</sup> begonnen und seit dieser Zeit wurden fortlaufend alle 3 Komponenten der Erdbewegung aufgezeichnet.

Dieses wäre kurz das Bild der Entwicklung der seismometrischen Beobachtungen auf der alten seismischen Station.

Inzwischen war in der Seismologischen Kommission bereits schon längst die Idee gereift, ein spezielles Gebäude für eine Station ersten Ranges zu errichten, welche die wichtigsten Aufgaben für die Seismologie in Russland übernehmen sollte<sup>3)</sup>.

In Anbetracht einer genauen Zeitbestimmung, welche die seismometrischen Beobachtungen erfordern, gab es natürlich keinen geeigneteren Ort, als die Nähe des astronomischen Observatoriums in Pulkovo, zudem noch, da solche Beobachtungen bereits eine Reihe von Jahren dort geführt wurden.

Den Bau zu leiten übernahm der Architekt der Akademie der Künste, Herr A. Polěščuk und wurde damit betraut, ein Projekt einer unterirdischen seismischen Station auszuarbeiten.

Im Sommer des Jahres 1908 wurde unter der Leitung des Fürsten B. Golicyn zu dieser Aufgabe geschritten, wobei man sich von folgenden Gesichtspunkten leiten liess.

1) Der Raum sollte unterirdisch und geräumig sein, um allen Anforderungen der modernen Seismologie gerecht zu werden.

---

<sup>1)</sup> Siehe: Fürst B. Galitzin (Golicyn). Ueber ein neues schweres Horizontalpendel mit mechanischer Registrierung für seismische Stationen zweiten Ranges. 1910. Comptes rendus des séances de la Commission sismique permanente. T. III, Livr. 3.

<sup>2)</sup> Siehe: Fürst B. Galitzin (Golicyn). Ueber einen neuen Seismographen für die Vertikalkomponente der Bodenbewegung. 1910. L. c. T. IV, Livr. 2.

<sup>3)</sup> Siehe: Fürst B. Galitzin (Golicyn). Die neue Organisation des seismischen Dienstes in Russland. L. c.

2) Es sollte durch Heizvorrichtungen die Möglichkeit geboten werden, die Temperatur konstant zu halten.

3) Es sollte mit einer Ventilationseinrichtung versehen werden, um bei Bedarf den Feuchtigkeitsgehalt bequem herabsetzen zu können.

4) Diese Ventilationseinrichtung sollte so ihre Aufgabe erfüllen, dass die warme feuchte Sommerluft nach dem Hineindringen in die inneren Räumlichkeiten beim Abkühlen dort kein Kondensationswasser abzugeben die Möglichkeit hätte.

5) Ferner sollte das Grundwasser, sowie das obere Schmelz- oder Regenwasser keine schädliche Wirkung ausüben.

Ausser diesen Stationsräumlichkeiten sollte noch ein entsprechendes Wohnhaus mit Laboratorium und anderen Arbeitsräumen für die Angestellten errichtet werden.

Zu dem Zweck richtete die Seismologische Kommission eine Eingabe an den Minister der Volksaufklärung mit der Bitte um Anweisung von Mitteln. Im Sommer des Jahres 1910 wurden vom Reichsrat und der Reichsduma die nötigen Kredite bewilligt, unter denen ca. 43000 Rubel auf diese Bauten kommen sollten.

Es wurde dann eine Baukommission gewählt, bestehend aus den Mitgliedern der Seismologischen Kommission O. Backlund, Fürst B. Golicyn, A. Karpinskij, F. Černyšev und E. Stelling. Zum Geschäftsführer wurde der Sekretär der Seismologischen Kommission P. Nikiforov ernannt.

In demselben Sommer wurde zu den Bauarbeiten geschritten und im Oktober war bereits der Rohbau der unterirdischen Station vollendet.

Im Frühling des folgenden Jahres gewann die Baukommission den Militäringenieuren und Obristen N. Nikiforov, der mit viel Sachverständnis den Bau der Kellerräume bis zur Vollendung fortsetzte, sowie den des Wohnhauses übernahm.

Beträchtlich viel Zeit nahm die Trocknung des Kellers in Anspruch. Die von Hause aus gebaute Ventilationseinrichtung genügte nicht dazu, alles Wasser, das die Betonwände enthielten, zu entfernen. Es musste noch eine Zusatzventilierungsvorrichtung gebaut werden.

Zudem war es notwendig, die rohen Wände und Lagen ein für allemal auszutrocknen. Dieses erzielte man durch anhaltendes Erwärmen der Räumlichkeiten auf über 50° C. mit Hilfe von speziellen transportablen Öfen.

Ein solches Erwärmen wurde ca. 3 Wochen fortgesetzt. Darnach erst konnte man zum Bestreichen übergehen. Im Spätsommer war endgültig der Bau beendet und auch das Wohnhaus im Rohbau fertiggestellt.

### Die unterirdische Station.

*Die Lage der Station.* Das astronomische Observatorium liegt ca. 20 Kilometer von St. Petersburg nach Süden und ca. 5 Kilometer von der Eisenbahnstation Alexandrovskaja der Warschauer Bahn entfernt. Auf Fig. 1 ist der Plan des Terrains des Pulkovoer Observatoriums mit den Hauptgebäuden skizziert. Die vorbeiführende Chausse kommt aus der Stadt. Die Station befindet sich nordwestlich von dem Observatorium, nicht weit von einem in Pulkovo wohlbekannten kleinen Steinhügel. In der Umgebung wachsen einzelne Bäume. Auf der Westseite liegt ein offenes Feld, welches mit Himbeerensträuchern bepflanzt ist.

Fig. 2 zeigt eine photographische Aufnahme des Vorhauses der Station von der Südseite (im Hintergrunde das Wohnhaus), welches den einzigen herausragenden Teil des Baues bildet.

*Der unterirdische Bau.* Das Ganze ist aus Beton gebaut und umfasst eine Fläche von  $28 \times 13$  Meter, von der äussersten Betonwand an gerechnet.

Der Bau befindet sich total unter der Erde mit Ausnahme des erwähnten Vorhauses, das als Eingang dient. Die Diele liegt ca.  $7\frac{1}{2}$  Meter unter der Erdoberfläche und bildet für die einzelnen Räume eine steinartige zusammenhängende Masse von 40 cm. Dicke, die aus einer durch eine Asphaltsschicht isolierten Decke aus Beton besteht und oben mit Tonplatten belegt ist. Der Boden besteht rundherum teilweise aus Lehm und teilweise aus Sand. Den Untergrund bilden gleichfalls Lehm und Sand.

Auf Fig. 3 ist der Plan des Kellers wiedergegeben, wo I den Grundriss, II den Längsdurchschnitt und III den Querdurchschnitt darstellen. Der innere Bau ist nach Art der Strassburger Station von zwei Korridoren umgeben. Der aussere besteht aus vielen ellipsenförmigen Teilen und soll nicht nur bei der Konstanthalterung der Temperatur eine Rolle spielen, sondern auch als Kondensationsraum für Feuchtigkeit dienen und im Sommer der warmen feuchten Luft beim Abkühlen einen Teil des Wassergehalts entziehen.

Auf diesen folgt der innere Korridor, welcher den kastenförmigen Bau umgibt und dessen äussere Wand oben in das Gewölbe übergeht. Dieses Gewölbe besitzt aussen ein für Wasser undurchlässiges Bleidach, welches oben eine Schicht Erde trägt. Das Bleidach hat den Zweck, das durch den Boden sickernde Regen- und Schmelzwasser abzulenken, um die innere Fläche des ziemlich porösen Betongewölbes trocken zu halten.

Der innere Bau besteht aus zwei von dem Gewölbe total getrennten

Betonkästen, die wiederum von einander durch einen schmalen Korridor getrennt sind.

Der kleinere Teil stellt einen Raum von  $7,45 \times 6,83$  Meter dar und ist von den anderen Räumlichkeiten unabhängig gebaut. Derselbe ist für die empfindlichsten Pendel bestimmt und soll während des Registrierens nicht betreten werden.

Der andere grössere Teil umfasst 3 Räumlichkeiten, ein kleines Zimmer von  $2,11 \times 6,83$  m., eines von mittlerer Grösse, von  $5,48 \times 6,83$  m. und eine geräumige Abteilung gleichfalls von  $7,45 \times 6,83$  m., ähnlich wie der getrennte Teil.

Die Höhe von der Diele bis zur Lage beträgt überall 3,15 m.

Der kleine Raum dient als Durchgangszimmer zu den anderen Räumlichkeiten und ist für die Kontaktuhr und ihre elektrische Batterie bestimmt.

Das Zimmer rechts ist für galvanometrisch-photographische Registrierung der Seismographen aus der hinteren getrennten Abteilung eingerichtet. Das grosse Zimmer links vom Eingang soll zur Aufnahme der mechanisch registrierenden Pendel dienen.

Über der Lage unter dem Gewölbe ist ein recht grosser Bodenraum vorhanden.

Unter dem herausragenden Vorhause befindet sich ausserhalb des Bereichs des äusseren Korridors noch ein spezieller Raum, der die 5 m. hohe Treppe, sowie die Heizvorrichtung aufnimmt. Der Eingang liegt nämlich etwas unter dem Niveau der Bodenfläche über dem Gewölbe. Das Vorhaus hat auf zwei gegenüberliegenden Seiten je eine Tür und es ist darauf Rücksicht genommen worden, dass man recht grosse Gegenstände bequem hineinunterlassen kann.

*Die Heizeinrichtung.* Die Beheizung geschieht durch eine Warmwasseranlage. Der Ofen nebst dem Kessel und der Pumpe befindet sich im Vorhause, der Treppe gegenüber in einem durch Scheidewand getrennten Kabinett, wo zugleich auch ein Vorratsraum für Kokes eingerichtet ist.

Von hier verzweigt sich das Warmwasserröhrensystem weiter in den inneren Korridor, wo in einer Höhe von 2,5 m. die Heizbatterien den kastenförmigen Bau umgeben, und auf den Bodenraum.

*Die Ventilationseinrichtung.* Die Hauptventilation ist folgendermaassen eingerichtet.

Die Aussenluft kann von oben durch die andere Tür, welche in der oberen Hälfte aus einem Gitter besteht, eintreten, passiert dann den äusseren Korridor, tritt weiter an der Hinterwand durch eine grosse Öffnung, in welcher noch ein Gitterwerk mit Chlorcalcium in den Weg geschaltet wer-

den kann, in einer Höhe von ca. 2 m. in den inneren Korridor und kann aus diesem durch bestimmte Öffnungen, die in einer Höhe von ca. 2 m. angebracht sind, in die inneren Räume gelangen. In jedem Raum befinden sich unten über der Diele im Winkel Öffnungen, die durch Hohlgänge in ein gemeinsames Ventilationsrohr münden (siehe den Plan).

In diesem Rohr ist ein elektrischer Ventilator eingebaut, der imstande ist, in weniger als einer halben Stunde die Luft in allen Räumlichkeiten zu erneuern.

Die Idee, die man mit dieser Einrichtung verfolgte, war die folgende.

Im Sommer, wo die Luft am meisten Feuchtigkeit enthält, sollte der ein-tretende Luftstrom sich zunächst im äusseren Korridor abkühlen und einen Teil der Feuchtigkeit zurücklassen.

Durch die grosse Öffnung kann sie dann, falls kein Chlorcalcium eingeschaltet ist, im gesättigten Zustande in den inneren Korridor treten, wird durch die Warmwasserbatterien erwärmt und auf diese Weise relativ trockener und gelangt in diesem erwärmten Zustande in die inneren Räumlichkeiten. Von dort wird die untere kühlere und daher schwerere Luft auf der Diele durch den Ventilator herausgesogen. Auf diese Weise wäre erreicht, dass die Luft in den inneren Stationsräumen nie gesättigt sein kann.

Bei der Trockenung des Rohbaues stellte es sich aber heraus, dass die Ventilationseinrichtung nicht genügte, um alle Feuchtigkeit zu entfernen.

Es musste daher, wie schon erwähnt, noch eine Ergänzungsventilation eingerichtet werden, da die Luftmassen unter der Lage ohne Durchmischung fast in völliger Ruhe verharrten. Diese Ventilation wurde also speziell für die Lage eingerichtet.

Die Lage erhielt an einzelnen Stellen Durchbohrungen, an die Keramikröhren festgekittet wurden. Diese Röhren, die oben auf dem Bodenraum gelegt sind, münden alle in ein gemeinsames, entsprechend weiteres Rohr, welches am Vorhäuschen den mittleren Schornstein als Zugrohr trägt (siehe die Aufnahme 2). Die Anregung der Luftbewegung kann entweder durch Einsetzen eines elektrischen Ventilators erzielt oder durch den Luftzug selbst bewirkt werden. Durch diese beiden Ventilationseinrichtungen erreicht man ziemlich schnell einen Feuchtigkeitsgrad von ca. 70%, werden sie ausgeschaltet, so beträgt noch jetzt in den inneren Räumen der Feuchtigkeitsgehalt ca. 90%.

Da aber die Temperaturverhältnisse sehr günstig sind, indem im äusseren Korridor in einer bestimmten Höhe ca. 8° C., im inneren 12° C. und in den inneren Räumlichkeiten 15° C. obwaltet, wobei in den letzteren keine grösseren Schwankungen als 0,2° vorzukommen pflegen, so ist dieser Umstand von keinem schädlichen Einfluss und es kommt nie zur Ausschei-

dung von Wasser, auch wenn die Ventilationseinrichtung lange Zeit ausser Tätigkeit ist.

*Die Beleuchtungsanlage.* Der ganze Bau wird elektrisch beleuchtet. Fürs erste besitzt die Station keine eigene elektrische Zentrale und bezieht die elektrische Energie von der Station des astronomischen Observatoriums. Diese ist nur für Observatoriumszwecke eingerichtet und würde nicht genügen, auch das Wohnhaus elektrisch zu bedienen. Die Bearbeitung der Seismogramme bedarf aber durchaus eines sehr intensiven Lichtes. Zudem macht sich beim jetzigen Gebrauch der Elektrizität des Observatoriums ein beträchtlicher Spannungsabfall bemerkbar und dieser Umstand erschwert oft wegen schwacher Skalenbeleuchtung sehr die Konstantenbestimmung der Seismographen. Ferner liegt die genaue Regulierung der elektrischen Spannung nicht in der Hand der seismischen Station, was in gewissem Sinne grosse Bedeutung hat, insofern für Registrierzwecke ausschliesslich elektrisches Nernstlicht angewandt wird und dieses gegen Spannungsänderungen sehr empfindlich ist.

Die gesetzgebenden Institutionen haben bereits die Mittel zur Errichtung einer eigenen elektrischen Zentrale bewilligt, deren Bau bis zum Herbst beendet wird.

Die Beleuchtungseinrichtung ist auf Fig. 4 dargestellt. Im äusseren Korridor befindet sich rechts vom Eingang an der Wand ein marmornes Schaltbrett, von dem aus die Leitungen sich nach allen Richtungen verzweigen und alle Räumlichkeiten nach Wunsch bedient werden können.

Die Hauptleitungen sind alle im inneren Korridor und auf dem Bodenraum unter dem Gewölbe angelegt, wo verhältnismässig trockene Luft herrscht. Es sind Drähte mit sehr hoher Isolation verwendet worden und zudem sind zum weiteren Schutz, wo dieses als notwendig erschien, Isolationsröhren mit Messinghülle angewandt worden.

Nirgends an den inneren Wänden kommen Leitungen zum Vorschein, ausser den an der Lage angebrachten und in der Höhenrichtung regulierbaren Hängelampen, bei denen gewöhnliche Leitungsschnüre verwendet wurden.

Das Beleuchtungssystem besteht aus folgenden Gruppen von Lampen:  
1) im äusseren Korridor 9 Lampen, die direkt an der Wand befestigt sind,  
2) im inneren Korridor 6 Lampen, gleichfalls direkt an der Wand, 3) auf dem Boden unter dem Gewölbe 2 Lampen, 4) im Pendelraum ein Plafond mit 3 Lampen und 4 Hängelampen, 5) im Registrierraum dieselbe Anzahl von Lampen, 6) im Vorderraum ein Plafond mit einer Lampe und 2 Wandlampen bei der Kontaktuhr und 7) im Raum für mechanische Registrierung ein Plafond mit 3 Lampen und 3 regulierbare Hängelampen.

Ausserdem befinden sich innen an den Wänden überall Stöpsel, die zur

Einschaltung der Registrierlampen, zur Skalenbeleuchtung bei der Konstantenbestimmung, sowie für andere Zwecke der Stromentnahme dienen können. Einzelne Lampen sind noch beim Eingang und im Heizraum angebracht.

Vom Schaltbrett aus können die Räumlichkeiten nach Belieben bedient werden. So gibt es z. B. für den Raum der photographischen Registrierung einen speziellen Ausschalter für halbrotes Licht und einen anderen für weisses u. s. w.

*Die Pfeiler für die Apparate.* Bei vielen physikalischen und astronomischen Messungen ist es wichtig, dass ein nahes Herantreten an die Apparate an diesen keine Neigung und Erschütterung hervorruft.

Daher verwendet man in diesen Fällen Pfeiler, die tief in die Erde gehen und von der Diele, sowie vom Fundament des Gebäudes total getrennt sind. So hat man vielfach dieses Prinzip auch bei Erdbebenapparaten beibehalten, indem man die Pendel auf isolierten Pfeilern plaziert. Bei Anwendung der mechanischen oder bisweilen auch rein optischen Registriermethode erscheint dieses auch als sehr bequem, da man in diesen Fällen beim Papierwechsel ziemlich nahe an die Pendel herantreten muss und dieselben ohne derartige Säulen in starke Schwingungen geraten würden.

Es ist aber auf der Hand liegend, dass derartige hohe Pfeiler in der Präzisionsseismometrie sehr grosse Fehler hineinbringen können, indem bei ihnen beim Eintreffen von Erdbebenwellen, ganz besonders bei kurzen Perioden, Eigenschwingungen sich geltend machen können. Zudem wäre noch denkbar, dass dieselben bei Windstörungen noch dadurch ihre schädliche Wirkung kennzeichnen, dass sie schon beim geringsten Luftzuge geringen Neigungen unterworfen sein können, wobei sich diese Wirkung zu der der Aspiration hinzuaddiert und die unregelmässigen langen Wellen an windigen Tagen noch vergrössert.

Die seismische Station in Pulkovo wurde speziell für Präzisionsseismometrie gebaut und daher wurde beim Bau der Pfeiler auf diesen Umstand Rücksicht genommen.

Die galvanometrische Registriermethode zeichnet sich nun gerade dadurch von den anderen aus, dass bei ihr der registrierende Teil in einem anderen getrennten Raum aufgestellt werden kann und man während des Papierwechsels an die Pendel nicht heranzutreten braucht.

Die Pfeiler wurden daher recht niedrig gebaut und sind mit der Diele direkt verbunden.

Sie bestehen, wie der ganze Bau, gleichfalls aus Beton und sind oben mit Marmorplatten zudeckt.

Das hinterste isolierte Zimmer besitzt 4 Pfeiler von 60 cm. Höhe. Die beiden hinteren, die etwa T-förmig aussehen, sind für 2 Gruppen von

Seismographen bestimmt, für je 2 Horizontalpendel und einen Vertikalseismographen und haben eine Länge von 240 cm. und an der breitesten Stelle eine Breite von 135 cm. Die auf ihnen montierten Apparate sollen beständig registrieren und das laufende Material für Erdbebenberichte hergeben. Ausserdem befinden sich in diesem Raum noch 2 quadratische Pfeiler von  $135 \times 135 \text{ cm}^2$ . Fläche, die für spezielle Untersuchungen dienen und nur zeitweilig in Anspruch genommen werden sollen (siehe die Fig. 3 und 5).

Der Registrierraum enthält 4 ganz gleichartige Einrichtungen für Registrierzwecke. Die frühere seismische Station unter dem astronomischen Observatorium gestattete wegen Raummangels keine bequeme Aufstellung der registrierenden Teile.

Auf der neuen Station wurde darauf besonders Rücksicht genommen, dass der Zutritt zu allen Teilen unbehindert möglich wäre. Daher wurden je 3 spezielle Gestelle für je ein Registrosystem errichtet: für den Registrierapparat eine Betonsäule von 150 cm. Länge, 65 cm. Breite und 51 cm. Höhe, für die Galvanometer und die langen Reflexspiegel eine spezielle Säule von 100 cm. Länge, 40 cm. Breite und 70 cm. Höhe und für die Registrierlaterne eine Wandkonsole von  $40 \times 30 \text{ cm}^2$ . Fläche, in derselben Höhe wie die Säule für die Galvanometer. (Siehe die Fig. 3 und 5).

Durch diese Einrichtung sind alle Teile leicht zugänglich und das Auswechseln der Lampen, sowie das Einstellen der Optik ist sehr erleichtert. Ausserdem kommt noch der Vorteil zur Geltung, dass hier kein vergrössertes Spaltbild auf der Trommel entworfen wird, wodurch die Qualität der Linien auf dem photographischen Papier etwas gewinnt.

In dem Raum für mechanisch registrierende Pendel wurde ein einziger grosser Pfeiler errichtet, von denselben Dimensionen, wie die beiden quadratischen im hinteren Raum. Diese soll in Zukunft ein mechanisch registrierendes Vertikalseismometer aufnehmen.

Ausserdem sind in den beiden hinteren Winkeln noch je zwei kleine Säulen gesetzt, die für die Dämpfermagnete der mechanisch registrierenden Pendel und als Gestelle für ihre Gewichte beim Einhängen derselben in ihre Lager dienen sollen.

*Verbindungsdrähte der Pendel mit den Galvanometern und die Leitungen von der Kontaktuhr zur Zeitsignalisierung.* Die bei der elektrischen Fernregistrierung in Anwendung gekommenen Galvanometer besitzen eine Empfindlichkeit von ca.  $7 \cdot 10^{-10}$  Amp. für  $1^{\text{m}}/\text{m}$  Ausschlag bei 1 m. Skalenabstand. Daher muss man bei der Anlegung von elektrischen Leitungen mit dieser Empfindlichkeit wohl rechnen, um alle möglichen störenden Stromeinwirkungen von aussen auszuschliessen.

Um eine zweckmässige Verbindung zwischen den Pendeln und Galvano-

metern herbeizuführen, wurde schon beim Bauen der Pfeiler und Legen der Dielen darauf Rücksicht genommen.

Es dürfen derartige Leitungen keine Drähte für Beleuchtungszwecke durchkreuzen, da trotz der bifilaren Bewickelung infolge von kleinen Unsymmetrien plötzliche Spannungsänderungen auf der elektrischen Zentrale durch Induktionswirkungen sich geltend machen können. Ausserdem muss die höchste Isolation benutzt werden, um alle möglichen vagabundierenden Erdströme auszuschliessen. Drittens dürfen die Verbindungsleitungen unter sich nicht unregelmässig gelagert sein, da in diesem Fall eine gegenseitige Beeinflussung der Leitungen während eines Bebens durch Induktion denkbar wäre.

Fig. 5 zeigt die Anordnung der Verbindungsdrähte.

Beim Setzen der Pfeiler wurden in dieselben Isolationsröhren mit Messinghülle gebettet, die zur Aufnahme der Leitungen bestimmt wurden. An den Stellen, wo die Drahtenden herausragen müssen, wurden die Marmorplatten durchbohrt. Alle Leitungen sind unter der Steindiele versteckt. Man wählte Drähte mit der höchsten Isolation, wobei man diese für die Dauer nicht für genügend sicher hielt. Daher wurde der bifilar geflochtene Draht noch durch Gummischläuche geführt und diese wiederum durch Isolationsröhren gezogen.

Diese so erhaltenen Kabel wurden dann in der Diele bleibend eingebaut.

Eine solche Isolation erwies sich als so vollkommen, dass beim Einschalten der Galvanometer keine Spur von Erdströmen sich bemerkbar machte.

Gleichfalls wurde vor dem Bestreichen der Räume für die Verbindungsleitungen der Kontaktuhr mit den Zeitmarkenelektromagneten Sorge getragen.

Diese wurden längs den Dielenwinkeln und Wänden, in Isolationsröhren versteckt, in der Weise angelegt, dass alle Elektromagnete entweder hintereinander geschaltet oder auch nach Wunsch paarweise hintereinander verbunden werden können.

#### Die Apparate der unterirdischen Station.

Für die moderne Präzisionsseismometrie kommen heutzutage drei Arten von Seismographen in Betracht, nämlich die Wiechert'schen, welche die Göttinger Feinmechaniker Spindler und Hoyer herstellen, zweitens die Fürst Golicyn'schen mit galvanometrischer Fernregistrierung, die vom

Mechaniker H. Masing in der Werkstatt des Physikalischen Laboratoriums der Kaiserlichen Akademie der Wissenschaften zu St.-Petersburg gebaut werden und drittens die Mainka'schen, die in den Werkstätten der Brüder A. u. J. Bosch in Strassburg konstruiert werden.

Es haben auch noch viele andere Pendeltypen Verbreitung gefunden, so die Milne'schen, die Omori-Bosch'schen, die Vicentini'schen, die leichten Zöllner'schen von Repsold und andere; doch sind diese mehr oder weniger für kleinere Empfindlichkeit eingerichtet und leisten nur bei stärkeren Beben gute Dienste.

Was Präzision und Zuverlässigkeit aller dieser Apparate für Fernbebenbeobachtungen anbetrifft, so ist die galvanometrische Registriermethode wohl den anderen Arten von Pendeln bei weitem überlegen, nur dass hier wegen des photographischen Papiers die Betriebskosten höher sind. Zur Erhaltung wichtiger wissenschaftlicher Resultate soll man aber auf diesen Umstand keine Rücksicht nehmen.

Die unterirdische Station in Pulkovo wurde einzig und allein mit Seismographen Fürst Golicyn'schen Systems ausgestattet. Sie besitzt fürs erste 5 Horizontalpendel für galvanometrische Fernregistrierung<sup>1)</sup>, 2 Vertikalseismographen<sup>2)</sup> mit derselben Registriermethode, 2 Fürst Golicyn'sche 100-Kilogrammpendel mit mechanischer Registrierung<sup>3)</sup>, 3 Registrierapparate nebst 6 Galvanometern mit optischem Zubehör, eine Kontaktuhr der Firma Strasser und Rohde und 2 Registrierapparate für die mechanisch registrierenden Pendel. Hierzu kommen noch Apparate für die Konstantenbestimmung, nämlich 4 Fernrohre mit Skalen nebst Beleuchtung auf Gaussstativen und ein Löbnerscher Sekundenzähler.

Es registrieren beständig 3 Gruppen von Seismographen. Zwei Gruppen sind auf den T-förmigen Pfeilern aufgestellt und registrieren alle drei Komponenten der Bodenbewegung.

Fig. 6 zeigt eine photographische Aufnahme des Pendelraumes für diese empfindlichsten Apparate. Auf der Säule rechts steht die Gruppe für die grösste Empfindlichkeit, das vordere Horizontalpendel für die NS-, das mittlere für die Vertikal- und das hintere für die EW-Komponente der Bodenbewegung.

---

<sup>1)</sup> Siehe: Fürst B. Galitzin (Golicyn). Ueber ein neues aperiodisches Horizontalpendel mit galvanometrischer Fernregistrierung. Comptes rendus des séances de la Commission sismique permanente. T. IV, Livr. 1.

<sup>2)</sup> Fürst B. Galitzin (Golicyn). Ueber einen neuen Seismographen für die Vertikal-komponente der Bodenbewegung. L. c. T. IV, Livr. 2.

<sup>3)</sup> Fürst B. Galitzin (Golicyn). Ueber ein neues schweres Horizontalpendel mit mechanischer Registrierung für seismische Stationen zweiten Ranges. L. c. T. III, Livr. 3.

Alle drei besitzen eine volle Schwingungsdauer von ca. 13<sup>s</sup>5. Der galvanometrische Übertragungsfaktor für die beiden Horizontalpendel beträgt  $k = \text{ca. } 100$  und für das Vertikalseismometer  $k = \text{ca. } 285$ . Eine spezielle Aufnahme dieser Gruppe ist auf Fig. 7 gegeben.

Auf dem Pfeiler links stehen die Apparate für kleinere Empfindlichkeit, wobei für die beiden Horizontalpendel eine volle Schwingungsdauer von ca. 25<sup>s</sup>0 gewählt worden ist und für  $k = \text{ca. } 20$ . Für das Vertikalseismometer wurde hier aus technischen Gründen die Schwingungsdauer  $T = \text{ca. } 13,5$  beibehalten, für  $k$  aber etwa ca. 100 gesetzt.

Die Beschreibung dieser Apparate erscheint hier als überflüssig, da dieselben bereits von dem Erfinder zu seiner Zeit beschrieben worden sind<sup>1)</sup>.

Die Registrierung geschieht auf drei getrennten Registrierapparaten, je zwei Pendel für gleichnamige Komponenten auf einer und derselben Trommel, sodass die Aufzeichnungen von einem empfindlichen und weniger empfindlichen neben einander verlaufen. Dieses ist aus der Anordnung der Drähte auf Fig. 5 ersichtlich.

Fig. 8 zeigt eine photographische Aufnahme des Registrier- und Galvanometerraumes.

Alle drei Registrierapparate sind einander ähnlich gebaut, in der Weise, dass die Trommel von 2 getrennten Uhrmechanismen getrieben wird, von einem starken mit Federaufzug und Foucault'schen Regulator für die drehende Bewegung und von einem kleineren für die Horizontalbewegung längs der Axe der Trommel. Diese Uhrwerke haben einen zwölfstündigen Lauf, sodass das Papier 2 mal täglich gewechselt werden muss.

Die Grösse der photographischen Papiere beträgt  $30 \times 93 \square \text{ cm.}$ ; die Trommel läuft in einer Stunde 2 mal rund; die Länge einer Minute beträgt  $30^{\text{m}}/\text{m}$  und die Entfernung der Registrierlinien von einander ca.  $9^{\text{m}}/\text{m}$ .

Alle Galvanometer sind, wie immer, von der Firma Hartmann & Braun bezogen und auf spezielle Bestellung mit für diese Art und Weise der Registrierung notwendigen kleinen Veränderungen ausgestattet. In jedem Galvanometerstromkreise befindet sich ein Stöpselausschalter, der benutzt wird, sobald man gröbere Veränderungen an den Pendeln vorzunehmen hat, so z. B. bei der Konstantenbestimmung oder Regulierung der Nulllage beim Vertikalseismographen.

Über den optischen Teil ist wenig zu sagen. Derselbe besteht, wie schon früher auf der alten Station, aus einer Laterne mit Nernstlicht, Spaltrohr mit Linse, zwei kleinen Reflexspiegeln vor dem Spalt zur Beleuch-

---

1) L. c. auf vorhergehender Seite.

tung von 2 Galvanometerspiegeln zugleich, zwei schmalen Linsen vor den Galvanometerspiegeln, zwei langen Spiegeln auf einem Tischchen zwischen den Galvanometern und einer langen horizontalen Zylinderlinse, die am Registrierapparat befestigt ist. Eine spezielle Aufnahme befindet sich auf Fig. 9.

Hier sind nur die optischen Hebel etwas anders gewählt, als auf der früheren Station (siehe Fig. 5). Der optische Hebel für diese Aufstellung beträgt ca.  $1\frac{1}{3}$  m.

Die Nernstlampen werden bald mit einer Signaleinrichtung versehen werden, die im Wohnhause an einer elektrischen Klingel das zufällige Durchbrennen der Glühfäden anzeigen soll.

Auf Fig. 10 ist der Raum für mechanische Registrierung abgebildet. In der Mitte auf dem grossen Pfeiler steht das fünfte Horizontalpendel für galvanometrische Registrierung. Dieses funktioniert nicht, sondern dient nur als Modell zur Demonstration für Besucher.

In den Winkeln sieht man die mechanisch registrierenden 100-Kilogrammpendel an der Wand aufgehängt. Diese Pendel sind magnetisch gedämpft, besitzen einen Vergrösserungshebel und haben eine volle Schwingungsdauer von  $20 - 25^\circ$ . Die Vergrösserung beträgt ca. 50 und das Dämpfungsverhältnis 4—5 ( $\mu^2 = 0,84 - 0,79$ ).

Die Angaben dieser Instrumente sollen nur in den seltensten Fällen verwertet werden, nämlich bei starken Beben, wo alle empfindlichen Apparate dadurch versagen, dass ihre Ausschläge dermaassen aus der Skala kommen, dass sie keine Spur auf dem photographischen Papier hinterlassen.

Auf dieser Abbildung sind die Registrierapparate nur provisorische.

Gleich zu Anfang der Registrierungen hat es sich herausgestellt, dass diese Pendel ihre Nulllage beständig langsam hin und her verändern, wodurch die Linien bisweilen zu nahe an einander zu liegen kommen oder sich sogar überlagern, bisweilen aber wiederum zu weit aus einander rücken. Es unterliegt wohl keinem Zweifel, dass diese Wanderung der Nulllage von einer Temperaturveränderung herröhrt, indem sich die Wand an verschiedenen Stellen ungleichmässig ausdehnt und zusammenzieht, um so mehr, da die Heizbatterien gerade im inneren Korridor sich befinden.

Aus dem Grunde haben bereits zwei andere ähnliche Pendel hier Aufstellung gefunden, mit dem Unterschiede, dass diese an speziell zu dem Zwecke gebauten kompakten eisernen Gestellen angebracht sind. Diese Pendel sind mit ganz neuen Registrierapparaten ausgestattet.

Diese neuen Registrierapparate, vom Mechaniker H. Masing gebaut, haben einen 24-stündigen Lauf, wobei die Papiere eine Registrierfläche von  $30 \times 23 \square$  cm. besitzen.

Der Gang ist sehr regelmässig und die Länge einer Minute ist hier gleichfalls  $30^m/m$ , wobei die Entfernung der benachbarten Linien voneinander  $3^m/m$  beträgt.

Eine photographische Aufnahme von einem dieser Pendel für die NS-Komponente zeigt Fig. 11.

Das Resultat mit dieser Aufstellung war auch in der Tat ein viel günstigeres.

Zwar fand anfangs von Zeit zu Zeit auch bei diesen Pendeln eine geringe Verschiebung der Nulllage statt, dieselbe war aber dermaassen unbedeutend, dass sie bei der Entzifferung der Aufzeichnungen fast gar nicht in Betracht kommt.

Diese geringe Änderung könnte vielleicht von einer Nachwirkung der Gestelle, sowie der Diele hergerührt haben.

Ferner soll in diesem Raum das bereits erwähnte mechanisch registrierende Vertikalseismometer aufgestellt werden, welches nach dem Prinzip des galvanometrisch registrierenden gebaut werden wird.

Den Berussungstisch bildet eine Wandkonsole im äusseren Korridor, von dem aus ein spezielles Zugrohr in den Schornstein führt (siehe Fig. 3, neben dem Eingange).

Die Kontaktuhr ist auf Fig. 12 dargestellt. Sie ist von der Firma Strasser und Rohde (Glashütte in Sachsen) bezogen und besitzt ein Achttagewerk und ein Nickelstahl-Kompensationspendel. Diese Uhrengattung ist bereits früher im Physikalischen Laboratorium der Kaiserlichen Akademie der Wissenschaften zu St.-Petersburg untersucht worden und hat einen sehr befriedigenden Gang aufgewiesen<sup>1)</sup>.

Der Stromschluss kommt in jeder Minute einmal zustande und dauert eine Sekunde und zwar bei diesem Exemplar von der 59-sten bis zur 60-sten. Stundenkontakte fehlen.

Für den Uhrkontakt wird ein Relais benutzt, das von drei Leclanché-Elementen betrieben wird. Im gemeinsamen Stromkreise der Elektromagnete für die Minutenmarken bei den Registrierapparaten sind 5 Elemente eingeschaltet. Links auf dem Bilde sieht man den kleinen Schrank, in welchem die Elemente nebst Relais verborgen sind.

Auf dem Schrank befindet sich ein Stromschalter für künstliche Zeitsignale, der beim Papierwechsel in Funktion tritt, um die Momente des Anfanges und Endes eines Seismogrammes zu fixieren.

Die Fernrohre zur Konstantenbestimmung sind von zwei verschiedenen

<sup>1)</sup> И. Вилипъ. О ходѣ некоторыхъ контактныхъ часовъ. Comptes rendus des séances de la Commission sismique permanente. T. IV, Livr. 1.

Dimensionen, ein Paar mit einem Objektivdurchmesser von  $45^{\text{m}}/\text{m}$  und kurzer Skala mit Vorrichtung zum Vertikalstellen der Skala, das zum Beobachten auf grössere Entfernung dient, und das zweite Paar mit einem Objektiv von  $35^{\text{m}}/\text{m}$  Durchmesser für kleinere Vergrösserung, mit einer Skala von 1 m. Länge, für Messungen gewöhnlich nach den Galvanometern in einer Distanz von 1 m. vom Spiegel.

Diese Fernrohre stammen gleichfalls von der Firma Hartmann & Braun; nur die Gaußstative nebst Skalen aus Zelluloid und Einstelleinrichtung sind vom Mechaniker H. Masing hergestellt.

Der Sekundenzähler ist von dem Uhrmacher F. L. Löbner in Berlin angefertigt und stellt eine Stoppuhr vor, die Hundertstel Sekunden ablesen gestattet.

Von anderen Apparaten, die in die Arbeitsräume im Wohnhause hingehören und bei der Bearbeitung von Erdbebendiagrammen in Anwendung kommen, sind Eigentum der Station — ein Metallglobus mit Gradnetzeinteilung und eine Rechenmaschine.

Ferner hat noch die Kontaktuhr der Firma Strasser & Rohde von der alten Station im Laboratorium Aufstellung gefunden und dient hier zur gewöhnlichen Zeitbestimmung.

#### **Das Wohngebäude bei der unterirdischen Station.**

Auf dem Pulkovoer Territorium fand sich kein geeigneter Platz für das Wohngebäude und es traf sich sehr günstig, dass die Permanente Seismologische Kommission zu dem Zweck vom Apanagenressort ein an das Gebiet des Observatoriums angrenzendes Stück Landes arrendieren konnte. Das kleine Grundstück liegt nahe bei der seismischen Station und hat eine Fläche von 3 ha.

Der Kontrakt ist auf 24 Jahre geschlossen und die Seismologische Kommission zahlt eine Pacht von 100 Rubeln jährlich.

Das Haus befindet sich auf dem südlichen Ende des Grundstückes (siehe die Fig. 1).

Fig. 13 zeigt eine photographische Aufnahme des Gebäudes von der Ostseite, und Fig. 14 eine Ansicht im Winter. Der Bau ist noch nicht beendet, wie dieses auch auf den Aufnahmen zu ersehen ist. Es ist ein hölzernes zweistöckiges Haus nebst geräumigen Kellereinrichtungen in der Erde.

Den Grundriss des unteren Stockwerkes zeigt Fig. 15 I und den des oberen II.

Im unteren Stock befindet sich ein Laboratorium, Zimmer für die Bearbeitung von Seismogrammen, mechanische Werkstatt, photographisches Kabinet, Archiv, 2 Fremdenzimmer und ein Zimmer nebst Küche für die Bedienung.

Beim Eingang ist eine steinerne Treppe, die nebst Vorhaus von ziegelsteinernen Wänden eingeschlossen ist und auf die zweite Etage, sowie auf den Turm- und Bodenraum hinaufführt.

Auf dem oberen Stockwerk sind die Wohnungen für die Angestellten. Die Wohnung rechts ist das gemeinsame Quartier für zwei Beobachterinnen und besteht aus einem grossen Saal, einem Speisezimmer, einem in zwei Teile trennbaren Schlafzimmer, einer Küche und einem Badezimmer.

Die Wohnung links enthält 2 geräumige Zimmer nebst Küche und ist für einen Mechanikergehülfen bestimmt.

Im Laboratorium sind beim Bau zwei grosse niedrige Steinpfiler errichtet, die mit ihrem Fundament tief in die Erde gehen, welche für verschiedene Untersuchungen von Seismographen bestimmt sind. Ausserdem besitzt es noch zwei Wandkonsolen. Eine innere Ansicht des Laboratoriums zeigt Fig. 16 und von dem Kabinet zur Bearbeitung der Seismogramme Fig. 17.

Der ganze Bau hat eine Zentralwarmwasserheizung und eine Wasserleitung. Der Ofen befindet sich mit dem Wasserkessel unten im Keller und bedient von dort aus das System von den Warmwasserbatterien in allen Räumlichkeiten des Gebäudes.

In demselben Keller hat auch die Hebevorrichtung der Wasserleitung ihren Platz, mit deren Hilfe man durch komprimierte Luft die ganze Einrichtung mit Wasser versorgt.

Nicht nur die Laboratoriumsräumlichkeiten und die mechanische Werkstatt, sondern auch alle Wohnungen sind auf Kosten der Seismologischen Kommission möbeliert worden.

Als beständige Bewohner dieses Hauses sind zwei Beobachterinnen, welche die physiko-mathematische Abteilung der Höheren Frauenkurse in St.-Petersburg und einen speziellen Kursus für Seismometrie nach den Vorlesungen vom Fürsten B. Golicyn nebst einem seismometrischen Praktikum beendet haben, ferner ein Mechanikergehülfe und ein Diener.

Fürs erste besitzt das Wohnhaus keine elektrische Beleuchtung und man behilft sich mit Petroleumlicht.

Mit dem Bau einer eigenen elektrischen Zentrale wird diesem Uebelstande ein Ende gemacht.

#### Die meteorologische Station.

Zur seismischen Station gehört noch eine meteorologische mit zwei englischen Hütten, die eine für Thermometer und Hygrometer, die andere für einen Thermographen und Hygrographen.

Es ist eine bekannte Tatsache, dass zwischen den meteorologischen Faktoren und seismischen Erscheinungen ein gewisser Zusammenhang besteht. Für die mikroseismischen Bewegungen ist dieser Zusammenhang schon als erwiesen zu betrachten. Es musste daher diesem Umstände die nötige Aufmerksamkeit zugewandt werden.

Als allerwichtigstes Element der Meteorologie kommt wohl die bewegte Luft in Betracht, daher wurde die Station mit einem selbstregistrierenden Anemographen versehen, es ist dieses das elektrisch registrierende Anemometer nach Sprung-Fuess, welches sowohl die Windstärke, als auch Richtung fortlaufend zu registrieren gestattet.

Das Schalenkreuz nebst Flüger ist auf einer Ecke des Türmchens über dem Wohnhause montiert und sendet von dort die entsprechenden Angaben durch die Leitungen ins Laboratorium zu dem Uhrmechanismus, der an einer Wand des Laboratoriums aufgehängt ist und die nötigen Kontakte auf einem Papierbande aufzeichnet (siehe Fig. 16, die Uhr an der Wand zwischen den Fenstern).

Von anderen meteorologischen Instrumenten sind nur wenige Eigentum der seismischen Station. Es gehören zu diesen ein Augustsches Psychrometer, ein Maximum- und ein Minimumthermometer und 2 Haarhygrometer.

Das Quecksilberbarometer und die selbstregistrierenden Apparate sind fürs erste aus dem Physikalischen Laboratorium der Kaiserlichen Akademie der Wissenschaften geliehen. Es gehören zu ihnen: ein Richard'scher Barograph, Thermograph, Hygrograph und ein Widerstandsthermograph der Firma Hartmann & Braun.

In der grösseren Hütte haben der Hygrograph und das Widerstandsthermometer Aufstellung gefunden. Vom letzteren gehen Leitungen in das Laboratorium, wo auf einer Wandkonsole der Registrierapparat aufgestellt ist, der mittelst eines Silberstiftes nach je 45 Sek. auf dem Registrierpapier eine Spur hinterlässt (siehe Fig. 16, rechts neben dem Schrank die Wandkonsole).

Der Richard'sche Thermograph dient zur Temperaturregistrierung auf der unterirdischen Station und wird nur selten benutzt, wo eine Temperaturuntersuchung als notwendig erscheint.

Mit der Zeit soll noch ein Temperaturregistrierapparat zur Untersuchung von Bodentemperaturen in bestimmter Tiefe eingerichtet werden.

Der Zweck dieser meteorologischen Station ist nicht der, um nach Art und Weise der gewöhnlichen meteorologischen Stationen Material für meteorologische Berichte zu sammeln, besonders noch, wo in St.-Petersburg und Pavlovsk gut eingerichtete meteorologische Stationen vorhanden sind.

Es erfolgen die Ablesungen nicht 3 Mal täglich, sondern nur 2 Mal, nämlich um 8 Uhr morgens und 8 Uhr abends, vor dem Papierwechsel auf der seismischen Station.

Die Ablesungen verwertet man dazu, um die Korrekturen der selbstregistrierenden Instrumente zu bestimmen.

Aus den Aufzeichnungen der selbstregistrierenden Apparate werden Stundenmittel abgeleitet und Tabellen für 24 Stunden geführt, wo man dann die Tagesmittel bilden kann.

Die Zeit wird auch hierbei auf Greenwich bezogen, um nach Bedarf eine übersichtlichere Zusammenstellung mit den seismischen Daten zu erzielen.

#### Die Empfindlichkeit der Pulkovoer Seismographen.

Der Laie stellt sich gewöhnlich unter der Empfindlichkeit eines Seismographen eine ganz konstante Grösse vor, in dem Sinne, dass ein Seismograph auf alle Wellenperioden der Erdbewegung mit gleichbleibender Empfindlichkeit reagiert. In der Tat ist es bis heutzutage aber noch nicht gelungen, einen derartigen Seismographen zu konstruieren. Die Empfindlichkeit eines jeden Seismographen, welchen Systems derselbe auch sein mag, ist immer eine Funktion der Wellenperiode der Bodenbewegung.

Ein bedeutender Fortschritt in der Richtung, um diese Empfindlichkeit in einem grösseren Messbereich mehr konstant zu machen, gebürt in der Tat der Anwendung einer starken Dämpfung bis zur Aperiodizitätsgrenze und der galvanometrischen Registriermethode, wobei man durch Wahl langerer Perioden dieser Apparate beträchtliche Vorteile erzielen kann.

Die Wahl sehr langer Pendelperioden führt aber den üblen Umstand herbei, dass diese Apparate sehr unstabil werden und sehr leicht ihre Ruhelage verändern, sowie auch ihre Schwingungsperiode mit der Zeit allmälig verkürzen.

Als zweiter Nachteil kommt hierbei noch hinzu, dass gerade viele störende Bewegungen nicht seismischen Ursprungs eine sehr lange Periode besitzen; infolgedessen würden diese Bewegungen bei Wahl einer hohen Empfindlichkeit viel zu gross ausfallen und die Übersichtlichkeit der Registrierungen, sowie Bearbeitung der Erdbeben sehr beeinträchtigen.

Ich lasse hier eine Tabelle der Vergrösserungsverhältnisse der Pulko-voer Seismographen folgen, die mehr oder weniger einem idealen Falle entsprechen, da sie aus abgerundeten Konstanten hervorgegangen sind.

Bedeuten:

$x_m$  — die Verschiebung eines Bodenteilchens von seiner Ruhelage bei sinusartiger Schwingung,

$y_m$  — den entsprechenden Ausschlag auf dem Registrierpapier,

so ist  $\frac{y_m}{x_m}$  das Vergrösserungsverhältnis.  $x_m$  und  $y_m$  sind durch folgende Beziehungen mit einander verknüpft:

$$x_m = \frac{l}{L} (1 + u^2) \sqrt{1 - \mu^2 f(u)} \cdot y_m$$

für die mechanische und rein optische Registrierung, wenn bei der ersteren die Reibung vernachlässigt wird, und

$$x_m = C_1 (1 + u_1^2) (1 + u^2) \sqrt{1 - \mu^2 f(u)} \cdot \frac{y_m}{T_p}$$

für die galvanometrische Registrierung, wo  $C_1$  eine instrumentelle Konstante ist und folgende Bedeutung hat:

$$C_1 = \frac{\pi l}{KA_1}.$$

Bezeichnen:

$T$  — die volle Schwingungsdauer des Pendels,

$T_1$  — die des Galvanometers,

$T_p$  — die volle Periode einer Erdbebenwelle,

so ist:

$$u = \frac{T_p}{T}$$

$$u_1 = \frac{T_p}{T_1}$$

$$f(u) = \left[ \frac{2u}{1 + u^2} \right]^2$$

$\mu^2$  ist eine für jeden Seismographen charakteristische Dämpfungskonstante.  $l$  bedeutet die Pendellänge,  $L$  und  $A_1$  gewisse Längen und  $k$  den Übertragungsfaktor der galvanometrischen Registriermethode.

Wird zur Verkürzung

$$U = (1 + u^2) \sqrt{1 - \mu^2 f(u)}$$

gesetzt, so ist das Vergrösserungsverhältnis für die mechanische Registrierung mit Vernachlässigung der Reibung

$$\mathfrak{V} = \frac{y_m}{x_m} = \frac{L}{l} \cdot \frac{1}{U}$$

und für die galvanometrische Registriermethode

$$\mathfrak{V} = \frac{y_m}{x_m} = \frac{T_p}{C_1 (1 + u^2) U}.$$

Für die Grenze der Aperiodizität ist  $\mu^2 = 0$ , und wird dabei noch  $T = T_1$  gesetzt, so wird

$$\mathfrak{V} = \frac{T_p}{C_1 (1 + u^2)^2} = \frac{T}{C_1} \cdot \frac{u}{(1 + u^2)^2}.$$

In der folgenden Tabelle sind nun die Werte dieses Vergrösserungsverhältnisses für die Pulkovoer Seismographen für Wellenperioden von  $1^s$  bis  $40^s$  zusammengestellt.

Für die beiden galvanometrisch registrierenden Gruppen ist überall die Annahme gemacht, dass  $T = T_1$  und  $\mu^2 = 0$  ist.

Es sind folgende Konstanten zugrunde gelegt:

	Horizontal-Komponenten.		Vertikal-Komponenten.		Mechan. Registr.
$T$	13,5	25,0	13,5	13,5	$T = 20^s 0$
$T_1$	13,5	25,0	13,5	13,5	$\frac{L}{l} = 50$
$l$	124,0 m/m	124,0 m/m	400,0 m/m	400,0 m/m	$\mu^2 = 0,80$
$k$	100,0	20,0	285,0	100,0	
$A_1$	1333 m/m	1333 m/m	1333 m/m	1333 m/m	
$\mu^2$	0	0	0	0	
$\lg C_1$	3,4657	2,1647	3,5195	3,9744	

## B.

$T_p$	Horizontal-Komp.		Vertikal-Komp.		Mechan. Reg.
1 <sup>s</sup>	339	68	299	105	50
2	656	135	579	203	50
3	933	200	824	289	51
4	1158	260	1022	359	51
5	1324	317	1170	411	52
6	1433	367	1266	444	53
7	1487	412	1314	461	54
8	1499	451	1324	465	55
9	1476	483	1303	457	56
10	1426	509	1260	442	57
11	1360	529	1201	421	59
12	1281	543	1132	397	60
13	1198	551	1058	371	61
14	1113	555	983	345	62
15	1029	555	909	319	62
16	947	551	837	294	62
17	871	544	769	270	62
18	799	534	706	248	60
19	733	523	647	227	58
20	671	509	593	208	56
21	614	494	543	190	53
22	563	478	497	175	50
23	517	462	456	160	46
24	474	445	419	147	43
25	436	428	385	135	40
26	401	411	354	124	37
27	370	394	327	115	34
28	341	377	301	106	32
29	315	361	278	98	29
30	291	345	257	90	27
31	270	330	238	84	25
32	250	315	221	78	24
33	232	300	205	72	22
34	216	287	191	67	21
35	201	273	177	62	19
36	187	261	165	58	18
37	175	249	154	54	17
38	163	237	144	51	16
39	153	227	135	47	15
40	143	216	126	44	14

Diese Werte werden bei der Bearbeitung von Seismogrammen selbstverständlich nicht benutzt, sie sollen nur eine Übersicht über die Empfindlichkeit der Seismographen bieten.

Aus ihnen geht hervor, dass für die Pendel mit  $T = 13^{\circ}5$  die Empfindlichkeit für kürzere Wellenperioden eine beträchtliche ist, wobei bei ca.  $8^{\circ}$  das Maximum erreicht ist. Aber auch für ganz kurze Perioden ist die Empfindlichkeit noch sehr hoch.

Für die Gruppe mit  $T = 25^{\circ}0$  ist natürlich die Empfindlichkeit konstanter.

Das Maximum liegt hier etwa zwischen  $14^{\circ}$  und  $15^{\circ}$ . Zwischen den Perioden  $25^{\circ}$  und  $26^{\circ}$  aber werden die Pendel mit  $25^{\circ}$  Schwingungsdauer schon empfindlicher, als die mit  $13^{\circ}5$ , obgleich bei den letzteren der galvanometrische Übertragungsfaktor 5 mal grösser ist. Für kurze Wellenperioden ist der Einfluss der Schwingungsdauer der Apparate nur sehr gering.

In der Tat hat man bei der Wahl einer kürzeren Schwingungsdauer den sehr bedeutenden Vorteil, dass der Einfluss der Windstörungen, die bei geschützten Apparaten fast durchweg auf einer Saugwirkung beruht, verkleinert wird.

Diese Störungen, die für gewöhnlich mit langen Perioden von stattent gehen, würden bei der Wahl eines hohen  $k$  bei  $25^{\circ}$  Schwingungsdauer an windigen Tagen ein unerträgliches Bild liefern und das Studium der Maximalphase eines Bebens fast unmöglich machen.

Für die Bestimmung des Anfangs der langen Wellen eines Bebens wäre sicherlich ein grosses  $T$  und hohes  $k$  von grossem Wert, für die ersten beiden Vorphasen ist aber ein kürzeres  $T$  vollständig ausreichend.

Zieht man nun die  $\mathfrak{B}$  näher in Betracht, die in der Umgebung von  $T_p = 20^{\circ}$  liegen, eine Wellenperiode, die sehr oft in der Hauptphase eines Bebens vorzukommen pflegt, so erkennt man, dass diese Apparate bei den stärksten Beben, wie das Messina-Beben vom Jahre 1908 und das Semirječje-Beben vom Jahre 1910, wo in Pulkovo beim ersten die doppelte Verschiebung eines Bodenteilchens ca.  $1^{\text{m}}/\text{m}$  und beim letzteren ca.  $4^{\text{m}}/\text{m}$  betrug, auch im günstigsten Fall, wenn der Lichtpunkt in die Mitte des Papiers fällt, aus der Skala kommen (Breite des Papiers  $300^{\text{m}}/\text{m}$ ).

Die Breite des Papiers für mechanische Registrierung beträgt  $230^{\text{m}}/\text{m}$ , also würden auch die mechanisch registrierenden Pendel bei Beben von der Grössenordnung des Semirječje-Bebens leicht aus der Skala kommen.

Wenn man aber bedenkt, dass derartige Beben gewöhnlich erst nach einigen Jahren einmal wiederkehren, so wird diese Störung durch die allzugrosse Empfindlichkeit der Seismographen nur höchst selten sich fühlbar machen.

Ein anderer Umstand könnte vielleicht von grösserem Interesse sein.

Wie sich auf der neuen Station herausgestellt hat, pflegen in Pulkovo auch Nahbeben vorzukommen, die natürlich nicht besonders stark sind, aber durch die empfindlichsten Apparate doch angezeigt werden.

Die Schwingungsperiode der Bodenteilchen bei diesen Beben schwankt zwischen  $0,5^s$  und  $2^s$ .

In diesen Fällen würden sicherlich mechanisch registrierende Pendel mit einer Periode von  $T = \text{ca. } 2^s$  und einem Vergrösserungsverhältnis  $\mathfrak{V} = \text{ca. } 2000$  gute Dienste leisten.

#### **Die Bedienung der Apparate und Bearbeitung des Beobachtungsmaterials.**

Die Tätigkeit auf der neuen Station begann bereits seit dem 1. Dez. 1911, wo die Gruppe der Seismographen mit höchster Empfindlichkeit aufgestellt wurde. Die ersten Registrierungen geschahen auf zwei Trommeln, die beiden horizontalen Komponenten auf der einen und die Vertikalkomponente allein auf der anderen. Nach drei Wochen wurden auch alle übrigen Apparate montiert und die Registrierungen auf drei getrennten Registrierapparaten in der oben angegebenen Weise fortgesetzt.

Die offizielle Eröffnung der neuen Station fand am 31. Dezember statt, wobei die Mitglieder der Permanenten Seismologischen Kommission bei der Kaiserlichen Akademie der Wissenschaften, die Angestellten des Pulkovoer Observatoriums und andere Gäste zugegen waren.

In der ersten Zeit arbeitete die alte Station noch parallel mit der neuen, mit Ausnahme des Vertikalseismographen, welcher für die neue Station für kleinere Empfindlichkeit eingerichtet wurde.

Die alten Horizontalpendel für galvanometrische Registrierung funktionierten auf der alten Station bis zum 9. März.

Es wurden für einige Beben die Angaben beider Stationen für die Verschiebung eines Bodenteilchens bei sinusartigem Charakter der Bodenbewegung miteinander verglichen, wobei sich eine gute Übereinstimmung der Werte ergab.

Die erste Vorphase mit kurzen Wellenperioden scheint aber in der Tat auf der neuen Station viel stärker zum Ausdruck zu kommen, als auf der alten, indem hier  $k = 20$  fast dasselbe gibt, wie dort  $k = 50$ , ein Umstand, der vielleicht auf den schädlichen Einfluss der Pfeiler auf der alten Station zurückzuführen ist.

Vom 9. März ab konzentriert sich die Tätigkeit einzig und allein auf die neue Station.

Die Konstantenbestimmung der Seismographen geschah in der ersten Zeit etwa nach je 2—3 Wochen, später monatlich einmal. Es stellte sich dabei heraus, dass eine so oft vorgenommene Beunruhigung der Apparate als ganz überflüssig erscheint, da nur sehr geringe Änderungen vorzukommen pflegen.

Die Schwingungsperioden der Pendel, über deren Abnahme mit der Zeit vielfach geklagt wird, änderten sich fast überhaupt nicht.

Auch die Grenze der Aperiodizität hielt sich sehr gut und war nur im ersten Anfang geringen Variationen unterworfen.

Mit Rücksicht darauf kann man wohl sicher sein, dass im weiteren Verlauf eine Verifikation der Konstanten nach je 2 bis 3 Monaten mehr als genügend ist.

Die tägliche Bedienung der Apparate geschieht in folgender Weise.

Um 8 Uhr Morgens und 8 Abends werden zunächst jedesmal die meteorologischen Apparate abgelesen und bei den selbstregistrierenden einmal täglich das Papier gewechselt. Wie schon erwähnt, wird für die photographisch registrierenden Seismographen 2 mal täglich das Papier<sup>1)</sup> gewechselt, während nur die Registrierapparate für mechanische Registrierung 24 Stunden laufen.

Der Papierwechsel wird 8½ Uhr Morgens und Abends vorgenommen (mittlere Pulkovoer Zeit).

Man wartet eine volle Minute ab und schliesst paar Sekunden nach der Minutenunterbrechung den Strom in den Schirmmagneten auf eine halbe Minute, worauf man die Minute vor der Linienunterbrechung im Journal als Endmoment auf dem Seismogramm notiert.

Darauf betritt man den Registrierraum, schiebt Schirme vor die Registertrommeln, damit beim Abnehmen der Papiere kein Nebenlicht drauffällt, nimmt die Papiere ab und notiert auf jedem Blatt auf der Rückseite die Komponente, die laufende №, aus dem Journal die Zeit des Anlassens, sowie Abnehmens und das Datum, wobei noch «Morgens» oder «Abends» speziell durch den ersten Buchstaben angedeutet wird.

Nach dem Verstecken der Papiere schaltet man einen Augenblick die Galvanometer für die Vertikalseismographen aus, betritt den Pendelraum und verifiziert die Ruhelage der Pendel. Ein Wandern der Nullage tritt gewöhnlich zuweilen nur bei den Vertikalseismographen auf.

Darauf schaltet man die Galvanometer wiederum ein, zieht die Uhrmechanismen auf, verifiziert die Lichtpunkte und überzieht die Trommeln

---

1) Das Papier wird von der Firma Warnercke & K° in St.-Petersburg für 45 Kop. pro Blatt geliefert.

mit einem frischen Blatt. Jetzt werden die Schirme hinweg geschoben und man schreitet zu der Kontaktuhr, um den Anfang des Seismogrammes zu kennzeichnen.

Hierbei vollführt man folgendermaassen künstliche Unterbrechungen.

Auf der 25. Sekunde wird der Strom geschlossen, auf der 35. geöffnet, auf der 40. wieder geschlossen und auf der 50. endgiltig geöffnet, worauf man die folgende volle Minute im Journal als Anfang des Seismogramms einträgt.

Des Morgens wird ausserdem der Papierwechsel auf den mechanisch registrierenden Trommeln besorgt.

Jeden Morgen geschieht auch die Bestimmung der Korrektion der Kontaktuhr. Man benutzt hierbei ein Chronometer, mit dem man die Kontaktuhr vergleicht. Sofort begibt man sich dann in das Hauptobservatorium und vergleicht das Chronometer mit einer Uhr der Sternwarte, für welche astronomisch die Korrektionen bestimmt werden.

Alle diese Angaben werden im Journal eingetragen und aus ihnen wird für jedes Datum die Korrektion der Kontaktuhr abgeleitet.

Das Entwickeln wird für gewöhnlich nur einmal täglich, jeden Abend, vorgenommen, wobei der Amidolentwickler üblich ist.

Nur in Ausnahmefällen, wo durch die mechanische Registrierung ein Beben angezeigt wird, wird auch des Morgens entwickelt.

Die Papiere, die die Nacht über getrocknet haben, werden am Tage darauf gleich bearbeitet.

Zur Messung bedient man sich hierbei zweier Millimeternetztafeln auf Glas,— die eine für gewöhnliche Beben, die andere für mikroseismische Bewegungen,— mit deren Hilfe man alle Momente, Perioden der Wellen, sowie ihre Amplituden ausmisst.

Die Auswertung dieser Grössen, nämlich die Berechnung der Verschiebung eines Punktes der Erdoberfläche, sowie die Korrektion der Momente auf die Verspätung der Instrumente würde unter direkter Benutzung der «Seismometrischen Tabellen»<sup>1)</sup> eine sehr mühsame und zeitraubende Arbeit sein, besonders wenn grössere Beben mit regelmässigen Maximen vorliegen, deren genauere Auswertung gewisses Interesse besitzt.

Um diese Berechnungen zu verkürzen, bedient man sich daher noch bestimmter Hülfstabellen, die jedesmal nach den Konstantenbestimmungen auf Grund der «Seismometrischen Tabellen» von neuem zusammengestellt werden.

---

<sup>1)</sup> Siehe: Fürst B. Galitzin (Golicyn). Comptes rendus des séances de la Commission sismique permanente. T. IV, Livr. 1.

Bekanntlich gilt für eine halbe Amplitude der Bodenbewegung bei sinusartiger Schwingung der Teilchen für die galvanometrische Registriermethode folgende Formel

$$x_m = C_1(1 + u_1^2) U \cdot \frac{y_m}{T_p}.$$

Die Ausdrücke  $(1 + u_1^2)$  und  $U$  sind in den «Seismometrischen Tabellen» gegeben.

Indem man

$$K = C_1(1 + u_1^2) U \cdot \frac{1}{T_p}$$

setzt, berechnet man diesen Wert für jeden einzelnen Seismographen von  $T_p = 1^s$  bis  $40^s$  für jede Sekunde und führt Tabellen, aus denen durch Interpolation die jeder Wellenperiode entsprechende Funktion  $K$  entnommen wird.

Die Berechnung des Produktes

$$x_m = K \cdot y_m$$

ist mit Hilfe des Arithmometers eine leichte Sache.

Zur Auswertung der mikroseismischen Bewegungen I Ordnung bedient man sich genau ähnlicher Tabellen, nur dass hier dieselben von  $1^s$  bis  $10^s$  reichen und von Zehntel zu Zehntel Sekunde zusammengestellt sind.

Die Zeitverspätung der Pendel und Galvanometer ist gegeben durch die folgende Summe:

$$\tau - \tau_1 = \frac{T_p}{2\pi} \operatorname{arctg} \left\{ h \frac{2u}{u^2 - 1} \right\} + T_p \left\{ \frac{1}{2\pi} \operatorname{arctg} \frac{2u_1}{u_1^2 - 1} + \frac{1}{4} \right\}.$$

Für diese Summe werden unter Benutzung der «Seismometrischen Tabellen» gleichfalls Werte für  $T_p = 1^s$  bis  $40^s$  berechnet und neben den Grössen  $K$  in der Tabelle eingetragen.

Zu bemerken ist, dass die Konstanten der Pulkovoer Seismographen sich so wenig ändern, dass die spätere Korrektion der einmal zusammengestellten Tabellen eine ganz einfache Sache ist.

Die Summe  $\tau - \tau_1$  bedarf fast überhaupt keiner Veränderungen, wenn sie einmal berechnet ist.

Das  $K$  für die mikroseismischen braucht bisweilen nur für einzelne Werte von  $T_p$  von neuem ermittelt zu werden, wo die zwischenliegenden durch Interpolation korrigiert werden können.

Nur das  $K$  für die gewöhnlichen Beben muss jedesmal nach der Konstantenbestimmung für jedes  $T_p$  von neuem berechnet werden, da hier für grössere Amplituden der Bodenbewegung eine weit grössere Genauigkeit erforderlich ist.

Diese Tabellen reichen natürlich nicht für alle vorkommenden Wellenperioden aus, da auch viel längere  $T_p$  als  $40^s$  vorzukommen pflegen.

Jedenfalls sind aber solche langen Perioden sehr selten und in diesen Ausnahmefällen bedient man sich der gewöhnlichen Ausrechnungsmethode.

Eine sehr wichtige Aufgabe in der Seismometrie ist die Bestimmung des Azimuts eines Bebens.

Durch die Arbeiten Fürst B. Golicyn's ist nach den Beobachtungen in den alten Kellerräumen genügend bewiesen worden, dass die Aufsuchung des Epizentrums eines Bebens nach einer einzelnen Station sehr wohl möglich ist.

Daher wird auch immer, wo die erste Vorphase genügend stark und deutlich ausgeprägt ist, in Pulkovo von dieser Methode Gebrauch gemacht, indem man nach dem Azimut und der Entfernung vom Epizentrum die geographischen Koordinaten des Epizentrums berechnet.

In den Fällen, wo die mikroseismischen Bewegungen sehr störend sind, oder die Undeutlichkeit der ersten Vorphase eine Ausmessung unmöglich macht, bedient man sich nur der Schätzung der Richtung zum Epizentrum, wobei man einen Globus und einen Globuszirkel zur Hilfe nimmt.

Derartige Schätzungen können natürlich bisweilen eine gewisse Unsicherheit mit sich bringen, besonders, wenn die erste Vorphase im allgemeinen sehr schwach ausfällt und starke mikroseismische Unruhe herrscht.

Alles Beobachtungsmaterial wird in speziellen Journals zusammen gestellt, aus denen man dann im Laufe der folgenden Woche ein sogenanntes «Wöchentliches Bulletin der Zentralen Seismischen Station» in russischer Sprache zusammensetzt, welches in der Typographie der Kaiserlichen Akademie der Wissenschaften zu St.-Petersburg gedruckt und an in- und ausländische Erdbebenstationen, an manche wissenschaftliche Institute, sowie auch an die Mitglieder der Russischen Permanenten Seismologischen Kommission und viele Fachgelehrte versandt wird.

Ein Schema eines derartigen Bulletins ist hier beigefügt.

№

Пулково.

Pulkovo.

Еженедельный бюллетень

Wöchentliches Bulletin

центральной сейсмической станции  
der Zentralen Seismischen Station.

$\phi = 59^{\circ} 46' 22'' \text{ N.}$   $\lambda = 30^{\circ} 19' 25'' \text{ E.}$   $h = 65 \text{ m.}$

Приборы: апериодич. маятники съ гальваном. регистраціей системы кн. Б. Б. Голицына.

Instrumente: Galitzin'sche Pendel mit galvanometr. Registrierung.

Объяснение знаковъ.

Zeichen-Erläuterung.

Фазы.

Phasen.

$P$  = первая предварительная фаза.  
erster Vorläufer.

$S$  = вторая предварительная фаза.  
zweiter Vorläufer.

$L$  = длинные волны.  
lange Wellen.

$M_1, M_2 \dots$  = последовательные maximum'ы (исправленные на запаздывание приборовъ) \*).  
die aufeinander folgenden Maxima (korrigiert auf die Verspätung d. Instrumente).

$C_1, C_2 \dots$  = последовательные вторичные maximum'ы, следующ. за главн. фазой.  
die aufeinander folgenden sekundären Maxima, welche nach der Hauptphase folgen.

$F$  = конецъ.  
Ende.

$i$  = рѣзкое наступленіе любой фазы  
scharfes Auftreten einer Phase } ставится въ особ. случаяхъ передъ знакомъ фазы, а также  
какъ самостоятельн. символъ, когда природа фазы не ясна.  
 $e$  = неотчетливое наступленіе фазы  
undeutliches Auftreten einer Phase } wird in extremen Fällen vor das Phasensymbol gesetzt, kann  
aber, falls die Natur der Phase undeutlich ist, als selbständiges Symbol verwendet werden.

Періоды и амплитуды.

Perioden und Amplituden.

$T_p$  = періодъ = продолжительность полного колебанія въ секундахъ.  
Periode = Dauer einer Doppelschwingung in Sekunden.

$A_n$  = амплитуда NS — составл. истиннаго смѣщ. почвы въ  $\mu$  отъ положенія равновѣсія ( $\rightarrow$  къ N).  
Amlitude der NS — Komponente der wahren Bodenbewegung in  $\mu$  von d. Ruhelage ( $\rightarrow$  nach N).

$A_e$  = амплитуда EW — составл. истиннаго смѣщ. почвы въ  $\mu$  отъ положенія равновѣсія ( $\rightarrow$  къ E).  
Amplitude der EW — Komponente der wahren Bodenbewegung in  $\mu$  von d. Ruhelage ( $\rightarrow$  nach E).

$A_z$  = амплитуда вертик. сост. истиннаго смѣщ. почвы въ  $\mu$  отъ положенія равновѣсія ( $\rightarrow$  къ зениту).  
Amplitude der Vertikal-Komponente der wahren Bodenbeweg. in  $\mu$  von d. Ruhelage ( $\rightarrow$  nach Zenit).

$\Delta$  = эпицентральное разстояніе въ кил.  
Epizentralentfernung in Kilom.

Время — среднее гринвичское отъ полуночи до полуночи.

Zeit — mittlere Greenwicher von Mitternacht bis Mitternacht.

$\mu$  = микронъ  
Mikron =  $0,001 \text{ м}/\text{м.}$

\*.) Моменты maximum'овъ смѣщенія почвы, но не maximum'овъ на сейсмограммѣ.

Die Momente der Maxima der Bodenbewegung, aber nicht der Maxima auf dem Seismogramm.





Микросейсміческія дівиженія.

Mikroseismische Bewegungen.

Амплітуда — найбільша оконо указанного часу; время — съ точностью до чётверти часа.

Die grösste Amplitude in der angegebenen Stunde; die Zeit — mit einer Genauigkeit von einer viertel Stunde.

Число. Datum.	Часъ. Stunde.	$T_p$	$A_n$	$A_e$	$A_z$	Число. Datum.	Часъ. Stunde.	$T_p$	$A_n$	$A_e$	$A_z$
		0					0				
		6					6				
		12					12				
		18					18				
		0					0				
		6					6				
		12					12				
		18					18				
		0					0				
		6					6				
		12					12				
		18					18				
		0					0				
		6					6				
		12					12				
		18					18				
		0					0				
		6					6				
		12					12				
		18					18				

Общія замѣчанія.

Allgemeine Bemerkungen.

Die Registrierungen auf der neuen Station haben in der Tat bewiesen, dass die galvanometrische Registriermethode eine grosse Leistungsfähigkeit besitzt.

Die beiden ersten Vorphasen  $P$  und  $S$  treten sehr oft sogar bei schwächeren Beben mit solcher Schärfe hervor, dass man noch sehr leicht die angenäherten geographischen Koordinaten des Epizentrums,  $\varphi$  und  $\lambda$ , berechnen kann, wo nach vielen anderen Stationen nicht einmal  $P$  und  $S$  gegeben werden.

Man kann wohl fest behaupten, dass kein einziges Beben etwa mit langen Wellen beginnt, sondern dass alles nur von der Empfindlichkeit der Seismographen abhängt, ob wir zu den langen Wellen den Eintritt der longitudinalen finden, oder nicht.

Etwas anders verhält es sich mit der zweiten Vorphase, die in gewissen Fällen in der Tat sogar bei einigen stärkeren Beben schwach auftritt, sodass die Bestimmung ihrer Eintrittszeit etwas unsicher werden kann.

Derartige Beben kommen aber höchst selten vor.

Selbstverständlich lässt diese Methode noch weit grössere Vervollkommenung zu; fürs erste aber ist die Pulkovoer seismische Station auch so imstande viel mehr zu bieten, als irgend eine andere seismische Station in der Welt.

Ein grosses Interesse bietet in der Tat die Angelegenheit, dass möglichst viele seismische Stationen mit Seismographen gleichen Systems ausgerüstet werden.

In dieser Richtung ist in Russland bereits der Anfang gemacht worden, insofern alle erstklassischen Stationen mit aperiodischen Pendeln für galvanometrische Fernregistrierung ausgestattet werden<sup>1)</sup>.

Bereits haben auch einige von diesen die Veröffentlichung eines wöchentlichen Bulletins begonnen.

Noch fehlen auf den meisten Stationen Vertikalseismographen.

In der nächsten Zukunft wird auch diese Lücke ausgefüllt werden und dann können wir auf manches interessante und wertvolle Material für die Seismometrie hoffen.

---

1) Siehe: Fürst B. Galitzin (Golicyn). Die neue Organisation des seismischen Dienstes in Russland. L. c.



Fig. 1.

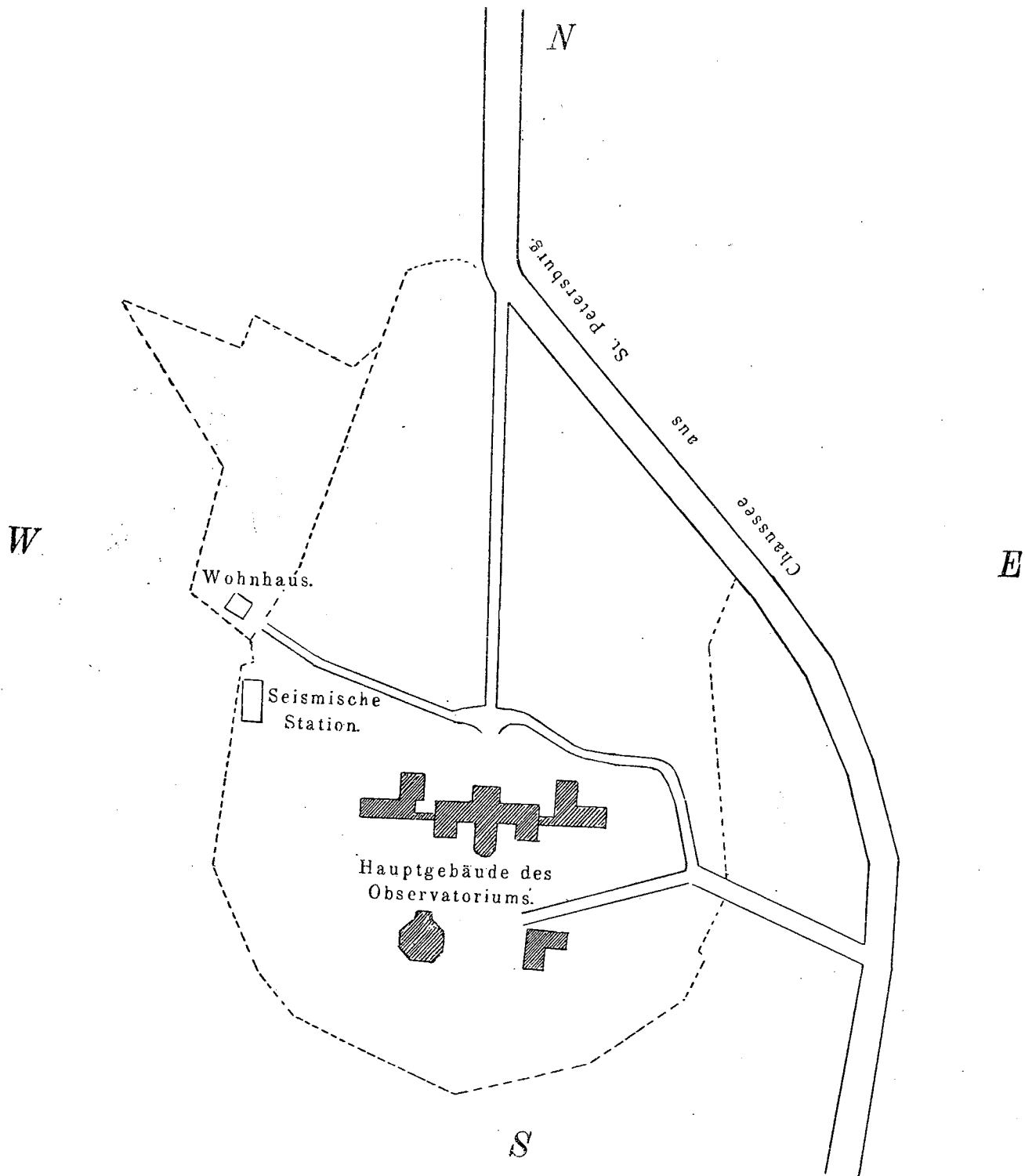
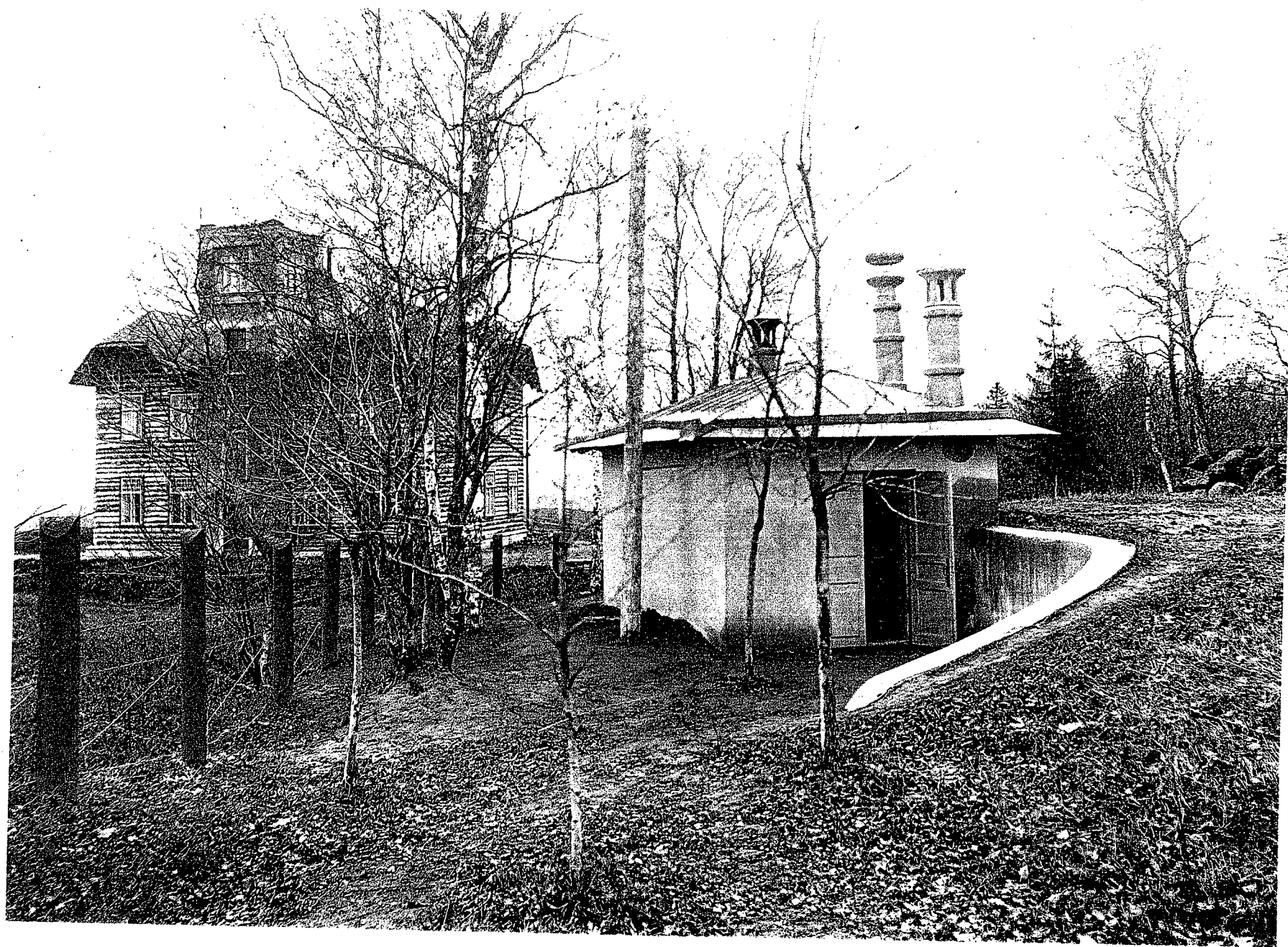


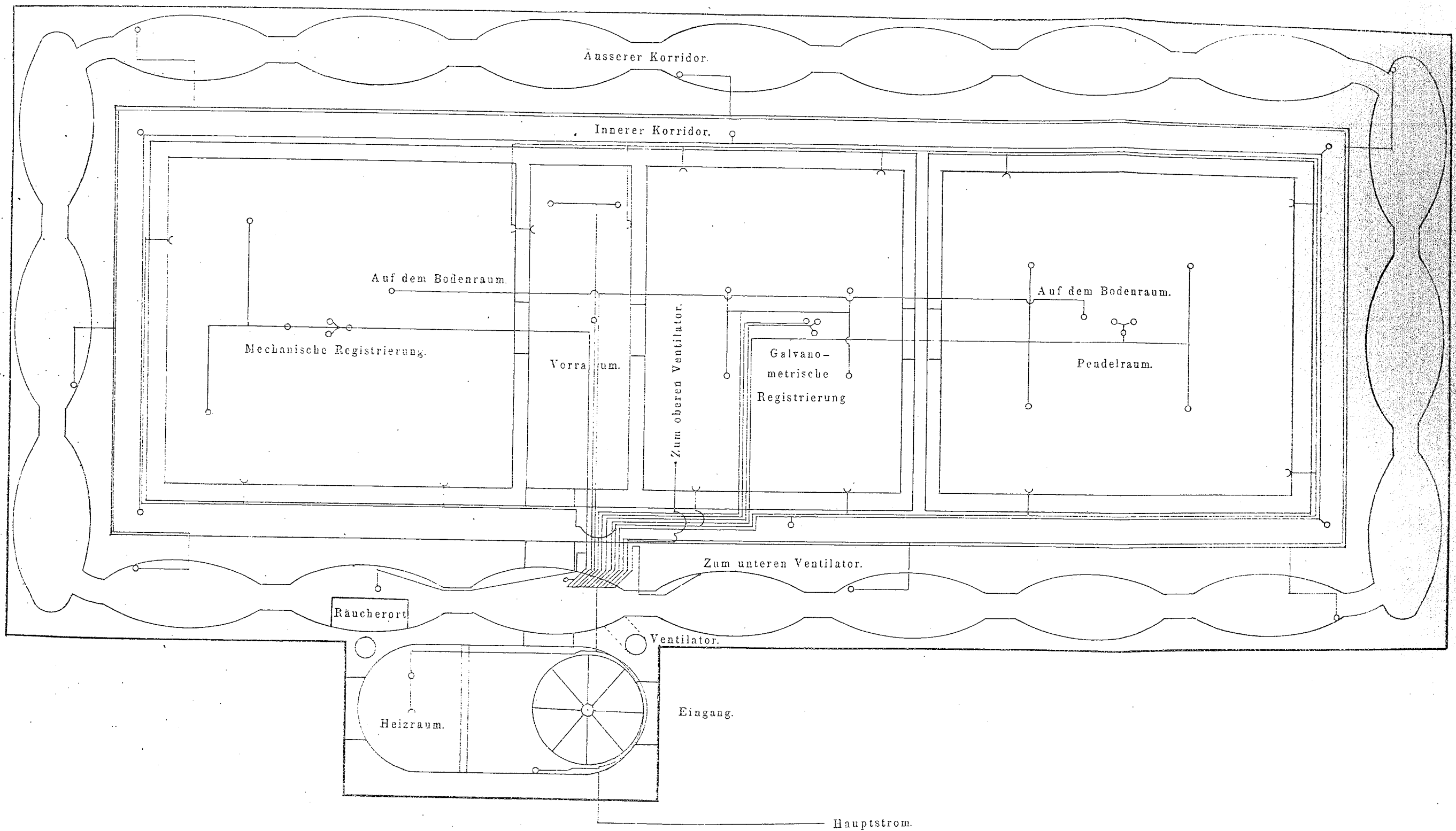
Fig. 2.



Фотоаппарат Б. Касарина, С.Петербург, Камерка № 7-2  
Издатель И. Каминский.

Fig. 4.

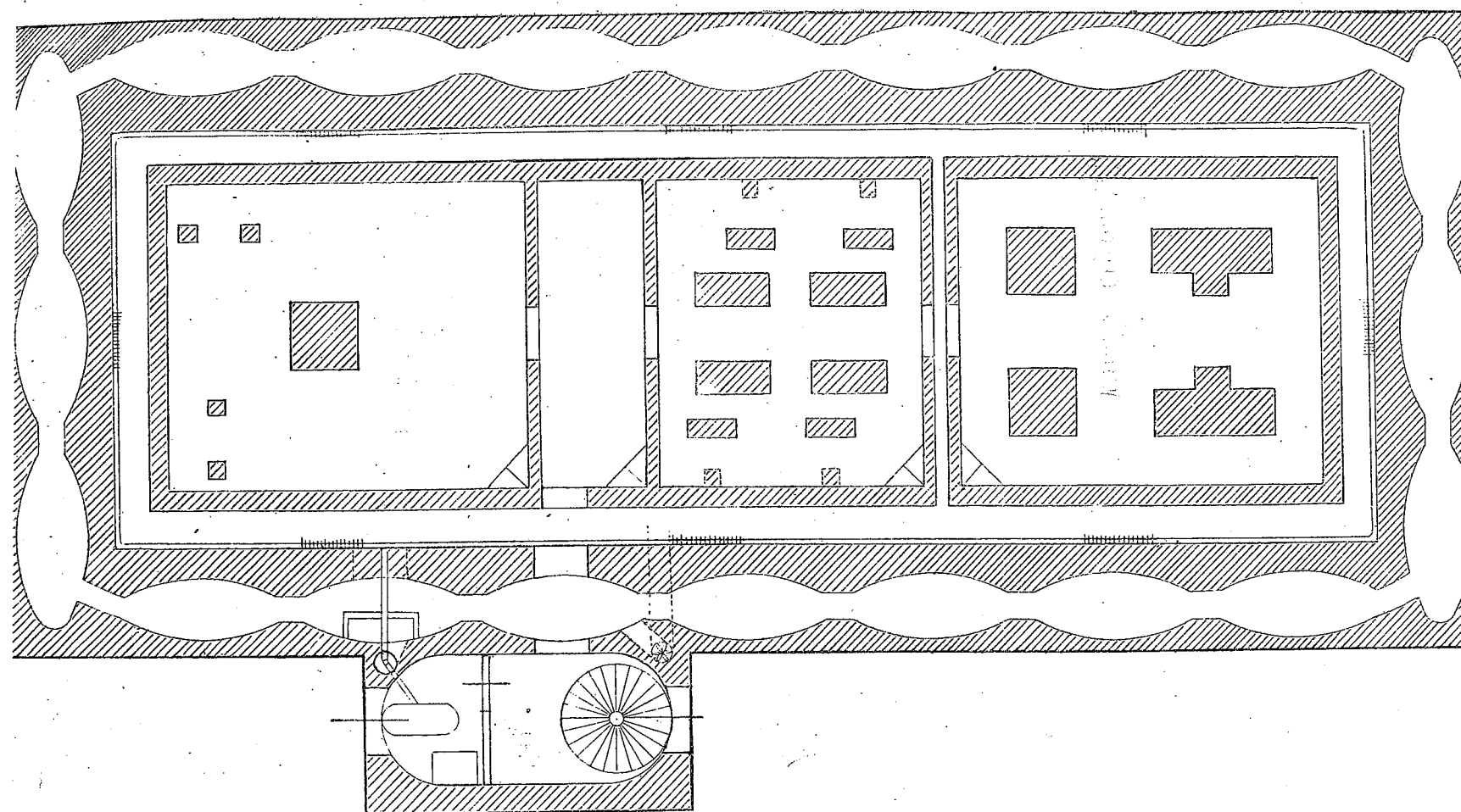
Plan der Beleuchtungsanlage im unterirdischen Bau.



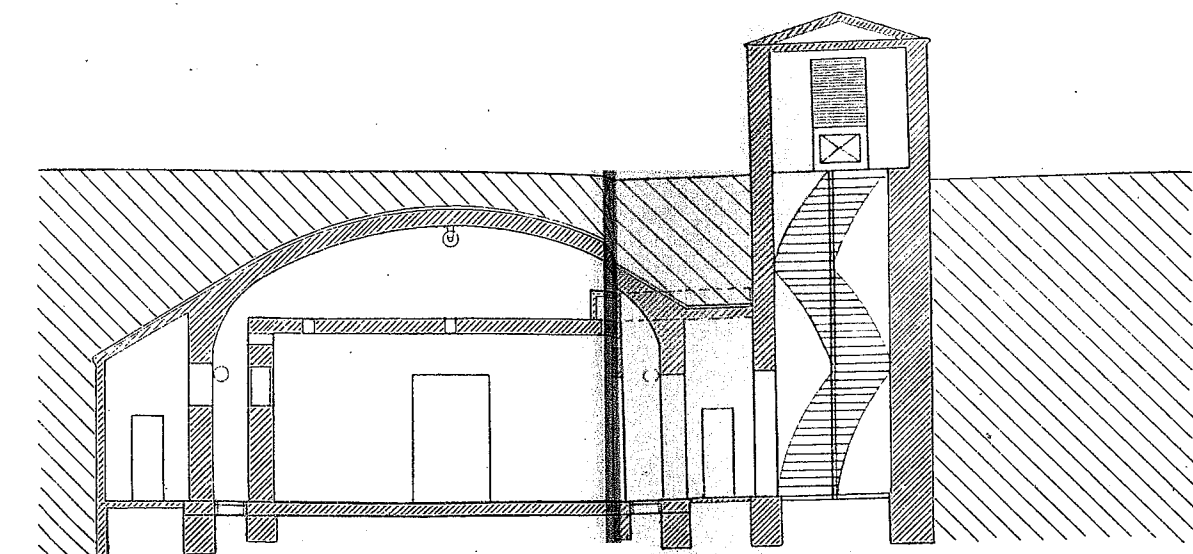
3. 3.

Plan der unterirdischen seismischen Station in Pulkovo.

Grundriss.



Querschnitt.



Längsschnitt.

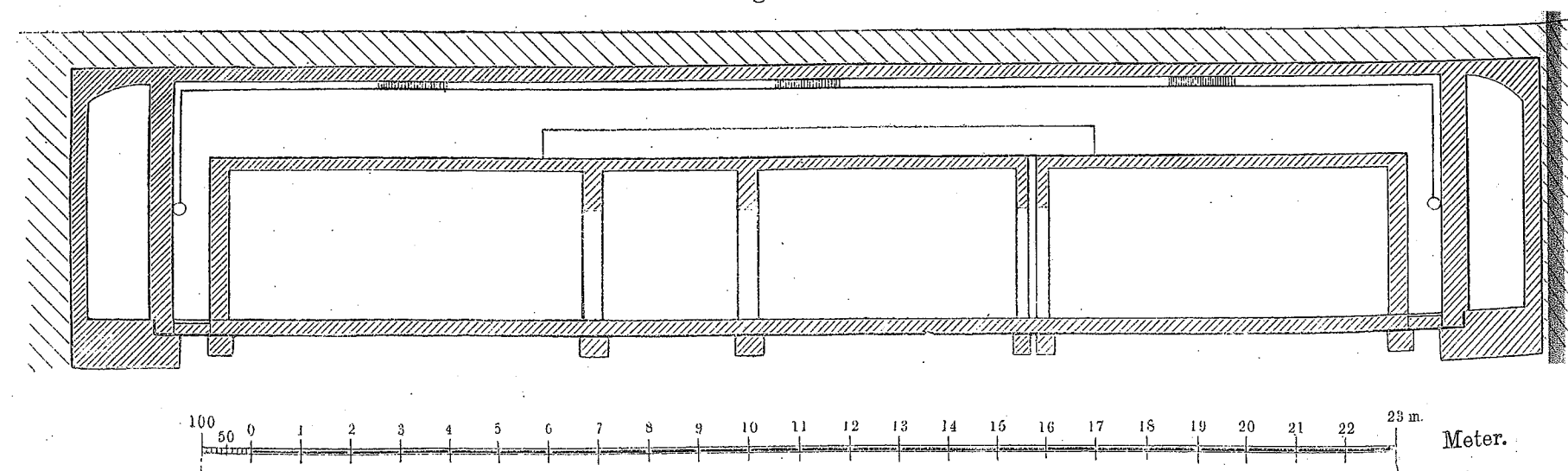


Fig. 5.

Plan der Betonpfeiler und Verbindungsdrähte im unterirdischen Bau.

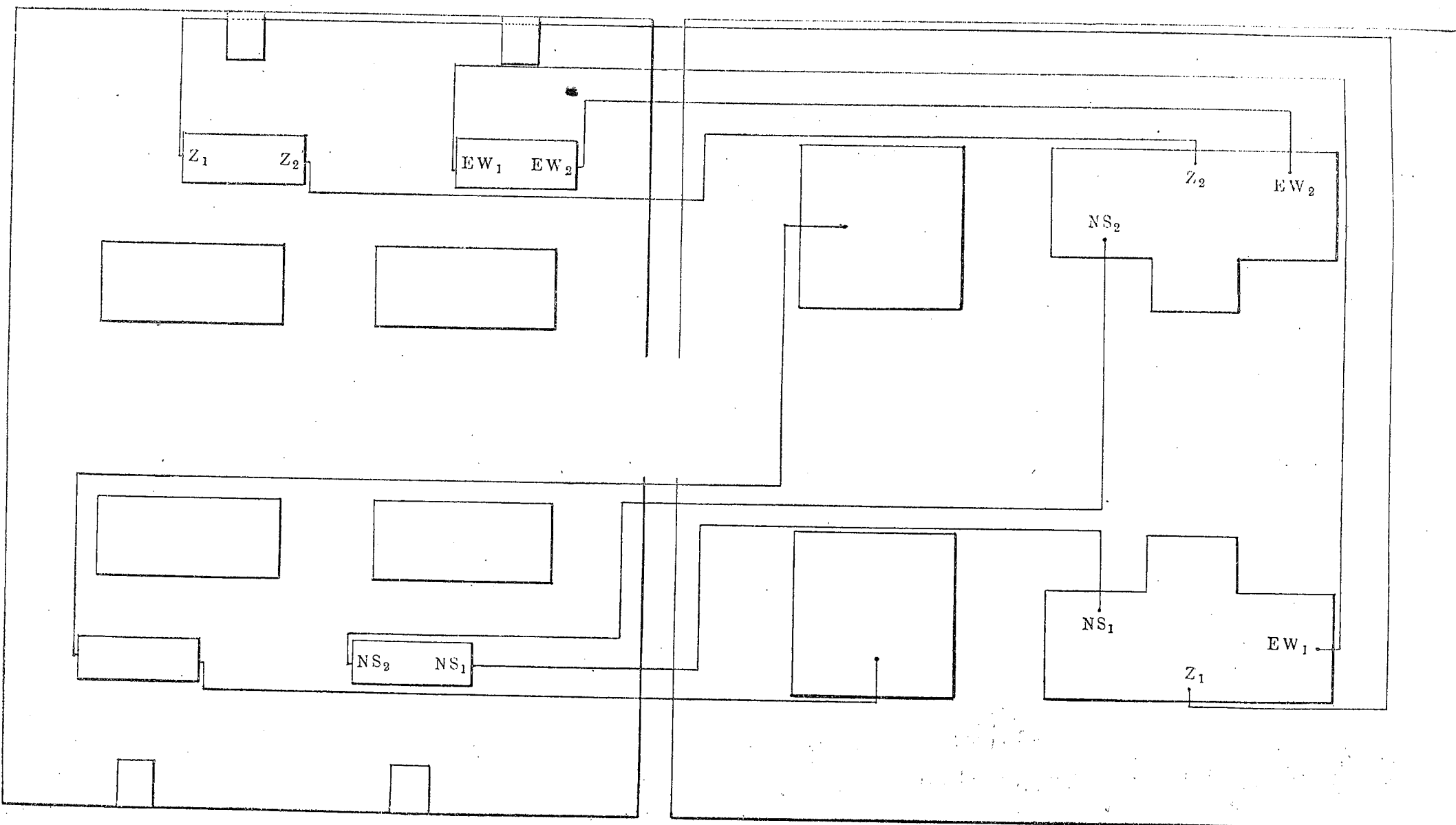


Fig. 6.

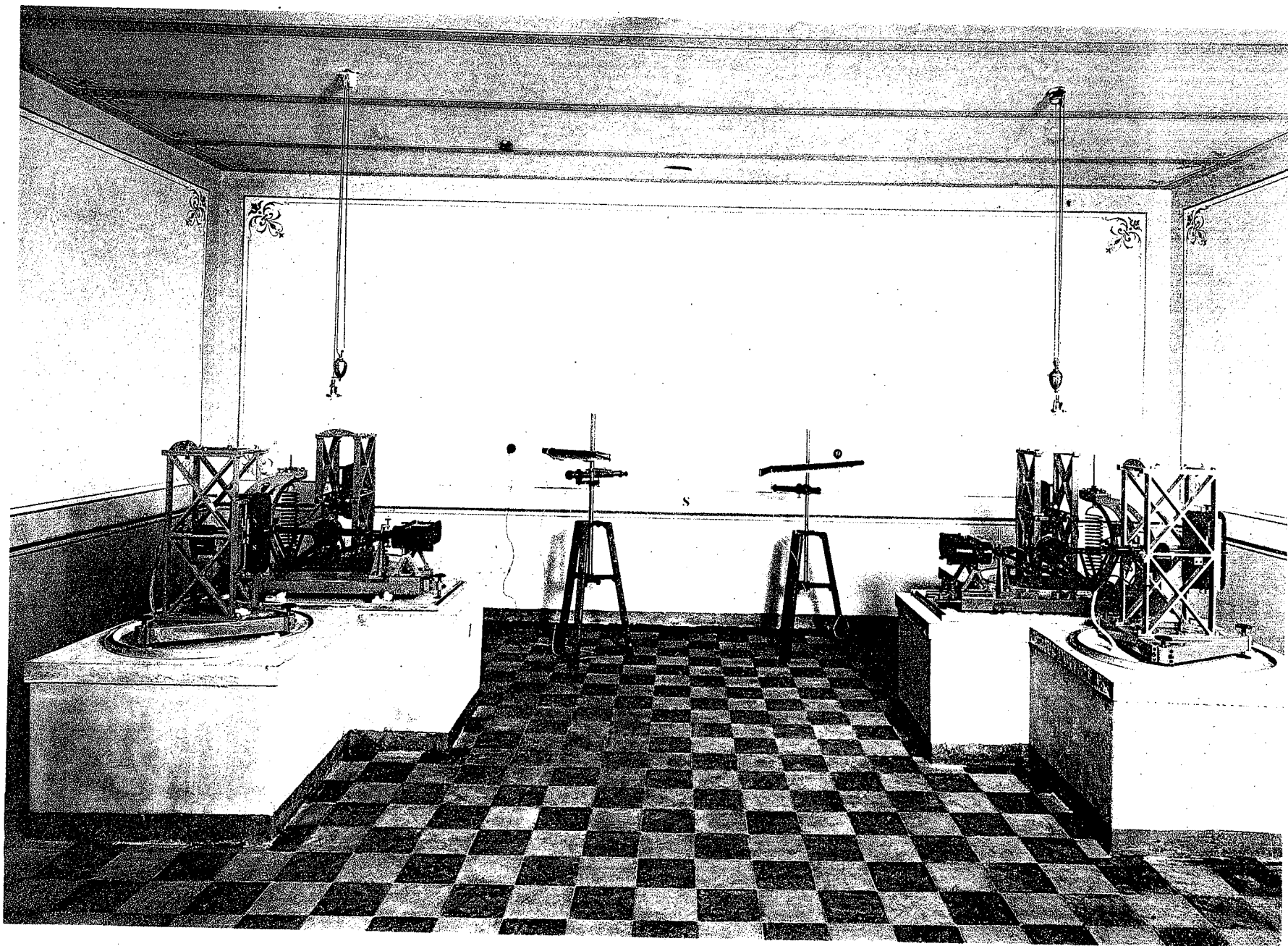
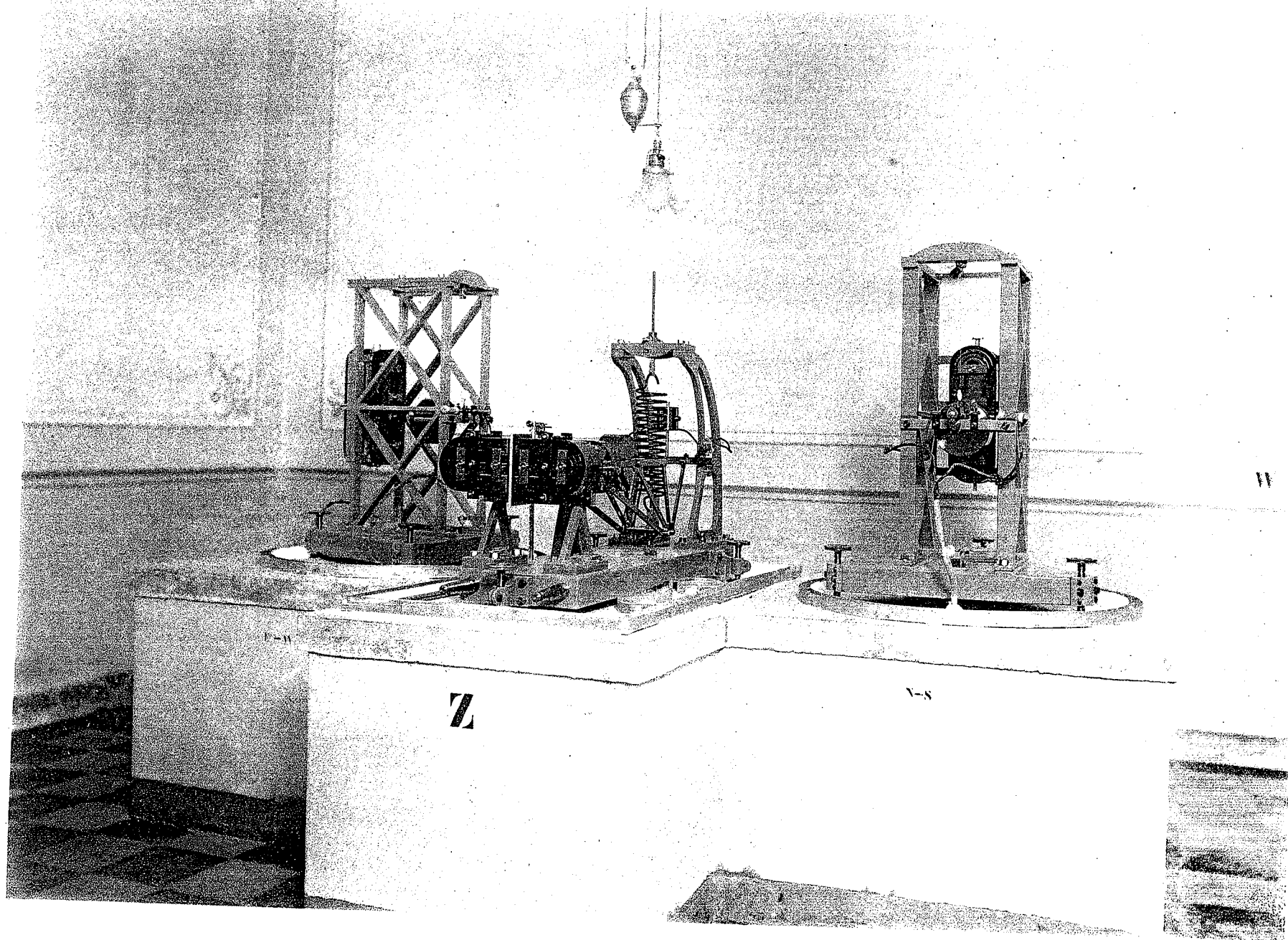


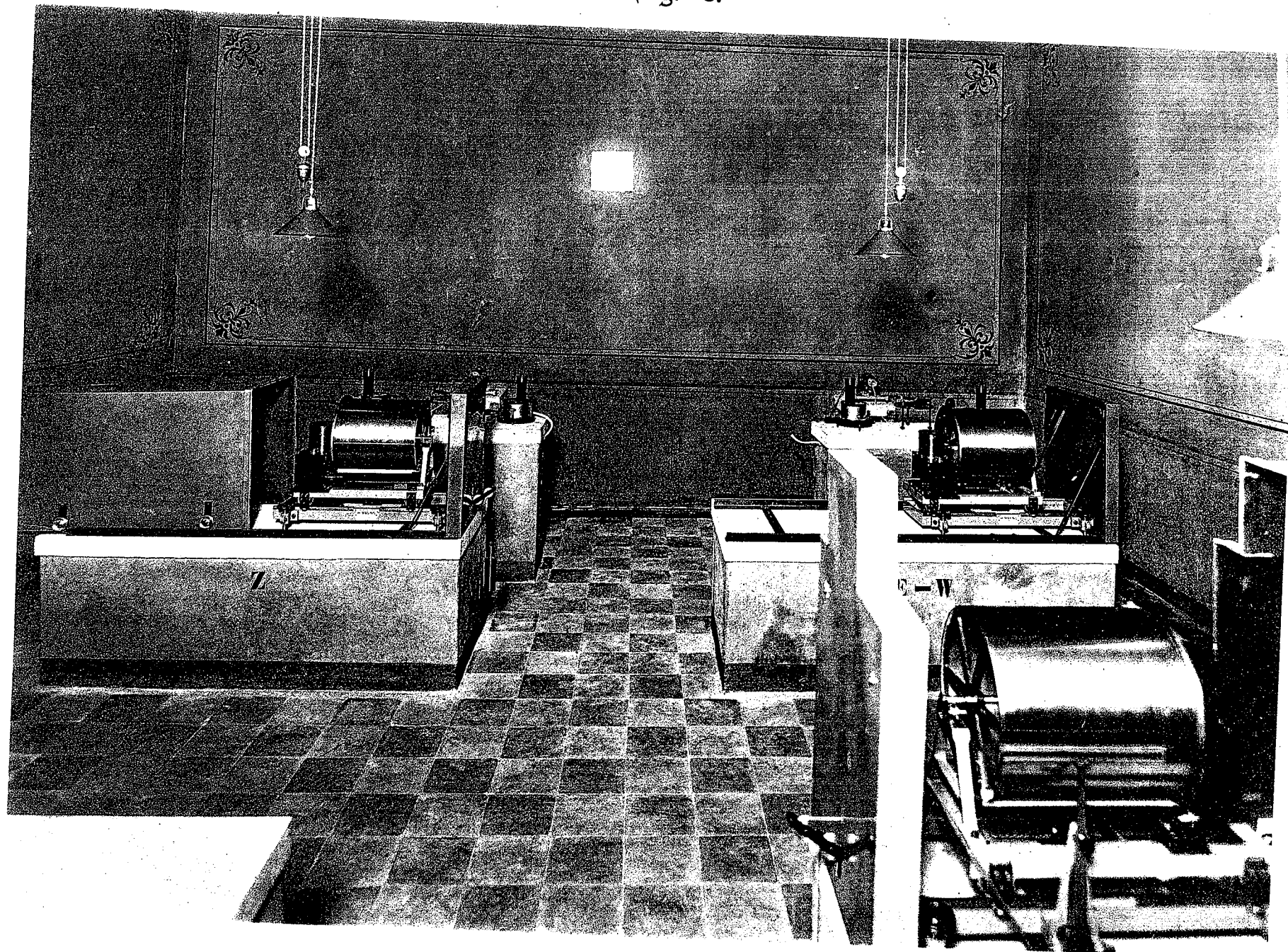
Fig. 7.



Фотоаппарат В. Класена, С.-Петербургъ, Кадетская лин. № 7-2.

Преводи. Н. Конинский.

Fig. 8.



Издательство С. Ковалев, С.-Петербург, Красногорская ул. № 7-2.  
Проспект Н. Ковшевский.

Fig. 9.

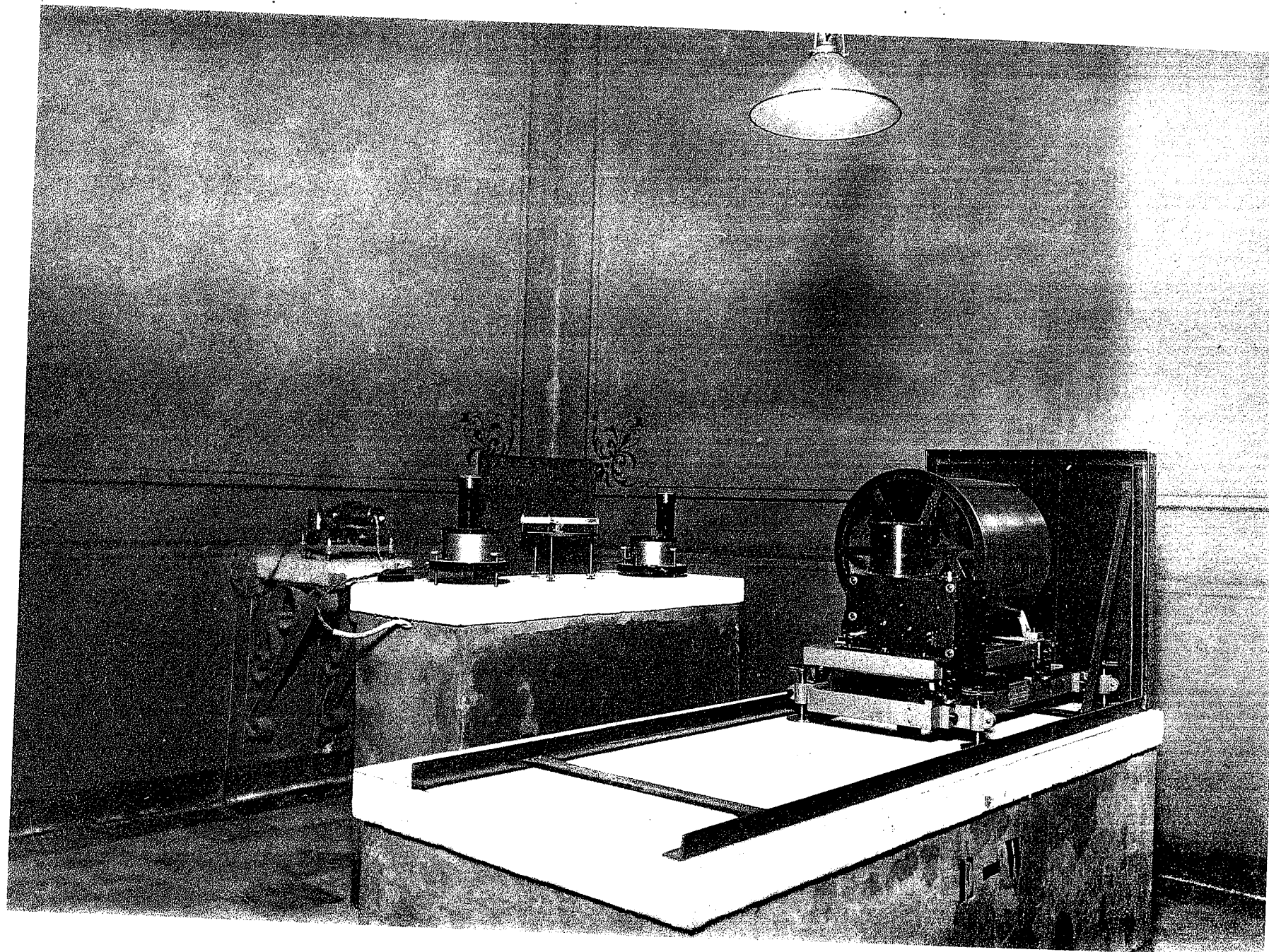
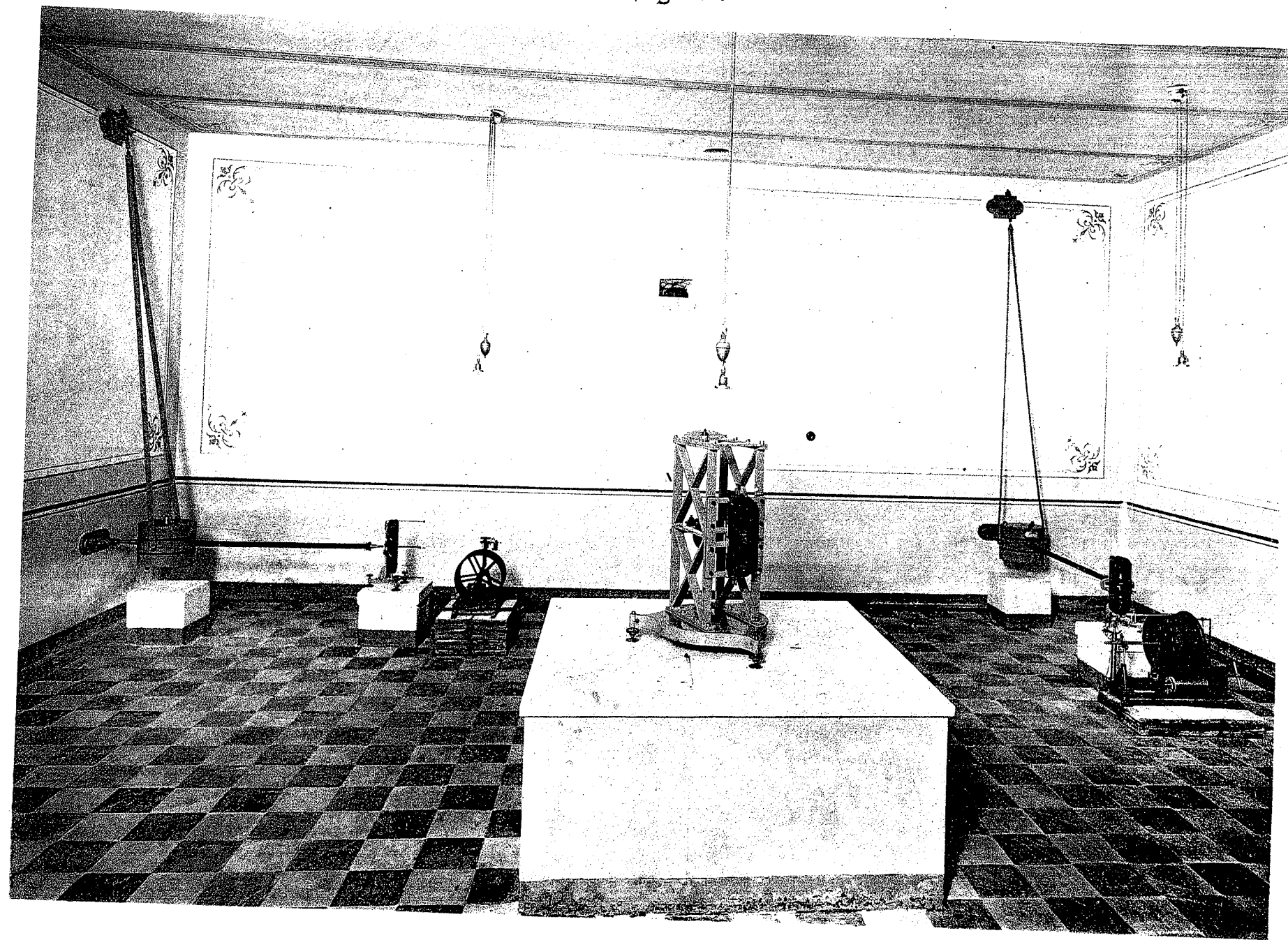


Фото: А. С. Красов, С. Погорель, М., Институт физики, ИИФЭ.

Презент. Н. Капанинскій.

Fig. 10.



Фотоаппарат В. Клесенса, С.-Петербургъ, Надеждская лин. № 7-2.  
Презент. И. Коминский.

Fig. 11.

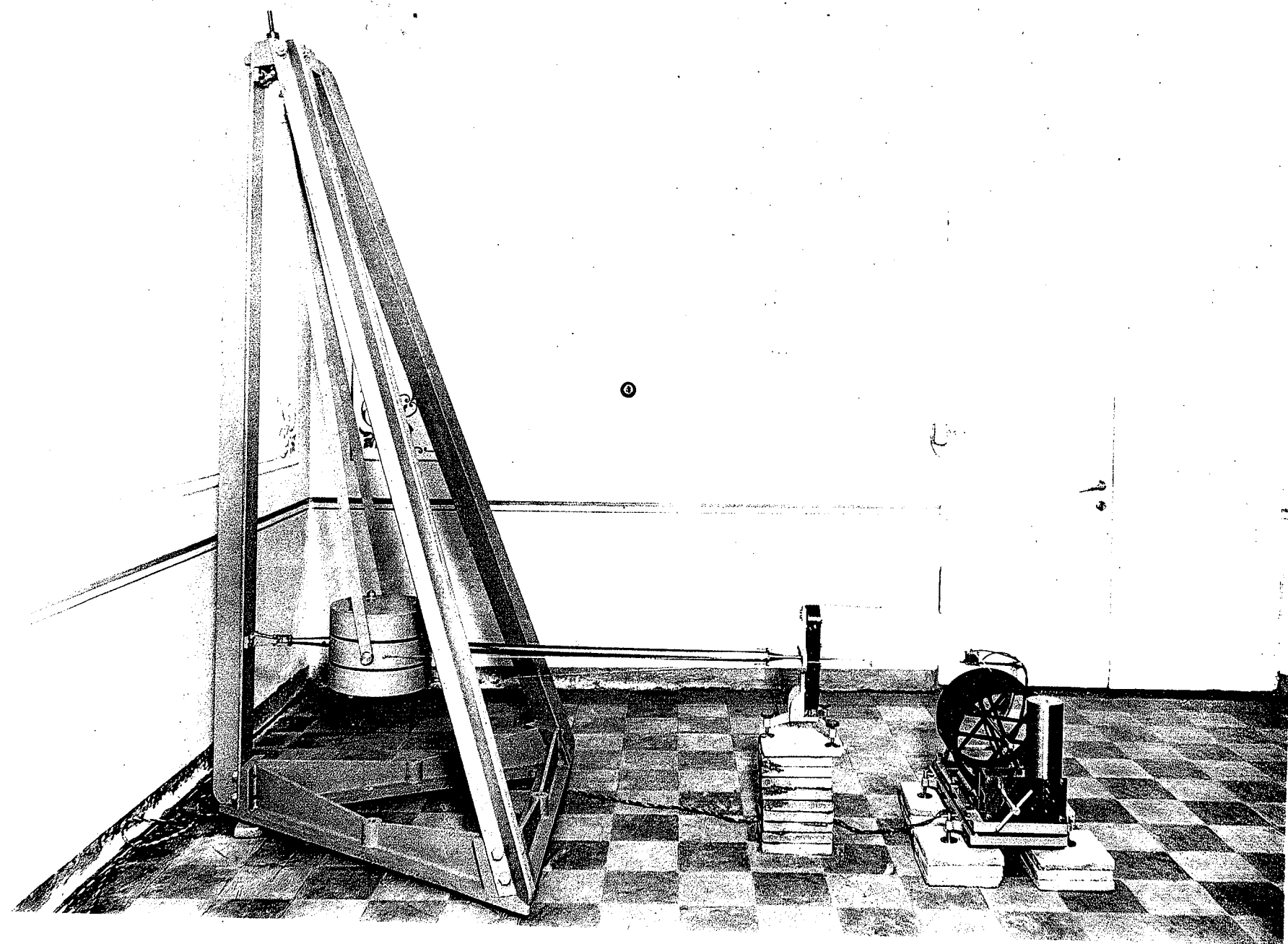


Fig. 12.



Фотоаппарат В. Класенъ, С.-Петербургъ, Кадетская лин. № 7-2.  
Пресмык. Н. Каминскій.

Fig. 13.



Фотоаппарат Ф. Клесова, С.-Петербург, Невская линия № 7-2.  
Превод. И. Каминский.

Fig. 14.



Фотоаппарат В. Класенъ, С. Петербурга. Кадетская лин. № 7-2.

Преводн. Н. Каминскій.

Fig. 15. I.

Die untere Etage des Wohnhauses.

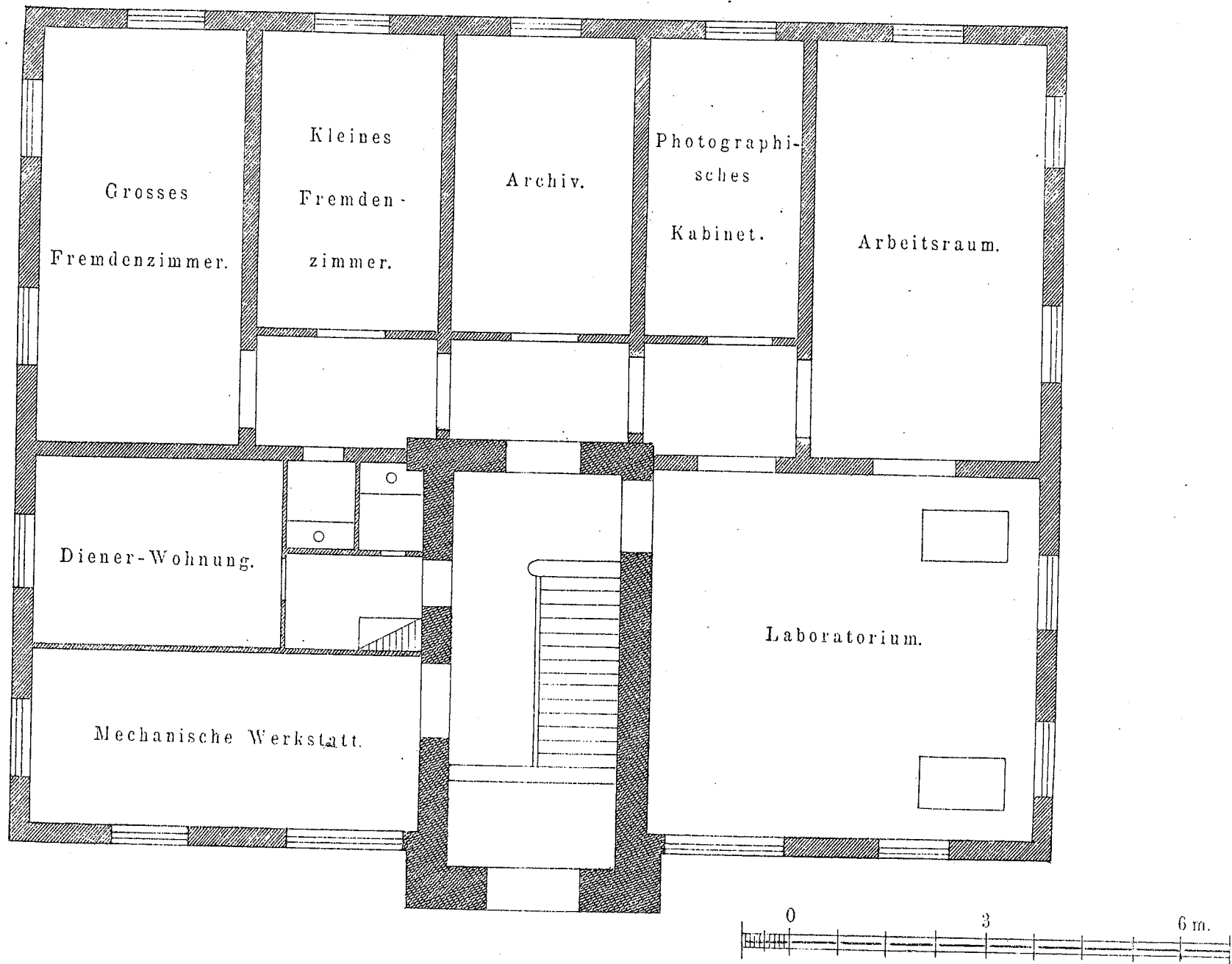


Fig. 15. II.

Die obere Etage.

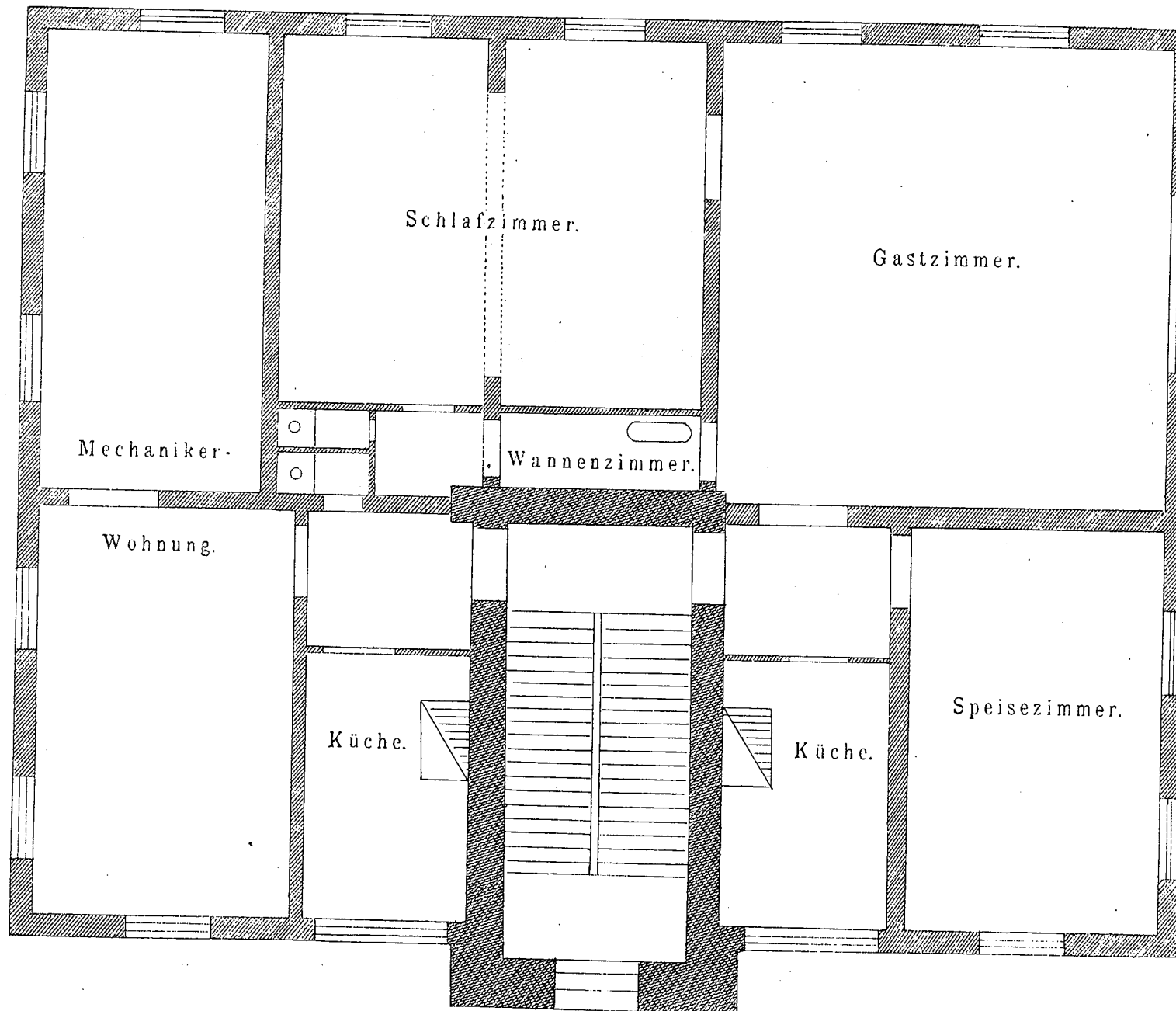
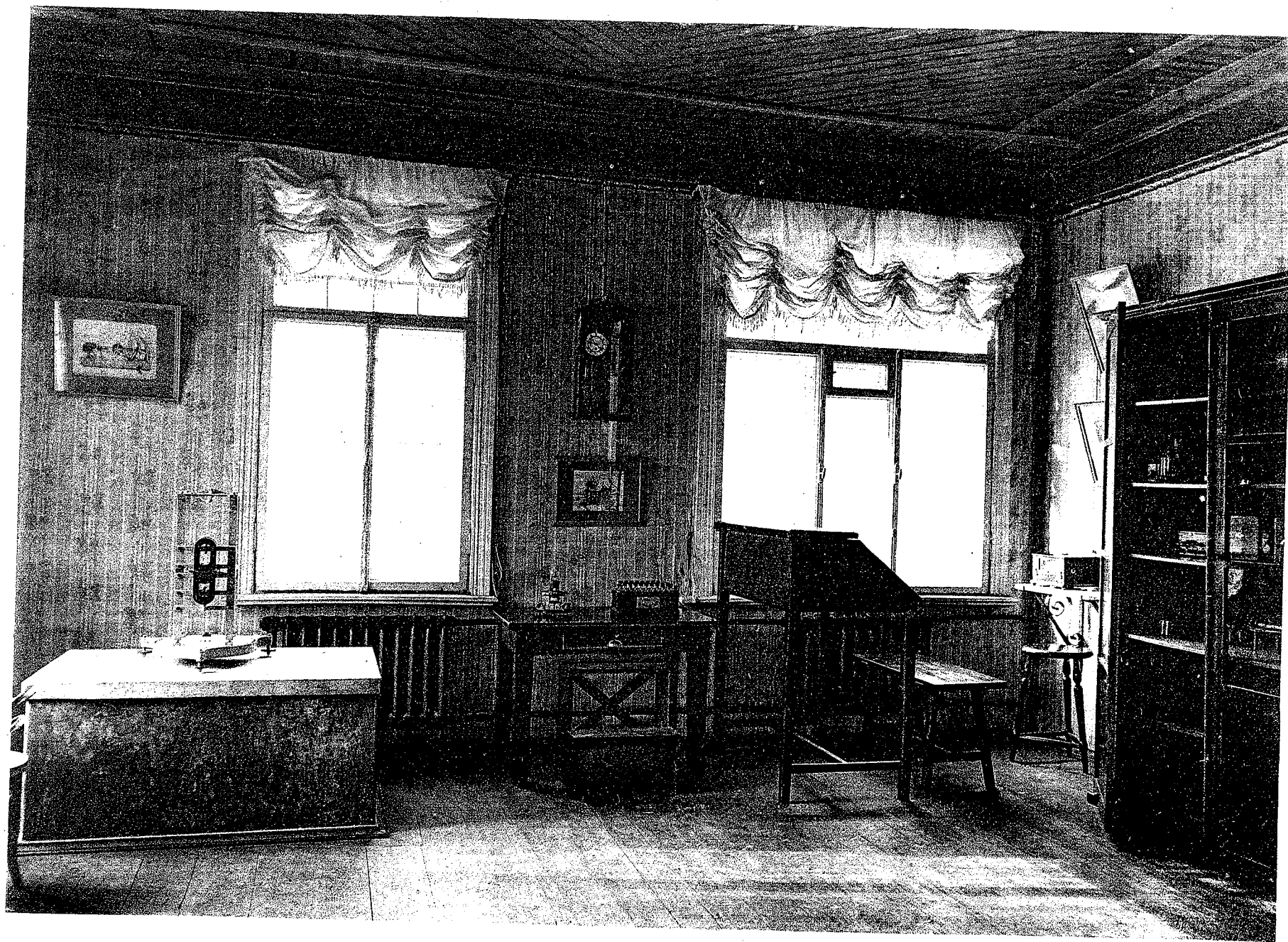


Fig. 16.



Фотоаппарат S. Красен. Сtereоскоп. Кодировка № 7-2.  
Пресек Н. Коммюни

## Приборы для наблюдений надъ пульсирующими источниками.

Князь Б. Б. Голицынъ.

Нѣкоторые минеральные, ювенильные источники обладаютъ замѣчательнымъ свойствомъ черезъ опредѣленные промежутки времени пульсировать. Въ эти моменты вода источника какъ-бы вскипаетъ, причемъ одновременно измѣняется, какъ давленіе столба жидкости въ каптажной трубѣ, такъ и дебитъ самого источника. При нормальномъ режимѣ источника эта пульсация обладаетъ замѣчательной правильностью.

Къ такимъ интермиттирующимъ источникамъ относится, между прочимъ, извѣстный Екатерининскій источникъ въ Боржомѣ, надъ которымъ въ 1901—1902 годахъ производилъ систематическія изслѣдованія Мольденгауэръ<sup>1)</sup>. Въ этомъ источникѣ промежутокъ времени между двумя послѣдовательными пульсациями составляетъ около 8—10 минутъ (послѣ Ахалкалакскаго землетрясенія 1901 года), причемъ измѣненіе давленія опредѣленного водяного столба достигало въ среднемъ, по наблюденіямъ Мольденгауера, около 50—60 миллиметровъ ртутнаго столба.

Иногда въ правильномъ, нормальному, пульсирующемъ режимѣ такихъ источниковъ наступаютъ извѣстныя нарушенія; правильная пульсация испытываетъ какія-то возмущенія, причемъ соответственно мѣняется и дебитъ источника. Это явленіе также было обстоятельно изслѣдовано Мольденгауеромъ<sup>2)</sup>. При этомъ обнаружилось, что эти нарушенія нормального режима находятся, повидимому, въ нѣкоторой связи съ чисто сейсмическими явленіями, причемъ въ очень многихъ случаяхъ наблюдаемыя

1) См. Fr. Moldenhauer. Seismische Einwirkungen auf den Charakter der Lebensfigkeit intermittierender Quellen. Извѣстія Постоянной Центральной Сейсмической Комиссии. Т. V, вып. 1, стр. 1.

2) L. c.

возмущенія въ жизни источника *предшествуютъ землетрясеніямъ*. Это послѣднее обстоятельство, если оно только подтверждится послѣдующими наблюденіями, имѣть несомнѣнно громадное практическое значеніе, такъ какъ на этомъ пути удастся быть можетъ со временемъ выработать особый методъ для предсказыванія землетрясеній.

Въ виду важности изслѣдованій надъ пульсирующими источниками, Сейсмическая Комиссія при Императорской Академіи Наукъ рѣшила принять всѣ зависящія отъ нея мѣры для организаціи систематическихъ и правильныхъ наблюденій, какъ надъ Екатерининскимъ источникомъ въ Боржомѣ, такъ и надъ однимъ изъ Эссентукскихъ источниковъ Пятигорской минеральной группы.

Въ этомъ отношеніи Сейсмическая Комиссія встрѣтила полное сочувствие и содѣйствіе со стороны Августѣйшаго владѣльца Боржомскаго имѣнія Великаго Князя Николая Михайловича, который отпустилъ средства, какъ на полную реорганизацію сейсмической станціи въ Боржомѣ, такъ и на производство наблюденій надъ Екатерининскимъ источникомъ и на содержаніе постояннаго наблюдателя, которому одновременно ввѣрено и производство метеорологическихъ наблюденій.

Что-же касается организаціи наблюденій въ Эссентукахъ, то по этому вопросу ведутся въ настоящее время переговоры съ Управлениемъ Кавказскими минеральными водами и есть надежда, что въ ближайшемъ будущемъ и этотъ вопросъ разрѣшится въ благопріятномъ смыслѣ.

Наблюденія надъ источниками должны вестись въ трехъ направленіяхъ:  
1) долженъ регулярно и непрерывно регистрироваться дебитъ источника,  
2) должна регистрироваться температура воды источника, по возможности, невдалекъ отъ нижняго срѣза каптажной трубы, 3) должно измѣряться давленіе, соотвѣтствующее опредѣленному столбу воды источника, причемъ измѣненіе этого давленія и будетъ характеризовать собою самое явленіе пульсаціи источника.

Всѣ эти наблюденія должны вестись непрерывно, при помощи само-пишущихъ приборовъ.

Такъ какъ старинный приборъ Мольденгауера является для поставленной, расширенной задачи не вполнѣ пригоднымъ, то при Физической Лабораторіи Императорской Академіи Наукъ былъ предпринятъ рядъ изслѣдованій для выясненія тѣхъ типовъ приборовъ, которые лучше всего могли бы удовлетворить цѣлямъ намѣченныхъ изслѣдованій. Два прибора, одинъ для измѣренія дебита, а другой для измѣренія давленія, были рновь сконструированы по моимъ указаніямъ механикомъ при Физической Лабораторіи Академіи Наукъ г-омъ Мазингомъ.

Всѣ приборы, предназначенные для изслѣдованія Екатерининского

источника, были систематически изслѣдованы въ Физической Лабораторії г-омъ Веберомъ, вновь назначеннымъ завѣдующимъ Боржомской сейсмической станціей, причемъ оказалось, что всѣ приборы работаютъ правильно и вполнѣ удовлетворяютъ своей цѣли.

Въ настоящей статьѣ я предполагаю дать краткое описание этихъ приборовъ и привести нѣкоторые результаты произведенныхъ съ ними наблюденій.

#### Приборъ для опредѣленія дебита.

Для опредѣленія дебита источника надо придѣлать къ его каптажной трубѣ отливную трубку и всю воду, протекающую черезъ нее, пропускать черезъ измѣрительный приборъ. Для измѣрительныхъ цѣлей можно взять трубку и съ небольшимъ сѣченіемъ. Для правильного опредѣленія нормального дебита источника необходимо, чтобы вода изъ источника выливалась всюду исключительно только самотекомъ. Никакое *выкачиваніе* воды изъ каптажной трубы при помощи насосовъ никогда не должно быть допускаемо, такъ какъ такое выкачиваніе нарушаетъ нормальный режимъ источника и можетъ, въ концѣ концовъ, ему повредить. Цѣнныіе минеральные источники требуютъ бережливаго и осмотрительнаго съ ними обращенія.

Дебитъ источника можно характеризовать объемомъ воды, протекающимъ въ единицу времени черезъ единицу сѣченія. Взявъ за единицу времени 1 секунду, а за единицу сѣченія 1 квадратный сантиметръ, дебитъ источника будетъ характеризоваться скоростью *u* и движеніемъ воды вверхъ по каптажной трубѣ. Зная *u* и сѣченіе каптажной трубы, всегда можно опредѣлить общій суточный или часовой дебитъ источника.

Весь вопросъ сводится, такимъ образомъ, къ опредѣленію скорости *u*.

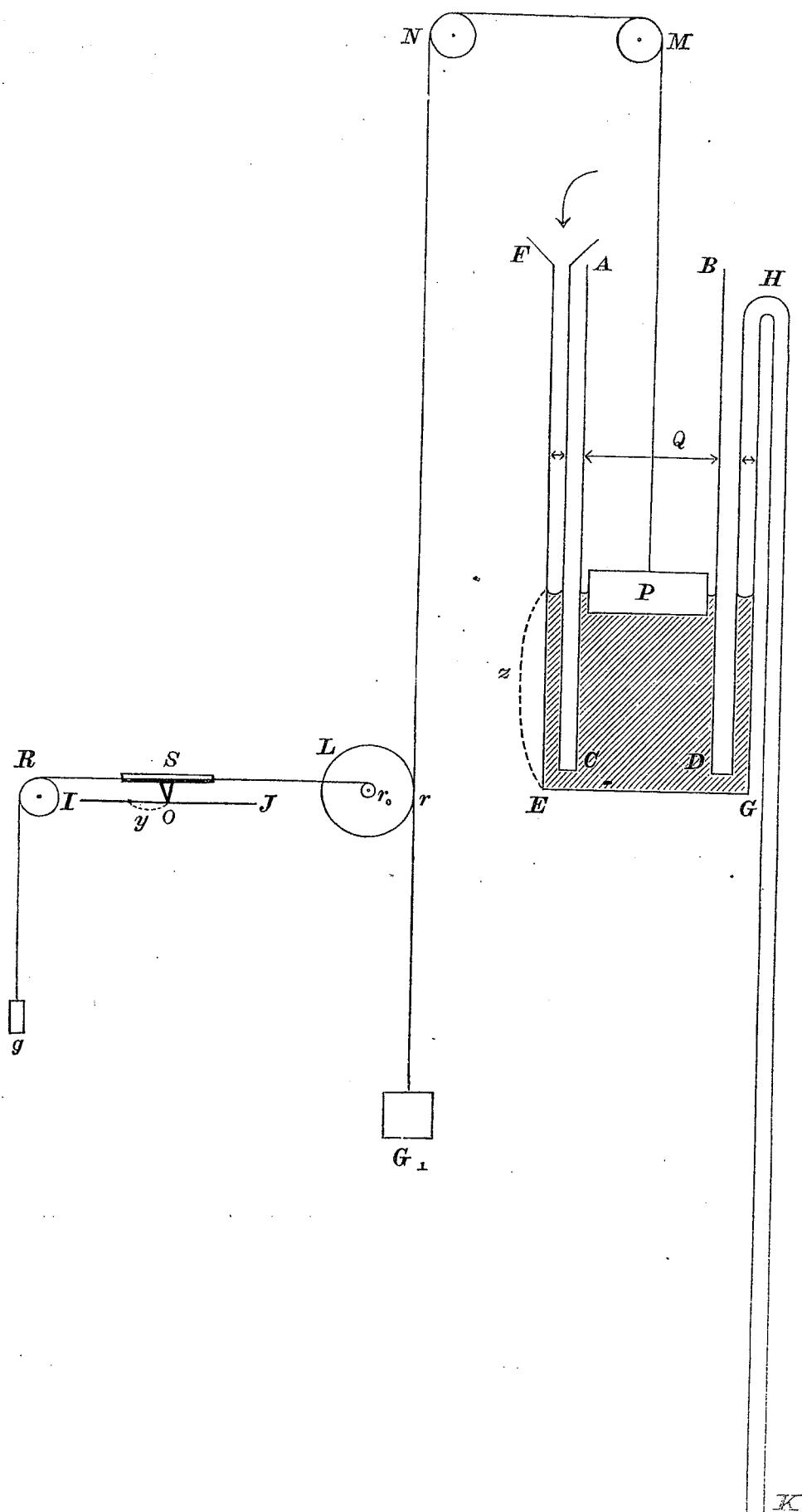
Обозначивъ сѣченіе отводной трубы черезъ *q*, а объемъ воды, вытекающей черезъ эту трубку въ элементъ времени *dt*, черезъ *dv*, будемъ имѣть слѣдующее основное соотношеніе:

$$dv = q u dt \dots \dots \dots \dots \dots \quad (1)$$

Эту воду надо направить въ измѣрительный приборъ, представленный въ схематическомъ видѣ на чертежѣ 1.

Приборъ этотъ состоить изъ небольшого латуннаго, никелированнаго цилиндра *ACDB*, соединеннаго въ нижней своей части съ двумя боковыми, вертикальными трубками *EF* и *GHK*, изъ которыхъ правая трубка стеклянная и изогнута въ видѣ сифона. Нижній конецъ *K* правой трубы долженъ быть значительно, напр. на  $1\frac{1}{2}$  или 2 метра, ниже основанія

Черт. 1.



цилиндра  $EG$ . Левая трубка оканчивается воронкой  $F$ , куда втекает вода из отводной трубки отъ источника.

Въ цилиндрѣ находится поплавокъ  $P$ , который, по мѣрѣ наполненія цилиндра водой, подымается вверхъ. Когда уровень воды достигнетъ изгиба  $H$  правой трубки, то трубка  $GHK$  начинаетъ дѣйствовать какъ сифонъ и цилиндръ быстро опоражнивается, причемъ поплавокъ  $P$  идетъ внизъ. Послѣ второго наполненія цилиндра произойдетъ вторичное его опоражненіе и т. д.

Это наполнение и послѣдующее опорожненіе совершаются чисто автоматическимъ путемъ. Чтобы лучше обеспечить сифонное дѣйствіе правой трубки, послѣдняя, въ верхней своей части у  $H$ , нѣсколько сужена.

Отъ середины поплавка  $P$  идетъ кверху тонкій шнуръ, который перекинуть черезъ шкивы  $M$  и  $N$  и огибаетъ затѣмъ шкивъ  $L$ . На концѣ этого шнура подвѣшена гиря  $G_1$ , которая служить противовѣсомъ поплавку  $P$ . На оси шкива  $L$ , радиусъ котораго равенъ  $r$ , надѣть маленький шкивъ съ радиусомъ  $r_0$ . Отношеніе радиусовъ обоихъ этихъ шкивовъ обозначимъ черезъ  $k$ :

На этот малый шкивъ намотанъ другой шнуръ, лѣвый конецъ кото-  
рого соединенъ съ регистрирующимъ механизмомъ *S*.

Послѣдній состоитъ изъ небольшой рамы  $S$ , которая можетъ перемѣщаться вправо и влѣво параллельно самой себѣ вдоль двухъ небольшихъ направляющихъ стержней (не показанныхъ на чертежѣ). Къ рамѣ  $S$  прикрепленъ съ другой стороны другой шнуръ, перекинутый черезъ шкивъ  $R$  и оттянутый внизъ гирей  $g$ .

Къ рамъ придало пишущее перо *O*, заполненное чернилами, такого же устройства, какъ у метеорологическихъ самопишушихъ приборовъ. Перо это пишетъ на узкой бумажной лентѣ *II*, движущейся перпендикулярно къ направлению движения пера. При помощи простого часового механизма лента эта сматывается съ одного валика и наматывается на другой, какъ у телеграфнаго аппарата Морзе. Другой неподвижный штифтъ (не показанный на чертежѣ) соединенъ съ хорошими контактными часами и каждую минуту даетъ отмѣтку времени.

Когда уровень воды въ цилиндрѣ подымется на величину  $dz$ , то пишущее перо подастся вправо на величину  $dy$ , причемъ, въ силу соотношенія (2),

Такимъ образомъ, при послѣдовательныхъ наполненіяхъ и опоражненіяхъ цилиндра, на бумажной лентѣ *IJ* получается запись въ видѣ ломаной линіи  $m_1 n_1 m_2 n_2 m_3 n_3 \dots$ , какъ то представлено на черт. 2.

Отрезки  $m_1 n_1$ ,  $m_2 n_2$  и т. д. соответствуют процессу наполнения цилиндра водой, а отрезки  $n_1 m_3$ ,  $n_2 m_3$  и т. д. — процессу опоражнивания.

Если наполнение и опораживание цилиндра идет достаточно быстро, то можно принять, что все эти отрезки прямые.

Посмотримъ теперь, какимъ образомъ можно вывести изъ такой записи скорость и движенія воды вверхъ по капитажной трубѣ.

Обозначимъ черезъ  $Q$  общее съченіе приемнаго цилиндра съ двумя боковыми трубками и пусть въ элементѣ времени  $dt$  уровень воды въ цилиндрѣ поднялся на величину  $dz$ .

Тогда, въ силу соотношения (1), мы будемъ имѣть

$$dv = q u dt = Q dz$$

ИДИ

$$u = \frac{Q}{a} \cdot \frac{dz}{dt},$$

или, на основании формулы (3),

$$u = k \frac{Q}{a} \cdot \frac{dy}{dt}.$$

Скорость истечения выражается обыкновенно въ сантиметрахъ въ секунду. Условившись измѣрять различныя ординаты у ломанной линіи  $m_1 n_1 m_2 n_2 \dots$  въ миллиметрахъ, мы должны въ предыдущую формулу ввести множитель  $\frac{1}{10}$ .

Итакъ, мы будемъ имѣть

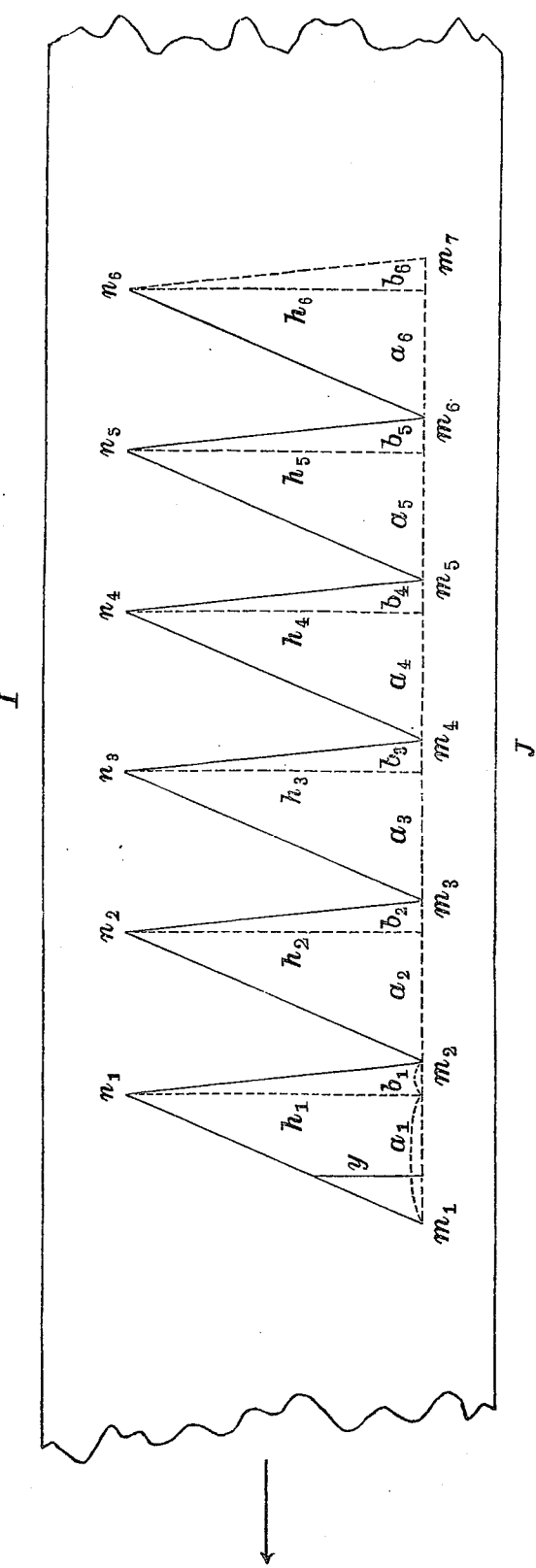
Обозначимъ черезъ  $\lambda$  число секундъ, соответствующихъ передвиженію ленты на 1 миллиметръ.

Возьмемъ далѣе какой нибудь одинъ изъ треугольниковъ, вычерченныхъ пишущимъ перомъ, напр.  $m_s n_s m_{s+1}$ , гдѣ  $s$  есть нѣкоторый порядковый номеръ, и обозначимъ разстояніе точки  $m_s$  до основанія перпендикуляра  $h_s$  черезъ  $a_s$ .

Тогда, очевидно,

$$\frac{dy}{dt} = \frac{1}{\lambda} \cdot \frac{h_s}{a_s}$$

Fig. 2.



Подставляя эту величину въ формулу (4), мы получимъ

$$v_s = 0,1 \cdot k \cdot \frac{Q}{q} \cdot \frac{1}{\lambda} \cdot \frac{h_s}{a_s}, \dots \dots \dots \dots \dots \dots \dots \quad (5)$$

гдѣ  $u_s$  есть средняя скорость дебита источника за промежутокъ времени, заключенный между  $t_s$  и  $t_{s+1}$ . Можно считать эту скорость пріуроченной къ среднему моменту  $\frac{t_s + t_{s+1}}{2}$ .

Обозначимъ далѣе разстояніе между соседними къ мѣсту измѣренія минутными марками черезъ  $l_s$ . Эта величина также должна быть выражена въ миллиметрахъ.

Тогда

$$\lambda = \frac{60}{l_s}.$$

Введемъ теперь еще такое обозначеніе

$$A = \frac{1}{600} \cdot k \cdot \frac{Q}{q}. \dots \dots \dots \dots \dots \dots \dots \quad (6)$$

$A$  есть некоторая опредѣленная, характерная постоянная прибора.

Тогда, изъ формулы (5), мы получимъ окончательно

$$u_s = A \cdot l_s \cdot \frac{h_s}{a_s} \dots \dots \dots \dots \dots \dots \dots \quad (7)$$

По этой формулѣ и можно вычислять дебитъ источника, причемъ величины  $l_s$ ,  $h_s$  и  $a_s$  снимаются непосредственно съ діаграммы записи прибора.

Для опредѣленія этихъ величинъ очень удобно пользоваться стеклянной, миллиметровой, координатной сѣткой, въ родѣ тѣхъ, которыя употребляются для вымѣренія сейсмограммъ.

Чтобы убѣдиться въ правильномъ функционированіи вышеописанного прибора, послѣдній былъ подвергнутъ въ Физической Лабораторіи Академіи Наукъ всестороннему испытанію.

Для этой цѣли къ водопроводному крану была придѣлана раздвоенная трубка, какъ то показано на черт. 3.

Оба боковыя колѣна трубки имѣли одно и то-же сѣченіе  $q$ .

Черезъ лѣвое колѣно вода вытекала въ вышеописанный измѣрительный цилиндръ, а черезъ правое въ обыкновенный стеклянныи, мѣрительныи, цилиндрическіи сосудъ, разделенный на кубические сантиметры, и

опредѣлялся объемъ вытекшой черезъ правую трубку воды за время, соотвѣтствующее 6 полнымъ наполненіямъ и опоражниваніемъ цилиндра, т.-е. за промежутокъ времени, раздѣляющій точки  $t_1$  и  $t_7$  (см. черт. 2). Вода вытекала довольно равномѣрно, а потому можно было довольно-  
Черт. 3.

вателься определеніемъ средней скo-  
ростi истечeнія  $u$ .

Обозначивъ время продолжe-  
нія опыта черезъ  $t'$ , а измѣренный  
объемъ воды, вытекшой черезъ пра-  
вое колено трубки, черезъ  $v'$ , бу-  
демъ имѣть

$$u = \frac{v'}{q t'} \dots \dots \dots (8)$$

Подставивъ эту величину, вмѣ-  
сто  $u_s$ , въ формулу (7) и опредѣливъ  
съ дiаграммы среднія за 6 полныхъ наполненій величины  $l_s$  и  $\frac{h_s}{\alpha_s}$ , можно было  
получить непосредственно изъ наблюденій величину коэффиціента  $A$  и  
сравнить затѣмъ полученное, такимъ образомъ, число, съ величиной коэф-  
фиціента  $A$ , полученной изъ непосредственного измѣренія отдельныхъ  
частей прибора. Согласie полученныхъ, такимъ образомъ, результатовъ  
даетъ хороший критерій для сужденія о томъ, насколько правильно данный  
приборъ функционируетъ.

Скорость истечeнія воды можно было регулировать при помощи  
особаго чувствительнаго крана съ дѣленіями.

Изъ многочисленныхъ полученныхъ г-омъ Веберомъ дiаграммъ, я  
ограничусь здѣсь приведеніемъ результатовъ измѣреній только двухъ дiа-  
граммъ, изъ которыхъ одна соотвѣтствуетъ большой, а другая малой  
скорости истечeнія.

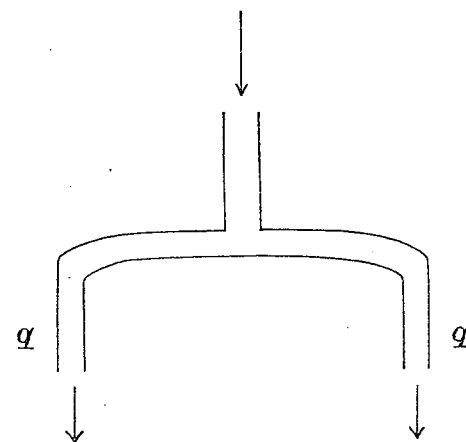
Непосредственные определенія размѣровъ измѣрительного прибора  
(см. черт. 1) дали слѣдующіе результаты.

Внутренній дiаметръ латуннаго цилиндра  $74 \text{ mm}$ ,  
дiаметръ каждой боковой трубки  $8,7 \text{ mm}$ .

Слѣдовательно,

$$Q = \frac{\pi}{4} [74^2 + 2 \times 8,7^2] \cdot \frac{1}{100} = 44,18 \text{ см.}$$

Дiamетръ приводныхъ трубокъ (см. черт. 3)  $4,1 \text{ mm}$ .



Слѣдовательно,

$$q = \frac{\pi}{4} \cdot 4,1^2 \cdot \frac{1}{100} = 0,132 \text{ см.}$$

Діаметръ большого колеса шкива  $L = 90 \text{ м/м.}$   
» малаго » » »  $9,1 \text{ м/м.}$

Слѣдовательно,

$$k = \frac{90}{9,1} = 9,89.$$

Подставляя эти величины въ формулу (6), получимъ

$$A = 5,52.$$

Такова вычисленная величина  $A$ .

Первая измѣренная діаграмма соотвѣтствовала тому случаю, когда кранъ былъ поставленъ на 4-ое дѣленіе и скорость истеченія была большая.

Въ этомъ случаѣ общее количество воды, вытекшой за время 6 полныхъ наполненій и опоражниваній цилиндра, непосредственно измѣренное при помощи мѣрительного стакана, было

$$v' = 9412 \text{ куб. сант.}$$

Результаты же измѣренія соотвѣтствующей діаграммы приведены въ слѣдующей табличкѣ (см. также черт. 2).

s	Отсчеты		a	b	h	$\frac{h}{a}$
	m	n				
1	0,0 м/м	7,7 м/м	7,7 м/м	0,5 м/м	33,1 м/м	4,30
2	8,2	15,9	7,7	0,7	33,1	4,30
3	16,6	24,0	7,4	0,5	32,8	4,43
4	24,5	32,1	7,6	0,6	33,1	4,36
5	32,7	40,2	7,5	0,6	33,1	4,41
6	40,8	48,2	7,4	(0,6)	33,1	4,47
			$\Sigma a = 45,3$	$\Sigma b = 3,5$		$\text{ср. } \frac{h}{a} = 4,38$
ср. $a = 7,55 \text{ м/м}$ , ср. $b = 0,58 \text{ м/м}$ .						

Средняя длина одной минуты  $l = 4,57 \text{ м/м.}$

Слѣдовательно, общая продолжительность опыта  $t'$  въ секундахъ опредѣлится по формулѣ

$$t' = \frac{60}{l} \cdot \Sigma(a+b) = \frac{60 \times 48,8}{4,57} = 640,7 \text{ sek.}$$

Средняя продолжительность одного наполнения

$$\tau = \frac{60}{l} \times 7,55 = 99,1 \text{ сек.}$$

#### **Средняя продолжительность одного опоражнивания**

$$\tau_1 = \frac{60}{7} \times 0,58 = 7,6 \text{ сек.}$$

Следовательно,

$$\frac{\tau_1}{\tau} = 0,077.$$

Мы видимъ, такимъ образомъ, что самоопоражненіе цилиндра про-  
исходить очень быстро.

Подставивъ найденные значения для  $q$ ,  $v'$  и  $t'$  въ Формулу (8), будемъ имѣть

$$u = \frac{9412}{0,132 \times 640,7} = 111,3 \text{ cm./ces.}$$

Объемъ же воды, соотвѣтствующій времени одного полнаго наполненія и опоражниванія цилиндра, равенъ  $\frac{9412}{6} = 1568,7$  куб. сант.

Изъ формулы (7) слѣдуетъ далѣе, что

Подставивъ найденныя значенія для  $l$ ,  $u$  и среднее значение  $\frac{h}{a}$  въ эту формулу, будемъ имѣть

$$A = \frac{111,3}{4,57 \times 4,38} = 5,56.$$

Такова наблюденная величина  $A$ . Она чрезвычайно мало отличается отъ a priori вычисленной величины  $A = 5,52$ , изъ чего можно заключить, что приборъ работаетъ вполнѣ правильно.

## Другой примѣръ.

Кранъ поставленъ на 32-ое дѣленіе (малая скорость истеченія). Общее количество вытекшей воды

$$v' = 8873 \text{ куб. сант.}$$

Изъ измѣрения соотвѣтствующей діаграммы получились слѣдующія  
данныя:

Отсчеты						
<i>s</i>	<i>m</i>	<i>n</i>	<i>a</i>	<i>b</i>	<i>h</i>	$\frac{h}{a}$
1	0,0 $\text{м}/\text{м}$	15,2 $\text{м}/\text{м}$	15,2 $\text{м}/\text{м}$	0,2 $\text{м}/\text{м}$	32,3 $\text{м}/\text{м}$	2,13
2	15,4	30,8	15,4	0,4	32,3	2,10
3	31,2	46,5	15,3	0,5	32,3	2,11
4	47,0	61,6	14,6	0,6	32,3	2,21
5	62,2	76,9	14,7	0,6	32,3	2,20
6	77,5	92,0	14,5	0,6	32,3	2,23
7	92,6					
$\Sigma a = 89,7$			$\Sigma b = 2,9$			$\text{ср. } \frac{h}{a} = 2,16$
ср. $a = 14,95$ ,			ср. $b = 0,48$ .			

Средняя длина одной минуты  $l = 4,66 \text{ м}/\text{м}$ .

Общая продолжительность опыта

$$t' = \frac{60}{l} \cdot \Sigma(a + b) = \frac{60 \times 92,6}{4,66} = 1192,3 \text{ сек.}$$

Средняя продолжительность одного наполненія

$$\tau = \frac{60}{l} \times 14,95 = 192,5 \text{ сек.}$$

Средняя продолжительность одного опоражниванія

$$\tau_1 = \frac{60}{l} \times 0,48 = 6,2 \text{ сек.}$$

Слѣдовательно,

$$\frac{\tau_1}{\tau} = 0,032.$$

Средняя скорость истеченія будетъ

$$u = \frac{8873}{0,132 \times 1192,3} = 56,4 \text{ см.}/\text{сек.}$$

Объемъ воды, соотвѣтствующій времени одного полнаго наполненія и  
опоражниванія, равенъ  $\frac{8873}{6} = 1478,8$  куб. сант.

Наблюденная величина коефиціента  $A$  будетъ (см. формулу (9))

$$A = \frac{56,4}{4,66 \times 2,16} = 5,60.$$

Это число мало отличается отъ предыдущаго.

Итакъ, въ предѣлахъ возможныхъ ошибокъ наблюдений и измѣреній, можно считать вычисленную и наблюденную величину коефиціента  $A$  практически одинаковой.

Предыдущія числа показываютъ намъ, что во второмъ случаѣ, при меньшей скорости истеченія, опоражниваніе цилиндра идетъ быстрѣе (меньшая величина  $\tau_1$ ), что понятно и само собою, такъ какъ въ этомъ случаѣ, за время опоражниванія, притекаетъ вновь меньше воды въ цилиндръ.

Опыты г-на Вебера показали, такимъ образомъ, что вышеописанный приборъ для определенія дебита работаетъ вполнѣ правильно и хорошо самоопоражнивается при очень широкихъ предѣлахъ для скорости истеченія  $u$ .

При болѣе значительныхъ величинахъ  $u$ , когда вода въ цилиндрѣ подымается слишкомъ быстро, наступаетъ такой моментъ, когда сифонъ перестаетъ дѣйствовать какъ таковой, и быстрое самоопоражниваніе болѣе не происходитъ, а вода просто вытекаетъ непрерывно черезъ сифонную трубку.

То-же самое можетъ произойти и при очень малой скорости истеченія  $u$ . Можно, однако, всегда подобрать сѣченіе цилиндра  $Q$  и сѣченіе  $q$  отводной трубы отъ источника такъ, чтобы данный измѣрительный приборъ работалъ всегда правильно въ предѣлахъ возможныхъ колебаній дебита данного источника.

Вышеописанный приборъ предполагается установить въ ближайшемъ будущемъ на Екатерининскомъ источникѣ въ Боржомѣ.

#### Приборъ для автоматического регистраціи температуры источника.

Для непрерывной регистраціи температуры источника можно съ успѣхомъ воспользоваться такъ называемымъ электрическимъ термографомъ. Эти приборы изготавляются фирмой Hartmann und Braun въ Франк-Фуртѣ на Майнѣ; они очень хорошо сконструированы и чрезвычайно удобны, когда требуется производить определеніе температуры на разстоянії. Одинъ экземпляръ такого электрическаго термографа былъ приобрѣтенъ Физической Лабораторіей Академіи Наукъ и подвергнутъ всестороннему испытанию.

Принципъ дѣйствія этого прибора заключается въ слѣдующемъ.

Термометрическимъ тѣломъ служить проволока, заключенная въ плоской металлической оправѣ. Всякое измѣненіе температуры вызываетъ измѣненіе сопротивленія этой проволоки, которое непосредственно и измѣряется. Такимъ образомъ, этому прибору легко можно придать любую степень чувствительности.

Отъ термометрическаго тѣла идутъ два провода съ сравнительно большимъ съченіемъ и ничтожнымъ сопротивленіемъ къ измѣрительному прибору, который можетъ быть установленъ въ значительномъ разстояніи отъ того мѣста, где опредѣляется температура.

Этотъ измѣрительный приборъ очень компактенъ и заключенъ въ особомъ ящицѣ, который просто ставится на столъ. Приборъ этотъ основанъ на принципѣ обыкновенного омметра; такимъ образомъ, показанія его до известной степени независимы отъ величины вводимой электродвижущей силы, которую слѣдуетъ всетаки брать приблизительно равной 2-мъ вольтамъ. Особая стрѣлка перемѣщается вдоль дугообразной горизонтальной шкалы, разделенной уже на градусы температуры, такъ что въ любой моментъ можно прямо отсчитать температуру на разстоянії.

Для автоматической регистрации температуры существуетъ слѣдующее приспособленіе.

Къ стрѣлкѣ приделанъ тонкій, вертикальный, серебряный штифтъ, подъ которымъ, при посредствѣ особаго часового механизма, протягивается бѣлая, бумажная лента, также разделенная на градусы.

Каждыя  $\frac{3}{4}$  минуты, при помощи особаго электромагнита, этотъ штифтъ притягивается къ бумагѣ и оставляетъ на ней небольшой слѣдъ, который вполнѣ отчетливо виденъ. Такъ какъ перемѣщеніе бумажной ленты идетъ сравнительно медленно, въ одну минуту на са.  $\frac{1}{4}$  миллиметра, то на бумажной лентѣ получается тонкая пунктирная линія, наглядно иллюстрирующая ходъ температуры за истекшія сутки.

Въ этомъ приборѣ существуетъ иногда между показаніями стрѣлки на шкалѣ и штифта на бумагѣ небольшой параллаксъ, величину которого всегда легко опредѣлить заранѣе.

Приборъ градуируется фирмой для определенной длины соединительного провода, длину котораго надо сообщить заранѣе. Однако, можно и при градуированіи уже приборѣ удлинить соединительную проволоку, но тогда надо уже самому опредѣлить поправку прибора, по сравненію съ показаніемъ вывѣренного ртутнаго термометра.

Эта поправка можетъ иѣсколько зависѣть отъ абсолютной величины измѣренной температуры, но въ этомъ случаѣ легко составить небольшую

табличку поправокъ, которая и слѣдуетъ учитывать при обработкѣ записи прибора.

Шкала и бумажная лента раздѣлены на цѣлые градусы, такъ что интерполированіемъ легко получить десятия доли градуса.

Приборы эти строятся обыкновенно для значительного интервала температуры, напр., въ экземпляре Академіи Наукъ отъ  $-30^{\circ}$  до  $+50^{\circ}$  С., но Фирма по желанію можетъ изготовить приборъ для узкаго температурнаго интервала, и тогда можно придать прибору гораздо большую чувствительность, допускающую опредѣленіе температуры съ точностью чуть не до  $0,01^{\circ}$  С.

Для опредѣленія температуры источника, на извѣстной глубинѣ слѣдуетъ взять за исходную температуру среднюю температуру источника на этой глубинѣ. Въ большинствѣ случаевъ достаточно будетъ взять отъ этой температуры по  $4^{\circ}$  въ обѣ стороны, такъ что общее протяженіе шкалы будетъ обнимать всего только  $8^{\circ}$ . Обыкновенно на глубинѣ, при нормальныхъ условіяхъ, температура источника не подвержена значительнымъ колебаніямъ, но, если такое явленіе имѣло бы мѣсто, то слѣдовало бы только соотвѣтственно раздвинуть предѣлы шкалы.

Испытанія, произведенныя съ этимъ приборомъ, наглядно показали всѣ его прекрасныя качества.

Благодаря малой массѣ термометрическаго тѣла, онъ обладаетъ очень малой термической инерціей и быстро воспринимаетъ температуру окружающей среды. Сравненіе его съ показаніями ртутнаго термометра, выставленнаго за окномъ, дали, напр., такие результаты:

Время.	Ртутный термометръ.	Шкала термографа.
12 ч.	$21,5^{\circ}$ С.	$21,5^{\circ}$ С.
$1\frac{1}{2}$	21,6	21,6
2	21,7	21,7
3	21,9	21,9

Какъ видно, приборъ этотъ даетъ совершенно вѣрныя показанія.

Въ настоящее время приборъ этотъ установленъ въ метеорологической будкѣ при Пулковской центральной сейсмической станції. Регистраторная часть установлена въ лабораторіи при жиломъ домѣ въ разстояніи 44 метровъ отъ самой метеорологической будки. Приборъ этотъ работаетъ вполнѣ исправно и представляетъ собою въ высшей степени удобный типъ термографа, такъ какъ отсчитываніе наружной температуры производится изъ помѣщенія самой лабораторіи.

Такіе электрическіе термографы могли бы съ успѣхомъ примѣняться и для опредѣленія колебаній температуры почвы на разныхъ глубинахъ.

Для специальной цѣли изслѣдованія колебаній температуры Екатерининского источника въ Боржомъ, предполагается заказать болѣе чувствительный термографъ съ меньшимъ интерваломъ температурной шкалы.

**Приборъ для опредѣленія давленія водяного столба въ источникѣ.**

Для опредѣленія періодическихъ измѣненій давленія опредѣленного столба воды въ источникѣ, что и характеризуетъ самое явленіе пульсациіи, можно воспользоваться приборомъ, показанномъ въ схематическомъ видѣ на черт. 4.

Отъ кантажной трубы *K*, на достаточной глубинѣ, берется отводная трубка *L*, которая, при помощи резиновой пробки, соединяется съ лѣвымъ горльшкомъ стеклянной склянки *F*. Эта трубка должна имѣть наклонъ книзу, чтобы различные газовые пузырьки могли бы свободно подниматься въ кантажную трубу, а не попадали бы въ самую склянку.

Въ среднее, болѣе широкое горльшко склянки *F* вставляется, также при помощи резиновой пробки, стеклянная трубка *MN*, въ которой протянуты, въ разстояніи около  $5\text{ mm}$  другъ отъ друга, двѣ никелевые проволоки. Эти проволоки оканчиваются наверху у двухъ зажимовъ *A* и *B*, прикрепленныхъ къ эbonитовому колпачку, прикрывающему, но отнюдь не герметически, сверху стеклянную трубку *MN*. Внизу около *C* и *D* каждая проволока соединена съ небольшой спиральной пружиной; такимъ образомъ, проволоки находятся всегда въ натянутомъ положеніи.

Въ правое горльшко склянки *F* вставлена стеклянная трубка *E* съ краномъ *H*.

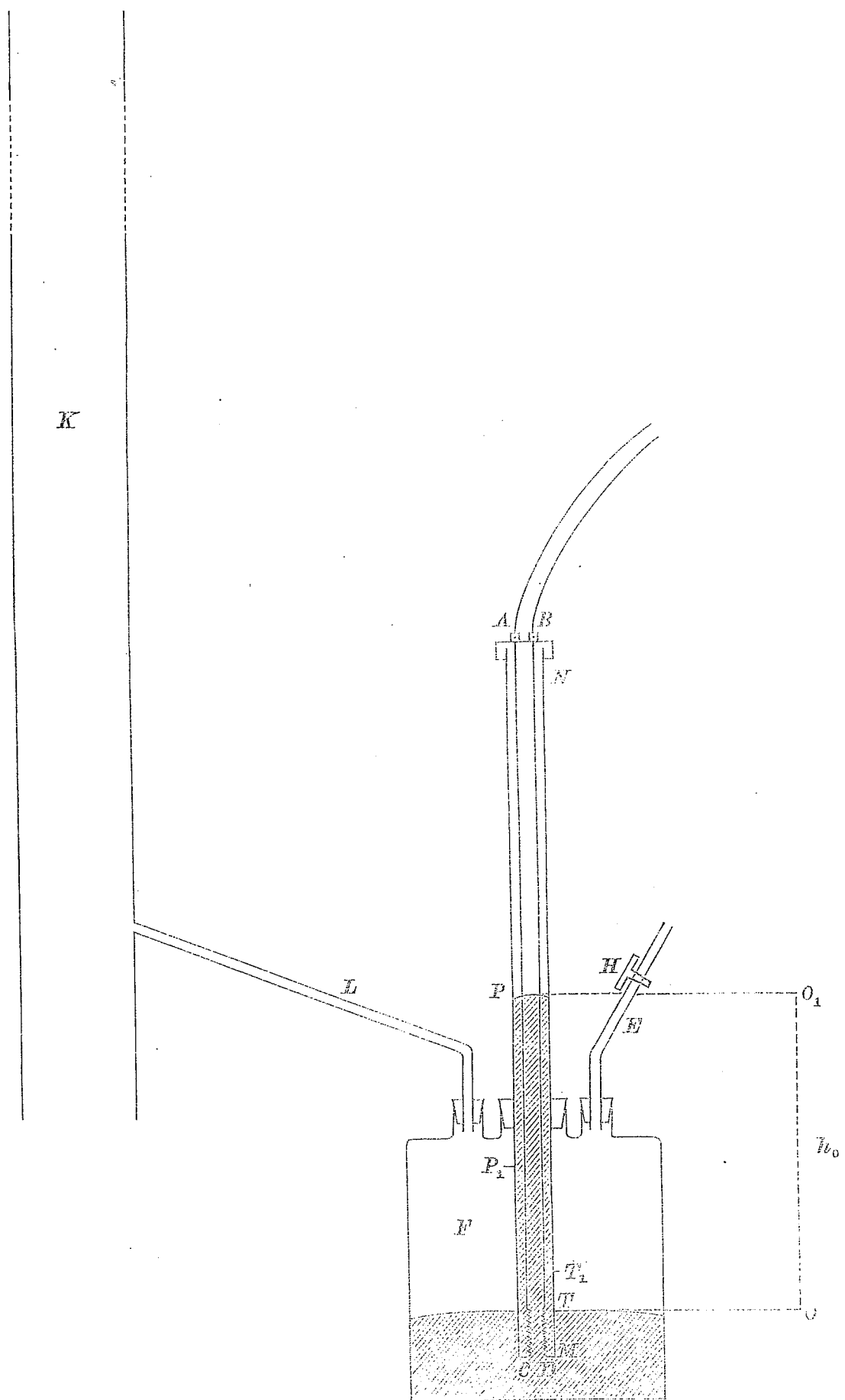
На дно склянки *F* наливается въ достаточномъ количествѣ чистая ртуть.

При соединеніи склянки съ кантажной трубой все свободное пространство надъ уровнемъ ртути въ *F* заполняется водой. При наполненіи склянки кранъ *H* открываютъ для того, чтобы выпустить изъ прибора весь воздухъ и постороннія частицы газа, послѣ чего кранъ *H* закрываютъ.

Давленіемъ столба воды ртуть вгонится во внутреннюю трубку *MN* до опредѣленного уровня *P*, соответствующаго нормальному давленію воды въ кантажной трубѣ.

Для правильныхъ наблюденій надъ пульсацией источника, надо чтобы источникъ имѣлъ-бы въ своей верхней части свободный сливъ, какъ то имѣеться, напр., мѣсто въ Екатерининскомъ источнике въ Боржомъ. Тогда

Черт. 4.



верхній уровень воды въ каптажной трубѣ будеть имѣть всегда вполнѣ определенное и неизмѣнное положеніе.

Тогда разность  $h_0$  уровней ртути  $P$  и  $T$ , въ узкой трубкѣ и въ склянкѣ  $F$ , дастъ намъ давленіе  $p_0$  столба воды отъ верхняго срѣза каптажной трубы до некотораго определеннаго уровня  $TO$ , приимаемаго нами за нормальный. Само собою разумѣется, что величину  $h_0$  надо приводить всегда къ нулю градусовъ Цельзія.

Въ дальнѣйшемъ мы будемъ предполагать, что эти приведенія всегда сдѣланы.

Тогда

$$p_0 = h_0 \dots \dots \dots \dots \dots \dots \dots \quad (10)$$

Для избѣжанія того, чтобы, отъ повышенаго давленія въ склянкѣ, пробки не были-бы выдавлены наружу, на послѣднія можно надѣть пленку съ тремя отверстіями и скрѣпить ее затѣмъ съ самой склянкой.

Длину трубки  $L$  регулируютъ по желанію, чтобы можно было установить весь приборъ въ удобномъ для наблюденій мѣстѣ.

Благодаря тому, что эbonитовый колпачекъ не прикрывается вполнѣ плотно трубку  $MN$ , надъ ртутью около  $P$  устанавливается всегда наружное атмосферное давленіе. При желаніи можно черезъ этотъ колпачекъ просверлить небольшое отверстіе.

Въ описанномъ приборѣ измѣреніе колебаній давленія воды въ источнике основано на измѣреніи суммы сопротивлений никелевыхъ проволокъ отъ зажимовъ  $A$  и  $B$  до уровня ртути  $P$ .

Для этой цѣли можно воспользоваться обыкновеннымъ мостикомъ Wheatstone'a съ чувствительнымъ анероидическимъ гальванометромъ системы Deprez-d'Arsonval'я.

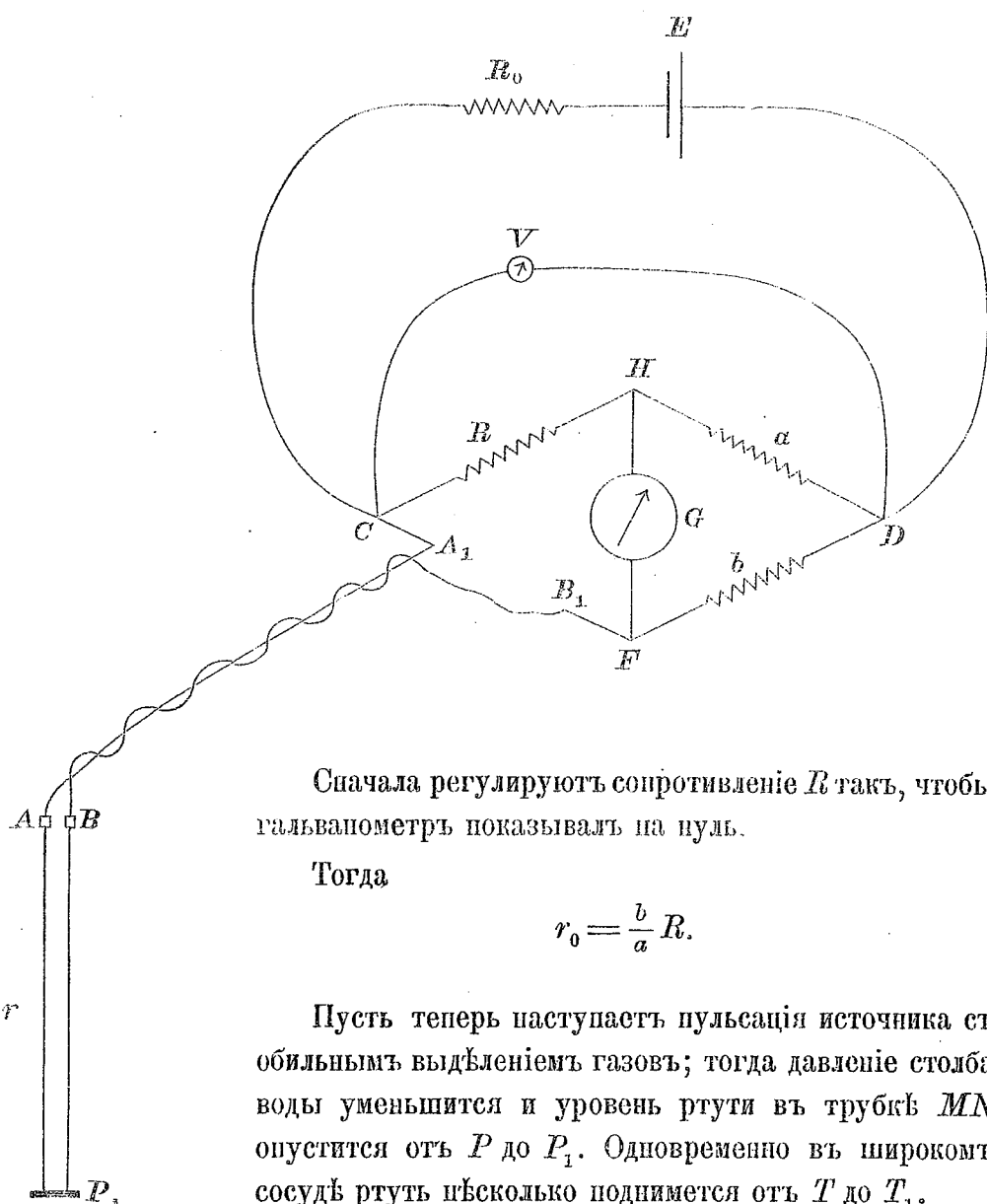
Отъ  $A$  и  $B$  идутъ къ мостику двѣ толстыя, гибкія проволоки, тщательно перекрученныя одна на другую для избѣжанія всякихъ постороннихъ индукціонныхъ вліяній.

Схема измѣрительной части прибора представлена на слѣдующемъ черт. 5.

$a$  и  $b$  суть сопротивленія двухъ плечъ мостика; ихъ можно взять и равными между собою;  $R$  перемѣнное сопротивленіе отъ какого-нибудь реостата;  $G$  чувствительный гальванометръ;  $R_0$  добавочное большое сопротивленіе для ослабленія и регулированія силы тока въ вѣтвяхъ мостика, а  $E$  какой-нибудь элементъ, напр., элементъ Даїеля.

Сопротивленіе никелевыхъ проволокъ  $APB$ , при нормальному давленіи въ источнике, пусть будетъ  $r_0$ . Это сопротивленіе вводится въ четвертую вѣтвь мостика между  $A_1$  и  $B_1$ .

Черт. 5.



Сначала регулируют сопротивление  $R$  такъ, чтобы гальванометръ показывалъ на нуль.

Тогда

$$r_0 = \frac{b}{a} R.$$

Пусть теперь наступаетъ пульсациія источника съ обильнымъ выдѣленіемъ газовъ; тогда давлениe столба воды уменьшится и уровень ртути въ трубкѣ  $MN$  опустится отъ  $P$  до  $P_1$ . Одновременно въ широкомъ сосудѣ ртуть нѣсколько поднимется отъ  $T$  до  $T_1$ .

Обозначимъ черезъ  $s$  понижение ртути въ узкой трубкѣ:

$$PP_1 = s.$$

Если  $q$  есть внутреннее сѣченіе трубки  $MN$ , а  $Q$  величина поверхности ртути въ склянкѣ  $F$ , то въ послѣдней ртуть при этомъ поднимется на величину

$$s_1 = \frac{q}{Q} \cdot s.$$

Такимъ образомъ, новое давлениe столба воды отъ верхняго срѣза

каптажной трубы до уровня  $T_1$  будеть

$$h_0 - (s + s_1) = h_0 - s \left( 1 + \frac{q}{Q} \right).$$

Но, такъ какъ мы должны всегда пріурочивать давлениe въ источникъ къ определенному столбу воды, а именно отъ верхняго срѣза каптажной трубы до нормального уровня  $TO$ , то къ предыдущему выражению надо еще присоединить небольшую поправку  $s_1 \cdot \frac{1}{13,6}$ .

Такимъ образомъ, новое давлениe  $p$  тогодиже столба воды представится въ слѣдующемъ видѣ:

$$p = h_0 - s \left( 1 + \frac{q}{Q} \right) + s \frac{q}{Q} \cdot \frac{1}{13,6}$$

или, въ силу соотношенія (10),

$$p = p_0 - s \left\{ 1 + \frac{q}{Q} \left( 1 - \frac{1}{13,6} \right) \right\}. \dots \dots \dots \dots \quad (11)$$

Обозначивъ черезъ  $\rho$  сопротивленіе единицы длины ( $1^m/m$ ) никелевой проволоки, легко видѣть, что новое сопротивленіе этихъ проволокъ будетъ

$$r = r_0 + 2s\rho. \dots \dots \dots \dots \quad (12)$$

Когда  $r = r_0$ , гальванометръ по предположенію показываетъ на нуль. Оставляя сопротивленіе  $R$  въ мостикѣ неизмѣннымъ, гальванометръ отклонится теперь на нѣкоторый уголъ  $\theta$ , который можно всегда измѣрить по трубѣ со шкалой.

Слѣдовательно, мы можемъ положить

$$r - r_0 = k\theta, \dots \dots \dots \dots \quad (13)$$

гдѣ  $k$  есть нѣкоторый множитель пропорциональности, который можетъ быть всегда легко опредѣленъ изъ опыта.

Изъ соотношеній (12) и (13) слѣдуетъ, что

$$s = \frac{r - r_0}{2\rho} = \frac{1}{2} \frac{k}{\rho} \theta.$$

Подставляя эту величину въ формулу (11), будемъ имѣть

$$p = p_0 - \frac{1}{2} \frac{k}{\rho} \left\{ 1 + \frac{q}{Q} \left( 1 - \frac{1}{13,6} \right) \right\} \cdot 0. \dots \dots \dots \dots \quad (14)$$

Для непрерывной регистрации измѣненій давленія въ источнике можно воспользоваться обыкновеннымъ оптическимъ методомъ регистрации, какъ при регистрации движенія сейсмографовъ.

Свѣтовой лучъ отъ источника свѣта, въ видѣ узкой свѣтлой щели, падаетъ на зеркальце гальванометра и, отражаясь отъ него, падаетъ нормально на поверхность цилиндра регистрирнаго аппарата, обтянутаго свѣточувствительной фотографической бумагой. Чечевица, съ подходящимъ фокуснымъ разстояніемъ, поставленная передъ зеркальцемъ гальванометра, до паденія на него свѣтовыхъ лучей, концентрируетъ лучи на поверхности регистрирнаго вала.

Другая, горизонтальная, короткофокусная, цилиндрическая чечевица, поставленная передъ самымъ регистрирнымъ валомъ, собираетъ всѣ лучи въ одну свѣтовую точку.

Обозначивъ черезъ  $A$  разстояніе зеркальца гальванометра до поверхности регистрирнаго вала (въ направлениі нормально падающаго луча), а черезъ  $y$  уклоненіе свѣтовой точки на барабанѣ отъ положенія равновѣсія, соответствующее углу  $\theta$  поворота гальванометра, будемъ имѣть

$$\theta = \frac{y}{2A}.$$

Подставивъ эту величину въ формулу (14) и обозначивъ постоянный коефиціентъ передъ  $y$  одной буквой  $\Gamma$ :

$$\Gamma = \frac{1}{4} \cdot \frac{1}{A} \cdot \frac{k}{\rho} \left[ 1 + \frac{q}{Q} \left\{ 1 - \frac{1}{13,6} \right\} \right], \dots \dots \dots \quad (15)$$

мы получимъ, окончательно,

$$p = p_0 - \Gamma \cdot y. \dots \dots \dots \quad (16)$$

Такимъ образомъ, зависимость между  $p - p_0$  и  $y$  будетъ простая, линейная.

Численное значеніе коефиціента  $\Gamma$  легко получить прямо изъ опыта, отдѣливъ трубку  $L$  (см. черт. 4) отъ кантажной трубы и производя на поверхность ртути въ склянкѣ  $F$  опредѣленное давленіе, измѣряемое манометромъ.

Регистрирную часть прибора для измѣренія давленія можно установить въ любомъ разстояніи отъ источника, но неизменно въ темномъ помѣщеніи, имѣя въ виду фотографическую регистрацію.

Отмѣтки времени на регистрирующемъ валѣ достигаются проще всего при помощи маленькой ширмочки съ электромагнитомъ, соединеннымъ съ хорошими контактными часами. Каждую минуту замыкается контактъ и ширмочка притягивается электромагнитомъ и перехватывается, въ теченіе одной или двухъ секундъ, свѣтовой пучекъ лучей.

Сопротивленія проволокъ  $a$ ,  $b$  и  $R$ , входящихъ въ составъ мостика, дѣлаются изъ проволоки съ нулевымъ температурнымъ коэффиціентомъ, а потому о постоянствѣ температуры въ помѣщеніи, где установлена регистрирующая часть прибора, особенно заботиться не приходится.

Другое дѣло съ никелевыми проволоками.

Ихъ сопротивленіе зависитъ нѣсколько отъ температуры, но эту, весьма незначительную поправку на температуру легко всегда учесть.

Полезно также закрыть всю склянку  $F$  и трубку  $MN$  ватой, для предохраненія єя, по возможности, отъ быстрыхъ температурныхъ колебаній.

Постоянная  $\Gamma$ , входящая въ формулу (16), остается постоянной, поскольку остается неизмѣнной электродвижущая сила элемента  $E$  (см. черт. 5).

Хотя сила тока въ мостикѣ и очень незначительная, но съ теченіемъ времени элементъ можетъ всетаки нѣсколько ослабнуть, вслѣдствіе чего постоянная  $\Gamma$  нѣсколько измѣнится.

Чтобы контролировать работу элемента, между вершинами  $C$  и  $D$  мостика Wheatstone'a вводится небольшой чувствительный вольтметръ  $V$ . Если элементъ ослабнетъ, то, уменьшая сопротивленіе  $R_0$ , можно легко восстановить начальную разность потенціаловъ между точками  $C$  и  $D$ .

Сопротивленіемъ  $R_0$  можно также пользоваться для регулированія чувствительности записи. Чѣмъ меньше  $R_0$ , тѣмъ сильнѣе будетъ токъ въ мостикѣ, и, слѣдовательно, тѣмъ меньше будетъ  $k$  и  $\Gamma$ , то есть, тѣмъ чувствительнѣе будетъ запись.

При подобныхъ изслѣдованіяхъ, небольшія, медленныя, возможныя колебанія въ величинѣ коэффиціента  $\Gamma$  не имѣютъ большого практическаго значенія, такъ какъ важно знать, не столько абсолютную величину давленія столба воды въ источнике, сколько периодически повторяющіяся, черезъ опредѣленные промежутки времени, измѣненія этого давленія, которыя и характеризуютъ собою пульсацию источника, а именно промежутокъ времени между двумя послѣдующими пульсациями.

Вышеописанный приборъ былъ также подвергнутъ г.-омъ Веберомъ всестороннему испытанію въ Физической Лабораторіи Академіи Наукъ.

Для этой цѣли соединительная трубка  $L$  (см. черт. 4) была соединена

съ трубкой въ формѣ буквы *U*, въ которую была налита ртуть, а въ одно соединительное колѣно и вода. Приливая и выливая ртуть изъ этой трубы, можно было измѣнять давленіе на поверхность ртути въ склянкѣ *F*.

Это измѣненіе доходило до  $265 \text{ mm}$  ртутнаго столба.

Отсчеты различныхъ уровней воды и ртути дѣлались при помощи катетометра.

Такимъ образомъ, въ любой моментъ можно было знать давленіе въ приборѣ и соответствующее отклоненіе гальванометра.

Опыты г-на Вебера показали, что зависимость между измѣненіями давленія и отклоненіями гальванометра строго линейная, причемъ, при применении никелевыхъ проволокъ, сопротивление тотчасъ-же принимаетъ свою окончательную величину и не наблюдается никакого послѣдствія, какъ, напр., у стальныхъ проволокъ. Всякое внезапное измѣненіе давленія также тотчасъ-же регистрируется приборомъ.

Отклоненія гальванометра наблюдались и визуально, при помощи трубы со шкалой, и записывались, при другой серии опытовъ, на регистрирующемъ валѣ. Въ послѣднемъ случаѣ отклоненіе свѣтовой точки на  $1,15 \text{ mm}$  соответствовало измѣненію давленія на  $1 \text{ mm}$  ртутнаго столба.

Измѣня-балластное сопротивленіе  $R_0$ , можно, конечно, легко установить приборъ по желанію на большую или меньшую чувствительность.

Такимъ образомъ, не подлежитъ никакому сомнѣнію, что вышеописанный приборъ работаетъ вполнѣ правильно и можетъ съ успѣхомъ служить для изслѣдованія пульсаций итермитирующихъ источниковъ.

Въ заключеніе можно указать на то, что было бы вполнѣ цѣлесообразно, вместо того, чтобы опредѣлять измѣненія сопротивленія никелевыхъ проволокъ при помощи мостика Wheatstone'a, воспользоваться особымъ приборомъ, основанномъ на принципѣ омметра, совершение такого-же устройства, какъ ранѣе описанный электрическій термографъ. Такой приборъ могъ-быть изготовленъ фирмой Hartmann und Braun въ Франкфуртѣ по специальному заказу и прямо уже градуированъ въ миллиметрахъ давленія, при условіи заданія соответствующихъ величинъ сопротивленія проволокъ. Можно довольствоваться и произвольной шкалой, но тогда нужно уже самому прокалибровать приборъ.

Примѣненіе такого автоматически регистрирующаго омметра представило бы ту весьма значительную выгоду, что тогда можно было бы совершенно избѣжать дорогостоящей фотографической регистраціи, чѣмъ значительно сократились бы текущіе расходы на наблюденія.

Къ тому-же и обращеніе съ приборомъ много выиграло бы въ простотѣ и удобствѣ.

Мы видимъ, такимъ образомъ, что лабораторныя испытанія, произведенные съ тремя вышеописанными приборами, предназначенными для различныхъ наблюденій надъ пульсирующими источниками, показали, что всѣ они вполнѣ удовлетворяютъ своему назначенію.

Въ ближайшемъ будущемъ предположено приступить съ ними къ систематическимъ изслѣдованіямъ надъ Екатерининскимъ источникомъ въ Боржомъ.



# О приведенной длине горизонтального маятника съ Цельнеровскимъ подвѣсомъ.

Кн. Б. Б. Голицынъ.

При обработкѣ сейсмограммъ, полученныхъ съ горизонтальнымъ маятникомъ, въ цѣляхъ получения абсолютныхъ элементовъ движенія почвы, а еще въ большей степени при изслѣдованіяхъ надъ деформаціями земли подъ вліяніемъ лунно-солнечнаго притяженія, необходимо знать точную величину такъ называемой приведенной длины маятника  $l$ .

Обозначимъ черезъ  $m$  какую-нибудь массу, находящуюся въ разстояніи  $r$  отъ оси вращенія маятника; тогда подъ приведенной длиной маятника понимается слѣдующее выраженіе:

$$l = \frac{\sum mr^2}{\sum mr}, \dots \dots \dots \dots \dots \dots \quad (1)$$

гдѣ суммированіе должно быть распространено на всѣ подвижныя массы маятника.

Въ своей статьѣ «Ueber ein neues aperiodisches Horizontalpendel mit galvanometrischer Fernregistrierung»<sup>1)</sup> въ § 4 я указалъ на простой способъ, могущій служить для опредѣленія изъ наблюденій искомой величины  $l$ .

Этотъ способъ уже вошелъ въ практику сейсмометрическихъ наблюдений на тѣхъ русскихъ и заграничныхъ сейсмическихъ станціяхъ, гдѣ установлены аперіодические, горизонтальные маятники Пулковскаго образца. Этимъ способомъ пользовался и А. Я. Орловъ при своихъ изслѣдованіяхъ надъ деформаціями земли подъ вліяніемъ притяженія луны, причемъ онъ нашелъ этотъ способъ на практикѣ очень удобнымъ<sup>2).</sup>

---

<sup>1)</sup> Извѣстія Постоянной Центральной Сейсмической Комиссіи. Т. IV. Вып. 1.

<sup>2)</sup> См. Извѣстія Постоянной Центральной Сейсмической Комиссіи. Т. III. Вып. 3, стр. 101—104.

Сущность этого метода определения  $l$  заключается въ слѣдующемъ.

Обозначимъ черезъ  $T'$  собственный periodъ колебаній маятника при наличіи затуханія, черезъ  $\Lambda$  соответствующій логарифмическій декрементъ, т.-е. обыкновенный (Бригговій) логарифмъ отношенія абсолютныхъ величинъ двухъ послѣдующихъ максимальныхъ отклоненій маятника отъ положенія равновѣсія, черезъ  $i$  уголъ, составляемый осью вращенія маятника съ вертикальной линіей, а черезъ  $g$  ускореніе силы тяжести въ мѣстѣ наблюденій.

Тогда, какъ извѣстно изъ теоріи горизонтального маятника, будуть имѣть мѣсто слѣдующія два соотношенія:

$$n = \frac{2\pi}{T'} \cdot \sqrt{1 + 0,53720\Lambda^2} \dots \dots \dots \quad (2)$$

и

$$n^2 = \frac{g}{l} \cdot i \dots \dots \dots \quad (3)$$

Прикрѣпивъ къ горизонтальному маятнику, около его оси вращенія, небольшое плоское зеркальце, можно всегда, при помощи трубы съ горизонтальной шкалой и хорошаго, вывѣреннаго секундомѣра, определить изъ наблюденій соответствующія величины  $T'$  и  $\Lambda$ , а, слѣдовательно, и  $n$ .

Чтобы получить изъ формулы (3) искомую величину приведенной длины маятника  $l$ , надо еще знать уголъ наклона оси вращенія  $i$ .

Самый уголъ  $i$  нельзя непосредственно измѣрить, но *изменение* его  $\Delta i$  можно определить съ большой точностью, пользуясь обычнымъ зеркальнымъ способомъ измѣренія малыхъ угловъ.

При этомъ, чѣмъ больше уголъ  $i$ , тѣмъ короче будетъ собственный periodъ колебаній маятника.

Для этой цѣли къ штативу прибора, внизу, прикрѣпляется неподвижное плоское зеркальце, нормаль къ которому находится въ плоскости, проходящей черезъ ось вращенія и вертикальную линію. Противъ этого зеркальца, въ разстояніи  $D$ , которое выбираютъ равнымъ 5—7 метрамъ, ставится другая труба съ большимъ увеличеніемъ, имѣющая горизонтальную нить, и *вертикальная* шкала.

Установимъ теперь маятникъ, поворачиваніемъ соответствующаго винта у штатива прибора, на длинный periodъ въ 30—35 секундъ.

Соответствующій этому periodу уголъ наклона оси обозначимъ черезъ  $i_0$ , величину  $n$  черезъ  $n_0$ , и пусть въ этомъ случаѣ отсчетъ на вертикальной шкалѣ будетъ  $h_0$ . Это будетъ исходное положеніе прибора.

Послѣ этого, дѣйствуя тѣмъ же винтомъ у штатива прибора, увеличиваютъ  $i_0$  на величину  $\Delta_1 i$ ; соответствующій отсчетъ на вертикальной шкалѣ пусть будетъ  $h_1$ .

Тогда

При этомъ новомъ положеніи прибора опредѣляютъ вновь періодъ и декрементъ и выводятъ соответствующую величину постоянной  $n$ , которую мы въ этомъ случаѣ обозначимъ черезъ  $n_1$ .

Тогда, на основании уравнения (3), мы будем иметь следующие два уравнения:

И

Исключив изъ нихъ  $i_0$  и, зная величины  $n_0$ ,  $n_1$  и  $\Delta_1 i$ , опредѣлимъ легко и искомую величину  $l$ .

Если до производства наблюдений значительно ослабить затухание прибора, раздвинув магниты и замкнув их полюсы железными пластинками, то влияние остаточного затухания на период маятника будет уже совершенно ничтожно, и может сказаться разве только при длинных периодах.

На практикѣ, однако, не ограничиваются однимъ только определеніемъ  $\Delta_1 i$ , а производятъ цѣлый рядъ измѣненій наклоновъ, опредѣляя каждый разъ соответствующую величину  $n$ .

Тогда мы получимъ цѣлую группу линейныхъ уравненій, изъ которыхъ легко можемъ определить искомую величину  $l$  по способу наименьшихъ квадратовъ.

Введемъ для этого такія обозначенія:

$$x = i_0$$

$$y = \frac{l}{g}.$$

Если мы с разъ измѣняли наклонъ прибора, переходя все къ меньшимъ и меньшимъ періодамъ колебаній, то мы будемъ имѣть слѣдующую основную группу уравненій:

$$\left. \begin{array}{l} n_0^2 y - x = 0 \\ n_1^2 y - x = \Delta_1 i \\ n_2^2 y - x = \Delta_2 i \\ \vdots \\ n_s^2 y - x = \Delta_s i \end{array} \right\} \dots \dots \dots \dots \quad (7)$$

Мы разсматриваемъ здѣсь  $y$ , какъ новую неизвѣстную.

Для опредѣленія изъ группы уравненій (7)  $y$  по способу наименьшихъ квадратовъ удобнѣе всего пользоваться слѣдующимъ приемомъ.

Возьмемъ ариѳметическое среднее всѣхъ этихъ уравненій и, соотвѣтственно этому, введемъ слѣдующія обозначенія:

$$\left. \begin{aligned} n_m^2 &= \frac{n_0^2 + n_1^2 + n_2^2 + \dots + n_s^2}{s+1} \\ \Delta_m i &= \frac{\Delta_1 i + \Delta_2 i + \dots + \Delta_s i}{s+1} \end{aligned} \right\} \quad \dots \dots \dots \quad (8)$$

Тогда мы будемъ имѣть

$$n_m^2 y - x = \Delta_m i \quad \dots \dots \dots \quad (9)$$

Вычтемъ теперь это среднее уравненіе изъ каждого изъ уравненій группы (7).

Тогда, вводя для удобства слѣдующія обозначенія:

$$n_0^2 - n_m^2 = a_0$$

$$n_1^2 - n_m^2 = a_1$$

$$n_2^2 - n_m^2 = a_2$$

⋮

$$n_s^2 - n_m^2 = a_s$$

и

$$0 - \Delta_m i = m_0$$

$$\Delta_1 i - \Delta_m i = m_1$$

$$\Delta_2 i - \Delta_m i = m_2$$

⋮

$$\Delta_s i - \Delta_m i = m_s,$$

мы получимъ, окончательно, слѣдующую группу уравненій:

$$\left. \begin{aligned} a_0 y &= m_0 \\ a_1 y &= m_1 \\ a_2 y &= m_2 \\ &\vdots \\ a_s y &= m_s \end{aligned} \right\} \quad \dots \dots \dots \quad (10)$$

Въ эти уравненія входитъ уже только одна неизвѣстная  $y$ .

Рѣшая ихъ согласно извѣстнымъ пріемамъ способа наименьшихъ квадратовъ и вводя, для сокращенія, слѣдующія извѣстныя обозначенія Гаусса:

$$(aa) = a_0 a_0 + a_1 a_1 + a_2 a_2 + \dots + a_s a_s$$

$$(am) = a_0 m_0 + a_1 m_1 + a_2 m_2 + \dots + a_s m_s,$$

мы получимъ слѣдующее нормальное уравненіе

$$(aa)y = (am), \dots \dots \dots \dots \quad (11)$$

изъ котораго и опредѣлится totчасъ-же наивѣроятнѣйшее значеніе  $y$ .

При этомъ коеффиціентъ  $(aa)$  у  $y$  представить собою ничто иное, какъ вѣсъ  $g_y$  соотвѣтствующей неизвѣстной  $y$ .

Для опредѣленія средней ошибки этого вывода, подставляемъ найденное значеніе  $y$  въ уравненія (10) и вычисляемъ величины соотвѣтствующихъ уклоненій  $v$ .

$$m_0 - a_0 y = v_0$$

$$m_1 - a_1 y = v_1$$

$$m_2 - a_2 y = v_2$$

⋮

$$m_s - a_s y = v_s.$$

Составимъ теперь сумму квадратовъ этихъ уклоненій и раздѣлимъ эту сумму на число уравненій ( $s + 1$ ) минусъ первоначальное число неизвѣстныхъ (2), т.-е. на  $s - 1$ .

Тогда мы получимъ

$$\varepsilon = \sqrt{\frac{\sum v^2}{s-1}}.$$

Тогда, какъ извѣстно, средняя ошибка вывода  $y$  будетъ

$$\varepsilon_y = \frac{\varepsilon}{\sqrt{g_y}}.$$

Опредѣливши  $y$ , можно изъ уравненія (9), въ случаѣ надобности, найти и другую неизвѣстную  $x$ ; но въ нашемъ случаѣ этого вовсе не требуется.

Опредѣливши  $y$ , найдемъ totчасъ-же и искомую приведенную длину маятника

$$l = gy$$

со средней ошибкой

$$\varepsilon_l = g \varepsilon_y.$$

Этот метод определения одной из неизвестных по способу наименьших квадратов особенно удобен и прост и онъ всегда может быть примененъ, когда коэффициенты у другой неизвестной въ основной группѣ линейныхъ уравненій равны всѣ — 1.

Такова теорія этого способа определения приведенной длины маятника. Самыя наблюденія и вычислениа очень простыя и производятся сравнительно быстро.

По описанному здѣсь приему наблюденій былъ изслѣдованъ цѣлый рядъ апериодическихъ горизонтальныхъ маятниковъ съ Цельнеровскимъ подвѣсомъ.

Разсматривая болѣе подробно результаты этихъ наблюденій, меня поразило то обстоятельство, что, приблизительно при тѣхъ-же самыхъ условіяхъ наблюденій, у разныхъ наблюдателей получаются нѣсколько отличныхъ другъ оть друга величины для приведенной длины  $l$ . Эта разница доходитъ иногда почти до 2-хъ миллиметровъ.

Правда, такая разница въ  $2^{\text{м}}/\text{м}$ , при общей величинѣ  $l$ , примѣрно, въ  $120^{\text{м}}/\text{м}$ , не имѣеть, при обработкѣ сейсмограммъ и при современной точности сейсмометрическихъ наблюденій, никакого практическаго значенія, но эти колебанія всетаки больше того, что можно было ожидать, основываясь на величинѣ средней ошибки  $\varepsilon_l$  вывода  $l$ .

Желая, однако, ближе выяснить дѣйствительную причину этихъ непонятныхъ несогласій, я разсмотрѣлъ болѣе подробно самую теорію этихъ наблюденій.

Этотъ анализъ привелъ меня къ тому выводу, что, при Цельнеровскомъ подвѣсѣ, въ предположеніи даже полной нерастяжимости поддерживающихъ стержень маятника проволокъ, приведенная длина маятника  $l$  не есть строго постоянная величина, а является функцией угла наклона оси вращенія  $i$ . Это явленіе обуславливается тѣмъ, что, при Цельнеровскомъ подвѣсѣ, горизонтальный маятникъ не представляется собою абсолютно твердой системы, а, при увеличеніи наклона оси вращенія  $i$ , самъ стержень маятника подается немного впередъ по отношенію къ штативу прибора, вслѣдствіе чего увеличивается и приведенная длина маятника  $l$ . Это обстоятельство можно, однако, легко принять во вниманіе и учесть.

Такимъ образомъ, строго говоря, каждому определенному периоду колебаній маятника соотвѣтствуетъ и вполнѣ определенная приведенная длина  $l$ .

Я долженъ, однако, сейчасъ-же оговориться, что эти измѣненія  $l$  вообще

чрезвычайно малы и не могутъ объяснить полностью несогласія въ результатахъ опредѣленія  $l$  различными наблюдателями. Въ чемъ кроется дѣйствительная причина этихъ несогласій мы увидимъ изъ дальнѣйшаго.

Разсмотримъ теперь подробно теорію Цельнеровскаго подвѣса въ приложеніи къ горизонтальному маятнику Пулковскаго образца. Растиженіемъ проволокъ, которое во всякомъ случаѣ совершенно ничтожно, мы при этомъ будемъ пренебрегать.

Схематический чертежъ такого горизонтального маятника представлена на слѣдующемъ черт. 1.

$BH$  представляетъ собою стержень горизонтального маятника;  $AC_1 = l_1$  верхняя, а  $B_1O = l_2$  нижняя проволока;  $A$  и  $O$  неподвижныя точки прикрепленія проволокъ.

Другіе концы проволокъ  $C_1$  и  $B_1$  не прикреплены непосредственно къ самому стержню маятника, а къ двумъ небольшимъ приливамъ  $CC_1$  и  $BB_1$ , причемъ разстояніе точекъ  $C_1$  и  $B_1$  до оси стержня  $BH$  равно  $b$ .

Центръ тяжести всей подвижной системы находится въ  $G$ , въ разстояніи  $c$  сантиметровъ отъ оси стержня маятника  $BH$ . Весьской системы пусть будетъ  $P$ .

$Oz$  представляетъ собою вертикальную, а  $BT$  горизонтальную линію.

Дѣйствительная ось вращенія маятника будетъ линія  $OA$ , наклоненная подъ малымъ угломъ  $DOA = i$  къ вертикальной линіи.

Возьмемъ общій случай, что стержень маятника составляетъ малый уголъ  $TBH = \beta$  съ плоскостью горизонта.

Введемъ теперь, для удобства, слѣдующія обозначенія:

$$OD = h$$

$$BC = d$$

$$OH = m$$

$$\angle MAC_1 = \gamma$$

$$\angle MC_1A = \phi$$

$$\angle EOB_1 = \delta$$

и

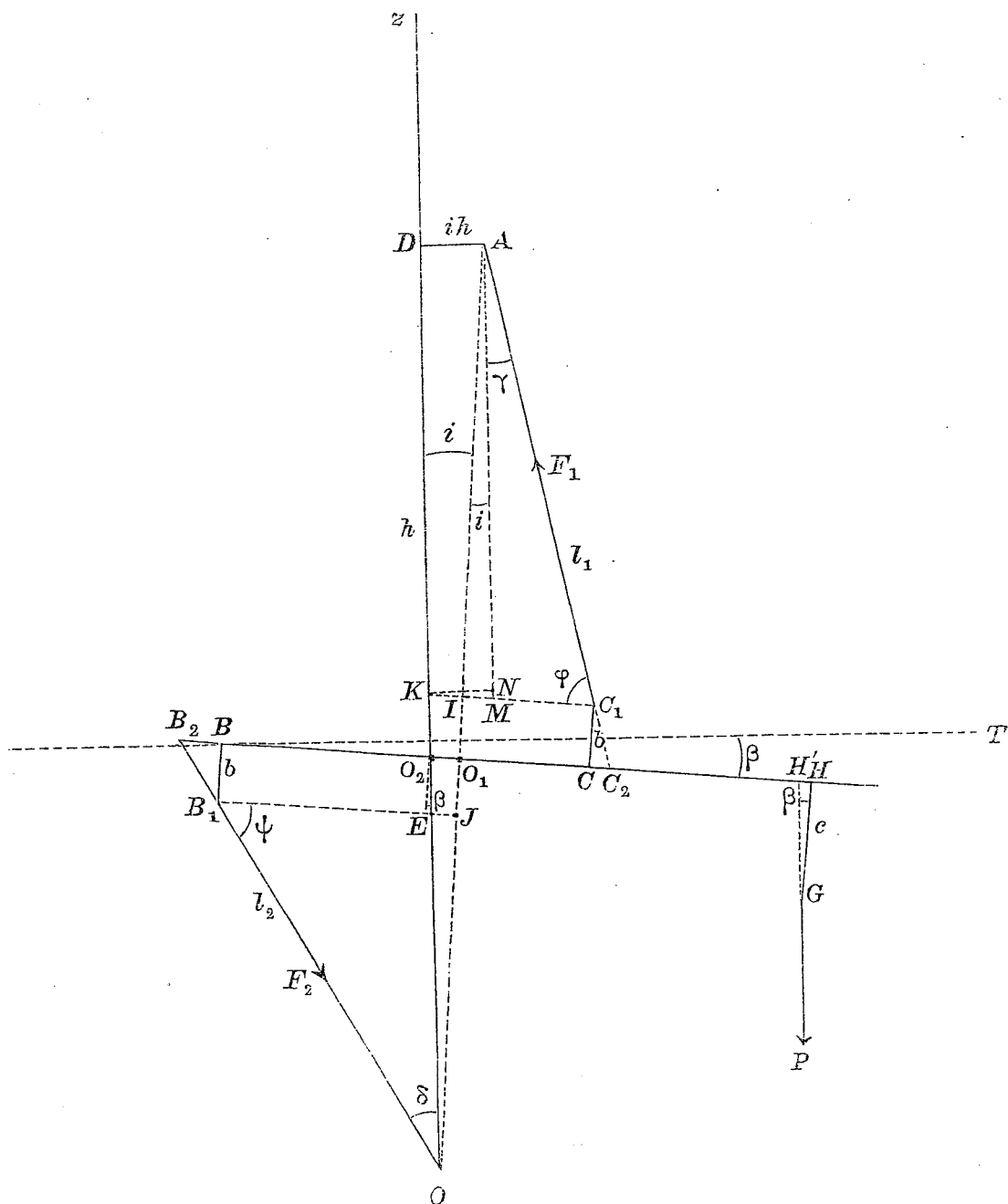
$$\angle EB_1O = \psi.$$

Углы  $i$  и  $\beta$  по предположенію суть очень малыя величины, квадратами и произведеніемъ которыхъ мы будемъ въ дальнѣйшемъ пренебрегать.

Выведемъ теперь условія равновѣсія данной системы.

Для этого найдемъ сначала зависимость между нѣкоторыми геометрическими величинами, обозначенными на черт. 1.

Черт. 1.



Изъ треугольниковъ  $OB_1J$  и  $OB_1E$  мы имѣемъ:

$$\frac{B_1J}{l_2} = \frac{\sin(\delta + i)}{\sin(\psi - \delta + i)}$$

и

$$\frac{OE}{l_2} = \frac{\sin \psi}{\sin (\psi + \delta)}.$$

Точно также изъ треугольниковъ  $AC_1I$  и  $AC_1M$  слѣдуетъ, что

$$\frac{C_1I}{l_1} = \frac{\sin (\gamma + i)}{\sin (\varphi + \gamma + i)}$$

и

$$\frac{AM}{l_1} = \frac{\sin \varphi}{\sin (\varphi + \gamma)}.$$

Далѣе изъ чертежа находимъ, принимая во вниманіе, что уголъ  $NKM = \beta$ ,

$$DK = AM - NM = AM - ih \operatorname{tg} \beta = AM - i\beta h$$

и

$$KE = \frac{2b}{\cos \beta}.$$

Пренебрегая членами высшихъ порядковъ, получимъ просто

$$DK = AM$$

и

$$KE = 2b.$$

Съ другой стороны,

$$DK + KE + OE = h$$

или

$$AM + 2b + OE = h.$$

Подставляя сюда ранѣе найденные выраженія для  $AM$  и  $OE$ , будемъ имѣть

$$l_1 \frac{\sin \varphi}{\sin (\varphi + \gamma)} + l_2 \frac{\sin \psi}{\sin (\psi + \delta)} = h - 2b \dots \dots \dots \quad (12)$$

Далѣе изъ чертежа видно, что уголъ между  $BB_1$  или  $CC_1$  и осью вращенія  $OA$  равенъ  $i - \beta$ , такъ какъ первыя два направлениа составляютъ уголъ  $\beta$ , а второе уголъ  $i$  съ той-же вертикальной линіей  $Oz$ .

Слѣдовательно,

$$BO_1 = B_1J + b(i - \beta)$$

и

$$CO_1 = C_1I + b(i - \beta).$$

Эти выраженія всегда справедливы будетъ ли  $i$  больше или меньше  $\beta$ .

Съ другой стороны,

$$BO_1 + CO_1 = BC = d;$$

следовательно,

$$B_1 J + C_1 I = d + 2b(\beta - i).$$

Подставляя сюда ранѣе найденныя выраженія для  $B_1 J$  и  $C_1 I$ , будемъ имѣть

$$l_1 \frac{\sin(\gamma + i)}{\sin(\varphi + \gamma + i)} + l_2 \frac{\sin(\delta + i)}{\sin(\psi + \delta + i)} = d + 2b(\beta - i). \dots \dots \dots (13)$$

Формулы (12) и (13) можно значительно упростить.

Изъ треугольниковъ  $B_1 EO$  и  $C_1 MA$  мы имѣемъ

$$\psi + \delta + 90^\circ + \beta = 180^\circ$$

и

$$\varphi + \gamma + 90^\circ + \beta = 180^\circ.$$

Слѣдовательно,

$$\psi + \delta = 90^\circ - \beta,$$

$$\varphi + \gamma = 90^\circ - \beta$$

и

$$\psi + \delta + i = 90^\circ - (\beta - i),$$

$$\varphi + \gamma + i = 90^\circ - (\beta - i).$$

Такимъ образомъ,

$$\sin(\psi + \delta) = \cos \beta = 1$$

$$\sin(\varphi + \gamma) = \cos \beta = 1$$

$$\sin(\psi + \delta + i) = \cos(\beta - i) = 1$$

и

$$\sin(\varphi + \gamma + i) = \cos(\beta - i) = 1.$$

Принимая во вниманіе эти соотношенія, предыдущія уравненія (12) и (13) перепишутся въ слѣдующемъ видѣ:

$$l_1 \sin \varphi + l_2 \sin \psi = h - 2b. \dots \dots \dots \dots \dots \dots (14)$$

и

$$l_1 \sin(\gamma + i) + l_2 \sin(\delta + i) = d + 2b(\beta - i). \dots \dots \dots \dots \dots \dots (15)$$

Но

$$\varphi = 90^\circ - (\gamma + \beta)$$

и

$$\psi = 90^\circ - (\delta + \beta).$$

Слѣдовательно, уравненіе (14) можно еще представить слѣдующимъ образомъ:

$$l_1 \cos(\gamma + \beta) + l_2 \cos(\delta + \beta) = h - 2b \dots \dots \dots \quad (16)$$

Разовьемъ теперь уравненія (16) и (15), пренебрегая членами высшихъ порядковъ.

$$l_1 \cos \gamma + l_2 \cos \delta - \{l_1 \sin \gamma + l_2 \sin \delta\} \cdot \beta = h - 2b \dots \dots \dots \quad (17)$$

$$l_1 \sin \gamma + l_2 \sin \delta - \{l_1 \cos \gamma + l_2 \cos \delta\} \cdot i = d - 2b(\beta - i) \dots \dots \quad (18)$$

Умножимъ уравненіе (18) на  $\beta$  и сложимъ его съ уравненіемъ (17), а потомъ умножимъ уравненіе (17) на  $-i$  и сложимъ его съ уравненіемъ (18).

Тогда, пренебрегая членами высшихъ порядковъ, мы получимъ слѣдующія два окончательныя соотношенія:

$$l_1 \cos \gamma + l_2 \cos \delta = h - 2b + d \cdot \beta \dots \dots \dots \quad (19)$$

и

$$l_1 \sin \gamma + l_2 \sin \delta = d - 2b \cdot \beta - hi \dots \dots \dots \quad (20)$$

Эти двѣ формулы устанавливаютъ связь между отдельными геометрическими величинами черт. 1.

Въ этихъ формулахъ количества  $l_1$ ,  $l_2$ ,  $h$ ,  $d$  и  $b$  суть нѣкоторыя постоянныя, строго *неизменныя* величины, тогда какъ углы  $\gamma$ ,  $\delta$ ,  $\beta$  и  $i$  могутъ измѣняться въ зависимости отъ наклона штатива маятника.

Выведемъ теперь *механическія* условія равновѣсія системы.

Обозначимъ черезъ  $F_1$  натяженіе верхней, а черезъ  $F_2$  натяженіе нижней проволоки. Сила  $F_1$  направлена вверхъ, а  $F_2$  внизъ.

Такимъ образомъ, наша подвижная система находится подъ дѣйствіемъ трехъ внѣшнихъ силъ, а именно  $F_1$ ,  $F_2$  и вѣса всей системы  $P$ . Силы эти приложены соотвѣтственно въ точкахъ  $C_1$ ,  $B_1$  и  $G$ .

Выразимъ теперь условія, что, при равновѣсіи, сумма проекцій всѣхъ силъ на направлениѣ вертикали  $Oz$  и на направлениѣ стержня маятника  $BH$  равны нулю.

Первое условіе даетъ намъ

$$F_1 \cos \gamma = F_2 \cos \delta + P \dots \dots \dots \quad (21)$$

Второе условіе приводить къ слѣдующему соотношенію:

$$F_1 \cos \varphi = F_2 \cos \psi + P \cdot \beta.$$

Но такъ какъ, какъ мы видѣли раньше,

$$\left. \begin{aligned} \varphi &= 90^\circ - (\gamma + \beta) \\ \psi &= 90^\circ - (\delta + \beta) \end{aligned} \right\}, \quad \dots \dots \dots \quad (22)$$

то мы будемъ имѣть

$$F_1 \sin(\gamma + \beta) = F_2 \sin(\delta + \beta) + P \cdot \beta,$$

или, пренебрегая членами высшихъ порядковъ,

$$F_1 \sin \gamma = F_2 \sin \delta + \{F_2 \cos \delta + P - F_1 \cos \gamma\} \beta.$$

Но, такъ какъ выражение, стоящее въ скобкахъ въ правой части этого уравненія, въ силу соотношенія (21), равно нулю, то мы будемъ просто имѣть

$$F_1 \sin \gamma = F_2 \sin \delta. \quad \dots \dots \dots \quad (23)$$

Это соотношеніе можно было бы написать и прямо, проектируя силы на направление  $BT$  (см. черт. 1).

Третье соотношеніе между силами получится, если мы выразимъ условіе, что моменты двухъ силъ  $F_2$  и  $P$  относительно точки  $C_2$  (см. черт. 1) должны взаимно уравновѣшиваться.

Плечо первой силы будетъ

$$B_2 C_2 = B_2 B + BC + CC_2 = b \cot \psi + d + b \cot \varphi,$$

а плечо второй силы

$$H'C_2 = CH - CC_2 - HH' = m - b \cot \varphi - c \beta.$$

Проекціи-же этихъ силъ на направление перпендикулярное къ плечу, будутъ соотвѣтственно

$$F_2 \sin \psi$$

и

$$P \cos \beta = P.$$

Такимъ образомъ, третье механическое условіе равновѣсія представится въ слѣдующемъ видѣ:

$$F_2 \sin \psi [d + b \{\cot \varphi + \cot \psi\}] = P [m - b \cot \varphi - c \beta].$$

Подставляя сюда значения  $\varphi$  и  $\psi$  изъ формулъ (22), будемъ имѣть

$$F_2 \cos(\delta + \beta) [d + b \{\operatorname{tg}(\gamma + \beta) + \operatorname{tg}(\delta + \beta)\}] = P [m - b \operatorname{tg}(\gamma + \beta) - c\beta]. \dots (24)$$

Уравненія (21), (23) и (24) и представляютъ собою три механическія условія равновѣсія.

Подставляя значеніе  $F_1$  изъ уравненія (23) въ уравненіе (21), получимъ

$$F_2 \frac{\sin \delta}{\sin \gamma} \cdot \cos \gamma = F_2 \cos \delta + P$$

или

$$F_2 = \frac{P \sin \gamma}{\sin(\delta - \gamma)}.$$

Подставляя это значенія  $F_2$  въ формулу (24), мы видимъ, что  $P$  сократится и останется уравненіе, связывающее только углы  $\beta$ ,  $\gamma$  и  $\delta$  съ постоянными величинами  $d$ ,  $m$ ,  $b$  и  $c$ .

Такимъ образомъ, мы будемъ имѣть

$$\begin{aligned} \sin \gamma \cos(\delta + \beta) [d + b \{\operatorname{tg}(\gamma + \beta) + \operatorname{tg}(\delta + \beta)\}] \\ = \sin(\delta - \gamma) [m - b \operatorname{tg}(\gamma + \beta) - c\beta] \dots (25) \end{aligned}$$

Найдемъ теперь отсюда выраженіе для  $\beta$ , пренебрегая опять членами высшихъ порядковъ.

$$\cos(\delta + \beta) = \cos \delta - \beta \sin \delta,$$

$$\begin{aligned} \operatorname{tg}(\gamma + \beta) &= \frac{\operatorname{tg} \gamma + \beta}{1 - \beta \operatorname{tg} \gamma} = (\operatorname{tg} \gamma + \beta)(1 + \beta \operatorname{tg} \gamma) \\ &= \operatorname{tg} \gamma + \beta(1 + \operatorname{tg}^2 \gamma) = \operatorname{tg} \gamma + \frac{\beta}{\cos^2 \gamma} \end{aligned}$$

и

$$\operatorname{tg}(\delta + \beta) = \operatorname{tg} \delta + \frac{\beta}{\cos^2 \delta}.$$

Подставляя эти выражениа въ уравненіе (25), получимъ

$$\begin{aligned} \sin \gamma \{\cos \delta - \beta \sin \delta\} \left[ d + b (\operatorname{tg} \gamma + \operatorname{tg} \delta) + b \beta \left( \frac{1}{\cos^2 \gamma} + \frac{1}{\cos^2 \delta} \right) \right] \\ = \sin(\delta - \gamma) \left[ m - b \operatorname{tg} \gamma - \beta \left( c + \frac{b}{\cos^2 \gamma} \right) \right]. \end{aligned}$$

Раздѣлимъ теперь это уравненіе на  $d + b (\operatorname{tg} \gamma + \operatorname{tg} \delta)$  и введемъ слѣдующія обозначенія:

$$P = \frac{m - b \operatorname{tg} \gamma}{d + b (\operatorname{tg} \gamma + \operatorname{tg} \delta)} \dots (26)$$

II

Тогда мы будемъ имѣть

$$\sin \gamma \{ \cos \delta - \beta \sin \delta \} [1 + r\beta] = \sin(\delta - \gamma) [p - q\beta]$$

или

$$\begin{aligned} \sin \gamma \cos \delta - p \{ \sin \delta \cos \gamma - \sin \gamma \cos \delta \} \\ = \beta \sin \gamma \sin \delta - q\beta \{ \sin \delta \cos \gamma - \sin \gamma \cos \delta \} - r\beta \sin \gamma \cos \delta. \end{aligned}$$

Разделим это уравнение на произведение  $\cos \gamma \cos \delta$ ; тогда мы получим окончательно

гдѣ, для удобства, введены слѣдующія обозначенія:

M

$$Q = \operatorname{tg} \gamma \operatorname{tg} \delta - q \{ \operatorname{tg} \delta - \operatorname{tg} \gamma \} - r \operatorname{tg} \gamma \dots \dots \dots \quad (31)$$

Такъ какъ въ горизонтальныхъ маятникахъ  $\beta$ , вообще говоря, мало отличается отъ нуля, то, следовательно, и  $P$  будетъ очень мало.

Уравнения (19), (20) и (29) решаютъ вполнѣ вопросъ о положеніи равновѣсія горизонтального маятника съ Цельнеровскимъ подвѣсомъ, такъ какъ изъ этихъ трехъ уравненій можно, для каждого заданного угла наклона оси  $i$ , определить соответствующіе углы  $\beta$ ,  $\gamma$  и  $\delta$ . Эти три угла являются, такимъ образомъ, функциями угла наклона  $i$  оси вращенія маятника.

Рѣшеніемъ этихъ уравненій мы, однако, заниматься не будемъ.

Обращаясь теперь къ черт. 1, мы видимъ, что точка  $O_1$  лежить на оси вращенія  $OA$ .

Разстояние какой-нибудь точки стержня маятника, напр.  $B$ , до точки  $O_1$  будет, какъ мы видѣли раньше,

$$BO_1 = B_1 J + b(i - \beta).$$

Съ другой стороны, мы имѣли изъ треугольника  $OB_1J$

$$B_1J = l_2 \frac{\sin(\delta + i)}{\sin(\psi + \delta + i)}.$$

Но, такъ какъ мы видѣли, что, съ точностью до величинъ второго порядка,

$$\sin(\psi + \delta + i) = \cos(\beta - i) = 1,$$

то мы будемъ имѣть

$$BO_1 = l_2 \sin(\delta + i) + b(i - \beta) \dots \dots \dots \quad (32)$$

или

$$BO_1 = l_2 \sin \delta + (l_2 \cos \delta + b)i - b\beta \dots \dots \dots \quad (33)$$

Для цѣли настоящаго изслѣдованія эта послѣдняя формула особенно важна.

Она показываетъ, что разстояніе точки  $B$ , а, слѣдовательно, и любой другой точки стержня маятника, до точки пересѣченія  $O_1$  оси вращенія  $OA$  со стержнемъ маятника  $BH$  измѣняется вмѣстѣ съ наклономъ оси. Слѣдовательно, разстояніе  $r$  различныхъ массъ маятника до оси вращенія будетъ также измѣняться вмѣстѣ съ  $i$ .

Такимъ образомъ, мы видимъ, принимая во вниманіе формулу (1), что приведенная длина  $l$  горизонтальнаго маятника съ Цельнеровскимъ подвѣсомъ не представляетъ собою вполнѣ постоянную величину, а измѣняется нѣсколько вмѣстѣ съ наклономъ оси  $i$ .

Иначе говоря, приведенная длина такого горизонтальнаго маятника есть *функция его периода колебаний*.

При абсолютно твердой системѣ, такая зависимость  $l$  отъ  $i$  не могла бы имѣть мѣсто.

Дѣйствительно, если бы уголъ  $i$  увеличился на  $\delta i$ , то на такую-же величину увеличился бы и уголъ  $\beta$ , а углы  $\gamma$  и  $\delta$  уменьшились бы на  $\delta i$ .

Это ясно изъ чертежа 1, такъ какъ увеличеніе  $i$  на  $\delta i$  равносильно тому, какъ-будто линіи  $Oz$  и  $BT$  повернулись на тотъ-же уголъ  $\delta i$  влѣво.

Слѣдовательно, въ этомъ случаѣ

$$\left. \begin{array}{l} \partial \beta = \delta i \\ \partial \gamma = -\delta i \\ \partial \delta = -\delta i \end{array} \right\}, \dots \dots \dots \quad (34)$$

и тогда формула (32) показывает, что  $BO_1$ , а, следовательно и  $l$ , остается строго постояннымъ.

При Цельнеровскомъ-же подвѣсѣ, такъ какъ стержень маятника, при измѣненіяхъ угла  $i$ , можетъ не сколько перемѣщаться параллельно самому себѣ, то соотношенія (34) не имѣютъ болѣе мѣста, вслѣдствіе чего и приведенная длина маятника будетъ не сколько зависѣть отъ угла наклона оси  $i$ .

Воспользуемся теперь ранѣе выведенными формулами, чтобы опредѣлить измѣненіе  $\delta l$  приведенной длины маятника, вызванное измѣненіемъ наклона оси вращенія  $di$ . Въ дальнѣйшемъ мы будемъ предполагать, что  $di$  мало, что, дѣйствительно, и имѣеть всегда мѣсто на практикѣ.

Пусть  $d\beta$ ,  $d\gamma$  и  $d\delta$  представляютъ собою измѣненія угловъ  $\beta$ ,  $\gamma$  и  $\delta$ , соответствующія увеличенію  $i$  на  $di$ .

Въ формулу (29)  $i$  явно не входитъ, а потому, дифференцируя это выраженіе, получимъ

$$d\beta = A d\gamma + B d\delta, \dots \dots \dots \dots \dots \dots \dots \quad (35)$$

гдѣ

$$A = \frac{1}{Q} \cdot \frac{\partial P}{\partial \gamma} - \frac{P}{Q^2} \cdot \frac{\partial Q}{\partial \gamma} \dots \dots \dots \dots \dots \dots \dots \quad (36)$$

и

$$B = \frac{1}{Q} \cdot \frac{\partial P}{\partial \delta} - \frac{P}{Q^2} \cdot \frac{\partial Q}{\partial \delta} \dots \dots \dots \dots \dots \dots \dots \quad (37)$$

Изъ формулъ (30) и (31) слѣдуетъ далѣе:

$$\frac{\partial P}{\partial \gamma} = (1-p) \frac{1}{\cos^2 \gamma} + (\operatorname{tg} \gamma - \operatorname{tg} \delta) \cdot \frac{\partial p}{\partial \gamma} \dots \dots \dots \dots \dots \dots \dots \quad (38)$$

$$\frac{\partial P}{\partial \delta} = -\frac{p}{\cos^2 \delta} + (\operatorname{tg} \gamma - \operatorname{tg} \delta) \cdot \frac{\partial p}{\partial \delta} \dots \dots \dots \dots \dots \dots \dots \quad (39)$$

$$\frac{\partial Q}{\partial \gamma} = \{\operatorname{tg} \delta + q - r\} \cdot \frac{1}{\cos^2 \gamma} - \{\operatorname{tg} \delta - \operatorname{tg} \gamma\} \cdot \frac{\partial q}{\partial \gamma} - \operatorname{tg} \gamma \cdot \frac{\partial r}{\partial \gamma} \dots \dots \dots \dots \dots \dots \dots \quad (40)$$

и

$$\frac{\partial Q}{\partial \delta} = \{\operatorname{tg} \gamma - q\} \cdot \frac{1}{\cos^2 \delta} - \{\operatorname{tg} \delta - \operatorname{tg} \gamma\} \cdot \frac{\partial q}{\partial \delta} - \operatorname{tg} \gamma \cdot \frac{\partial r}{\partial \delta} \dots \dots \dots \dots \dots \dots \dots \quad (41)$$

Выраженія для производныхъ  $\frac{\partial p}{\partial \gamma}$ ,  $\frac{\partial p}{\partial \delta}$ ,  $\frac{\partial q}{\partial \gamma}$ ,  $\frac{\partial q}{\partial \delta}$ ,  $\frac{\partial r}{\partial \gamma}$  и  $\frac{\partial r}{\partial \delta}$  получаются соотвѣтственно изъ формулъ (26), (27) и (28).

Въ частномъ случаѣ, когда начальный уголъ  $\beta$  очень малъ, что всегда легко на практикѣ осуществить, можно, съ совершенно достаточной точностью, положить въ предыдущихъ дифференціальныхъ формулахъ  $P=0$ .

Тогда выраженія для  $A$  и  $B$  значительно упростятся.

Въ этомъ случаѣ мы будемъ просто имѣть

$$\left. \begin{aligned} A &= \frac{1}{Q} \left[ (1 + p) \frac{1}{\cos^2 \gamma} + (\operatorname{tg} \gamma - \operatorname{tg} \delta) \cdot \frac{\partial p}{\partial \gamma} \right] \\ B &= -\frac{1}{Q} \left[ \frac{p}{\cos^2 \delta} - (\operatorname{tg} \gamma - \operatorname{tg} \delta) \cdot \frac{\partial p}{\partial \delta} \right] \end{aligned} \right\}, \quad \dots \dots \dots \quad (42)$$

гдѣ

$$Q = \operatorname{tg} \gamma \operatorname{tg} \delta - q \{ \operatorname{tg} \delta - \operatorname{tg} \gamma \} - r \operatorname{tg} \gamma, \quad \dots \dots \dots \quad (43)$$

$$\frac{\partial p}{\partial \gamma} = -\frac{b}{\cos^2 \gamma} \cdot \frac{d + m + b \operatorname{tg} \delta}{[d + b \{ \operatorname{tg} \gamma + \operatorname{tg} \delta \}]^2} \quad \dots \dots \dots \quad (44)$$

и

$$\frac{\partial p}{\partial \delta} = -\frac{b}{\cos^2 \delta} \cdot \frac{m - b \operatorname{tg} \gamma}{[d + b \{ \operatorname{tg} \gamma + \operatorname{tg} \delta \}]^2} \quad \dots \dots \dots \quad (45)$$

Такимъ образомъ, когда начальныя значенія угловъ  $\gamma$  и  $\delta$  известны, можно всегда легко вычислить значенія коефиціентовъ  $A$  и  $B$ .

Обратимся теперь къ уравненіямъ (19) и (20).

Дифференцируя первое изъ нихъ, находимъ

$$-l_1 \sin \gamma \cdot \partial \gamma - l_2 \sin \delta \cdot \partial \delta = d \cdot \partial \beta.$$

Подставимъ теперь сюда значеніе  $\partial \beta$  изъ формулы (35).

Тогда

$$-l_1 \sin \gamma \cdot \partial \gamma - l_2 \sin \delta \cdot \partial \delta = A \cdot d \cdot \partial \gamma + B \cdot d \cdot \partial \delta.$$

Отсюда находимъ

$$\partial \delta = -\frac{l_1 \sin \gamma + A \cdot d}{l_2 \sin \delta + B \cdot d} \cdot \partial \gamma. \quad \dots \dots \dots \quad (46)$$

Дифференцируя же формулу (20) будемъ имѣть, принимая еще во вниманіе соотношеніе (35),

$$\text{или } l_1 \cos \gamma \cdot \partial \gamma + l_2 \cos \delta \cdot \partial \delta = 2b \{ A \partial \gamma + B \partial \delta \} - h \cdot di$$

$$\{l_1 \cos \gamma - 2bA\} \partial \gamma + \{l_2 \cos \delta - 2bB\} \partial \delta = -h \cdot di.$$

Подставимъ теперь сюда значеніе  $\partial \delta$  изъ формулы (46).

Тогда мы получимъ

$$\begin{aligned} \frac{1}{l_2 \sin \delta + B \cdot d} [\{l_1 \cos \gamma - 2bA\} \{l_2 \sin \delta + B \cdot d\} \\ - \{l_2 \cos \delta - 2bB\} \{l_1 \sin \gamma + A \cdot d\}] \cdot \partial \gamma = -h \cdot di \end{aligned}$$

или

$$[l_1 l_2 \sin(\delta - \gamma) + 2b \{Bl_1 \sin \gamma - Al_2 \sin \delta\} \\ + d \{Bl_1 \cos \gamma - Al_2 \cos \delta\}] \cdot \partial \gamma = -h \{l_2 \sin \delta + Bd\} \cdot \partial i.$$

Введемъ теперь такое обозначеніе:

$$H = \sin(\delta - \gamma) + 2b \left\{ \frac{B}{l_2} \sin \gamma - \frac{A}{l_1} \sin \delta \right\} + d \left\{ \frac{B}{l_2} \cos \gamma - \frac{A}{l_1} \cos \delta \right\} \dots \dots (47)$$

Тогда мы будемъ имѣть

$$\partial \gamma = -h \cdot \frac{\{l_2 \sin \delta + Bd\}}{l_1 l_2 H} \cdot \partial i \dots \dots \dots \dots (48)$$

Подставляя это выраженіе въ формулу (46), получимъ

$$\partial \delta = h \cdot \frac{\{l_1 \sin \gamma + Ad\}}{l_1 l_2 H} \cdot \partial i \dots \dots \dots \dots (49)$$

Подставля-же эти выраженія въ формулу (35), будемъ имѣть

$$\partial \beta = h \cdot \frac{\{Bl_1 \sin \gamma - Al_2 \sin \delta\}}{l_1 l_2 H} \cdot \partial i$$

или

$$\partial \beta = h \cdot \frac{\left\{ \frac{B}{l_2} \sin \gamma - \frac{A}{l_1} \sin \delta \right\}}{H} \cdot \partial i \dots \dots \dots \dots (50)$$

Формулы (48), (49) и (50) опредѣляютъ собою приращенія трехъ угловъ  $\gamma$ ,  $\delta$  и  $\beta$ .

Формулы эти имѣютъ довольно симметричный видъ.

Обратимся теперь къ формулѣ (32).

Дифференцируя ее, находимъ

$$\partial(BO_1) = l_2 \cos(\delta + i) \{\partial \delta + \partial i\} - b(\partial \beta - \partial i).$$

Такъ какъ, при увеличеніи наклона оси  $i$ , стержень маятника подается впередъ, т.-е. на черт. 1 вправо, то  $\partial(BO_1)$  будетъ отрицательно.

Обозначимъ *абсолютную* величину перемѣщенія стержня маятника вправо черезъ  $\epsilon$ .

Тогда

$$-\partial(BO_1) = \epsilon = -l_2 \cos(\delta + i) \{\partial \delta + \partial i\} + b(\partial \beta - \partial i). \dots \dots (51)$$

Въ виду малости угловъ  $i$  и  $\beta$ , можно принять, что на такую-же величину  $\varepsilon$  измѣняются и разстоянія  $r$  отдельныхъ массъ  $m$  подвижной части системы до оси вращенія.

Обозначая начальную приведенную длину маятника черезъ  $l$ , начальное разстояніе центра тяжести системы до оси вращенія черезъ  $l_0$ , гдѣ

$$l_0 = \frac{\Sigma mr}{\Sigma m}, \dots \dots \dots \dots \quad (52)$$

а новую приведенную длину маятника черезъ  $l'$ , гдѣ

$$l' = l + \delta l, \dots \dots \dots \dots \quad (53)$$

мы будемъ, на основаніи формулы (1), имѣть

$$l' = \frac{\Sigma m(r + \varepsilon)^2}{\Sigma m(r + \varepsilon)}.$$

Отсюда находимъ

$$l' = \frac{\Sigma mr^2 + 2\varepsilon \cdot \Sigma mr + \varepsilon^2 \cdot \Sigma m}{\Sigma mr + \varepsilon \cdot \Sigma m}$$

или

$$l' = \frac{\Sigma mr^2}{\Sigma mr} \cdot \frac{1 + 2\varepsilon \cdot \frac{\Sigma mr}{\Sigma mr^2} + \varepsilon^2 \cdot \frac{\Sigma m}{\Sigma mr^2}}{1 + \varepsilon \cdot \frac{\Sigma m}{\Sigma mr}}.$$

Въ виду чрезвычайной малости  $\varepsilon$ , мы можемъ пренебречь его квадратомъ.

Тогда, на основаніи обозначеній (1) и (52), мы будемъ имѣть

$$l' = l \cdot \frac{1 + 2\varepsilon \cdot \frac{1}{l}}{1 + \varepsilon \cdot \frac{1}{l_0}}$$

или

$$l' = l \left\{ 1 + \varepsilon \left( \frac{2}{l} - \frac{1}{l_0} \right) \right\},$$

или, окончательно, согласно формулѣ (53),

$$\delta l = \varepsilon \left( 2 - \frac{l}{l_0} \right). \dots \dots \dots \dots \quad (54)$$

Такъ какъ  $\varepsilon$  пропорционально  $\delta i$ , то мы можемъ положить

$$\delta l = v \cdot \delta i, \dots \dots \dots \dots \dots \dots \dots \quad (55)$$

гдѣ

$$v = \left(2 - \frac{l}{l_0}\right) [-l_2 \cos(\delta + i) \{\partial\delta + \partial i\} + b(\partial\beta - \partial i)] \dots \dots \dots (56)$$

Входящія въ эту формулу величины  $\partial\delta$  и  $\partial\beta$  также пропорціональны  $\partial i$ . Онѣ опредѣляются соотвѣтственно формулами (49) и (50).

Мы увидимъ изъ дальнѣйшаго, что коефиціентъ  $v$  положительный, т.-е., что  $l$  увеличивается вмѣстѣ съ  $i$ .

Формулы (55) и (56) и служать для опредѣленія измѣненія приведенной длины маятника  $l$ .

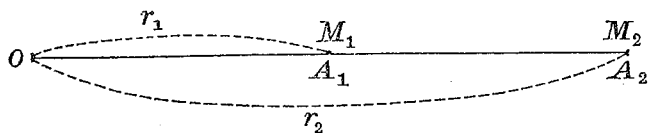
Замѣтимъ здѣсь кстати, что, даже при наличіи смѣщенія стержня маятника на величину  $\epsilon$ , расположение массъ системы можетъ быть таково, что это смѣщеніе  $\epsilon$  не вызоветъ измѣненія приведенной длины маятника  $l$ .

Для этого надо только, чтобы было выполнено условіе

$$2 - \frac{l}{l_0} = 0 \dots \dots \dots \dots \dots \dots \dots \dots (57)$$

Что такое условіе дѣйствительно выполнимо, легко показать хотя-бы на частномъ примѣрѣ двухъ отдѣльныхъ массъ  $M_1$  и  $M_2$ , какъ-бы сконцентрированныхъ въ двухъ точкахъ  $A_1$  и  $A_2$ , въ разстояніяхъ  $r_1$  и  $r_2$  отъ оси вращенія (см. черт. 2).

Черт. 2.



Сохранившися предыдущія обозначенія, мы, на основаніи формулъ (1) и (52), будемъ имѣть

$$l = \frac{M_1 r_1^2 + M_2 r_2^2}{M_1 r_1 + M_2 r_2}$$

и

$$l_0 = \frac{M_1 r_1 + M_2 r_2}{M_1 + M_2}.$$

Тогда

$$\frac{l}{l_0} = \frac{(M_1 + M_2)(M_1 r_1^2 + M_2 r_2^2)}{(M_1 r_1 + M_2 r_2)^2}.$$

Введемъ теперь въ эту формулу отношенія массъ и соотвѣтствующихъ разстояній, и соотвѣтственно этому положимъ

$$v = \frac{M_2}{M_1}$$

И

$$u = \frac{r_2}{r_1}.$$

Тогда мы будемъ имѣть

$$\frac{l}{l_0} = \frac{(1+v)(1+vu^2)}{(1+vu)^2}.$$

Задавъ отношеніе массъ  $v$ , мы можемъ всегда подыскать для отношенія разстояній  $u$  такую величину, при которой условіе (57) будетъ удовлетворено. Для этого  $u$  должно быть корнемъ слѣдующаго квадратнаго уравненія:

$$(1+v)(1+vu^2) = 2(1+vu)^2.$$

Развивая это выражение, находимъ

$$1 + v + vu^2 + v^2 u^2 = 2 + 4vu + 2v^2 u^2$$

ИЛЕ

$$(v^2 - v)u^2 + 4vu + (1 - v) = 0,$$

или еще

Рѣшая это квадратное уравненіе, находимъ

$$\begin{aligned} u &= -\frac{2}{v-1} \pm \sqrt{\frac{4}{(v-1)^2} + \frac{1}{v}} \\ &= \frac{1}{v-1} \left[ -2 \pm \frac{1}{\sqrt{v}} \cdot \sqrt{4v + v^2 - 2v + 1} \right] \\ &= \frac{1}{v-1} \left[ -2 \pm \frac{v+1}{\sqrt{v}} \right]. \end{aligned}$$

Одинъ корень уравненія (58) будеть

а другой

Если обе массы взяты по ту же сторону от оси вращения, то и всегда положительно.

Если  $v > 1$ , то  $u_1$  удовлетворяет условиямъ поставленной задачи; если-же  $v < 1$ , то надо взять второй корень  $u_2$ .

Напр., если  $v = 4$ , то  $u = u_1 = \frac{1}{6}$ .

Если-же  $v = \frac{1}{4}$ , то  $u = u_2 = 6$ .

Такимъ образомъ, мы видимъ, что всякому заданному  $v$ , можно подыскать соответствующее значение  $u$ , при которомъ условіе (57) будетъ удовлетворено.

Любопытно отмѣтить, что, для  $v = 9$  и  $v = \frac{1}{9}$ , получаются тѣ-же значения для  $u$ , что и при  $v = 4$  и  $v = \frac{1}{4}$ .

Установивши фактъ зависимости приведенной длины маятника отъ угла наклона оси вращенія  $i$ , посмотримъ, какъ это обстоятельство отразится на ранѣе выведенныхъ формулахъ, служащихъ для опредѣленія приведенной длины маятника изъ наблюдений надъ качаніями при различныхъ наклонахъ оси  $i$ .

Пусть  $l$  представляетъ собою приведенную длину маятника при наибольшемъ періодѣ колебаній.

Тогда формула (5) сохраняетъ свою силу и мы попрежнему будемъ имѣть

$$n_0^2 \cdot \frac{l}{g} = i_0.$$

Если теперь наклонъ оси увеличится на  $\Delta_1 i$ , то, согласно формулѣ (55),  $l$  увеличится на  $v \Delta_1 i$ , и тогда, вмѣсто формулы (6), мы должны написать

$$n_1^2 \cdot \frac{l + v \Delta_1 i}{g} = i_0 + \Delta_1 i$$

или

$$n_1^2 \cdot \frac{l}{g} = i_0 + \left(1 - n_1^2 \cdot \frac{v}{g}\right) \Delta_1 i.$$

Тогда, сохранивши прежнія обозначенія для  $x$  и  $y$ , мы получимъ, взамѣнъ уравненій (7), слѣдующую группу уравненій:

$$\left. \begin{array}{l} n_0^2 y - x = 0 \\ n_1^2 y - x = \left(1 - n_1^2 \cdot \frac{v}{g}\right) \Delta_1 i \\ n_2^2 y - x = \left(1 - n_2^2 \cdot \frac{v}{g}\right) \Delta_2 i \\ \vdots \\ n_s^2 y - x = \left(1 - n_s^2 \cdot \frac{v}{g}\right) \Delta_s i \end{array} \right\} \dots \dots \dots \dots \dots \dots \dots \quad (61)$$

Коэффициентъ  $v$  можно легко определить изъ наблюдений, наблюдая микроскопомъ действительное смыщеніе  $\varepsilon$  стержня маятника параллельно самому себѣ, при значительномъ измѣненіи угла наклона  $i$  (см. формулы (54) и (55)). Но можно также определить  $v$  изъ наблюдений надъ качаніями, рассматривая въ группѣ уравненій (61) количество  $\frac{v}{g}$  какъ новую неизвѣстную  $z$ . Эту группу уравненій надо также трактовать по способу наименьшихъ квадратовъ.

Мы увидимъ дальше, что отношение  $\frac{v}{g} = z$  представляетъ собою въ дѣйствительности очень малую величину.

Передъ тѣмъ, чтобы привести результаты наблюденій, произведенныхъ съ цѣлью проверить вышеизложенную теорію, разсмотримъ еще одинъ вопросъ, касающійся теоріи Цельнеровскаго подвѣса и относящейся до положенія его оси вращенія.

Самыя простыя, элементарныя соображенія указываютъ на то, что осью вращенія маятника будетъ линія, соединяющая верхнюю точку прикрепленія верхней нити съ нижней точкой прикрепленія нижней нити, т.-е. линія, соединяющая точки  $A$  и  $O$  (см. черт. 1).

Но можно еще, чисто геометрическимъ путемъ, показать, что точка пересѣченія двухъ линій, соединяющихъ соответствующіе концы нитей, т.-е. точки  $A$  и  $O$ , и  $B_1$  и  $C_1$ , остается, при вращеніи маятника, неподвижной, иначе говоря, на линіи  $AO$  лежить еще одна неподвижная точка системы  $O'$  (см. черт. 3), т.-е.  $AO$  будетъ дѣйствительной осью вращенія маятника.

Чтобы всесторонне разсмотреть теорию Цельнеровского подвъса, сдѣлаемъ еще эту провѣрку.

На следующемъ чертежѣ 3 представлена схема Цельнеровскаго подвѣса, причемъ сохранены тѣ-же обозначенія, что и на черт. 1.

Вопросъ сводится къ тому, чтобы доказать чисто геометрическимъ путемъ, что, при вращеніи маятника, точка  $O'$  остается неподвижной.

Обозначимъ уголъ, составляемый направлениемъ  $B_1C_1H_1$  съ горизонтальной линіей  $BT$ , черезъ  $\beta$ , а уголъ между  $BH$  и  $B_1H_1$  черезъ  $\alpha$ .

Тогда ясно, что

$$\alpha = \beta + \beta_1$$

или

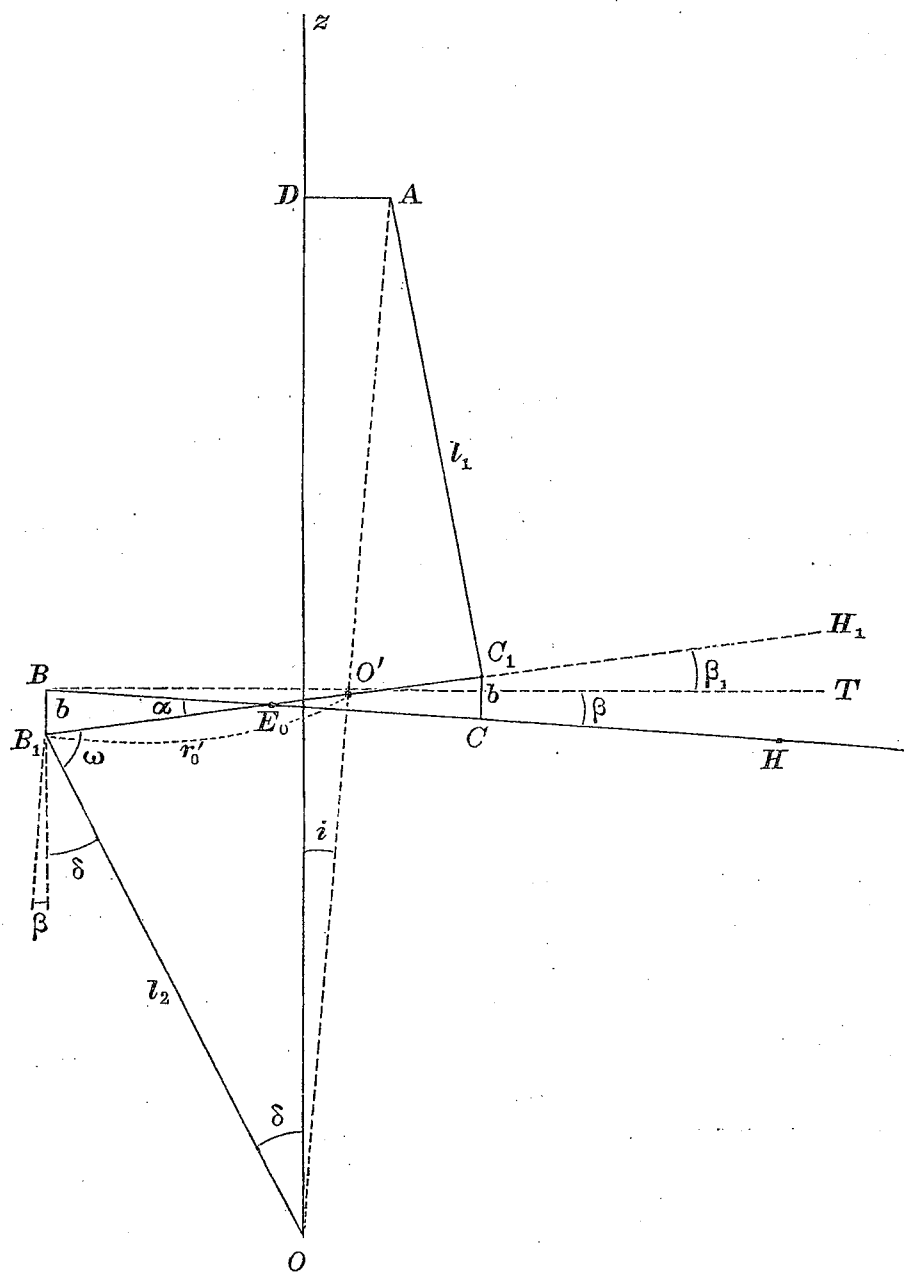
Изъ треугольниковъ  $BE_0B_1$  и  $CE_0C_1$  слѣдуетъ, что

$$BE_0 \cdot \operatorname{tg} \alpha = b \quad . \quad BE_0 \cdot \frac{1}{\cos \alpha} = B_1 E_0$$

И

$$CE_0 \cdot \operatorname{tg} \alpha = b \quad CE_0 \cdot \frac{1}{\cos \alpha} = C_1 E_0.$$

### Черт. 3.



Обозначимъ разстояніе между точками  $B_1$  и  $C_1$  черезъ  $d_1$ .

Тогда, складывая эти равенства и принимая во внимание, что, согласно предыдущимъ обозначеніямъ,

$$BE_0 + CE_0 = BC = d,$$

будемъ имѣть

И

Найдемъ еще разстояніе точки  $B_1$  до  $O'$ . Это разстояніе мы обозна-  
чимъ черезъ  $r'_0$ .

Изъ треугольника  $B_1O' O$ , въ которомъ мы угол  $OB_1O'$  обозначимъ черезъ  $\omega$ , будемъ имѣть

Но изъ черт. З легко видѣть, что

$$90^\circ - \alpha + \omega + \delta + \beta = 180^\circ$$

или

$$\omega + \delta + i = (90^\circ + \alpha) - (\beta - i).$$

Следовательно,

$$\sin(\omega + \delta + i) = \cos \alpha \cos(\beta - i) + \sin \alpha \sin(\beta - i),$$

или, отбрасывая члены высшихъ порядковъ и принимая во вниманіе соотношеніе (63),

$$\sin(\omega + \delta + i) = \cos \alpha \left[ 1 + (\beta - i) \frac{2b}{d} \right].$$

Подставляя это выражение въ формулу (65), мы получимъ, окончательно,

$$r_0' = l_2 \frac{\sin(\delta + i)}{\cos \alpha} \left[ 1 - (\beta - i) \frac{2b}{d} \right]. \dots \dots \dots \quad (66)$$

Выражение для  $\sin(\delta + i)$  мы разлагать не будемъ, такъ какъ это для нашей цѣли излишне.

Установивши эти соотношения, приступимъ къ решеню поставленной задачи.

Возьмемъ прямоугольную систему координатныхъ осей и проведемъ плоскость  $zx$  черезъ положение стержня маятника при равновѣсіи.

Эти оси представлены на следующемъ черт. 4, гдѣ опять таки сохранены предыдущія обозначенія.

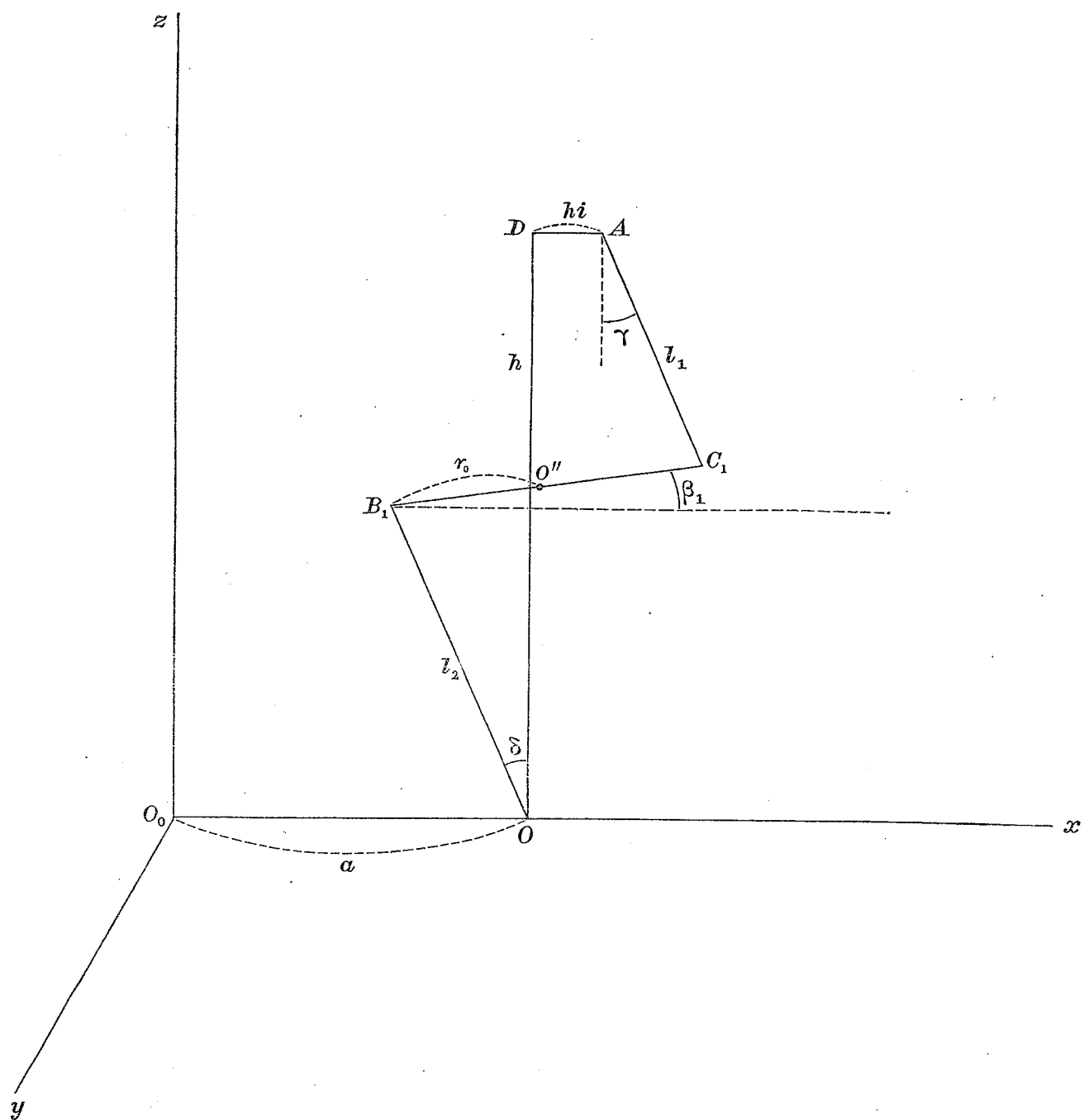
Обозначимъ координаты точекъ  $C_1$  и  $B_1$ , при равновѣсіи маятника, соотвѣтственно черезъ

$$x_1, y_1, z_1$$

II

$$x_2, y_2, z_3.$$

Черт. 4.



На линії  $B_1 C_1$  должна лежать *какая-то точка*  $O''$ , которая, при вращеніі маятника, остается неподвижной. Обозначимъ разстояніе точки  $O''$  до  $B_1$  черезъ  $r_0$ .

Тогда

$$B_1 O'' = r_0,$$

и

$$C_1 O'' = d_1 - r_0.$$

Координаты точки  $O''$  пусть будуть  $x_0, y_0, z_0$ .

Весь вопрос сводится къ тому, чтобы опредѣлить разстояніе  $r_0$  этой неподвижной точки  $O''$  до  $B_1$ .

На основаніи этихъ обозначеній мы будемъ имѣть

$$\left. \begin{array}{l} x_1 = x_0 + (d_1 - r_0) \cos \beta_1 \\ y_1 = y_0 = 0 \\ z_1 = z_0 + (d_1 - r_0) \sin \beta_1 \end{array} \right\} \dots \dots \dots \quad (67)$$

и

$$\left. \begin{array}{l} x_2 = x_0 - r_0 \cos \beta_1 \\ y_2 = y_0 = 0 \\ z_2 = z_0 - r_0 \sin \beta_1 \end{array} \right\} \dots \dots \dots \quad (68)$$

Предположимъ теперь, что маятникъ отклоненъ немнogo отъ своего положенія равновѣсія.

Тогда новыя координаты точекъ  $C_1$  и  $B_1$  мы можемъ положить со-  
отвѣтственно равными

$$x_1 + \xi_1$$

$$y_1 + \eta_1$$

$$z_1 + \zeta_1$$

и

$$x_2 + \xi_2$$

$$y_2 + \eta_2$$

$$z_2 + \zeta_2.$$

Пусть новое направленіе линіи  $B_1 C_1$  составляетъ съ осями координатъ углы  $\lambda, \mu$  и  $\nu$ .

Тогда

$$\cos \lambda = \frac{(x_1 - x_2) + (\xi_1 - \xi_2)}{d_1}$$

$$\cos \mu = \frac{(y_1 - y_2) + (\eta_1 - \eta_2)}{d_1}$$

$$\cos \nu = \frac{(z_1 - z_2) + (\zeta_1 - \zeta_2)}{d_1}$$

или, на основанії соотношеній (67) и (68),

$$\left. \begin{array}{l} \cos \lambda = \frac{d_1 \cos \beta_1 + (\xi_1 - \xi_2)}{d_1} \\ \cos \mu = \frac{\eta_1 - \eta_2}{d_1} \\ \cos \nu = \frac{d_1 \sin \beta_1 + (\zeta_1 - \zeta_2)}{d_1} \end{array} \right\} \dots \dots \dots \dots \dots \dots \dots \quad (69)$$

Кромѣ того,

$$x_1 + \xi_1 = x_0 + (d_1 - r_0) \cos \lambda$$

$$y_1 + \eta_1 = y_0 + (d_1 - r_0) \cos \mu$$

$$z_1 + \zeta_1 = z_0 + (d_1 - r_0) \cos \nu$$

и

$$x_2 + \xi_2 = x_0 - r_0 \cos \lambda$$

$$y_2 + \eta_2 = y_0 - r_0 \cos \mu$$

$$z_2 + \zeta_2 = z_0 - r_0 \cos \nu.$$

Подставляя сюда значенія  $\cos \lambda$ ,  $\cos \mu$  и  $\cos \nu$  изъ формуль (69) и при-  
нимая еще во вниманіе соотношенія (67) и (68), будемъ имѣть

$$\left. \begin{array}{l} (d_1 - r_0) \cos \beta_1 + \xi_1 = (d_1 - r_0) \frac{d_1 \cos \beta_1 + (\xi_1 - \xi_2)}{d_1} \\ \eta_1 = (d_1 - r_0) \frac{\eta_1 - \eta_2}{d_1} \\ (d_1 - r_0) \sin \beta_1 + \zeta_1 = (d_1 - r_0) \frac{d_1 \sin \beta_1 + (\zeta_1 - \zeta_2)}{d_1} \end{array} \right\} \dots \dots \dots \dots \dots \dots \quad (70)$$

и

$$\left. \begin{array}{l} -r_0 \cos \beta_1 + \xi_2 = -r_0 \frac{d_1 \cos \beta_1 + (\xi_1 - \xi_2)}{d_1} \\ \eta_2 = -r_0 \frac{\eta_1 - \eta_2}{d_1} \\ -r_0 \sin \beta_1 + \zeta_2 = -r_0 \frac{d_1 \sin \beta_1 + (\zeta_1 - \zeta_2)}{d_1} \end{array} \right\} \dots \dots \dots \dots \dots \dots \quad (71)$$

Изъ уравненій (70) и (71) получаются непосредственно слѣдующія соотношенія:

$$\left. \begin{array}{l} \xi_2 = -\frac{r_0}{d_1 - r_0} \xi_1 \\ \eta_2 = -\frac{r_0}{d_1 - r_0} \eta_1 \\ \zeta_2 = -\frac{r_0}{d_1 - r_0} \zeta_1 \end{array} \right\} \dots \dots \dots \dots \dots \dots \quad (72)$$

Эти последние формулы очевидны сами собою, если точка  $O''$ , при вращении системы, остается неподвижной.

Выразимъ теперь геометрическое условіе, что разстояніе между точками  $B_1$  и  $C_1$  остается неизмѣннымъ ( $d_1$ ).

Тогда мы будемъ имѣть

$$\{(x_1 - x_2) + (\xi_1 - \xi_2)\}^2 + \{(y_1 - y_2) + (\eta_1 - \eta_2)\}^2 + \{(z_1 - z_2) + (\zeta_1 - \zeta_2)\}^2 = d_1^2,$$

или, принимая во вниманіе соотношенія (67), (68) и (72),

$$\left\{d_1 \cos \beta_1 + \frac{d_1}{d_1 - r_0} \xi_1\right\}^2 + \left\{\frac{d_1}{d_1 - r_0} \eta_1\right\}^2 + \left\{d_1 \sin \beta_1 + \frac{d_1}{d_1 - r_0} \zeta_1\right\}^2 = d_1^2.$$

Раздѣливъ это уравненіе на  $d_1^2$  и раскрывъ скобки, получимъ

$$\frac{2}{d_1 - r_0} \{\cos \beta_1 \cdot \xi_1 + \sin \beta_1 \cdot \zeta_1\} + \frac{1}{(d_1 - r_0)^2} \{\xi_1^2 + \eta_1^2 + \zeta_1^2\} = 0$$

или, окончательно,

$$2(d_1 - r_0) \{\cos \beta_1 \cdot \xi_1 + \sin \beta_1 \cdot \zeta_1\} + \xi_1^2 + \eta_1^2 + \zeta_1^2 = 0. \dots . (73)$$

Выразимъ теперь второе геометрическое условіе, что разстояніе между точками  $C_1$  и  $A$  остается неизмѣннымъ ( $l_1$ ).

Координаты точки  $A$  суть

$$a - hi$$

$$0$$

$$0D = h.$$

Слѣдовательно,

$$\{x_1 - \xi_1 - a - hi\}^2 + \{y_1 - \eta_1\}^2 + \{z_1 - \zeta_1 - h\}^2 = l_1^2$$

или (см. черт. 4)

$$\{l_1 \sin \gamma - \xi_1\}^2 + \eta_1^2 + \{-l_1 \cos \gamma - \zeta_1\}^2 = l_1^2.$$

Отсюда слѣдуетъ, что

$$2l_1 \{\sin \gamma \cdot \xi_1 - \cos \gamma \cdot \zeta_1\} + \xi_1^2 + \eta_1^2 + \zeta_1^2 = 0. \dots . (74)$$

Выразимъ теперь третье геометрическое условіе, что разстояніе между точками  $B_1$  и  $O$  остается неизмѣннымъ ( $l_2$ ).

Координаты точки  $O$  суть  $a, 0, 0$ .

Слѣдовательно,

$$\{x_2 + \xi_2 - a\}^2 + \{y_2 + \eta_2\}^2 + \{z_2 + \zeta_2\}^2 = l_2^2$$

или

$$\{-l_2 \sin \delta + \xi_2\}^2 + \eta_2^2 + \{l_2 \cos \delta + \zeta_2\}^2 = l_2^2.$$

Подставляя сюда значения  $\xi_2, \eta_2$  и  $\zeta_2$  изъ формулъ (72), будемъ имѣть

$$2l_2 \cdot \frac{r_0}{d_1 - r_0} \{\sin \delta \cdot \xi_1 - \cos \delta \cdot \zeta_1\} + \frac{r_0^2}{(d_1 - r_0)^2} \{\xi_1^2 + \eta_1^2 + \zeta_1^2\} = 0$$

или, окончательно,

$$2l_2 \cdot \frac{d_1 - r_0}{r_0} \{\sin \delta \cdot \xi_1 - \cos \delta \cdot \zeta_1\} + \xi_1^2 + \eta_1^2 + \zeta_1^2 = 0 \dots \dots \dots (75)$$

Мы выразили, такимъ образомъ, три нашихъ геометрическихъ условія.

Вычитая поочередно уравненія (74) и (75) изъ уравненія (73), мы получимъ слѣдующія два соотношенія:

$$(d_1 - r_0) \{\cos \beta_1 \cdot \xi_1 + \sin \beta_1 \cdot \zeta_1\} = l_1 \{\sin \gamma \cdot \xi_1 - \cos \gamma \cdot \zeta_1\}$$

и

$$(d_1 - r_0) \{\cos \beta_1 \cdot \xi_1 + \sin \beta_1 \cdot \zeta_1\} = l_2 \frac{d_1 - r_0}{r_0} \{\sin \delta \cdot \xi_1 - \cos \delta \cdot \zeta_1\}.$$

Введемъ теперь такое обозначеніе

$$u = \frac{\xi_1}{\zeta_1}.$$

Тогда мы будемъ имѣть

$$(d_1 - r_0) \{\cos \beta_1 \cdot u + \sin \beta_1\} = l_1 \{\sin \gamma \cdot u - \cos \gamma\} \dots \dots \dots (76)$$

и

$$r_0 \{\cos \beta_1 \cdot u + \sin \beta_1\} = l_2 \{\sin \delta \cdot u - \cos \delta\}. \dots \dots \dots (77)$$

Исключивъ изъ этихъ двухъ уравненій  $u$ , мы получимъ одно уравненіе, которое и послужитъ намъ для опредѣленія искомаго разстоянія  $r_0$  неподвижной точки  $O''$  отъ точки  $B_1$ .

Изъ уравненій (76) и (77) мы находимъ

$$\{(d_1 - r_0) \cos \beta_1 - l_1 \sin \gamma\} u = - \{(d_1 - r_0) \sin \beta_1 + l_1 \cos \gamma\}$$

и

$$\{r_0 \cos \beta_1 - l_2 \sin \delta\} u = - \{r_0 \sin \beta_1 + l_2 \cos \delta\}.$$

Раздѣливъ одно уравненіе на другое, получимъ

$$\begin{aligned} & \{(d_1 - r_0) \cos \beta_1 - l_1 \sin \gamma\} \{r_0 \sin \beta_1 + l_2 \cos \delta\} \\ & = \{(d_1 - r_0) \sin \beta_1 + l_1 \cos \gamma\} \{r_0 \cos \beta_1 - l_2 \sin \delta\} \\ \text{или} \\ & l_1 r_0 \cos(\gamma - \beta_1) - l_2(d_1 - r_0) \cos(\delta - \beta_1) - l_1 l_2 \sin(\delta - \gamma) = 0. \end{aligned}$$

Отсюда находимъ слѣдующее окончательное выражение для  $r_0$ :

$$r_0 = l_2 \cdot \frac{d_1 \cos(\delta - \beta_1) + l_1 \sin(\delta - \gamma)}{l_1 \cos(\gamma - \beta_1) + l_2 \cos(\delta - \beta_1)}. \dots \dots \dots \quad (78)$$

Эту формулу легко преобразовать, принимая во вниманіе соотношенія (19) и (20).

Знаменатель въ формулѣ (78) можно представить въ слѣдующемъ видѣ:

$$\begin{aligned} & \{l_1 \cos \gamma + l_2 \cos \delta\} \cos \beta_1 + \{l_1 \sin \gamma + l_2 \sin \delta\} \sin \beta_1 \\ & = \{h - 2b + d \cdot \beta\} \cos \beta_1 + \{d + 2b \cdot \beta - hi\} \sin \beta_1 \dots \dots \quad (79) \end{aligned}$$

Но изъ формулъ (62) и (63) слѣдуетъ, отбрасывая члены высшихъ порядковъ,

$$\cos \beta_1 = \cos \alpha \cos \beta + \sin \alpha \sin \beta = \cos \alpha \left\{ \cos \beta + \frac{2b}{d} \cdot \sin \beta \right\} = \cos \alpha \left\{ 1 + \frac{2b}{d} \cdot \beta \right\} \dots \dots \quad (80)$$

и

$$\sin \beta_1 = \sin \alpha \cos \beta - \cos \alpha \sin \beta = \cos \alpha \left\{ \frac{2b}{d} \cdot \cos \beta - \sin \beta \right\} = \cos \alpha \left\{ \frac{2b}{d} - \beta \right\} \dots \dots \quad (81)$$

Подставимъ эти выраженія въ формулу (79) и отбросимъ опять члены высшихъ порядковъ.

Тогда мы будемъ имѣть

$$\begin{aligned} & l_1 \cos(\gamma - \beta_1) + l_2 \cos(\delta - \beta_1) = \cos \alpha \left[ \{h - 2b + d \cdot \beta\} \left\{ 1 + \frac{2b}{d} \cdot \beta \right\} \right. \\ & \quad \left. + \{d + 2b \cdot \beta - hi\} \left\{ \frac{2b}{d} - \beta \right\} \right] \\ & = \cos \alpha \left[ h - 2b + d \cdot \beta + h \cdot \frac{2b}{d} \cdot \beta - \frac{4b^2}{d} \beta + 2b + \frac{4b^2}{d} \cdot \beta - h \frac{2b}{d} \cdot i - d \cdot \beta \right] \\ & = h \cos \alpha \left[ 1 + \frac{2b}{d} (\beta - i) \right]. \dots \dots \dots \dots \dots \dots \dots \quad (82) \end{aligned}$$

Таково выражение знаменателя въ формулы (78).

Обратимся теперь къ числителю.

Преобразуемъ первую его слагающую.

$$d_1 \cos(\delta - \beta_1) = d_1 \{ \cos \delta \cos \beta_1 + \sin \delta \sin \beta_1 \}.$$

Подставляя сюда значения  $\cos \beta_1$  и  $\sin \beta_1$  изъ формулъ (80) и (81) и принимая во вниманіе соотношеніе (64), будемъ имѣть

$$\begin{aligned} d_1 \cos(\delta - \beta_1) &= \frac{d}{\cos \alpha} \cdot \left[ \cos \delta \cos \alpha \left\{ 1 + \frac{2b}{d} \cdot \beta \right\} + \sin \delta \cos \alpha \left\{ \frac{2b}{d} - \beta \right\} \right] \\ &= (d + 2b \cdot \beta) \cos \delta + (2b - d \cdot \beta) \sin \delta. \end{aligned}$$

Но изъ формулъ (19) и (20) слѣдуетъ, что

$$2b - d \cdot \beta = h - \{ l_1 \cos \gamma + l_2 \cos \delta \}$$

и

$$d + 2b \cdot \beta = hi + \{ l_1 \sin \gamma + l_2 \sin \delta \}.$$

Подставляя эти выраженія въ предыдущую формулу, будемъ имѣть

$$\begin{aligned} d_1 \cos(\delta - \beta_1) &= \{ l_1 \sin \gamma + l_2 \sin \delta \} \cos \delta + hi \cos \delta \\ &\quad - \{ l_1 \cos \gamma + l_2 \cos \delta \} \sin \delta + h \sin \delta \\ &= -l_1 \sin(\delta - \gamma) + h(\sin \delta + i \cos \delta) \end{aligned}$$

или

$$d_1 \cos(\delta - \beta_1) + l_1 \sin(\delta - \gamma) = h \sin(\delta + i). \dots \dots \dots \quad (83)$$

Таково выраженіе для числителя въ формулы (78).

Подставляя теперь въ формулу (78) найденные выраженія изъ формулъ (82) и (83), получимъ

$$r_0 = l_2 \frac{\sin(\delta + i)}{\cos \alpha \left[ 1 + \frac{2b}{d}(\beta - i) \right]}$$

или, окончательно,

$$r_0 = \frac{l_2 \sin(\delta + i)}{\cos \alpha} \left[ 1 - \frac{2b}{d}(\beta - i) \right] \dots \dots \dots \quad (84)$$

Таково разстояніе неподвижной точки  $O''$  до точки  $B_1$ .

Сравнивая это выраженіе съ формулой (66) (см. также черт. 3), мы видимъ, что

$$r_0 = r'_0,$$

т.-е., что неподвижная точка  $O''$  совпадает съ точкой  $O'$  на черт. 3, т.-е. она лежитъ на линіи  $AO$ , соединяющей неподвижные концы нитей.

Такимъ образомъ, линія  $AO$  дѣйствительно представляетъ собою ось вращенія маятника.

Послѣ этого небольшого отступленія вернемся опять къ вопросу объ опредѣленіи приведенной длины горизонтальнаго маятника съ Цельнеровскимъ подвѣсомъ.

Въ цѣляхъ экспериментальной проверки ранѣе изложенной теоріи, я произвелъ, совмѣстно съ моимъ ассистентомъ И. И. Вилипомъ, рядъ возможно тщательныхъ наблюденій надъ periodами качаній горизонтальнаго маятника № V при различныхъ наклонахъ оси вращенія  $i$ .

Наблюденія велись въ одномъ изъ помѣщеній новой Пулковской сейсмической станціи, гдѣ условія для подобныхъ работъ особенно благопріятны.

Въ слѣдующей таблицѣ приведены результаты этихъ наблюденій, причемъ здѣсь сохранены тѣ обозначенія, которыя приведены въ началѣ этой статьи ( $k$  есть нѣкоторый порядковый номеръ).

$k$	$T'$	$\Lambda$	$h$
0	31,607	0,0081	— 0,1 $\frac{m}{m}$ ( $h_0$ )
1	27,470	0,0060	+ 2,05
2	23,136	0,0038	+ 5,3
3	19,209	—	+ 10,65
4	15,310	—	+ 20,18
5	11,555	—	+ 40,25
6	7,668	—	+ 99,85

Разстояніе неподвижного зеркала у маятника до вертикальной шкалы  $D = 6408 \frac{m}{m}$ .

Ускореніе силы тяжести въ Пулковѣ  $g = 9818,7 \frac{m/m}{сек^2}$ .

Вліяніе декремента на periodъ сказывается только при первомъ, наибольшемъ periodѣ и тогда эта поправка на декрементъ составляетъ всего только 0,001 с.

Магниты для затуханія были раздвинуты и полюсы каждого изъ нихъ соединены между собою желѣзными планками.

Такимъ образомъ, первый собственный periodъ колебаній маятника, освобожденный отъ вліянія затуханія, а именно

$$T = \frac{2\pi}{n},$$

будеть равенъ  $31^{\circ}606$ ; во всѣхъ же прочихъ случаяхъ, съ точностью до 0,001 секунды,  $T = T'$ .

Съ этими данными получились слѣдующія значенія коефиціентовъ  $n_k^2$  и  $\Delta_k i$ , входящихъ въ группу формулъ (7).

Къ нимъ прибавлены еще значенія  $n_k^2 \cdot \Delta_k i$ , примѣнительно къ дополненнымъ уравненіямъ (61).

$k$	$n^2$	$\Delta i$	$n^2 \cdot \Delta i$
0	0,039520	0	0
1	0,052317	0,00016776	0,000008777
2	0,073753	0,00042135	0,000031076
3	0,10699	0,00083880	0,000089743
4	0,16842	0,0015824	0,00026651
5	0,29568	0,0031484	0,00093092
6	0,67143	0,0077988	0,0052364

Чтобы измѣрить дѣйствительное смыщеніе  $\epsilon$  стержня маятника при увеличеніи наклона  $i$ , на мѣдной пластинкѣ, связанной со стержнемъ маятника и служащей обыкновенно для затуханія прибора, и на соседнемъ магнитѣ были нанесены марки.

При помощи микроскопа съ горизонтальной осью, который могъ перемѣщаться вправо и влѣво по линейкѣ, раздѣленной на миллиметры и снабженной индикаторомъ, какъ у компаратора, можно было измѣрить относительное смыщеніе  $\epsilon$  стержня маятника по отношенію къ штативу прибора.

При этомъ оказалось, что, при измѣненіи периода колебаній маятника  $T$  отъ  $31^{\circ}606$  до  $7^{\circ}668$ , что соответствуетъ увеличенію угла наклона  $\Delta i = 0,0077988 = 0^{\circ}26'48''$ , стержень маятника подался впередъ на  $1,1 \text{ mm}$ .

Такимъ образомъ, непосредственныя наблюденія дали

$$\epsilon = 1,1 \text{ mm}.$$

Эта величина, хотя и очень незначительная, но она тѣмъ не менѣе показываетъ, что горизонтальный маятникъ съ Цельнеровскимъ подвѣсомъ нельзя рассматривать, какъ абсолютно твердую систему, и что приведенная длина маятника  $l$  нѣсколько увеличивается вмѣсть съ увеличеніемъ наклона оси вращенія прибора.

Чтобы проверить ранее изложенную теорию, специально, чтобы проверить справедливость формулы (51), дающую теоретическую величину  $\epsilon$ , у данного маятника штангенциркулемъ были измѣрены длины отдельныхъ его составныхъ частей.

При наибольшемъ періодѣ колебаній, стержень маятника былъ достаточно горизонталенъ и соответственно этому было принято  $\beta = 0$ .

Результатомъ этихъ измѣреній и нѣкоторыхъ простыхъ вычислений, получились слѣдующія данныя (см. предыдущія обозначенія и черт. 1):

$$\begin{aligned}d &= 107,7 \text{ м.} \\h &= 597 \\m &= 54,8 \\c &= 30,8 \\b &= 17 \\l_1 &= 271 \\l_2 &= 291 \\l_0 = HO_1 &= 80,2 \\ \beta &= 0 \\P &= 0 \\ \gamma &= 5^{\circ}20' \\ \delta &= 16^{\circ}24' \\ p &= 0,4656. \quad (\text{см. формулу (26)})\end{aligned}$$

Съ этими данными получились слѣдующія значенія различныхъ величинъ, входящихъ въ предыдущія формулы:

$$Q = -0,08593 \quad (\text{см. формулу (31)})$$

$$\left. \begin{array}{l} A = -17,72 \\ B = +5,712 \end{array} \right\} \quad (\text{см. формулы (42) и (35)})$$

$$\partial\gamma = -0,542 \cdot \partial i \quad (\text{см. формулу (48)})$$

$$\partial\delta = -1,463 \cdot \partial i \quad (\text{см. формулу (49)})$$

$$\partial\beta = +1,243 \cdot \partial i \quad (\text{см. формулу (50)}).$$

Мы видѣли раньше (см. соотношения (34)), что, если нашъ маятникъ представлялъ бы собою твердую систему, то мы должны были бы всегда имѣть

$$\partial\beta = \partial i$$

И

$$\partial\gamma = \partial\delta = -\partial i,$$

т.-е. численное значение коэффициентов при  $\partial^i$  въ только что приведенныхъ выраженияхъ должно было бы быть всегда равно 1. На самомъ-же дѣлѣ это не соотвѣтствуетъ дѣйствительности, и измѣненіе  $\gamma$  меныше, а измѣненіе  $\delta$  и  $\beta$  больше, чѣмъ  $\partial^i$ .

Другими словами, при увеличении наклона оси вращения  $i$ , относительное положение стержня маятника и штатива не остается неизменнымъ, а самъ стержень подается немного впередъ, даже въ предположеній, что проволоки, на которыхъ подвѣщенъ маятникъ, совершенно нерастяжимы.

Величина смещения стержня  $\epsilon$  определяется формулой (51).

Подставивъ предыдущія числа, получимъ

гдѣ є выражено въ миллиметрахъ, а *di* въ абсолютной мѣрѣ.

Для  $d\epsilon = 0,0077988$ , что соответствует изменению собственного периода маятника  $T$  от 31<sup>6</sup>606 до 7<sup>6</sup>668, получается

$$\varepsilon = 1,04^{\text{m}}/\text{m}.$$

Непосредственныя-же измѣрения, какъ мы видѣли, дали

$$\varepsilon = 1,1^{\text{m}}/\text{m}.$$

Разница между этими числами менѣе  $0,1^{\text{м}}/\text{м}$ , что несомнѣнно находится въ предѣлахъ возможныхъ ошибокъ наблюденій и измѣреній.

Мы можемъ поэтому принять, что вышеизложенная теорія вполнѣ оправдывается непосредственными наблюденіями.

Посмотримъ теперь, какъ отразится такое смыщеніе стержня маятника на величинѣ приведенной длины маятника  $l$ .

Возьмемъ для этого не вычисленную, а дѣйствительно наблюденную величину .

$$\varepsilon = 1, 1^{\text{m}}/\text{m}.$$

Тогда, вместо формулы (85), мы будемъ имѣть

$$\varepsilon = 141 \partial i \dots \dots \dots \quad (86)$$

Съ другой стороны, формула (54) даетъ намъ

$$\partial l = \varepsilon \left( 2 - \frac{l}{l_0} \right);$$

следовательно, на основаніи соотношенія (86),

$$\partial l = 141 \left( 2 - \frac{l}{l_0} \right) \cdot \partial i.$$

При періодѣ маятника  $T = 31^{\circ}606$ , какъ мы увидимъ дальше,  $l = 120,5 \text{ м}$ ; а, такъ какъ разстояніе центра тяжести до оси вращенія  $l_0$  равно  $80,2 \text{ м}$ , то мы будемъ имѣть

$$\partial l = v \partial i, \quad (\text{см. формулу (55)})$$

гдѣ

$$v = 70,2.$$

Такимъ образомъ, мы получимъ съ округленiemъ

$$z = \frac{v}{g} = 0,0072.$$

Вводя теперь поправку на  $z$  въ уравненія (61), мы, на основаніи наблюденныхъ величинъ  $n^2$  и  $\Delta i$ , получимъ слѣдующую группу уравненій:

$k$	
0	$0,039520 y - x = 0$
1	$0,052317 y - x = 0,00016770$
2	$0,073753 y - x = 0,00042113$
3	$0,10699 y - x = 0,00083815$
4	$0,16842 y - x = 0,0015805$
5	$0,29568 y - x = 0,0031417$
6	$0,67143 y - x = 0,0077611$

} . . . . . (87)

Здѣсь

$$y = \frac{l}{g} \quad \text{и} \quad x = i_0.$$

$\ell$  представляет собою приведенную длину маятника при первомъ, наибольшемъ періодѣ ( $T = 31^{\circ}606$ ), а  $i_0$  соотвѣтствующій уголъ наклона оси вращенія.

Рѣшая группу уравненій (87) по способу наименьшихъ квадратовъ, получимъ

$$l = 120,5 \text{ m/m}$$

K

$$i_0 = 0^\circ 1' 39'' 3.$$

Вычислимъ теперь величины измѣненія  $l$ , а именно  $\delta l$ , а также величины угла  $i$ , для нѣкоторыхъ другихъ періодовъ маятника  $T$ .

На основании формулъ (6) и (55) мы будемъ имѣть, принимая еще во вниманіе, что  $n = \frac{2\pi}{\pi}$ ,

$$\frac{4\pi^2}{T^2} \cdot \frac{l + v \partial i}{a} = i_0 + \partial i$$

ИДЕИ

По этой формуле мы, для каждого заданного  $T$ , можемъ найти соотвѣтствующую величину  $di$ , а затѣмъ уже, по формуле (55), зная величину  $v$ , пайдемъ и соотвѣтствующую величину  $dl$ .

Произведя вычисления, мы получимъ рядъ данныхъ, сгруппированныхъ въ слѣдующей табличкѣ:

<i>T</i>	<i>l</i>	<i>dl</i>	<i>i</i>
31°606	120,50 $\text{m}/\text{m}$	+ 0,00 $\text{m}/\text{m}$	0° 1' 39,3
30	120,50	0,00	0 1 51,0
25	120,52	0,02	0 2 39,9
20	120,55	0,05	0 4 10,0
15	120,62	0,12	0 7 24,6
10	120,81	0,31	0 16 42,0
5	121,84	1,34	1 7 22,3

Эта таблица показываетъ намъ, что измѣненіе приведенной длины ма-  
ятника при Цельнеровскомъ подвѣсъ въ дѣйствительности очень незначи-  
тельно, причемъ оно становится ощутительнымъ только при переходѣ къ

сравнительно короткимъ периодамъ. Тѣмъ не менѣе, при особо точныхъ изслѣдованіяхъ съ горизонтальнымъ маятникомъ, слѣдуетъ несомнѣнно считаться съ вышеуказаннымъ измѣненіемъ его приведенной длины  $l$ .

При предыдущихъ вычисленихъ мы положили въ основаніе величину непосредственно измѣренаго смыщенія стержня  $\epsilon$ , откуда и вывели величину коеффиціента  $z = \frac{v}{g}$ .

Но можно, съ достаточной для практической сейсмометріи точностью, получить величину  $z$  непосредственно изъ наблюденій надъ периодомъ качаній маятника  $T$  при различныхъ углахъ наклона  $i$ .

Тогда въ группѣ уравненій (61) надо уже разматривать величину  $z = \frac{v}{g}$ , какъ новую, третью неизвѣстную.

Тогда, на основаніи наблюденнаго цифрового матеріала, мы получимъ слѣдующую группу уравненій съ тремя неизвѣстными:

$k$	$T$	
0	31,606	$0,039520 y - x = 0$
1	27,470	$0,052317 y - x + 0,000008777 z = 0,00016776$
2	23,136	$0,073753 y - x + 0,000031076 z = 0,00042135$
3	19,209	$0,10699 y - x + 0,000089743 z = 0,00083880$
4	15,310	$0,16842 y - x + 0,00026651 z = 0,0015824$
5	11,555	$0,29568 y - x + 0,00093092 z = 0,0031484$
6	7,668	$0,67143 y - x + 0,0052364 z = 0,0077988$

Группу уравненій (89) можно трактовать различнымъ образомъ.

Первое уравненіе, при  $k = 0$ , нужно для исключенія неизвѣстной  $x$ .

Изъ другихъ уравненій наибольшимъ вѣсомъ обладаютъ послѣднія уравненія.

Можно, напримѣръ, комбинировать три уравненія, для  $k = 0$ ,  $k = 5$  и  $k = 6$ , и изъ нихъ опредѣлить все три неизвѣстныхъ  $y$ ,  $x$  и  $z$ .

Произведя вычислениа, получимъ:

$$l = 120,3 \text{ м}$$

$$i_0 = 0^\circ 1' 39'' 9$$

и

$$z = 0,011.$$

$l$  и  $i_0$  чрезвычайно мало отличаются отъ ранѣе приведенныхъ чиселъ ( $l = 120,5^{\text{m/m}}$  и  $i_0 = 0^\circ 1' 39''$ ).

$z$  получилось нѣсколько больше, но это обстоятельство не имѣеть существенного значенія, такъ какъ нѣкоторая неточность въ величинѣ  $z$  мало отражается на вычисляемыхъ величинахъ  $l$  и  $i_0$ .

Если-же трактовать всю группу уравненій (89) по способу наименьшихъ квадратовъ, то получается

$$l = 120,3^{\text{m/m}}$$

$$i_0 = 0^\circ 1' 38''$$

и

$$z = 0,010.$$

$l$  получилось то-же самое, а  $i_0$  на  $1''$  менѣше.

Изъ этого видно, что промежуточныя уравненія, отъ  $k = 1$  до  $k = 4$ , благодаря ихъ незначительному вѣсу, мало вліяютъ на результатъ вычислений.

Если-бы мы пренебрѣгли въ уравненіяхъ (89) поправкой на  $z$ , то, решая всю систему по способу наименьшихъ квадратовъ, получили-бы

$$l = 121,1^{\text{m/m}}$$

и

$$i_0 = 0^\circ 1' 40''$$

Въ этомъ случаѣ  $l$  получается на цѣлыхъ  $0,8^{\text{m/m}}$  больше. Изъ этого видно, что, при точныхъ изслѣдованіяхъ, поправкой на  $z$  пренебрѣгать нельзя.

Отбросивъ теперь послѣднее уравненіе для  $k = 6$  и решая остальныя по способу наименьшихъ квадратовъ, получимъ

$$l = 120,5^{\text{m/m}}$$

$$i_0 = 0^\circ 1' 39''$$

и

$$z < 0,005.$$

Опредѣленіе *точной* величины  $z$  изъ группы уравненій (89) недостижимо, такъ какъ вычисленія показываютъ, что, при полной даже тщательности самихъ наблюденій, возможная ошибка въ опредѣляемой величинѣ  $z$  достигаетъ какъ разъ  $0,005$ . Это обстоятельство, какъ раньше было ука-

зано, не имѣть существенного значенія, такъ какъ такая ошибка въ  $z$  очень мало отражается на вычисляемыхъ величинахъ  $l$  и  $i_0$ .

Можно, слѣдовательно, считать, что разницы между величинами  $z$ , получеными изъ уравненій (89), и непосредственно измѣреннымъ числомъ  $z = 0,007$  заключены въ предѣлахъ возможныхъ ошибокъ наблюденій.

Далѣе, если вычислять  $l$ ,  $i$  и  $z$  еще изъ меньшаго числа уравненій, напр., отбросивъ уравненія для  $k = 5$  и  $k = 6$ , то получаются уже совершенно ненадежныя числа, что понятно и само собою, такъ какъ вообще, чѣмъ меньше periodъ  $T$ , тѣмъ больше будетъ вѣсъ соотвѣтственнаго уравненія.

Такимъ образомъ, промежуточныя уравненія отъ  $k = 1$  до  $k = 4$  не имѣютъ на самомъ дѣлѣ никакого значенія и являются, слѣдовательно, излишними.

Изъ этого вытекаетъ слѣдующее практическое правило для опредѣленія приведенной длины маятника  $l$ .

*Надо производить наблюденія при одномъ очень длинномъ, исходномъ periodѣ въ 30—35 секундъ и замѣтъ еще два наблюденія при сравнительно короткихъ periodахъ въ 11—12 и 7—8 секундъ.*

Этихъ данныхъ совершенно достаточно, чтобы опредѣлить поправку на  $z$  и получить весьма надежную величину приведенной длины маятника  $l$  (при наиболѣшемъ periodѣ) и угла наклона оси вращенія  $i_0$ . Всѣ промежуточные periodы отъ 30 до 12 секундъ можно отбросить, такъ какъ они не содѣйствуютъ въ сколько-нибудь значительной мѣрѣ улучшению результата вычислений.

Этимъ вопросъ о точномъ опредѣленіи приведенной длины маятника  $l$  значительно упрощается.

Можно, конечно, также опредѣлить величину  $z$  изъ непосредственно измѣренного смещения стержня  $\epsilon$ , какъ то раньше было указано, и тогда уже достаточно двухъ наблюденій, одного при большомъ, а другого при маломъ periodѣ.

Когда  $l$  для исходнаго periodа разъ опредѣлено, то, примѣня горизонтальный маятникъ при какомъ-нибудь другомъ periodѣ, надо, конечно, всегда брать ту величину  $l$ , которая соотвѣтствуетъ именно этому periodу. Приведеніе на соотвѣтствующую величину  $d\epsilon$  производится легко по формулы (55).

Итакъ, настоящее изслѣдованіе устанавливаетъ несомнѣннымъ образомъ тотъ фактъ, что приведенная длина горизонтальнаго маятника съ Цельнеровскимъ подѣломъ не есть строго постоянная величина, а она мѣняется пѣсколько съ измѣненіемъ наклона оси вращенія маятника. При точныхъ изслѣдованіяхъ это обстоятельство надо, конечно, учитывать.

Однако, это изменение  $l$ , если только не переходить къ очень короткимъ периодамъ, на самомъ дѣлѣ такъ мало, что этимъ никакимъ образомъ нельзя объяснить упоминавшіяся въ началѣ настоящей статьи несогласія между отдѣльными величинами  $l$ , полученными для того-же маятника различными наблюдателями. Не подлежитъ сомнѣнію, что эти несогласія объясняются почти исключительно только неточностью самихъ наблюденій, такъ какъ въ огромномъ большинствѣ случаевъ наблюдатели не доходили до очень короткихъ периодовъ, а ограничивались рядомъ промежуточныхъ периодовъ, для которыхъ соответствующія уравненія имѣютъ сравнительно малый вѣсь. Только комбинируя одинъ очень длинный периодъ съ короткими периодами можно надѣяться получить вполнѣ надежную величину  $l$ . Тѣмъ не менѣе, можетъ показаться страннымъ, почему средняя ошибка величины  $l$ , выводимая изъ тѣхъ-же уравненій съ промежуточными периодами по способу наименьшихъ квадратовъ, получается вообще значительно мельше разницы между результатами отдѣльныхъ опредѣленій  $l$  различными наблюдателями. Это кажущееся противорѣчіе объясняется, по всей вѣроятности, тѣмъ, что вся теорія способа наименьшихъ квадратовъ основана на предположеніи, что имѣется большой рядъ наблюденныхъ величинъ, для которыхъ алгебраическая сумма случайныхъ ошибокъ, дѣленная на общее число наблюденій, мало отличается отъ нуля. Только при этомъ условіи выводимая средняя ошибка результата дѣйствительно характеризуетъ собою точность опредѣленія искомой неизвѣстной. При маломъ-же числѣ наблюденій, какъ въ настоящихъ случаяхъ, выводимая по способу наименьшихъ квадратовъ средняя ошибка вывода не можетъ имѣть реальнаго значенія и характеризовать собою точность самихъ наблюденій.

Для цѣлей современной практической сейсмометріи и прежній способъ опредѣленія приведенной длины маятника  $l$  является, конечно, совершиенно достаточнымъ, такъ какъ ошибка въ 1 или 2 процента въ абсолютной величинѣ  $l$ , при обработкѣ сейсмограммъ, не имѣетъ почти никакого практическаго значенія. Но, такъ какъ современная точная сейсмометрія должна всегда стремиться къ тому, чтобы, по возможности, улучшать результаты своихъ выводовъ изъ наблюденій, то желательно, въ будущемъ, при новыхъ опредѣленіяхъ приведенной длины маятниковъ  $l$ , пользоваться уже тѣми приемами, которые изложены въ настоящей статьѣ.